

STAT

АКАДЕМИЯ НАУК КАЗАХСКОЙ ССР

ҚАЗАҚ ССР ҒЫЛЫМ АКАДЕМИЯСЫНЫҢ
ХАБАРАЛАРЫ
~~~~~  
**ИЗВЕСТИЯ**  
АКАДЕМИИ НАУК КАЗАХСКОЙ ССР

СЕРИЯ ГЕОЛОГИЧЕСКАЯ

ВЫПУСК 22

АЛМАТЫ 1956 АЛМА-АТА

STAT

КАЗАК ССР ГЫЛЫМ АКАДЕМИЯСЫ  
АКАДЕМИЯ НАУК КАЗАХСКОЙ ССР

КАЗАК ССР ГЫЛЫМ АКАДЕМИЯСЫНЫҢ  
**ХАБАРЛАРЫ**  
— ★ —  
**ИЗВЕСТИЯ**  
АКАДЕМИИ НАУК КАЗАХСКОЙ ССР

СЕРИЯ ГЕОЛОГИЧЕСКАЯ

ВЫПУСК 22



ПЛАТЕЛЬСТВО АКАДЕМИИ НАУК КАЗАХСКОЙ ССР  
АЛМАТА  
1956  
АЛМА-АТА

РЕДАКЦИОННАЯ КОЛЛЕГИЯ

У. М. Ахмедсафин, Р. А. Боруков, М. И. Помонович,  
Г. Ц. Медеев, К. Н. Сатпаев (ответ. редактор), Е. Д. Шлыгин

*Печатается по постановлению  
Редакционно-издательского совета  
Академии наук Казахской ССР*

1956

ИЗВЕСТИЯ  
АКАДЕМИИ НАУК КАЗАХСКОЙ ССР  
*Серия геологическая*

Вып. 22

И. И. БОК

**ЛИСТВЕННИТЫ, ИХ ОСОБЕННОСТИ, РАЗНОВИДНОСТИ  
И УСЛОВИЯ ОБРАЗОВАНИЯ**

**Из истории вопроса**

Название «листвениты» для группы кварцево-карбонатных пород, передко окрашенных в красивый ярко-зеленый цвет и повсеместно, прямо или косвенно, связанных со змеевиками и породами основного состава, в геологической литературе появилось, повидимому, впервые в труде Густава Розе «Mineralogisch-geognostische Reise nach dem Ural, dem Altai und dem Kaspischen Meere», опубликованном в Берлине в 1842 г. Однако сам Г. Розе, как это показал Б. П. Кротов (1915), называл лиственитами крайне разнобраные породы, впрочем, объединенные общим признаком присутствия «железодержащего горького шпата» (брейнерита) и талька. Последний, по определению Г. Розе, может быть окрашенным в зеленый или желтовато-белый цвет. После этого термин «листвениты» прочно вошел в географический лексикон как на русском, так и на иностранных языках, хотя смысл этого названия в дальнейшем претерпел значительную эволюцию.

Историю развития содержания термина «листвениты» хорошо изложил Б. П. Кротов (1915). Не повторяя его материалов, здесь можно указать, что только А. А. Шту肯бергом со времени его исследований геологического строения Уфалецкого округа на Урале впервые правильно охарактеризован истинный минералогический состав этой породы. Он определил в составе лиственитов одну из характернейших составных частей их — мусковит или фуксит, особенно последний, так как именно примеси фуксита эта порода обязана своей красивой яркой изумрудно-зеленой окраской. Кроме фуксита и мусковита, А. А. Штуkenберг определил в лиственитах доломит (а не брейнерит), тальк, кварц, магнетит и пирит.

Затем на Урале эти породы описывали А. М. Зайцев и В. В. Никитин. Подробно и тщательно листвениты Миасской дачи на Урале охарактеризовал также Б. П. Кротов. В своей работе, опубликованной в Казани в 1915 г., он указал, что настоящими лиственитами нужно считать только породы, сложенные из карбоната и кварца, мусковита или фуксита, пирита, иногда железного блеска или магнетита. Тальк в них, как правило, не встречается, или, если он и констатируется, то только в редких, переходных к талько-карбонатами породам, и обычно в небольших количествах. Карбонат лиственитов Б. П. Кротов, так же как и В. В. Никитин, определял как брейнерит, т. е. как почти чисто железистомагнезиальный карбонат.

С этими характерными чертами, по данным Б. П. Кротова и В. В. Никитина, термин «лиственит» как название особой разновидности

метаморфических пород вошел в петрографические и минералогически сводки и обобщения (например, Г. Розенбуша, К. Дельтера, Г. Лейтмейера и др.). С этими же основными особенностями название «лиственит» расшифровывалось в широко и хорошо известном петрографическом словаре Ф. Ю. Левинсона-Лессинга и Э. А. Струве (1937).

В отличие от относительно длинной эволюции содержания самого термина «лиственит», его генетический смысл, по крайней мере на Урале, определился довольно быстро и с большой конкретностью. Еще со времен Г. Розе лиственитами на Урале (а затем и не только здесь) стали называть ярко-зеленые или даже не окрашенные в зеленый цвет кварц-карбонатные породы, всегда тесно — пространственно или генетически — связанные со змеевиками и другими основными по химизму породами. Вне такой позиции листвениты никем не встречались и не описывались. Тесная связь лиственитов со змеевиками явилась качеством, столь же хорошо отличающим их от других похожих пород, как и их минералогический состав. При этом все листвениты, повидимому, начиная со времени работ В. В. Никитина (1907), считались только сильно измененными змеевиками. Б. П. Кротов характеризует листвениты следующим образом. «В Миасской даче месторождения лиственитов всегда бывают связанные со змеевиками: листвениты залягают среди змеевиков или занимают периферическую часть змеевиковой площади» (стр. 151). И далее: «...условия залегания их в Миасской даче, аналогичные условиям залегания этих пород и в других местах Урала, указывают согласно, что листвениты являются измененными змеевиками» (стр. 152). Таким же образом листвениты определялись и описывались с тех пор многочисленными геологами, работавшими на Урале в районах нахождения этих пород и змеевиковых массивов.

Несколько по-иному подошел к характеристике этих пород В. Н. Лодочников. В отредактированном и дополненном им переводе «Описательной петрографии» Г. Розенбуша (1934), а далее в своем труде «Серпентины и серпентиниты Ильчирские и другие» (1936) он стал оспаривать за этой метаморфической породой даже право на индивидуальное существование и предложил упразднить и самое название «лиственит», считая его ненужным и бесполезным и заменив его наименованием «кварцово-карбонатная порода». Не отрицая постоянной связи этих пород со змеевиками, он считал листвениты своеобразными контактово-метасоматическими образованиями — «так сказать, скарновым контактом около «гиперосновных» пород и серпентинитов». Он отмечал якобы чрезвычайное непостоянство химического и минералогического состава этих пород (стр. 119—120). Учитывая известные ему, впрочем, только по литературным источникам факты лиственинизации известняков и доломитов, он считал листвениты просто осадочными карбонатными породами (известняками или доломитами), измененными kontaktным воздействием змеевиков или перидотитов. Листвениты иного происхождения ему, повидимому, были вовсе не известны.

С этим совершенно не соглашался А. Н. Заварицкий. Он считал необходимым сохранить термины «берзит» и «лиственит» в петрографическом лексиконе. С точкой зрения В. Н. Лодочникова на листвениты, конечно, соглашаться нельзя, так как она находится в резком противоречии с наблюдаемыми фактами, хорошо знакомыми каждому геологу, работавшему в районах развития змеевиков, особенно на Урале, где этих пород, как известно, очень много, много также и лиственитов. Нужно думать, что ошибочность его взгляда на этот предмет (как, впрочем, и на некоторые другие стороны геологии змеевиков) объясняется только крайней ограниченностью имеющейся в его распоряжении основы для личных

наблюдений за серпентинитами и их дериватами, какую представляли Нильчицкие змеевиковые массивы. Крупнейшие змеевиковые массивы Урала были известны В. Н. Лодочникову, очевидно, только по литературным данным, что и обусловило многие недостатки этой, в общем очень хорошей, но в громадном преобладании компилятивной работы 1936 года.

В дальнейшем листвениты Урала изучались многими геологами и петрографами. Важнейшие материалы по этим породам были опубликованы Н. И. и М. Б. Бородаевскими в труде «Березовское рудное поле» (1947). В этой работе лиственитам и процессу лиственитизации удалено сравнительно очень много места, что собственно является совершенно естественным для района Березовского рудного поля, где эти породы имеют такое широкое развитие и где они были впервые описаны Г. Розе. Листвениты в работе Бородаевских рассматриваются как продукт преобразования ультраосновных или основных изверженческих пород, а также лабазов, порфиритов, туфов, зеленокаменистых и осадочных карбонатных пород. Преобразование всех силикатных основных и особенно ультраосновных пород в листвениты (т. е. всех пород, способных лиственитизироваться, кроме известняков и доломитов), по данным авторов этой работы, происходит в пять стадий: 1) стадия распада змеевика (или талька и других магнезиально-железистых силикатов) на анкерит и кварц с существующими явлениями перекристаллизации, 2) стадия отложения калийных слюд, 3) стадия привноса кварца с небольшим количеством сидерита, 4) стадия заполнения жилья кварцем и анкеритом и 5) стадия отложения пирита и кварца третьей генерации. Благодаря этой стадиальности преобразования, тела лиственитов имеют зональное строение. Рассмотрение химического состава лиственитов показывает, что в этих слу-  
жаях собственно привнос элементов в растворах (кроме углекислоты, иодидов и фосфорного ангидрида) при лиственитизации нет, и эти породы образуются только за счет перегруппировки элементов, уже присутствующих в исходных породах. В случае лиственитизации карбонатных пород, какие наблюдал и описывал В. Н. Лодочников, совершенно очевиден привнос вначале кремниекислоты, а затем окиси магния (иногда также железа) и калия. В работе Н. И. и М. Б. Бородаевских листвениты вообще описаны с такой подробностью, с какой они до сих пор еще никем не характеризовались.

Такова длительная история становления представлений о лиственитах. Автору настоящей статьи листвениты известны по работам и на Урале и в Казахстане, где они развиты достаточно хорошо. Среди геологов, имевших дело с этими породами, особенно в Казахстане, еще до сих пор наблюдаются случаи недоучета многих особенностей этих пород. Иногда имело место некритическое отношение и следование за неверными установками В. Н. Лодочникова, который в основном не был знаком с этими породами в натуре и заимствовал сведения о них из литературных источников, данные которых часто бывали противоречивы и иногда недостаточно точны. Недоучет же многих сторон геологии и минералогии этих пород, как это будет показано ниже, неоднократно приводил к крупным ошибкам в выводах и обобщениях по разным вопросам геологии таких районов, в первую очередь по их металлогенетике и даже стратиграфии. В частности, эти карбонатные породы неоднократно принимались за выветрелые известняки. Им приписывалась какой-нибудь геологический возраст, хотя никаких веских аргументов для этого не имелось, и это влекло за собой неправильность выводов.

Д. С. Коржинский (1953) предложил даже расширить термин «лиственитизация» на все процессы карбонатизации змеевиков, т. е. на образо-

ение тальк-карбонатных, кварц-брейнеритовых и кварц-анкеритовых пород, поскольку они, в порядке метасоматической зональности, образуются одновременно. Но он, в отличие от В. Н. Лодочникова, считал, что доломитизированные известняки около лиственитизированных змеевиков лиственитами называть нельзя. Вообще он считает, что вопрос о лиственитизации еще требует своего изучения.

Все это вместе взятое оправдывает обобщение накопленного за последнее время материала по этим породам, в том числе критическое обсуждение взглядов В. Н. Лодочникова.

### Главные особенности лиственитов

Что же собственно представляют собой эти породы и каковы их особенности? Опыт работ по змеевиковым массивам в Казахстане и на Урале привел автора этой статьи к ряду выводов относительно геологии, минералогии и генезиса этих пород, которые можно кратко сформулировать следующим образом.

1. Листвениты — это действительно, как с этим согласны все знакомые с этими породами геологи, *существенно кварцево-карбонатные породы*, но по качеству входящего в них карбоната они довольно резко разделяются, по крайней мере, на три подгруппы. В одних лиственитах в качестве карбоната присутствует обычно брейнерит, т. е. магнезиально-железистый карбонат почти без примеси кальциевого компонента. В других — карбонат сохраняет свой магнезиально-железистый характер, но обогащается большой примесью кальциевого компонента и превращается в анкерит. И только в относительно очень редких случаях карбонат в этих породах является сравнительно очень чистым (только очень слабо доломитизированным) кальцитом, но тогда в них часто исчезает кварц, и они превращаются в почти чисто кальцитовые мрамора.

На выходах карбонат, содержащий железо в закисной форме, нестоек и быстро распадается с образованием буровато-желтого охристого материала, благодаря которому вся порода в обнажениях приобретает ржаво-бурую окраску разной интенсивности, на фоне которой резко выделяются белые жилообразные (главным образом) или пятнообразные обособления кварца. Более пристальное рассмотрение такого обожженного карбоната показывает, что в крупных зернах карбонат сохраняет блеск на площадках спайных ромбоэдров, но эти плоские площадки ситовидно выщерблены, хотя общий световой рефлекс от них остается плоскостным. Ситовидно расположенные щербинки заполнены охристым железо-гидроокисным веществом, причем последнего тем больше, чем более железист был исходный до поверхностного распада карбонат. Ситовидная выщербленность карбоната этих пород и обожжирование этих щербинок-пустоток особенно хорошо наблюдается в шлифах под микроскопом. В связи с обожжением находится и интенсивность общей желтовато-буровой окраски лиственитов на выходах. Более точные исследования и сопоставление наблюдавшихся фактов показывают, что степень железистости карбоната находится в прямой связи с железистостью исходной породы, на фоне которой развился процесс лиственитизации. По змеевикам развивается почти чистый железо-магнезиальный бескальциевый карбонат. По габброидам, диабазам, порfirитам и другим аналогичным (но не ультраосновным) породам развивается анкерит с заметным присутствием кальциевого компонента. Наконец, по известнякам и доломитам в составе лиственитов образуется доломит, почти не содержащий железа в своем составе и потому прочный и неразрушающийся в гипергенной обстановке.

## Листвениты, их особенности, разновидности и условия образования

7

акеритовых лиственитов всегда ясно зернисты, а иногда даже крупно кристаллические. Часто они становятся пойкилобластовыми, что говорит или об их более позднем образовании по сравнению с серицитом или фукситом, а также (реже) тальком и кварцем, которые они обрастают, или же о более поздней собирательной перекристаллизации этих карбонатов. Структуры таких карбонатных агрегатов в лиственитах близко напоминают структуры мраморов. Это — обычно так называемые зубчатые или мостовидные структуры.

2. Второй, не менее характерной, составной частью лиственитов являются калийные слюды — мусковит и серицит, или же яркозеленая слюда — фуксит. Количество их может быть большим или небольшим, но они присутствуют в лиственитах всегда. Автору статьи, несмотря на длительное время работы по змеевикам, не удалось наблюдать эти породы без калийных слюд буквально ни разу. Но они, однако, иногда присутствуют в исчезающе малых количествах.

Что же касается характера самой слюды, то этот вопрос относительно сложен. Зеленая хромсодержащая фукситовая слюда встречается, главным образом, в тех разностях лиственитовых пород, которые произошли из змеевиков, т. е. из пород, изначально содержавших окись хрома в форме хромшипинеллида. Листвениты, образовавшиеся по габброидам, порфиритам, диабазам и другим аналогичным основным породам, а также по известнякам и доломитам, фукситовой слюды, как правило, не содержат и в них имеется только неокрашенный мусковит или серицит.

Иногда, впрочем, по сравнительно очень редко яркозеленый фуксит образуется и по породам незмеевикового характера — по порфиритам, основным туфам и даже по известнякам или доломитам. Но это встречается только в самых непосредственных контактах этих пород с первично хромсодержащими змеевиками. Это явление, между прочим, свидетельствует о некотором перемещении в процессе лиственитового преобразования и такого, в общем малоподвижного, компонента, как окись хрома. Оно также показывает, что лиственизация, являющаяся особым случаем контактного процесса, идет так же биметасоматически, как и большинство случаев всякого контактного процесса, и в нем происходит обмен контрастирующими компонентами между обоими членами контакта. В этом случае биметасоматоз с обменом именно контрастирующими компонентами особенно отчетлив. Так, это наблюдалось в Казахстане, по крайней мере, в двух случаях лиственизации известняков на контакте со змеевиками — по юго-западной периферии змеевиково-габро-поритового массива Бессаз в Центральном Карагане и в змеевиковом поясе Аиртау, расположенным к северу от горной группы Улутау. В обоих этих случаях проявление биметасоматического контактического процесса выражалось в превращении приконтактовых частей известняков в фуксит-доломитовые бескварцевые листвениты или зеленые мраморы. Это красноречиво говорит об определенном привносе окиси хрома и, вероятно, окиси магния и залегенного железа. Змеевики же в непосредственном контакте обогащались или порфиробластами актинолита, свидетельствующего о привносе окиси кальция (Аиртау), или же прямо крупными пойкилитовыми порфиробластами железистого анкерита (Бессаз), также говорящего о привносе в эндоконтакт, по крайней мере, окиси кальция, а возможно также углекислоты.

На современном этапе изученности этого процесса совершенно не ясен вопрос об источнике калия для образования как мусковита-сериициата, так и фуксита. В. Н. Лодочников, формулируя свое известное правило полярности магматических и постмагматических элементов и минералов, полагал, что щелочной элемент калий, полярно противоположный все-

му составу ультраосновных пород, содержащих окиси магния и никеля, окисное железо, окись хрома, но с небольшим присутствием кремнезема и почти стерильных по щелочам, должен приноситься из змеевиков в процессе постмагматической эволюции при остывании.

Однако это еще не доказано и пока никем не опровергнуто. Поэтому вопрос об источнике калия остается открытым. Калий может привноситься из змеевиков, может содержаться в известняках, входя в виде сложных мутабильных систем в их мергелистую часть. Ведь существует же определенная категория метаморфических карбонатно-серпентитовых пород — яшмоплино.

В случаях же контакта доломитов со змеевиками, а с любыми изверженными породами магнезиальная часть этих карбонатных пород в порядке явления дедоломитизации превращается в свободную окись магния — периклаз, который в этих условиях, при активном привнесе вещества из магматической породы, переходит в серпентин или даже в тальк Серпентин при этом образуется в форме тончайших индивидов, минералогический характер которых (антигорит или хризотил) определяется только с большим трудом. Получается серпентин-кальцитовая порода (офикальцит) типа *verde antico*, но уже без мусковита и тем более биофуксита. Так же образуются и талько-кальцитовые породы.

3. Из других минералов, часто присутствующих в лиственитах всех типов, помимо кварца, карбонатов и калиевых спод, нужно упомянуть еще о тальке, серпентиновых минералах, магнетите и гематите. В переменных количествах они входят почти во все типы лиственитовых пород.

Как уже упоминалось выше, тальк, главным образом, входит в листвениты, которые являются переходными к широко распространенным продуктам изменения змеевиков — талько-карбонатным породам. Но, вообще говоря, это встречается относительно редко. Такой тальк иногда даже окрашивается в зеленый цвет, но эта окраска стюдь не обусловлена вхождением окиси хрома в молекулу талька, а объясняется, как показывают спектральные и химические анализы мономинеральных фракций такого талька, примесью никеля. Несомненно, что окраска такого талька должна быстро исчезать с глубиной, так как это явление связано только с высвобождением никеля из сложных силикатных молекул (оливин, серпентин) в порядке гипергенного распада последних. И вообще зеленый никелесодержащий тальк может появляться только поблизости от первичных носителей этого элемента в рассеянной петроениной форме — ультрабазитов и змеевиков. Тальк при микроскопическом изучении лиственитов и талько-карбонатных пород часто неправильно определяется как мусковит и наоборот. Зеленый никелесодержащий тальк при этом нередко определяют как фуксит. Причиной столь частых ошибок этого рода при микроскопическом изучении спод и талька является сложность диагностики талька под микроскопом и большая трудность, иногда просто невозможность, отличать его от мусковита. То же нужно сказать и о фуксите и никелесодержащем тальке.

В некоторых лиственитах довольно обычен магнетит и иногда гематит. Последний при этом более част в тальковых породах и талькосодержащих лиственитах. Нахождение гематита в тальковых породах настолькоично, что в старых курсах минералогии (Г. Лебедев и др.) таким породам было присвоено даже особое название — спекулярит, ныне, впрочем, почти вышедшее из употребления. Магнетит в лиственитах, так же как и в талько-карбонатных породах, является, по всей вероятности, реликтовым минералом, появившемся в процессе серпентинизации оливинов («серпентинизационный магнетит»), может быть только испытавший некоторую перегрупировку типа собирательной перекристаллизации.

Листвениты, их особенности, разновидности и условия образования

ции. Он совершенно явно антагонистичен железистости карбонатов эти пород. С усилением железистости карбонатов уменьшается или даже полностью исчезает магнетит и наоборот. Создается впечатление, что железо в карбонате лиственитов, кроме тех, которые образовались из известнякам, является аутогенным. Оно не принесено в лиственитизирующую породу извне, а замещается на месте и в том числе из первично присущего в этих породах железа в силикатах (оливин, пироксены, амфиболы) или из магнетита-гематите первичного или постериорного магматического происхождения.

4. Отдельно нужно поставить вопрос о присутствии в лиственитах сульфидов и особенно пирита. Пирит и в меньшей степени другие сульфиды являются почти обязательной составной частью лиственитов, независимо от того, из каких пород они происходят. Это заметно тем более, что родственны лиственитам по генезису и по геологической позиции талько-карбонатные и серпентино-карбонатные (офиолиты) породы сульфидов, как правило, не содержат.

В большинстве случаев сульфид лиственитов является пиритом, иногда присутствуют так называемый кобальт-пирит и бравоит (зональный дисульфид железа и никеля). Реже встречается халькопирит и совсем в единичных случаях и в чрезвычайно малых количествах появляются сульфиды меди и цинка. В одном случае в Казахстане в лиственитах были найдены арсениты и сульфоантимониды никеля (раммельбергит, герсдорфит и ульманнит).

В лиственитах, развившихся по змеевикам, наиболее част никелодержащий пирит. В таких лиственитовых шартах содержание никеля контролируется первоначальным содержанием его в исходных породах: рассеянной петрогенической (силикатной) форме. Тонкое химическое исследование никелистости серпентинитов, а также никеля в пирите лиственитов, образовавшихся по этим же серпентинитам и во вмещающем этот пирит минеральному агрегате лиственита (карбонаты, слюды и кварц), показывает ярко выраженную закономерность перехода в процессе лиственитизации практически почти всего наличного никеля из силикатной петрогенной формы в сульфидную металлогенную форму. Создается впечатление, что никель в ультраосновных магмах в условиях высоких температур и давлений и в отсутствии значительных количеств серы не проявляет своих халькофильных качеств и является антифильным (силикатообразующим). В постмагматические этапы, на более низких термодинамических уровнях и при привнесе в какой-либо форме агрессивных сульфидов (может быть в форме сульфида калия, идущего на образование слюды) его халькофильность начинает доминировать, и никель вместе с частью железа образует реакционно-аутогенный никелистый пирит или бравоит. Вмещающий этот пирит минеральный агрегат лиственита оказывается практически почти начисто стерилизованным от никеля.

В изученных образцах чисто отобраниего лиственитового пирита содержание никеля в Казахстане определялось в пределах от 0,009 до 0,24%, оставаясь в среднем на уровне около 0,17%. И вообще никелистость пирита в апосерпентинитовых лиственитах представляет в этих пределах постоянное явление.

Также примерно ведет себя и кобальт, наблюдения над которым вести труднее, так как содержание его как в исходных породах, так и в их постериорных продуктах очень невелико. Здесь только удается установить, что содержания кобальта в аутогенно-реакционном пирите лиственитов заметно растут вместе с железистостью исходных пород. Но так как обыкновенно нормальные оливиновые породы и происшедшие из них змеевики представляют породы, в значительной степени магнезиальными,

и не железистые, то обычно содержание кобальта в них невелико. Значительно растут содержания кобальта только в высокожелезистых габбронороксенинатах, а также в их аналогах — порфириатах, днабазах, особенно в их меланократовых (высокожелезистых) разностях, почему и при лиственитизации последних пирит в них также оказывается заметно кобальтист. Это, несомненно, объясняется крайней близостью эффективных ионных радиусов двувалентных железа (0,83) и кобальта (0,82). Таким же образом высокая никелистость магнезиальных оливинов, по А. Е. Ферсману (1937), объясняется тождеством эффективных ионных радиусов этих элементов. В обоих случаях на термодинамическом уровне лиственитизации начинает проявляться халькофильность кобальта и никеля, при более высоких (магматических) температурах и давлениях, являющихся лиофильными.

Такова характеристика минералогии лиственитов и некоторые черты их геохимии.

#### Условия нахождения

Остается сказать только об условиях нахождения лиственитов в природе и на основе всего изложенного сделать выводы об их образовании и месте среди других метаморфических пород.

1. Совершенно бесспорным является очень частое образование весьма типичных (с фукситом) лиственитов по змеевикам без всяких следов участия в этом процессе каких-либо иных изверженных пород, в которых можно бы было заподозрить активных виновников лиственитизации. Такие листвениты можно считать автометаморфическими образованиями по змеевикам, развившимся по типу автоскарнирования кислых и средних изверженных пород. В соответствии с установленной в петрографии терминологией их нужно бы назвать апосерпентинитовыми лиственитами или ортолиственитами. В таких лиственитах чаще, чем в других, содержится зеленый хромсодержащий мусковит-фуксит, никелистый и слабокобальтовый пирит, а также брейнеритовый карбонат, почти не содержащий кальция.

Листвениты этого типа в одном случае (Бессаз) совершенно постепенно переходят в змеевики, содержащие крупные порфиробласти железнистого карбоната, теряя при этом кварц и слюды и постепенно все более обогащаясь серпентиновыми минералами. В других случаях происходит обогащение тальком и переход в талько-карбонатные породы, что иногда и наблюдается, но, повидимому, происходит реже, чем переход в нормальные змеевики. Это, собственно, находит объяснение в тех хорошо известных фактах, что процесс талько-карбонатизации и процесс лиственитизации, характеризующий оба вместе значительным привносом углекислоты (образование аутигенно-реакционных карбонатов), вместе с тем имеют резкие различия отальковывание требует большого привноса кремнишлоты и воды, лиственитизация — это привнос щелочей и серы, кварц же является остаточным после распада силикатов. В талько-карбонатных породах, кроме талька и карбонатов, встречаются только актинолитовые и серпентиновые минералы, а слюды, кварц и сульфиды не характерны, так как редки. В лиственитах этого типа слюды, кварц и сульфиды, наоборот, очень часты; тальк, актинолиты и серпентиновые минералы — редки.

Лиственитизация и талько-карбонатизация — это два родственных по исходным породам, но тем не менее глубоко различных процесса. Н. И. и М. Б. Бородавеские, однако, считают, что листвениты всегда встреча-

## Листвениты, их особенности, разновидности и условия образования

11

ются среди талько-карбонатных пород и что только в отдельных случаях они бывают в неизмененных или слабо карбонатизированных змеевиках (1947, стр. 195).

2 Вместе с тем очень типичные листвениты образуются по змеевикам, но уже при явном участии позднейших кислых изверженных пород, передко дайковых, которые при этом всегда березитизируются. Такая лиственитизация внешне и в минералогических деталях не отличается от охарактеризованной выше автометаморфической, но по формам лиственитов она довольно резко отлична от нее. Эта лиственитизация локализуется вдоль трещин в змеевиках или талько-карбонатных породах, в зульбандах даек кислых или средних по кислотности гипабиссальных пород, в зульбандах высокотемпературных кварцевых жил и, наконец, в приконтактовых зонах змеевиков или талько-карбонатных пород с более молодыми по возрасту кислыми интрузивными породами. Это по сути дела настоящее приконтактовое изменение основных и ультраосновных пород типа скарнирования. При этом паряду с экзоконтактной лиственитизацией основных и ультраосновных пород, как и во всяком контактном биметасоматическом процессе, происходят и некоторые эндоконтактные явления, здесь обычно выражаются в березитизации. Важно при этом подчеркнуть, что по всей вероятности одни и те же дестилляты из горячих магматических масс (или из их очагов), воздействуя на разные по исходному составу породы, производят разные изменения.

Листвениты этого типа часто являются зональными в том порядке, как это охарактеризовали Н. И. и М. Б. Бородаевские (стр. 195 — 206). Это явление совершенно подобно той метасоматической зональности при инфильтрационном или диффузионном метасоматизме, которую много-кратно описывал Д. С. Коржинский, расшифровавший основные закономерности ее образования.

При лиственитизации соседних основных пород эти же растворы воздействуют на темноцветные минералы и основные полевые шпаты и вытесняют им, главным образом, углекислоту, которая образует карбонаты того состава, который здесь возможен по особенностям геохимии этих пород. В магнезиально-железистых бесполевошпатовых ультраосновных породах образуются брейнериты, в породах же, богатых кальцийсодержащими минералами (основными плагиоклазами, амфиболами), образуются анкериты. Железистость карбоната во всех этих случаях является функцией железистости исходных пород, причем часть этого железа в этом процессе расходуется на формирование пирита. Туда же уходят и магний с никелем. При разрушении железисто-магнезиальных цветных минералов, равно как и при разрушении основных плагиоклазов, образуется вторичный кварц, собирающийся в порядке собирательной перекристаллизации в крупные кристаллические зерна и агрегаты, а по алюмосиликатной части образуются серпентины (привнос катия) или же парагониты (привнос патрия).

К таким же выводам собственно пришли и Н. И. и М. Б. Бородаевские. Виновником процесса лиственитизации они также считают калийодержащие углекислые термы, которые перерабатываются в листвениты березиты ультраосновные, средние и кислые изверженные или соответствующие им по составу осадочные и метаморфические породы, богатые флюсами группы RO. Они считают, что березиты в отношении генезиса родны с лиственитами; по существу березиты даже следует рассматривать

вать лишь как частные случаи проявления процесса лиственизации, применительно к породам, богатым кремнеземом и глиноzemом и бедным окислами щелочных земель и залежи железа (т. е. основаниями).

3. Сложнее всего расшифровывается вопрос о происхождении лиственитов за счет известняков. Что эти породы образуются действительно отдельных случаях по известнякам, сомнений быть не может. В Миасском районе на Южном Урале в типичных яркозеленых лиственитах с фукситом и железистым брейнеритом было обнаружено брахиоподовая фауна, нестолько хорошо сохранившаяся, что специалисты-фаунологи без особых колебаний отнесли известняки, подвергшиеся лиственизации, по общему характеру этой фауны к ильиному карбону. Но и без этого совершенно бесспорного и твердо установленного факта случаи лиственизации известняков, охарактеризованые в геологической литературе очень многочисленны.

О таких же многочисленных фактах лиственизации известняков сообщает В. Н. Лодочников (стр. 222 — 224).

Не менее часто случаи образования лиственитов по известнякам констатировались и в Казахстане. В казахстанских примерах лиственизирования по известнякам выяснялось, что карбонат этих пород в процессе лиственизации становится анкеритом, имеющим следующий состав (по пересчету химических анализов лиственитовых карбонатов): карбонат кальция — от 94 (почти чистый кальцит) до 15%, в среднем 53%; карбонат магния — от 2 до 81% (относительно чистый магнезит в среднем 14%; карбонат железа — от 0 до 5%, в среднем 3%.

Однако пересчеты, как видно из приведенных цифр, показывают, что карбонат этих пород якобы является слабо железистым доломитом. Но в этих пересчетах карбонатной части не могли быть учтены очень значительные (1,33 — 7,12%) содержания окисного железа, которые обуславливали желтовато-бурую окраску этих и вообще всяких лиственитов на выходах. Учитывая слабую стойкость карбонатной соли окисного железа в контакте со свободным кислородом, можно полагать, что в исходной форме это железо в окисном состоянии входило в первоначальный карбонат и он носил характер действительного анкерита, т. е. двойной соли, состоящей из карбоната кальция и изоморфной ему карбонатов магния и окисного железа в переменных соотношениях (брейнерита). Но все же нужно признать, что анализы, даже на введение окисного железа в карбонатную часть, показывают относительную малую железистость карбоната, характерного для апоизвестниковых лиственитов. Это не похоже на сильную железистость и малое содержание кальция (брейнеритов) лиственитов, образовавшихся по магнезиально-железистым породам любого исходного состава и особенно по ультрабазитам.

К категории апоизвестниковых лиственитов относятся и так называемые зеленые мраморы. Старинный поделочный камень — Невьянский зеленый мрамор представляет собой именно апоизвестниковый лиственит с зеленым фукситом. Преимуществом таких апоизвестниковых лиственитов перед аносерентинитовыми является очень малое содержание в первых кварца и меньшее содержание железа в карбонатах, что, как уже отмечалось выше, является главной особенностью апоизвестниковых лиственитов. Эти породы полируются легче и быстрее обычных лиственитов благодаря тому, что они сложены минералами приурочено одной твердости и имеющих одинаковую способность полироваться, причем кварц в них отсутствует совершенно. Этим не отличаются ортолиствениты, имеющие столь же красивые зеленые окраски, но содержащие наряду с легкошлифующимися и полирующимися фукситом и карбонатом еще и оче-

лько  
зод  
ни  
ни  
ни  
ни  
ни  
стя  
ло  
им  
раз  
гист  
и оп  
вым  
(19  
сл. п  
жес  
ми г  
нитр  
вени  
лист  
фуко  
вее  
и по  
ром

уста  
нент  
пород  
листе  
тов.  
умени  
что с  
модел

и по га  
извест  
из со  
обычи  
торая  
родам  
липа

В  
ет осо  
из-за с  
ности

Ка  
шается  
в них  
бодных

## Листвениты, их особенности, разновидности и условия образования

13

верный кварц, полирующийся с неизмеримо большим трудом, что приводит к разной скорости обработки отдельных компонентов апосерпентиновых лиственитов и к появлению буторчатой неровной поверхности у них после полировки. Малая железистость карбонатов апоизвестняковых лиственитов обеспечивает для них большую стойкость по отношению к этим выветриваниям.

Зеленые мраморы лиственитового типа, благодаря этим особенностям, еще в античной древности являлись хорошим поделочным материалом зеленого цвета и ценились наряду со змеевиком и серпфитом. Именно такими лиственитами зеленый мрамор добывался на Эльбе под названием ниношино (А. Е. Ферман). Повидимому, часть той группы статоморфических пород, которая называется в петрографии цинолитом и определяется как сподильтый мрамор, относится также к апоизвестняковым лиственитам Ф. Ю. Левинсона-Лессинга в петрографическом словаре (1937, стр. 393) определяет цинолитом как богатый спилактами мрамор, отличающийся значительными количествами слюды и талька, расположеными в нем слоями; он представляет собой переход между мраморами и слюдяными сланцами. Заметим, что имение линзами среди сланцев, прорутизованных змеевиками, обычно и залегают апоизвестняковые листвениты. В цинолите слюда имеет характер серицита. Подобно этому, в лиственитах слюда совершенно не обязательно должна являться зеленым фукситом — многое лиственитов содержит только серицит. Таковы почти все листвениты, развивающиеся по габброидам, грауваковым песчаникам и по известнякам, т. е. по породам, не содержащим первоначально окись хрома и не получившим ее в порядке привноса извне.

Нужно сказать, что наблюдениями над лиственитами Казахстана установлена тесная зависимость между образованием фуксита в апосерпентиновых лиственитах и содержанием хромшипинеллидов в исходных породах. Ярко-зеленый хромосодержащий фуксит развивается только в тех лиственитах, которые происходят из хромитосодержащих серпентинитов. При этом параллельно с увеличением количества фуксита обычно уменьшается или даже исчезает совершение хромшипинеллидов. Очевидно, что окись хрома именно этого минерала и расходуется на формирование молекулы фуксита.

В прочих случаях, когда зеленый фукситовый лиственит развивается по габброидам, порфиритам, диабазам, грауваковым песчаникам и по известнякам, источник хрома, повидимому, нужно искать в привносе его из соседних змеевиков, которые где-нибудь, по обязательно поблизости, обычно и обнаруживаются. Предположительно можно думать, что некоторая часть фукситовых лиственитов, развивающихся по габброидным породам (в широком значении), возможно, занимает хром из минералов типа хромшипинела и других хромосиликатов.

## Поверхностный распад лиственитов

Вопрос о разрушении лиственитов в поверхностной обстановке имеет особое значение из-за многочисленных ошибок, которые проис текают из-за сильного распада их в этих условиях, изменяющих до неузнаваемости эти породы.

Как уже указывалось, наиболее быстро во всех лиственитах разрушается железистая часть карбоната, поскольку окисное железо, слагающее большую катионную часть, не является стойким в условиях контакта со свободным кислородом. Карбонат лиственитов поэтому сначала желтеет,

потом становится желтоватым, а при дальнейшем развитии этого процесса совсем распадается, превращаясь в охристую массу типа гидроксита-эрнвертита.

Но при достаточной кручине зерна карбонатов и при достаточно большом содержании магнезиально-карбонатной (брениерит) или кальциево-карбонатной и магнезиально-карбонатной (анкерит) молекул в составе сложного карбоната этих пород кристаллические зерна карбоната полностью не разрушаются, что можно видеть при внимательном наблюдении в сохранении спайных плоскостей ромбэдров на поверхностях излома. Но эти спайные площаадки, дающие плоскостной отблеск-рефлекс при известных наклонах по отношению источника освещения и к глазу наблюдателя, оказываются, как уже отмечалось, синевидно выщербленными, а цирконки выполнены охристой массой типа эрнвертита. Что здесь происходит с точки зрения кристаллохимии, пока ответить трудно. Но остаточный карбонат при точных измерениях (определение показателей преломления, бореточный анализ, тонкий микробиализ чисто отобранных проб) показывает, что он представляет кальцит или доломит, но не брениерит и не анкерит, хотя обилие гидроокисного железа и выщербленность спайных плоскостей таких карбонатов и создают уверенность в том, что исходный (до наложения процесса поверхностного распада) карбонат был, несомненно, синевидным желеzem.

Остальные главные компоненты лиственитов — кварц и слюды (серрицит и фуксит) — в условиях коры выветривания, как и следовало ожидать, очень прочны. Они проходят почти не изменяясь или мало изменившись через все стадии выветривания. Внимательный и натренированный глаз наблюдателя почти всегда без труда может различить мелкие невыветренные чешуйки светлой или слегка заокраиной слюды и особенно фуксита, не теряющего при этом своей яркозелено-окраски, что и позволяет хорошо отличать сильно выветренные листвениты от сильно выветреных и окисленных известняков. Особенно долго и хорошо сохраняются в лиственитах слюды, когда они образуют примазки на кварце. То же можно сказать и о тальке, который также очень хорошо сохраняется, не разрушаясь в коре выветривания.

Остаточный яркозеленый фуксит, несильно заокраиваясь в этих условиях, нередко изменяет свой собственный, присущий только ему, изумрудно-зеленый оттенок, становятся несколько желтоватым. В таком виде мало опытные наблюдатели часто смешивают его с зелеными гидрокарбонатами меди или гидросиликатами никеля. Образцы охристо-карбонатных пород с фукситом при валовом анализе почти всегда показывают некоторое (правда, небольшое) содержание никеля, а изредка даже и меди. Но это содержание никеля и меди, в основном, относится к той охристой массе, которая хорошо адсорбирует эти элементы из их растворов, и только в очень небольшой части может присутствовать в самом фуксите. Чисто отобранные чешуйки фуксита показывают устойчивое присутствие окиси хрома в количествах 2,5—3,5% и лишь следы никеля. Присутствие меди в этих минералах констатируется только спектральным анализом. В минералогической литературе указывается, что содержание окиси хрома в фукситах может подниматься до 4% и даже несколько выше, но в этих случаях нет уверенности в том, что хром

## Листвениты, их особенности, разновидности и условия образования

15

относится к фукситовому веществу, а не входит в остатки хромшипинеллида, по которому, вероятно, развивается фуксит.

Это предположение основывается на постоянных фактах отсутствия остаточного хромита в фукситовых лиственитах и передко присутствия его в сернистых явно аносернентинитовых лиственитах. Создается впечатление, что мусковит-сернистит лиственитов превращается в фуксит только после распада хромшипинеллидов или других хромсодержащих минералов (хромдиопсид и пр.).

Как уже отмечалось, во многих лиственитах встречаются иирит и некоторые другие сульфиды, также очень непрочные в гипергениной обстановке. Они разрушаются под действием свободного кислорода и воды, заменяясь железо-гидроокисными продуктами распада. Наиболее часто, конечно, встречается иирит. Он в этих условиях заменяется псевдоморфозами гетита по иириту. Химизм конечного продукта при поверхностном распаде иирита и брейнерита-анкерита одинаков, но в случае иирита образуются плотные, прочные, совершенно твердые гетитовые псевдоморфозы, на гранях которых четко обрисовываются все, даже мелкие, детали скелетуры прежних кристаллических граней иирита, например, характерная для кубических кристаллов иирита штрихованность и т. д. В случае же поверхностного распада брейнерита, даже очень сильно железистого, типа сидероплезита-иистомезита (что устанавливается по большому обилию буро желтого окраинного вещества), ромбоэдрическое выполнение кристаллических зерен и агрегатов такого карбоната остается всегда окристальным. Оно занимает освобожденное распадом карбоната пространство, но всегда не плотно, что не похоже на образование крепких и плотных псевдоморфоз гетита по иириту.

Создается впечатление, что псевдоморфирование гетитом кристаллических зерен иирита происходит не только без уменьшения объема, но даже, повидимому, с некоторым увеличением его, что и обеспечивает развитие плотных и твердых псевдоморфоз. Замещение же железистого карбонатного компонента в брейнерите-анкерите гидроокисями железа идет с ясным уменьшением объема и, вероятно, с некоторым выщелачиванием части вещества в растворах в процессе распада. Поэтому выполнение таких псевдоморфоз остается окристальным, мажущим пальцы при растирании и исплотным. Это, между прочим, создает безошибочный критерий для выяснения вопроса, по какому исходному минералу образовалась та или иная псевдоморфоза железистого гидроокисла. Рыхлые, окристальные псевдоморфозы образованы, как правило, по железистым карбонатам, плотные, твердые — по иириту.

При распаде сульфидов, как известно, одним из получающихся продуктов является серная кислота. Она сильно увеличивает интенсивность распада лиственитов, представляющих все же, в основном, карбонатные породы. Разрушение этих пород и выщелачивание оснований лиственитов в резко кислотной обстановке приводит к развитию явлений, очень напоминающих карстообразование. Такие листвениты на поверхности приобретают настоящий карстовый рельеф, характеризующийся чередованием впадин и гривок. При этом впадины развиваются, по всей вероятности, на тех участках или на тех прослоях лиственитов, которые были наиболее обогащены сульфидами и содержали наименьшее количество кварца. Гривки, обычно вытянутые по простиранию изначальных сернистинитов-перidotитов или же других и, в частности, осадочных пород, как это совершенно ясно усматривается на обнажениях, образуются на участках сильного обогащения кварцем или на местах развития кварцевых жил. Это отношение лиственитов к процессу развития рельефа может быть использовано в качестве поискового критерия для выявления

## II. И. БОК

среди них участков, наиболее богатых сульфидами, что особенно важно, если они содержат какие-либо ценные примеси.

При очень сильной выветрелости и заохрениности листвениты начинают напоминать по внешности те остаточные конкреционные кремнисто-алюминистые образования, которые развиваются в определенных условиях (среда с реакцией, близкой к нейтральной) в верхних частях коры выветривания серпентинитов. Эти образования носят название бирбиритов (J. Дюпарк, 1927). Но от внешне чрезвычайно сходных с выветрелыми лиственитами бирбиритов первые отличаются присутствием карбонатов (вскапывание с крепкой соляной кислотой — брейнериты-анкериты) и иногда различимыми даже невооруженным глазом слюдами.

Таковы важнейшие особенности этой своеобразной группы метаморфических пород. Необходимо выяснить совокупность вопросов, связанных с условиями образования этих пород.

## Условия образования лиственитов разных типов

Из всего накопленного до настоящего времени материала по лиственитам прежде всего следует, что эти породы, в основном, являются карбонатными, но карбонаты во всех исходных породах (исключая только известняки) в значительных количествах до лиственитизации не присутствовали. Из этого можно сделать единственный вывод, что если эти породы являются гидратометаморфическими, то они образованы при привнесе растворов (газовых или жидких), но, несомненно, содержащих много углекислоты. Эта углекислота была очень активной, агрессивной, так как она была способна разлагать силикаты и алюмосиликаты исходной породы, отнимая от них катионную часть (магнезию, закись железа, известь), образуя с ними сложные молекулы магнезиально-железистого карбоната-брейнерита, а иногда (по габброидам и другим аналогичным породам) с большей или меньшей примесью известкового компонента, превращающего этот карбонат в анкерит.

Вытеснение углекислотой кремнезема из силикатов и частично из поликремневых алюмосиликатов вызывает появление того кварца, который является второй характерной частью лиственитов. Однако примерные подсчеты показывают, что некоторая (неопределенно большая) часть кварца должна быть привнесенной в одну из позднейших стадий длительного и сложного процесса лиственитизации. Это же, в общем, установили на примере лиственитов Березовского рудного поля на Урале Н. И. и М. Б. Бородаевские, но они считают, что в процессе образования карбонатов по силикатам при лиственитизации кремнезем даже частично выносится. Мы это не считаем верным; во всяком случае, это можно отнести к некоторым примерам лиственитизации, как анонвестниковые листвениты.

Процесс образования лиственитового карбоната идет при относительно высоких температурах, о чем свидетельствует, с одной стороны, их крупнокристальность, с другой — сложность состава. Кроме того, образование карбонатов шло в пористой среде, допускавшей или перемещение самих растворов, или же беспреднестационарную циркуляцию кристаллизационных токов растворенного вещества. Эти два условия и объясняют развитие карбонатов в форме крупных пойкилобластических выделений, которые включают в себе зерна кварца, чешуйки слюды, талька и т. д., целиком обтекая их.

В большинстве лиственитов, кроме кварца и карбонатов, присутствуют еще светлые слюды. Эта почти обязательная составная часть

листвениты  
породы  
фрукты  
что, выяв  
листы  
нейсе  
роскошь  
чем с  
все и  
присущ  
ься с  
невед  
вается  
добны  
пенти  
ся» —

Б  
антаго  
ся в  
сната  
шпине  
крепко  
при х  
ления  
тены  
вию а  
геолог  
нерал  
цессе  
как хр  
ния яв  
гообщ  
но, ид  
тическ  
Ал  
не явле  
геологи  
активи  
привнес  
замеща  
Джезек

Фу  
некотор  
ноземом  
очень р  
источни  
явиться  
вах во  
счет ав  
присутс  
лов, и р  
так. Что  
пород, к  
2—344

## Листвениты, их особенности, разновидности и условия образования

17

собенно важно, что листвениты начиная с кремнистых, условия в которых коры выветривания бирбюритов выветреными карбонатами (сериты) и иногда в виде метаморфических пород, связанных с гипсом.

Природные листвениты резко отличают их от серпентинитов и талько-карбонатных город и родит с березитами и грейзенами. Присутствие слюд, главным образом калиевых (мусковит, серицит, фуксит), реже натриевых (парагонит) или сложных калий-натриевых, это, вероятно, встречается чаще, так как анализы лиственитов всегда указывают на присутствие и калия и натрия, свидетельствует о привносе при лиственитизации щелочей, в первую очередь калия. Количество образующейся слюды в лиственитах обычно очень невелико. В поле зрения микроскопа в шлифе этот минерал редко встречается в количестве большем, чем одна или две чешуйки, тогда как кварц и карбонат обычно занимают ее поле зрения, являясь явно господствующими минералами. Только в присутствии очень тонко диспергированного фуксита он закрашивает эту породу в зеленый цвет, хотя и в этом случае его количество очень невелико, как это определяется по наблюдениям в шлифах и устанавливается по наличию в составе таких пород оксида хрома (до 0,05%). Подобные же содержания оксида хрома постоянно констатируются в серпентинитах. В лиственитах они только в большей степени «разбавляются» — разубоживаются привносом углекислоты и щелочей.

Выше уже указывалось, что зеленая фукситовая слюда является антиагессивной по отношению к хромшпинеллиду, который сохраняется в апосерпентинитовых лиственитах только тогда, когда вместо фуксита в них присутствует неокрашенный серицит — мусковит. Хромовые шпинели высоко огнеупорны и не растворяются (практически) даже в крепких минеральных кислотах. Разложение этих минералов, например, при химическом анализе, как известно, производится посредством сплавления их со щелочами; иначе говоря, они растворимы только в расплавленных (то есть очень агрессивных) щелочах. По отношению к воздействию агентов выветривания, даже с учетом могущественного фактора геологического времени, они очень стойки и представляют обычный минерал шлихов и россыпных месторождений платиноидов. И если в процессе лиственитизации происходит разрушение столь прочных молекул, как хромшпинеллиды, то, очевидно, следует признать, что лиственитизация является очень активным процессом постериорномагматического или вообще гидротермально-пневматолитического изменения пород и, вероятно, идет на относительно высокотемпературном этапе эволюции магматических масс.

Агрессивность углекислоты и карбонатов при высоких температурах не является качеством, присущим только магнетитам. В геологической литературе (Т. А. Сатпаева, 1954) описаны факты яркой активности карбонатов, частично перекристаллизованных, а частично агрессивных в порядке гидротермального процесса. Карбонаты сильно замещают и разъедают полевые шпаты в серых рудных песчаниках Тянь-Шаня.

Фуксит, серицит и мусковит (особенно последний) всегда содержат некоторое количество глинозема. Оно целиком может покрываться глиноземом, получающимся при распаде хромшпинеллидов, которые за очень редкими исключениями являются безглиноземистыми. Другим источником глинозема при образовании слюд в лиственитах могут являться аллюмосиликаты, всегда присутствующие в небольших количествах во всех аналогичных породах и даже наиболее ультраосновных (за счет авгитовых широксенов, амфиболов, хлоритов). В меру небольшого присутствия этих глиноземсодержащих минералов, а также шпинеллидов, и развиваются соразмерно небольшие количества слюд в лиственитах. Что же касается до источника глинозема при лиственитизации таких пород, как габброиды, различные порфириты и основные туфы, граувак-

ковые песчаники и известняки, то у них и в исходном составе содержится много глинозема. В частности, в известняках-доломитах глинозем может содержаться в их мергелистой части.

Частично аутогенно-реакционное происхождение может иметь также железо пирита, гематита и магнетита лиственитов. Об этом, вероятно, может свидетельствовать факт некоторой обратной пропорциональности между количествами этих минералов и особенно между пиритом и степенью железистости карбоната.

Таким образом, листвениты представляют собой действительно продукты гидротермально-метасоматической или pnevmatolito-metасоматической переработки пород, характерных в своем исходном состоянии малой кислотностью и высоким содержанием оснований, главным образом, щелочных земель и закисного железа.

Они, как было видно из изложенного, развиваются по разным породам, объединенным общим качеством — основностью химического состава, главным образом вблизи от серпентинитов или же прямо по этим породам. С этой стороны был совершенено прав В. Н. Лодочников, характеризуя эти существенно кварц-карбонатные метасоматические породы как контактово-метасоматические образования типа скаров окрест ультраосновных пород и лиственитов (стр. 224). Правда, того привноса окиси магния, якобы требующегося для образования лиственитов о котором говорит В. Н. Лодочников, может быть в большинстве случаев и не требуется, но тем не менее основная мысль его правильна. Это происходит потому, что все связи с серпентинитами и ультрабазитами — прямой генетической или косвенной — типичные листвениты никто не видел, и они не описывались до настоящего времени в существующей геологической литературе.

Важно также отметить, что листвениты образуются при активном привносе углекислоты и щелочей в какой-то агрессивной форме, и это является особым типом локального метаморфизма. Может быть, целесообразно именовать этот тип метаморфизма, как это предложил Р. Дж. Холден (1937), карботермальным. Этим именем, в противовес гидротермальному метаморфизму, он предлагает называть случай метаморфического преобразования, обусловливающийся глубинными эманациями, в которых содержание ювелирной углекислоты выше, чем содержание воды. Карботермальный метаморфизм, нужно думать, обуславливает присущенную карбонатизацию с вытеснением прежних кислотных радикалов, например, кремнекислоты, а не реакции высокотемпературного гидролиза, как это обеспечивает обычный гидротермальный метаморфизм. В этом предположении Р. Дж. Холдена, несомненно, имеется правильный учет совершению конкретных фактов в природе. Действительно, ведь известны среди газовых выделений современных вулканов существенно углекислотные струи. Они настолько обычны, что даже присвоено особое название *моффетты*. Р. Браунс (1904) указывает, что газовые струи вулкана Санторина в начале извержения содержали 36,42% углекислоты, а в конце его содержание углекислоты дошло уже до 90,78%, т. е. они превратились в типичные моффетты.

Лиственизация, очевидно, и может явиться одной из разновидностей карботермального моффетного метаморфизма, отличающейся присутствием в углекислотных эманациях щелочей. Употребление термина «гидротермальный метаморфизм» для такого процесса, как лиственизование, неудобно не только потому, что в результате его образуется мало гидролизатов-гидросиликатов, но и потому, что вопрос о фазовом состоянии лиственизирующих растворов должен быть пока открыт. Вернее всего, они являются газовыми, а не жидкими, даже в

в усло  
солид  
С  
полин  
магма  
отлича  
дов и  
новы  
как по  
ных с  
Вместе  
приори  
доводя  
цифры  
других  
и вооб  
что они  
живы  
ние р  
единст  
мо это

Л  
считат  
гелью  
стиля  
фетти  
серпен  
автомо  
количе  
обстан  
бы обс  
гидрот  
(1936)  
неболь  
(28 км  
буется  
количе  
цесс с  
автоме

Из  
деятели  
обстано  
хотя и  
ства во  
тилизат

Мож  
зывающ  
минера  
образует  
выделяю  
в форм  
тельн  
пентини  
очевидн  
расплав

## Лиственины, их особенности, разновидности и условия образования

19

в условиях тех высоких общих давлений на больших глубинах, где консолидируются серпентиниты.

Связь этих пород с серпентинитами-ультрабазитами позволяет заполнить тот пробел в гидротермально-пневматолитической деятельности магматических расплавов, который характерен для этих пород и резко отличает их от всех прочих изверженных пород (габброидов, гранитондов и др.) любого химико-минералогического состава, кроме ультраосновных. Общеизвестны такие особенности серпентинитовых массивов, как почти совершенно полное отсутствие контактных ореолов и связанных с ними дестилляционных месторождений в окружающих участках. Вместе с тем также общеизвестны их поразительно интенсивные постприорномагматические изменения (серпентинизация, карбонатизация), проводящие содержание связанной воды в этих породах до огромной цифры — 13% и углекислоты до 4%, не имеющие аналогов ни в каких других интрузивных или эфузивных породах. Наиболее богаты водой и вообще потерей при прокаливании сосудоритовые и урагитовые габбро, что они содержат этот компонент в количествах не более 2%. Из эфузивных пород очень богаты водой пештейны, или смоляные камни, дающие рекордную цифру потери при прокаливании в 11%. Они являются единственными в своем роде (кроме серпентинитов) породами и, помимо этого, относительно очень редки.

Листвениты при учете всех охарактеризованных положений можно считать едва ли не единственными свидетелями дестилляционной деятельности ультрабазито-серпентинитовых магматических масс. Их дестилляты отличаются в своем исходном состоянии углекислотным (мопфеттым) характером, что усматривается даже из самого факта серпентинизации — процесса, по общему мнению являющемуся процессом автометаморфическим. При серпентинизации связывается колосальное количество воды, которая в иных условиях — на меньших глубинах и в обстановке преобладания внутреннего давления над внешним — могла бы обеспечить широкий ореол контактных изменений и большое число гидротермальных месторождений. В. Н. Лодочников в той же работе (1936) указывает, что по его подсчетам для серпентинизации такого небольшого змеевикового массива, как Баженовский на Среднем Урале (28 км длины при 0,8—2,5 км ширины), на глубину только 150 м требуется около 1,2 куб. км воды. Это дает меру действительно громадных количеств ювелирной (магматической) воды, связывающихся в процессе серпентинизации ультраосновных магм, проходящей в порядке автометаморфизма.

Из этого можно заключить, что гидротермальная дестилляционная деятельность серпентинитов не возможна не только из-за особенностей обстановки, затрудняющей благодаря большим давлениям дестилляцию, хотя и это играет крупную роль, но еще и потому, что огромные количества воды затрачиваются на собственно автометаморфическую серпентинизацию.

Можно еще добавить, что серпентинизация представляет собой связывание не только одною воды. Обязательным спутником серпентиновых минералов в этих породах является карбонат-магнезит. Этот минерал образуется уже потому, что при серпентинизации распаде оливина выделяется излишняя окись магния, которая тотчас же фиксируется или в форме брусита (гидрата окиси магния) или же, что происходит значительно чаще, в форме карбоната магнезита. На образование этого серпентинизационного магнезита затрачивается до 4% углекислоты. Но, очевидно, значительная часть легкоподвижной фракции ультраосновных расплавов, резко обогащенных этим компонентом благодаря связыва-

нико воды, может в известных случаях расходоваться на дестилляционные явления, образуя мофеты.

Дестилляция из серпентинитовых магматических масс, учитывая особенности их консолидации на очень больших глубинах, в обстановке огромных давлений окружающих их пород, может иметь место только в тех случаях и в те этапы эволюции таких расплавов, когда внутреннее (магматическое) давление преобладает над внешним. Очевидно, это явление в тех областях земной коры, где консолидируются такие ультраосновные расплавы, как серпентиниты (а не как ультрабазиты вообще, растерявшие все следы дестилляции всю или почти всю воду), будет растерянное вследствие дестилляции всем и ни почти всю воду), будет встречаться не очень часто и это определяет редкость появления лиственитов и вообще ореолов контактных явлений близ серпентинитовых массивов.

### Листвениты и березиты

Полагать, что лиственитационные явления в приконтактном ореоле могут встречаться только близ серпентинитов и только в генетической связи с дестилляционной деятельностью последних, было бы неправильно. Углекислотный (мофеттный) характер дестиллятов и вообще легконодвижной поверхливкой фракции расплавов, конечно, не может быть привилегией только ультраосновных магм.

В условиях современного вулканизма мофеттные струи представляют только определенную стадию в газовой дестилляции вулканических очагов и лав. Столь же определенным этапом углекислотная дестилляция должна быть и в общем ходе эволюции интрузивных магм. Немудрено, что явления карбонатизации вмещающих рудные гидротермальные месторождения пород и явления образования заведомо гидротермальных кварцево-карбонатных и карбонатных рудных жил представляют хорошо известные и весьма частые примеры.

Несомненно, что именно такими примерами карбонатизации за счет магматических дестиллятов определенного (мофеттного) типа и являются случаи развития березитов по кислым алюмосиликатным породам и лиственитов — по основным силикатным породам в Березовском рудном поле, описанные И. И. М. Б. Бородавскими.

Весь приводимый этими авторами фактический материал с полной определенностью свидетельствует, что и березиты и листвениты представляют собой продукты переработки разных пород одними и теми же гидротермально-иневматитовыми растворами. Все дело, очевидно, в химико-минералогическом составе исходных пород. Но эти газоводные дестилляты находились уже на стадии мофетт или, возможно, перехода от сольфатарной стадии к мофеттной, так что содержание углекислоты в них было достаточно большим. Вместе с углекислотой в этих дестиллятах содержались и щелочи.

Эти единые по составу гидротермы воздействовали в Березовском рудном поле на резко различные по химизму породы и здесь в непосредственном соседстве друг от друга, в один и тот же отрезок времени, разовывались внешне совершенно различные породы — березиты и листвениты. Но различие это только внешнее. Как уже указывалось выше, имеющийся фактический материал по минералогии березитов и лиственитов показывает, что в березитах почти всегда содержится карбонат, обилие вторичный (оставшийся после разложения силикатов и алюмосиликатов) кварц, слюды и пирит. То же мы наблюдаем и в лиственитах — в них много карбонатов, вторичного (реакционного, освобожденного при распаде силикатов) кварца, слюды и пирита. Различие в

воздействии есть только в том, что контрастные реагенты

Кислые инейшие основные породы (габбро и др.), будучи, главным кислоту, кроме этого, кремнезеваивают то же самое как известняках

часть улавливают породами не герм является малого весия, или, чистый. В проще отчетливо. Углекислотный жемному автозами дестилляции либо извеком дестилляции

Как уже указывалось, и это почти все, что (анкерит всегда содеряется в березитах) для бурого шпат-литига четко и кварцитов, в которых пород

В заключительности сохранился В. Н. Лодо термин «лист» разнообразный. Конечно, то же время бонарное, ки

гидротермальных дестиллятов на разные породы в этом случае состоит только в том, что каждая из исходных пород как бы усваивает только контрастирующие с ее составом компоненты этих активных газоводных реагентов.

Кислые породы (гранитоиды в широком смысле) улавливают главнейшие основания — в общем, щелочные земли и щелочи. Основные породы (габброиды, ультрабазиты, известняки, граувакковые песчаники и др.), будучи насыщенным и пересыщенным основаниями, усваивают, главным образом, кислотные радикалы и, в первую очередь, углеродистую, кроме, конечно, известняков, которые в этом процессе обогащаются кремнистостью. Из катионных компонентов все эти породы усваивают только те, которых им не достает, т. е. щелочи, а не щелочные земли как компоненты, контрастирующие их изначальному составу. В известняках появляются окись магния и залесье железа. Эта закономерность улавливания перерабатывающихся метасоматическим путем породами недостающих им (контрастирующих) компонентов из гидротерм является частым выражением более общего закона гидротермального метасоматизма, идущего под действием химического неравновесия, или, что почти то же самое, под действием градиента концентраций. В процессе березитизации-лиственинизации он проявляется очень четко. Источники гидротермально-ионевматотитических солиффатарно-мофеттных дестиллятов здесь могут быть различны, подобно изложенному автором (1954) положению с гидротермально-ионевматоглинистыми дестилляционными месторождениями без видимой связи с какими-либо изверженными породами. В отдельных случаях первоисточником дестиллятов этого типа могут быть гранитоиды и их даккиты.

Как уже отмечалось, Н. И. и М. Б. Бородаевские считают, что и березиты, и лиственины, т. е. породы существенно или кварц-силикатные, во почти всегда содержание в большем или меньшем количестве карбонат (апперит), или же существенно карбонат-силикатные, но почти всегда содержащие большие или меньшие кварца (от 0 до 60%, по Н. И. и М. Б. Бородаевским), являются ветвями единого гидротермально-метасоматического процесса. Эти авторы даже считают, что точное разграничение обоих типов пород прямо невозможно (стр. 178).

В связи со всем вышеприведенным целесообразно ограничить применение термина «березит» только к таким кварц-сернистовым породам, которые содержат карбонаты. Эта примесь к настоящим березитам настолько типична, что Ф. Ю. Левинсон-Лессинг (1937) и Н. Е. Трегер ввели в петрографическую терминологию название «карбонатный березит» для березитов, содержащих, по Н. Е. Трегеру, 14% (объемных) бурого шпата (апперита). Этим содержанием карбоната березиты могут четко и безоговорочно отграничиваться от сернистовых вторичных кварцитов, от сернистовых грейзенов и других сернистых метаморфических пород.

\* \* \*

В заключение необходимо остановиться еще на вопросе о возможности сохранения термина «лиственинит» в петрографическом лексиконе. В Н. Лодочников, как выше уже указывалось, предлагая исключить термин «лиственинит» из-за якобы противоречивых данных об их составе и разнообразных толкованиях в отношении генезиса этих пород.

Конечно, состав разных лиственинитов достаточно разнообразен, но в то же время все эти породы объединяются единством присутствия карбонатов, кварца и слюд. В такой же степени имеют самый разнообраз-

тический состав, но учитывая обогащенность

только внутреннее видно, это

жные ультраты вообще, будег

ения лиственинитовых

стном прео- генетично

бы не- тов и вооб-

представля- ческих

и дестилля- агм. Немуд-

ротермаль-

гидротер-

представля-

ции за счет

и являются

породам и

рудном

и с полной

шты пред-

ими и теми

о, очевидно,

газоводные

но, переход-

ние углекис-

тои в этих

Березовском

в непосред- времении, об-

- березиты и

зывалось вы- березитов и

держится кар- силикатов и

ием и в листв- ого, освобож-

Различие в

шай минералогический состав и гнейсы, для большей семьи которых даже нельзя указать никакого общего, связывающего эту группу воедино минерала. Но никому и в голову не придет отказаться от этого старинного, прочно вошедшего в петрографический обиход термина.

Далее, разноречивые толкования о генезисе листвениитов оказываются при более подробном рассмотрении отнюдь не разноречивыми. Лиственииты — это продукт преобразования любых пород основного состава горячими газоводными продуктами существенно карбонатного состава (мопфеттами). В этом смысле совершенно понятна их связь с ультрабазитами и вообще основными породами. Что же касается источника метаморфизующих газоводных дестиллятов, то он может быть различен. В этом отношении они совершенно подобны таким породам, как грейзены или скары, которые могут быть и продуктами автометаморфизма и продуктами аллометаморфизма и могут иметь самые различные породы в качестве изначальных. Но никто не отказывается по этим соображениям от употребления терминов «скари» и «грейзен».

Термин «листвениит» в петрографическом лексиконе нужно сохранить. Он прочно вошел в петрографию и в краткой форме передает как существо процесса, так и общий характер получающейся породы.

#### ЛИТЕРАТУРА

- 1 Бок И. И. Об основах классификации дестилляционных (пневматолито-идротермальных) месторождений. Сб. «Геология, горное дело и металлургия», № 9 КазГМИ, 1954.
- 2 Бородаевский Н. И. и Бородаевская М. Б. Березовское рудное поле (геологическое строение). Металлургиздат, 1947.
- 3 Киязов И. И. Гидротермально-измененные карбонатные породы. Сб. «Измененные окорудные породы и их поисковое значение», 1954.
- 4 Коржинский Д. С. Очерк метаморфических процессов. Сб. «Основные проблемы в учении о магматогенных рудных месторождениях», АН СССР, 1953.
- 5 Кротов В. П. Петрографическое исследование южной части Миасской дачи, Казань, 1915.
- 6 Курек Н. И. и Курек А. И. Серпентинодержащие породы. Сб. «Измененные окорудные породы и их поисковое значение», 1954.
- 7 Лодочников В. Н. Серпентины и серпентиниты Ильчирские и другие петрографические вопросы, с ними связанные. Труды ЦНИГРИ, вып. 38, 1936.
- 8 Розенбуш Г. Описательная петрография. Перевод под редакцией В. Н. Лодочникова, 1931.
- 9 Сагаева Т. А. К вопросу о метаморфизме месторождений медистых песчаников. Известия АН СССР, серия геологическая, № 2, 1954.
- 10 Фереман А. Е. Мрамор. Нерудные ископаемые КЕПС АН СССР, т. 2, 1927.
- 11 Фереман А. Е. Геохимия кобальта. Известия АН СССР, серия геологическая, № 3—4, 1939.
- 12 Фереман А. Е. Геохимия, т. IV, АН СССР, 1939.
- 13 Шилин Д. М. и Иванова В. П. Хлоритодержащие породы. Сб. «Измененные окорудные породы и их поисковое значение», 1954.
- 14 Holden R. J. Magmatic carbonization — carbothermal metamorphism. Econ Geol, vol 37, № 8, 1937.

#### РЕЗЮМЕ

Макалада темірлі-магнезиалық карбонат, кварц және слюда, эсіреңе осы тау жыныстарына жасыл түс беретін, ашық жасыл фукситтен күралған метаморфиялық тау жыныстарының грунтасы — лиственииттер сипатталады.

Лиственииттер өртүрлі тау жыныстарын көмір қышқылымен сілтіге бай ультра негізді магмалардың газды-сұлы дестилляттарының өзгеруінен пайда болады.

1956

ПЕТ

Ин  
балхан  
дева (Б  
Б. И. Б  
пояс, в  
сейнами  
хански  
более т  
ье его с  
и основ  
торых з  
породы  
ного по  
геосинк  
средств  
этой зо

В с  
целес  
щем бо  
процесс  
и их м  
уступа  
не бесл  
гарцбур  
а также  
ые, с  
венито  
лы — б  
пирос  
ритами  
физика  
бро-дио  
чены д  
нами д  
отсутст  
базитов  
В т  
негашы

## ИЗВЕСТИЯ

АКАДЕМИИ НАУК КАЗАХСКОЙ ССР

1953

Серия геологическая

Вып. 22

Н. Н. МИХАЙЛОВ

**ПЕТРОХИМИЧЕСКИЕ ОСОБЕННОСТИ УЛЬТРАОСНОВНЫХ  
И ОСНОВНЫХ ПОРОД БЕТПАК-ДАЛЫ  
И ЮГО-ЗАПАДНОГО ПРИБАЛХАШЬЯ**

Интрузии ультраосновных и основных пород Юго-Западного Прибалхашья, известные еще по работам М. Н. Русакова (3) и Д. И. Яковлева (6), и интрузии ультрабазитов Бетпак-Далы, выявленные в 1917 г. Н. Н. Борсуком и Л. И. Боровиковым, образуют единый ультрабазитовый пояс, вытянутый на протяжении 550 км вдоль водораздела между бассейнами реки Чу и озера Балхаша. Этот пояс, названный мной Чу-Балхашским (2), представляет одну из наиболее крупных и вместе с тем наиболее типичных офиолитовых формаций Восточного Казахстана. В составе его сейчас насчитывается свыше ста интрузивных тел ультраосновных и основных пород, а суммарная их площадь составляет 460 кв. км, из которых значительная часть (около 70%) приходится на ультраосновные породы и их метаморфические производные. Интрузивные массивы данного пояса залегают исключительно в древних толщах Чу-Балхашской геосинклинальной зоны, располагаясь в ее краевой части, которая исподвольно тяготеет к глубинному разлому, проходящему по границе этой зоны с областью ранее консолидированных структур Бетпак-Далы.

В составе массивов Чу-Балхашского пояса принимает участие комплекс разнообразных изверженных пород, представленных в подавляющем большинстве сильно измененными метаморфизмом и гипергенными процессами разностями. Среди них преобладают ультраосновные породы и их метаморфические производные, основные породы им значительно уступают, а средние и кислые — встречаются лишь спорадически. В группе бесполевникоатовых ультраосновных пород здесь выделены дуниты, гарнбургиты, лерцолиты, верлиты и происшедшие из них серпентиниты, а также другие их метаморфические производные (тальково-серпентиновые, серпентино-хлорито-тальковые породы, породы группы листолитов, оциализированные серпентиниты и кремнисто-тимонитовые породы — бирбириты). Меньшее распространение в этой группе пород имеют биркофениты, представленные, главным образом, диаттагитами и вебестеритами. Среди основных пород выделяется меньшее количество петрографических разновидностей: отивиновые габбро, нормативные габбро и габбро-щориты. Весьма редко и в незначительном проявлении были встречены диориты и кварцевые диориты, являющиеся крайними кислыми членами дифференциального ряда. Породы типа поритов здесь совершенно отсутствуют, что вообще является характерным для большинства ультрабазитовых поясов Казахстана (4).

В таблицах 1, 1а и 2 приведены результаты химического анализа главнейших представителей ультраосновных и основных пород Чу-Балхашско-

Табл. I

Химический состав дунитов, перидотитов и серпентинитов

| №                              | 20       |           | 24       |           | 31       |           | 32       |           | 34       |           | 35       |           | 37       |           | 38       |           | 40       |           |        |
|--------------------------------|----------|-----------|----------|-----------|----------|-----------|----------|-----------|----------|-----------|----------|-----------|----------|-----------|----------|-----------|----------|-----------|--------|
|                                | БССОБ. % | МоТ. K-B0 |        |
| Окислы                         |          |           |          |           |          |           |          |           |          |           |          |           |          |           |          |           |          |           |        |
| SiO <sub>2</sub>               | 40,38    | 672       | 42,58    | 709       | 39,50    | 659       | 36,30    | 605       | 39,16    | 652       | 37,14    | 618       | 42,21    | 703       | 37,53    | 626       | 35,23    | 536       | 37,37  |
| TiO <sub>2</sub>               | 0,12     | 1         | 0,15     | 3         | 0,11     | 1         | 0,15     | 2         | 0,13     | 1         | 0,19     | 3         | 0,18     | 3         | 0,13     | 1         | 0,08     | 0         | нет    |
| Al <sub>2</sub> O <sub>3</sub> | 5,00     | 49        | 6,62     | 65        | 2,86     | 28        | 3,40     | 33        | 1,77     | 18        | 7,97     | 78        | 3,70     | 36        | 3,41     | 33        | 0,30     | 3         | 0,63   |
| Cr <sub>2</sub> O <sub>3</sub> | —        | —         | —        | —         | —        | —         | —        | —         | —        | —         | —        | —         | —        | —         | —        | —         | 0,19     | 1         | 0,27   |
| Fe <sub>2</sub> O <sub>3</sub> | 3,21     | 20        | 2,11     | 13        | 9,92     | 62        | 7,26     | 46        | 7,36     | 46        | 7,88     | 49        | 8,76     | 54        | 9,05     | 56        | 6,37     | 40        | 4,34   |
| FeO                            | 4,04     | 56        | 5,96     | 82        | 0,40     | 6         | 2,57     | 36        | 0,31     | 4         | 1,72     | 24        | 1,39     | 19        | 1,50     | 21        | 1,86     | 26        | 2,71   |
| MnO                            | 0,09     | 1         | 0,06     | 0         | 0,04     | 0         | 0,06     | 0         | 0,05     | 0         | 0,04     | 0         | 0,05     | 0         | 0,05     | 0         | 0,32     | 4         | 0,78   |
| MgO                            | 36,00    | 900       | 31,26    | 781       | 34,51    | 862       | 35,80    | 895       | 37,25    | 931       | 31,05    | 775       | 26,75    | 669       | 35,05    | 875       | 42,78    | 1069      | 43,62  |
| CaO                            | 0,35     | 5         | 2,63     | 47        | 0,45     | 8         | 1,70     | 30        | 0,55     | 10        | 2,25     | 40        | 9,85     | 176       | 0,60     | 11        | 0,63     | 13        | 0,32   |
| Na <sub>2</sub> O              | 0,20     | 3         | 0,23     | 4         | 0,42     | 7         | 0,29     | 5         | 0,15     | 2         | 0,24     | 3         | 0,20     | 3         | 0,17     | 2         | 0,14     | 2         | 0,12   |
| K <sub>2</sub> O               | следы    | —         | следы  |
| П. п.                          | 11,01    | —         | 9,01     | —         | 11,92    | —         | 12,68    | —         | 13,66    | —         | 11,62    | —         | 7,28     | —         | 12,60    | —         | 12,53    | —         | 10,07  |
| Сумма                          | 100,40   | —         | 100,66   | —         | 100,13   | —         | 100,21   | —         | 100,39   | —         | 100,10   | —         | 100,40   | —         | 100,09   | —         | 100,53   | —         | 100,23 |

Примечание. 20—серпентинизированный перидотит из Гистанского массива, 21—апочервотигонный серпентинит из Гистанского массива, 31—серпентинит из Ергенетинских массивов, 32—серпентинизированный перидотит из Ергенетинских массивов, 33—серпентинит из Карагальского массива, 34—серпентинизированный перидотит из Карагальского массива, 35—гарцбургит из Карагальского массива, 36—дунит из Алласайского массива, 37—дунит из Карагальского массива, 38—дунит из Карагальского массива, 39— гарцбургит из Карагальского массива, 40—дунит из Алласайского массива.

Бургут из Андассайского массива.

Таблица Ia

## Химический состав дунитов, перидотитов и серпентинитов

| №<br>Окислы                    | 45        |           | 48        |           | 56        |           | 47        |           | 91        |           | 94        |           | 95        |           | 61        |           | 30        |           | 113       |           |   |
|--------------------------------|-----------|-----------|-----------|-----------|-----------|-----------|-----------|-----------|-----------|-----------|-----------|-----------|-----------|-----------|-----------|-----------|-----------|-----------|-----------|-----------|---|
|                                | БЕССОБ. % | МОЛ. K-BO |   |
| SiO <sub>2</sub>               | 34,23     | 670       | 41,02     | 683       | 37,65     | 627       | 51,12     | 851       | 33,26     | 553       | 38,19     | 636       | 38,58     | 642       | 35,74     | 645       | 36,96     | 615       | 36,88     | 615       |   |
| TiO <sub>2</sub>               | 0         | следы     | 0 |
| Al <sub>2</sub> O <sub>3</sub> | 5,20      | 51        | 0,97      | 10        | 3,23      | 32        | 0,84      | 8         | 2,77      | 27        | 5,00      | 49        | 4,23      | 41        | 3,88      | 37        | 3,44      | 33        | 1,63      | 16        |   |
| Cr <sub>2</sub> O <sub>3</sub> | 0,21      | 1         | 0,18      | 1         | 0,38      | 3         | 0,12      | 0         | 0,32      | 2         | следы     | —         | 0,06      | —         | 0,09      | —         | —         | —         | —         | 0,39      | 3 |
| Fe <sub>2</sub> O <sub>3</sub> | 6,08      | 38        | 4,25      | 26        | 5,28      | 33        | 6,07      | 35        | 2,75      | 17        | 0,24      | 2         | 0,73      | 7         | 1,72      | 11        | 7,62      | 48        | 5,13      | 32        |   |
| FeO                            | 4,32      | 60        | 2,68      | 38        | 5,09      | 71        | 5,10      | 75        | 3,63      | 50        | 10,54     | 146       | 11,40     | 158       | 10,02     | 139       | 2,69      | 38        | 1,50      | 21        |   |
| MnO                            | 0,56      | 7         | 0,97      | 14        | 1,00      | 15        | 2,12      | 30        | 1,75      | 25        | 0,37      | 5         | 1,57      | 22        | 0,74      | 11        | 0,09      | —         | 0,09      | —         |   |
| MgO                            | 38,05     | 950       | 37,24     | 931       | 32,97     | 825       | 27,47     | 636       | 29,44     | 736       | 31,39     | 785       | 32,03     | 716       | 33,85     | 846       | 36,08     | 901       | 40,04     | 1000      |   |
| CaO                            | 0,14      | 0         | 0,72      | 13        | 3,48      | 62        | 1,88      | 34        | 12,78     | 228       | 1,94      | 35        | 1,24      | 22        | 2,00      | 36        | 1,50      | 27        | 1,20      | 21        |   |
| Na <sub>2</sub> O              | 0,14      | 2         | 0,34      | 5         | 0,11      | 2         | 0,42      | 6         | 0,31      | 5         | 0,31      | 5         | 0,24      | 3         | 0,13      | 2         | 0,19      | 4         | 0,21      | 3         |   |
| K <sub>2</sub> O               | —         | —         | —         | —         | —         | —         | 0,11      | 1         | следы     | —         | следы     | —         | следы     | —         | следы     | —         | нет       | —         | нет       | —         |   |
| П. п. II.                      | 11,44     | —         | 11,80     | —         | 10,62     | —         | 4,98      | —         | 13,31     | —         | 12,00     | —         | 9,42      | —         | 8,38      | —         | 12,00     | —         | 33,09     | —         |   |
| Сумма                          | 100,23    | —         | 100,17    | —         | 99,86     | —         | 100,53    | —         | 100,35    | —         | 100,68    | —         | 100,25    | —         | 100,13    | —         | 100,72    | —         | 100,29    | —         |   |

Причина: 45 — дунит из Андассайского массива, 48 — арибургит из Андассайского массива, 56 — серпентинизированный перидотит из Андассайского массива, 47 — порфироцитный перидотит из Андассайского массива, 91 — перидотит из Гарланатского массива, 94 — серпентинит из массива Хантай, 95 — серпентинит из массива Хантай, 96 — серпентинит из массива Хантай, 97 — серпентинит из массива Хантай, 98 — серпентинит из массива Хантай, 99 — серпентинит из массива Хантай, 100 — серпентинит из массива Хантай.

Н. П. МИХАИЛОВ

таблица 2

## Химический состав пироксенитов и габбро

| №<br>Оксиды                    | 21        |           |           | 44        |           |           | 70        |           |           | 96        |           |           | 97        |           |           | 99        |           |           | 092       |           |           | 099       |           |           |  |
|--------------------------------|-----------|-----------|-----------|-----------|-----------|-----------|-----------|-----------|-----------|-----------|-----------|-----------|-----------|-----------|-----------|-----------|-----------|-----------|-----------|-----------|-----------|-----------|-----------|-----------|--|
|                                | БЕССОБ. % | Mоr. K-B0 | Mоr. K-B0 | БЕССОБ. % | Mоr. K-B0 | Mоr. K-B0 | БЕССОБ. % | Mоr. K-B0 | Mоr. K-B0 | БЕССОБ. % | Mоr. K-B0 | Mоr. K-B0 | БЕССОБ. % | Mоr. K-B0 | Mоr. K-B0 | БЕССОБ. % | Mоr. K-B0 | Mоr. K-B0 | БЕССОБ. % | Mоr. K-B0 | Mоr. K-B0 | БЕССОБ. % | Mоr. K-B0 | Mоr. K-B0 |  |
| SiO <sub>2</sub>               | 42,18     | 702       | 42,54     | 708       | 42,66     | 710       | 43,57     | 726       | 43,02     | 716       | 45,85     | 764       | 49,96     | 833       | 50,31     | 838       |           |           |           |           |           |           |           |           |  |
| TiO <sub>2</sub>               | 0,63      | 8         | 1,46      | 18        | 1,17      | 14        | 0,95      | 12        | 0,46      | 5         | 0,72      | 9         | 0,30      | 4         | 0,98      | 12        |           |           |           |           |           |           |           |           |  |
| Al <sub>2</sub> O <sub>3</sub> | 10,70     | 105       | 13,99     | 137       | 12,86     | 125       | 14,93     | 146       | 16,42     | 161       | 10,93     | 167       | 12,87     | 126       | 15,96     | 156       |           |           |           |           |           |           |           |           |  |
| Cr <sub>2</sub> O <sub>3</sub> | нет       | —         | 0,06      | 1         | —         | —         | 0,12      | 2         | 0,07      | 1         | нет       | —         | следы     | —         | —         | —         |           |           |           |           |           |           |           |           |  |
| Fe <sub>2</sub> O <sub>3</sub> | 2,51      | 16        | 0,51      | 5         | 6,70      | 42        | 1,54      | 10        | 1,38      | 9         | 2,14      | 13        | 0,50      | 5         | 1,17      | 8         |           |           |           |           |           |           |           |           |  |
| FeO                            | 8,27      | 114       | 10,37     | 144       | 5,33      | 74        | 8,81      | 122       | 6,18      | 85        | 9,68      | 135       | 8,42      | 117       | 7,69      | 107       |           |           |           |           |           |           |           |           |  |
| MnO                            | 0,19      | 3         | 0,60      | 8         | 0,11      | 1         | 1,83      | 26        | 0,68      | 10        | 0,32      | 4         | 0,24      | 3         | 0,31      | 4         |           |           |           |           |           |           |           |           |  |
| MgO                            | 18,96     | 471       | 16,42     | 411       | 16,01     | 402       | 10,62     | 265       | 11,06     | 276       | 9,88      | 247       | 10,98     | 274       | 10,78     | 269       |           |           |           |           |           |           |           |           |  |
| CaO                            | 12,90     | 230       | 10,21     | 182       | 9,84      | 176       | 13,78     | 246       | 15,55     | 278       | 11,83     | 211       | 12,26     | 219       | 8,36      | 149       |           |           |           |           |           |           |           |           |  |
| Na <sub>2</sub> O              | 0,48      | 7         | 0,84      | 14        | 0,66      | 10        | 1,38      | 23        | 1,73      | 28        | 3,18      | 52        | 2,01      | 32        | 2,28      | 37        |           |           |           |           |           |           |           |           |  |
| K <sub>2</sub> O               | 0,10      | 1         | 0,20      | 2         | нет       | —         | следы     | —         | следы     | —         | 0,47      | 5         | 0,49      | 5         | следы     | —         |           |           |           |           |           |           |           |           |  |
| П. п. п.                       | 2,64      | —         | 2,70      | —         | 3,88      | —         | 2,64      | —         | 3,83      | —         | 4,81      | —         | 1,82      | —         | 2,41      | —         |           |           |           |           |           |           |           |           |  |
| Сумма                          | 99,56     | —         | 99,90     | —         | 99,22     | —         | 100,17    | —         | 100,38    | —         | 99,81     | —         | 99,85     | —         | 100,25    | —         |           |           |           |           |           |           |           |           |  |

Приимечание. 21—пироксенит из Пистольского массива, 44—гигантский из Альгассайского массива, 70—пироксенит из Шайтанчикского массива, 96—97—габбро из Тарланатского массива, 091—092—габбро из Андасейского массива, 77—оливиновое габбро из массива Дурбины.

го пояса<sup>1</sup>, а в таблицах 3 и 4 даны пересчеты этих анализов на числовые характеристики по методу А. Н. Заваринского.

Таблица 3

**Числовые характеристики дунитов, перидотитов и серпентинитов по А. Н. Заваринскому**

| № образцов | Основная характеристика |     |      |      |       | Дополнительные параметры |                |                |                |       |
|------------|-------------------------|-----|------|------|-------|--------------------------|----------------|----------------|----------------|-------|
|            | a                       | c   | b    | s    | n     | f <sup>1</sup>           | m <sup>1</sup> | c <sup>1</sup> | a <sup>1</sup> | Q     |
| 20         | 0,3                     | 0,3 | 61,1 | 38,3 | 100,0 | 8,9                      | 83,5           | 0              | 7,6            | -24,3 |
| 24         | 0,5                     | 2,8 | 54,4 | 42,3 | 100,0 | 11,8                     | 85,7           | 0              | 2,5            | -19,2 |
| 31         | 0,8                     | 0,5 | 59,2 | 39,5 | 100,0 | 12,7                     | 84,9           | 0              | 2,4            | -23,1 |
| 32         | 0,6                     | 1,7 | 61,4 | 36,3 | 100,0 | 12,5                     | 87,3           | 0,2            | 0              | -30,3 |
| 34         | 0,2                     | 0,6 | 61,0 | 38,2 | 100,0 | 9,3                      | 89,5           | 0              | 1,2            | -24,6 |
| 35         | 0,4                     | 2,4 | 59,0 | 38,2 | 100,0 | 12,7                     | 80,7           | 0              | 6,6            | -26,8 |
| 37         | 0,3                     | 1,9 | 55,9 | 41,9 | 100,0 | 13,5                     | 71,3           | 15,2           | 0              | -18,7 |
| 38         | 0,2                     | 0,5 | 62,4 | 36,9 | 100,0 | 12,5                     | 81,9           | 0              | 5,6            | -27,1 |
| 42         | 0,2                     | 0,1 | 66,7 | 33,0 | 100,0 | 8,9                      | 90,1           | 1,0            | 0              | -34,5 |
| 43         | 0,2                     | 0,2 | 65,3 | 34,3 | 100,0 | 7,9                      | 91,9           | 0,2            | 0              | -32,0 |
| 45         | 0,2                     | 0,0 | 67,4 | 32,4 | 100,0 | 11,4                     | 80,1           | 0              | 8,5            | -35,6 |
| 48         | 0,5                     | 0,3 | 59,6 | 39,6 | 100,0 | 8,7                      | 90,6           | 0,7            | 0              | -22,1 |
| 56         | 0,2                     | 1,6 | 60,2 | 33,0 | 100,0 | 13,7                     | 82,9           | 3,4            | 0              | -26   |
| 47         | 0,7                     | 0,0 | 50,4 | 48,9 | 85,6  | 17,3                     | 79,0           | 3,7            | 0              | -2,6  |
| 91         | 0,6                     | 1,0 | 64,0 | 34,4 | 100,0 | 8,2                      | 71,3           | 20,5           | 0              | -33,4 |
| 94         | 0,6                     | 2,1 | 57,9 | 39,4 | 100,0 | 15,7                     | 82,4           | 0              | 1,9            | -24,5 |
| 95         | 0,3                     | 1,3 | 59,3 | 39,1 | 100,0 | 19,8                     | 76,9           | 0              | 3,3            | -23,7 |
| 61         | 0,2                     | 2,0 | 59,9 | 37,9 | 100,0 | 16,6                     | 83,3           | 0,1            | 0              | -26,6 |
| 30         | 0,4                     | 1,6 | 61,6 | 36,4 | 100,0 | 13,0                     | 86,7           | 0              | 0,3            | -29,6 |
| 713        | 0,3                     | 0,9 | 63,1 | 35,7 | 100,0 | 7,9                      | 91,7           | 0,4            | 0              | -31,0 |

Таблица 4

**Числовые характеристики пироксенитов и габбро по А. Н. Заваринскому**

| № образцов | Основная характеристика |     |      |      |       | Дополнительные параметры |                |                |                |       |
|------------|-------------------------|-----|------|------|-------|--------------------------|----------------|----------------|----------------|-------|
|            | a                       | c   | b    | s    | n     | f <sup>1</sup>           | m <sup>1</sup> | c <sup>1</sup> | a <sup>1</sup> | Q     |
| 21         | 1,0                     | 6,1 | 48,5 | 44,4 | 87,5  | 19,2                     | 63,2           | 17,6           | 0              | -19,2 |
| 44         | 1,9                     | 7,0 | 43,1 | 47,8 | 87,5  | 25,6                     | 63,5           | 10,9           | 0              | -15,0 |
| 70         | 1,2                     | 7,0 | 42,8 | 49,0 | 100,0 | 25,4                     | 64,8           | 9,8            | 0              | -11,4 |
| 96         | 3,3                     | 8,5 | 37,9 | 50,3 | 100,0 | 30,3                     | 47,9           | 21,8           | 0              | -14,5 |
| 97         | 3,9                     | 9,2 | 36,9 | 50,0 | 100,0 | 21,2                     | 51,6           | 27,2           | 0              | -17,0 |
| 091        | 6,9                     | 3,3 | 38,2 | 51,6 | 91,2  | 28,8                     | 43,1           | 28,1           | 0              | -13,9 |
| 092        | 4,8                     | 5,9 | 34,8 | 54,5 | 86,5  | 24,4                     | 51,2           | 24,4           | 0              | -6,5  |
| 77         | 4,8                     | 7,6 | 33,4 | 51,2 | 100,0 | 29,8                     | 63,2           | 7,0            | 0              | -8,8  |

Из данных этих таблиц можно видеть, что химический состав ультрабазитов Чу-Балхашского пояса является довольно обычным для этого типа пород. Так, в образцах дунитов, перидотитов и произошедших из них серпентинитов количество кремнезема колеблется от 33,26 до 42,58%, составляя в среднем около 37%. Количество магнезии находится в пределах 31,05 — 43,62%, причем в образцах, содержащих карбонаты кальция, количество магнезии снижается до 26—27%. Содержание железа

<sup>1</sup> Анализы произведены в химических лабораториях Казахского геологического Управления, ВСЕГЕИ и Керамического научно-исследовательского института.

подвержено большим колебаниям: сумма окислов железа составляет от 7 до 14%, причем в большинстве образцов за счет уменьшения окисного железа наблюдается повышение содержание окисного железа, количество которого достигает 9,92%. Это связано, вероятно, с тем, что большинство анализированных образцов подверглось выветриванию, которое обычно начинается с перехода окисного железа в окисное.

Особенностью пород дунито-перидотитового ряда Чу-Балхашского пояса является несколько повышенное, против нормального количество глиноzemиста, достигающее 5—6% и редко снижающееся меньше 1%.

В пироксенитах содержание кремнезема колеблется около 42%, снижается количество магнезии и увеличивается содержание извести глиноzemиста и железа.

Габброидные породы Чу-Балхашского пояса характеризуются несколько повышенной основностью и химический состав их подвержен большим колебаниям, чем состав ультрабазитов, вероятно, за счет более разнообразных и более интенсивно проявляемых процессов гидротермального автоморфического изменения.

Петрохимические особенности пород Чу-Балхашского ультрабазитового пояса наиболее наглядно выражены на приложенной барицентрической диаграмме химических составов, построенной по методу А. Н. Заваринского (рис. 1).

Рассматривая положение фигуративных точек и характер векторов на этой диаграмме, можно видеть некоторое совершение определенные закономерности, характеризующие особенности химического состава пород данного магматического комплекса.

Прежде всего бросается в глаза, что фигуративные точки на диаграмме располагаются не беспорядочно, а определенными группами, которые занимают ясно ограниченные, в особенности по вертикали, поля, соответствующие составу определенных петрографических разновидностей ультрабазитов и габброидов. Каждая из этих групп характеризуется определенными направлениями и длинами векторов.

В самой нижней части диаграммы располагается густой рой фигуративных точек и векторов, соответствующих составу существенно оливиновых бесполевошпатовых ультраосновных пород — дунитов и перидотитов (поле I на рис. 1). Здесь все фигуративные точки расположены вблизи оси  $SB$  ввиду малых значений параметров  $a$  и  $c$ . Векторы на плоскости проекции  $ASB$  направлены почти вертикально вниз и отличаются большой длиной, что указывает на бедность пород алюмосиликатами и богатство магнезием. Отклонение отдельных векторов влево обусловлено некоторым пересыщением состава породы глиноzemом, что вообще не является обычным для ультрабазитов. Такое положение векторов связано, по-видимому, с явлениями хлоритизации некоторых серпентинитов, когда даже небольшое повышение содержания глинозема в породе при ничтожных количествах щелочей и извести создает соотношение окислов, характерное для составов, пересыщенных глиноzemом. Все векторы, расположенные на плоскости проекции  $CSB$ , очень короткие и также направлены вертикально вниз, что наглядно показывает ничтожное содержание в составе ультрабазитов окиси натрия и отсутствие окиси калия.

Характерной особенностью этого поля химических составов является тот факт, что здесь мы имеем сгущение фигуративных точек, а длины векторов на плоскости проекции  $ASB$  здесь настолько сближены, что они почти сливаются в одну узкую полосу, примыкающую к оси  $SB$ . Это обстоятельство указывает на относительную близость химических составов дунитов, перидотитов и серпентинитов.

Следующая группа векторов и фигуративных точек (поле II на рис. 1),

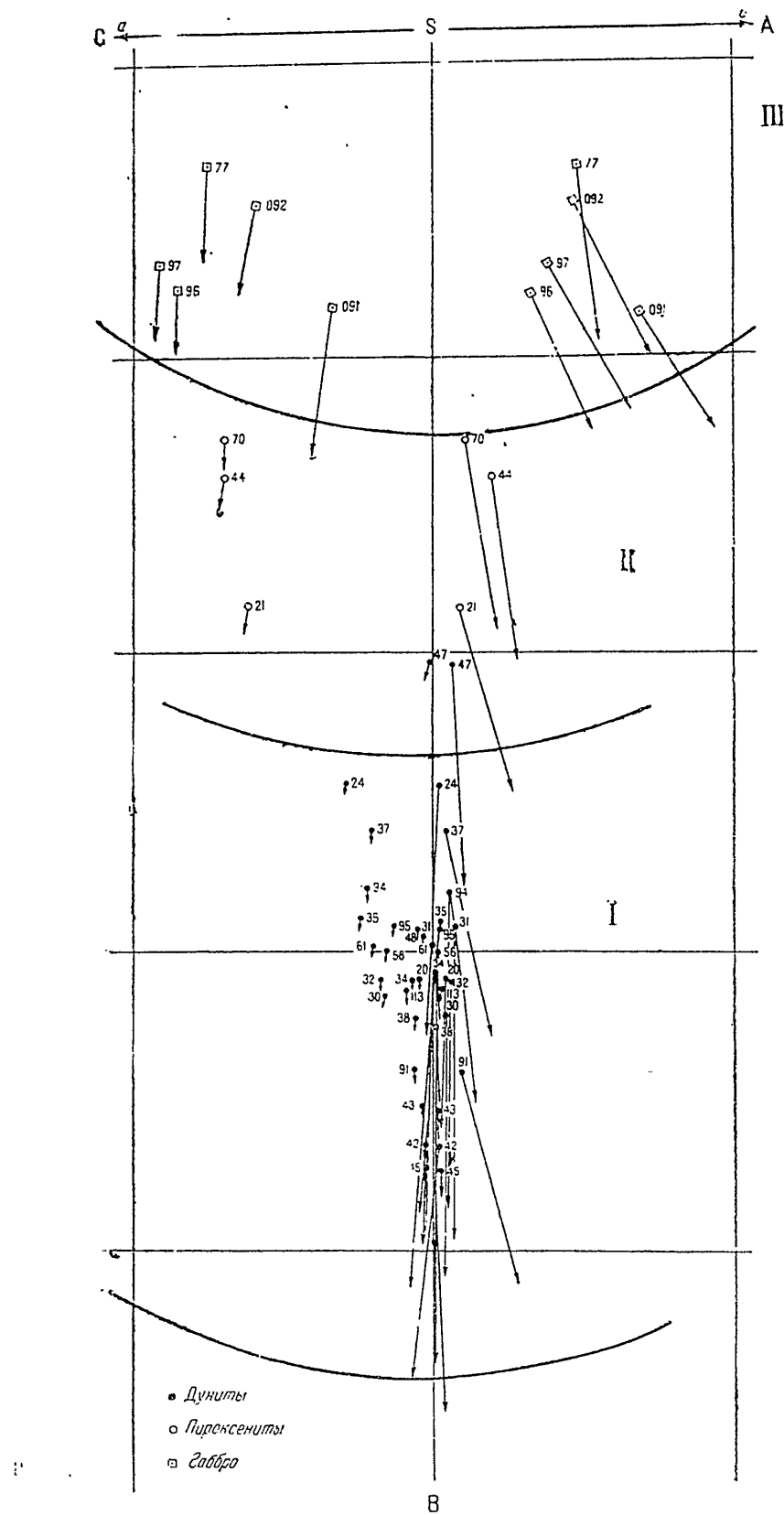


Рис 1 Диаграмма химических составов интрузивных пород Чу-Балхашского ультрабазитового пояса (по А. Н. Заваринскому).

соответствующая пироксенитам, занимает промежуточное положение между составами рассмотренной выше группы пород (поля I) и химическими составами габброидов (поля III). Векторы на плоскости проекции  $ASB$  здесь уже несколько более удалены от оси  $SB$  и имеют заметный, хотя еще и слабый, наклон вправо. Векторы, расположенные на плоскости проекции  $CSB$ , еще более удалены от оси  $SB$  и имеют несколько большую длину, чем аналогичные векторы поля I. Все это наглядно отражает особенности химического состава пироксенитов, где по сравнению с дунитами и перидотитами мы имеем меньшее содержание магнезия и повышенное содержание окиси кальция за счет увеличения в составе породы моноклинного пироксена (диопсида).

Третья группа векторов и фигуративных точек соответствует химическим составам габброидов (поля III). Фигуративные точки на обеих плоскостях проекции здесь еще более удалены от осевой линии  $SB$ , что характеризует большее значение параметров  $a$  и  $c$ , связанное с наличием в породе полевых шпатов. Векторы на плоскости  $ASB$  имеют закономерный наклон вправо и немного меньшую длину по сравнению с аналогичными векторами нижней части диаграммы. Такой характер векторов отражает более высокое содержание железа и известия в габброидах по сравнению с ультрабазитами. Более длинные и вертикально направленные вниз векторы на плоскости проекции  $CSB$  указывают на большее содержание в этой группе пород окиси натрия, также связанное с появлением полевых шпатов.

Таким образом, диаграмма химических составов интрузивных пород Чу-Балхашского пояса наглядно показывает все основные особенности химизма ультрабазитов и габброидов, а также те закономерные изменения химического состава, которые выявляются при переходе от ультраосновных членов рассматриваемого комплекса пород к более кислым.

В целом в серии интрузивных пород Чу-Балхашского пояса ясно обособляются по химическому составу две главные группы пород: 1) ультраосновные породы, которые по своим химическим особенностям попадают, по классификации А. Н. Заварецкого (1, стр. 186—187), в группу ненасыщенных кремнеземом, бедных щелочами голомеланократовых пород (класс 6, группа 23-в), 2) основные породы, которые по своему химическому составу относятся к группе слабо насыщенных кремнеземом, бедных щелочами меланократовых пород (класс 5, группа 19-б).

Некоторые особенности химизма серии пород Чу-Балхашского ультрабазитового пояса видны также на вариационной диаграмме (рис. 2), показывающей зависимость процентного содержания окислов от содержания кремнекислоты.

Здесь также хорошо видно различие химического состава двух главных групп интрузивных пород: ультрабазитов и габброидов. Кривые содержания всех окислов имеют ясные переломы в области содержания кремнекислоты от 42 до 45%, то есть в области перехода от ультраосновных пород к основным. Особенно отчетливо эти переломы видны на кривых содержания  $MgO$  и  $CaO$ . Первая из них круто спускается на участке от 40 до 44% кремнекислоты, а вторая — резко поднимается на этом же участке. Обе кривые пересекаются на линии, соответствующей 43,5% содержания кремнекислоты, а далее, в сторону более кислых пород, постепенно снижаются. Почти аналогичный характер, но с другими абсолютными величинами, имеют и кривые содержания  $Fe_2O_3$  и  $FeO$ . Точки для  $Al_2O_3$  хорошо укладываются на кривую, имеющую сравнительно плавный и постоянный подъем от ультраосновных пород к более кислым. Однако эта кривая имеет более крутой подъем в области содержания кремне-

кислоты, соответствующий переходу от ультрабазитов к габброидам. Почти такой же характер имеет кривая для суммы щелочей, которая в области ультраосновных пород почти сливается с осью абсцисс, затем круто, но незначительно поднимается при переходе к габброидам и, наконец, имеет дальнейший плавный подъем по мере увеличения содержания кремнекислоты.

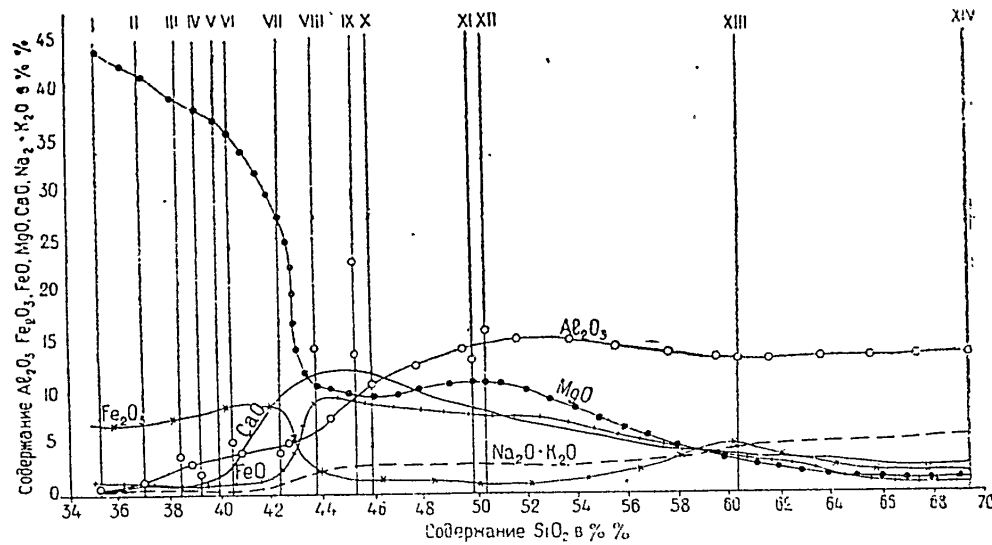


Рис. 2 Вариационная диаграмма интрузивных пород Чу-Балхашского ультрабазитового пояса (по Харкеру).

В целом можно сказать, что вариационная диаграмма выявляет те же особенности химизма пород Чу-Балхашского пояса, что и рассмотренная выше барицентрическая диаграмма химических составов. Вариационная диаграмма лишь более наглядно выражает то, что в химизме этой почти непрерывной серии пород с постепенными переходами от дунита и перidotита до габбро и диорита отмечаются явные скачкообразные изменения их качественных свойств, соответствующие переходу от бесполевошпатовых ультрабазитов к породам группы габбро. Этот скачкообразный перерыв наблюдался и при изучении петрографического состава пород данного магматического комплекса, в котором почти не встречалось промежуточных пород между габбро и ультрабазитами, за исключением единичных случаев полевошпатовых пироксенитов.

Основываясь на этих данных и учитывая указанное выше количественное распространение ультрабазитов и габброидов в массивах Чу-Балхашского пояса, вполне допустимо предположить, что исходная для этих интрузий мagma имела габбро-перidotитовый состав, причем перidotитовая составная часть в ней значительно преобладала.

Рассматривая химический состав ультраосновных пород Чу-Балхашского пояса, нетрудно видеть, что эти породы по своим петрохимическим особенностям являются в общем типичными производными ультрабазитовой магмы и по существу не имеют сколько-нибудь значительных отклонений от нормального ряда оливиновых комплексов.

В таблице 5 приведены соотношения магния и железа в слабо метаморфизованных ультрабазитах Чу-Балхашского пояса.

Таблица 5

| №       | 20    | 24   | 31    | 32   | 35    | 37   | 38    | 45  | 48   | 56  | 91   | 30   | 113  |
|---------|-------|------|-------|------|-------|------|-------|-----|------|-----|------|------|------|
| Mg : Fe | 11,85 | 8,22 | 12,67 | 10,9 | 10,61 | 9,16 | 11,06 | 9,7 | 14,5 | 7,9 | 11,0 | 10,5 | 19,0 |

Из данных таблицы 5 видно, что все отношения Mg : Fe в чу-балхашских ультрабазитах оказываются большими 7,5, что, согласно известному химическому критерию Г. Г. Хесса (5), свидетельствует о том, что эти городы принадлежат к первому генетическому типу ультрамафических пород по классификации того же автора (7), то есть являются производными первичной перidotитовой магмы.

## ЛИТЕРАТУРА

1. Заваринский А. Н. Введение в петрохимию изверженных пород. Изд. АН СССР, 1950.
2. Михайлов Н. П. Чу-Балхашский ультрабазитовый пояс. Известия АН СССР, серия геологическая, № 1, 1955.
3. Русаков М. П. Асбест в Киргизской степи. Минеральное сырье, № 5, 1930.
4. Трусова И. Ф. Нижнепалеозойские ультраосновные и основные интрузии Центрального Казахстана. Труды ИГН АН СССР, вып. 92, 1948.
5. Хесс Г. Г. Островные дуги, аномалии силы тяжести и интрузии серпентинита (к проблеме офиолитов). Труды XVII Международного геологического конгресса, т. 2, 1939.
6. Иковлев Д. И. Голодная степь Казахстана. Труды Казахского филиала АН СССР, вып. 13, 1941.
7. Hess H. A primary peridotite magma. Amer. Journ. Sciens, vol. 35, № 209, 1938.

## РЕЗЮМЕ

Чу-Балқаш ультрабазит поясындағы интрузивтік тау жыныстары өздерінің химиялық составы бойынша екі группаға бөлінеді: 1) дала шпаттысыз ультра иегізді тау жыныстары, 2) иегізгі тау жыныстары. Чу-Балқаш ультра иегізді тау жыныстарының химиялық составтары, олардың ілгергі ультрабазит магмаларының өзгерінділері екендігін және офиолиттік комплекстерден айырмасы жоқтырылған көрсетіп айтады.

## ИЗВЕСТИЯ

АКАДЕМИИ НАУК КАЗАХСКОЙ ССР

Серия геологическая

1956

Вып. 22

ица 5

113

19,0

хаш-  
тному  
эти  
еских  
звод-

Изд.

ия АН  
5, 1930.  
трузииитинита  
гресса,ала АН  
9, 1938.ыстары  
а шпа-  
у-Бал-  
пардыц  
офици-Б. К. КОРАБЛЕВНОВЫЙ ТИП ПОЛЕВОШПАТОВЫХ МЕСТОРОЖДЕНИЙ  
В ЦЕНТРАЛЬНОМ КАЗАХСТАНЕ

(В порядке обсуждения)

До последнего времени фарфоровая промышленность в Центральном Казахстане не была обеспечена местным высококачественным полевошпатовым сырьем. Открытое в 1952 г. Аксоранско полевошпатовое месторождение частично разрешило эту проблему.<sup>1</sup>

Летом 1953 г. автор произвел геологическое картирование Аксоранского полевошпатового месторождения. По результатам этой съемки ниже приводится геологическое описание месторождения, являющегося основной сырьевой базой Акмолинского фарфорового завода.

## Геологическое строение месторождения

Аксоранско полевошпатовое месторождение находится в пределах Жаманкарабасского, условно позднегерцинского, гранитного массива в северном Прибалхашье. Массив имеет крупнозернистое сложение и активный контакт с осадочно-эффузивным комплексом фаменского возраста.

В контактовой зоне гранитов довольно часто наблюдаются разности, имеющие местами пегматитоподобную структуру и состоящие в основном из крупных кристаллов розового перитита и кварца. Темноцветные минералы в указанных разностях встречаются редко.

Наиболее сильно пегматитизированы апофизы гранитного массива.

Вмещающие аркозовые туфопесчаники в отдельных участках претерпевают значительную гранитизацию и содержат большое количество прожилков розового полевого шпата. Наряду с этим количество кварца в измененных породах резко уменьшается. Все это свидетельствует об интенсивном калиевом метасоматозе.

Подобные явления проявляются спорадически. Чаще же граниты из эндоконтакта ничем не отличаются от гранитов центральной части массива.

Макроскопически в гранитах устанавливаются следующие минералы: розовый и белый полевые шпаты, серый кварц и тонкочешуйчатый биотит, распределенный в породе более или менее равномерно.

Из акцессорных минералов макроскопически устанавливается сфен и железная слюдка. Из вторичных минералов в гранитах встречается эпидот, развивающийся в виде прожилков.

В пределах месторождения в гранитах Жаманкарабасского массива широким развитием пользуются маломощные прожилки молочно-белого кварца. Мощность их редко превышает 10 см. Максимальное количество прожилков кварца наблюдается в участках автоскарнирования гранитов.

Под микроскопом крупнозернистый биотитовый гранит имеет гипи-

<sup>1</sup> Месторождение открыто директором Акмолинского фарфорового завода А. Д. Половым с участием геологов Аксоранской ГРП Б. К. Кораблевым и П. Ф. Чебаненко.

диоморфозернистую структуру. Главными составными частями гранита являются полевые шпаты, кварц и биотит.

Полевые шпаты представлены несдвойниканным ортоклаз-пертитом, редкими зернами плагиоклазов и альбитом.

Ортоклаз-пертит является наиболее распространенным минералом в породе. Он встречается в виде крупных зерен, размером до 3 мм в поперечнике. В пертите встречаются включения кварца и биотита. Ортоклаз-пертиты в значительной мере пелитизированы.

Плагиоклазы представлены мелкими зернами, не превышающими 2,5 мм в поперечнике, они серцитизированы и альбитизированы.

Альбит является вторичным минералом, развивающимся на стыках зерен полевых шпатов в виде отдельных зерен до 0,3 мм в поперечнике и в виде цепочек (рис. 1). На контакте зерен полевых шпатов с кварцем альбит не развивается.

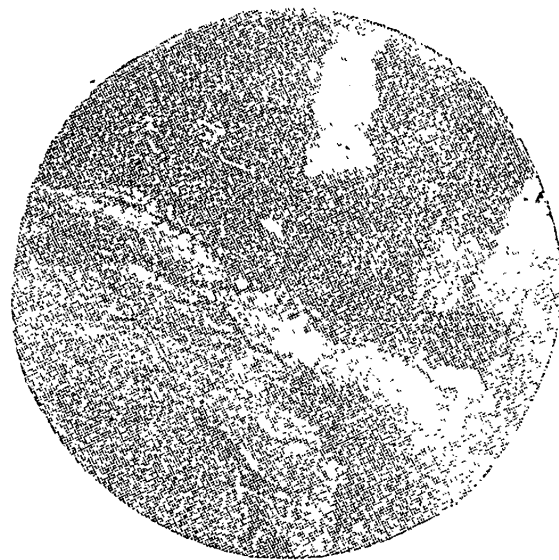


Рис. 1 Альбит развивается каемками у зерен пертита. Ник. X. Увел. 16.

вально широким развитием. Они представлены дайками аплитовидных гранитов. Простирание даек на месторождении различное. Они хорошо выражены и, вероятно, выполняли приоткрытые трещины скола.

Аплитовидные граниты состоят из кварца, ортоклаз-пертита, кислого плагиоклаза и редких мелких листочков биотита. Структура — порфириодиая, а основная масса микропегматитовая (рис. 2).

Порфириодиные выделения состоят из сильно пелитизированного несдвойниканного ортоклаз-пертита неправильной формы, размером до 1,2 мм в поперечнике.

Основная масса сложена мелкими изометричными зернами кварца, незначительным количеством калиевого полевого шпата, альбита и биотита. Из вторичных минералов в породе встречаются сернит и хлорит по биотиту. Аксессорные — представлены рудным минералом.

Степень денудации Жаманкарабасского массива в пределах месторождения, вероятно, незначительна, о чем свидетельствуют останцы кровли сильно ороговикованных конгломерат-песчаников, встреченные в юго-восточной части закартированной площади, и гранатовые скарны на полевошпатовых породах, образованные иногда за счет пород кровли.

Кварц выполняет промежутки между ранее выделившимися образованиями. Зерна кварца имеют неправильную форму, болинстое погасание и разбиты редкими трещинами. В кварце встречаются мелкие чешуйки мусковита.

Биотит встречается единичными чешуйками в породе. По краям зерен и по трещинам развивается хлорит и рудный — ильменит. В биотите встречаются мелкие включения апатита.

Сфен присутствует в значительном количестве.

*Жильные интрузивные породы* на месторождении пользуются до-

Новый тип полевошпатовых месторождений в Центральном Казахстане 35

При детальном картировании отдельных полевошпатовых тел четко устанавливается несколько метаморфических зон — от неизмененных гранитов до темноокрашенных гранатовых скарнов.

Зональность здесь следующая (снизу вверх):  
1) граниты, 2) сиенитизированные граниты (сиениты), 3) мономинеральные полевошпатовые породы — автоскарны (альбиты), 4) темноокрашенные гранатовые скарны.

Полевошпатовые тела на месторождении расположаются в эндоконтакте Жаманкарабасского гранитного массива — между темноокрашенными скарнами и сиенитизированными гранитами. Пространственное расположение метаморфических пород в пределах месторождения позволяет отнести полевошпатовые образования к автоскарнам.

Рис. 2. Аплитовидный гранит из дайки с мелкими порфировыми зернами пертита. В породе много кварца. Ник X. Увел. 34.

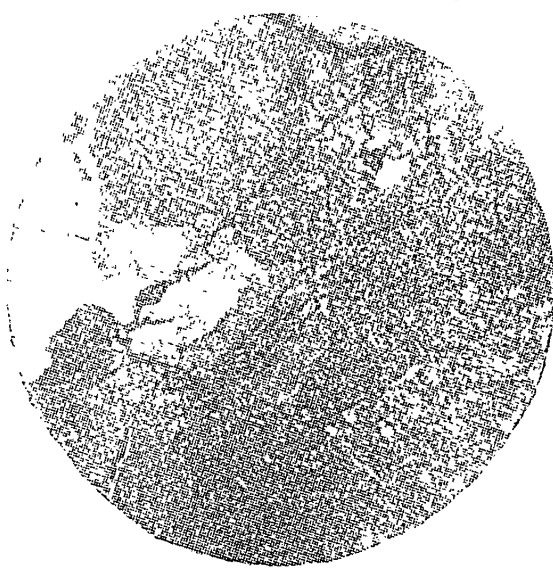
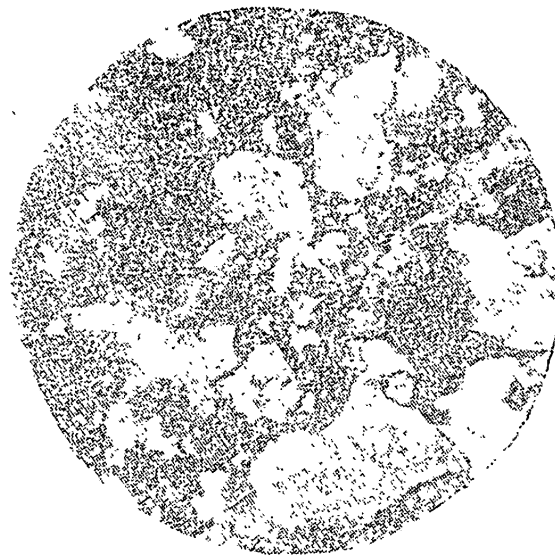
*Сиенитизированные граниты.* Контакты сиенитизированных гранитов с вмещающими породами постепенны. Переходная зона от одних к другим имеет мощность от 20 см до 3—4 м. Зону сиенитизированных гранитов макроскопически можно разделить на две подзоны — кварцевые

сиениты и сиениты. Первая из этих подзон располагается у гранитов, вторая — у контакта с альбититами. В кварцевых сиенитах кварц является широко распространенным минералом, во второй же зоне он макроскопически не устанавливается.

Структура сиенитизированных гранитов гипидиоморфозернистая. Микропертит является преобладающим минералом в породе. Он имеет форму неправильных зерен, значительно пелитизированных. Размер зерен достигает 3 см в поперечнике.

Рис. 3. Метасоматическое замещение средних плагиоклазов пертитом. Ник X. Увел. 16.

Микропертит разъедает средние и более основные плагиоклазы (рис. 3).



Плагиоклаз в породе бывает двух генераций. Плагиоклаз первой генерации — андезин № 46 (реликтовый) — встречается в виде разъединенных зерен. Он имеет неправильную форму зерен с очень неясными извилистыми краями; можно видеть, как реликты его по периферии замещаются альбитом, перититом и иногда кварцем.

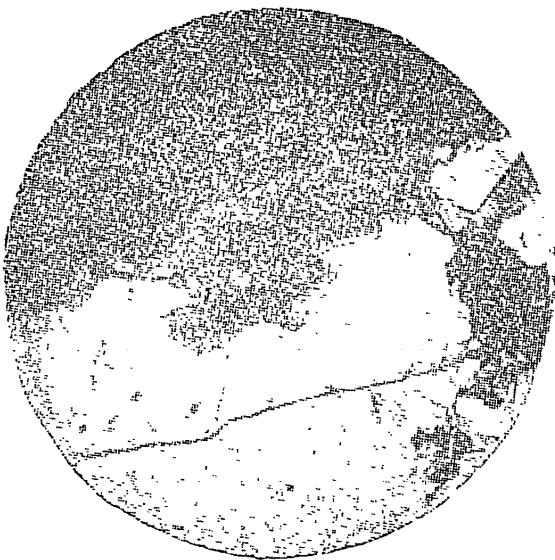


Рис. 4. Частичная альбитизация сиенита. Альбит развивается каемками у зерен перитита и, кроме того, появляются вростки альбита в перитите.

Ник. Х. Увел. 16.

Из вторичных образований в породе развиты альбит, хлорит, пеллит и серпентин.

*Мономинеральные полевошпатовые автоскарны.* Контакт полевошпатовых автоскарнов (альбититов) с сиенитами также постепенный. В пла-

Плагиоклаз второй генерации относится к альбиту № 3 и олигоклазу № 15. Он образует хорошо ограниченные вростки в микроперитите (до 0,35 мм в поперечнике) и каемки у зерен микроперитита (рис. 4).

Кварц в породе присутствует в небольшом количестве в виде мелких зерен и иногда совместно с альбитом выполняет трещины.

Темноцветные минералы представлены биотитом, почти нацело замещенным радиально-лучистым хлоритом (делесцит). В биотите развит апатит и рудный. Величина зерен биотита достигает 1,5 мм в поперечнике.

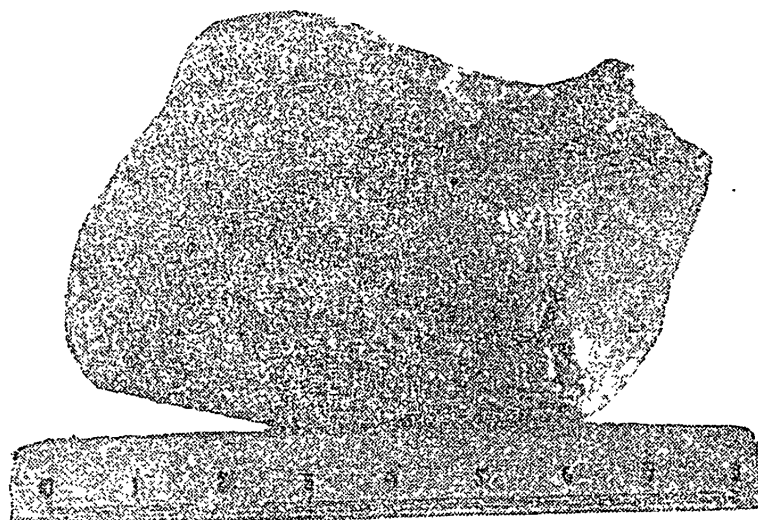


Рис 5 Крупный кристалл альбита из автоскарнов

Новый тип полевошпатовых месторождений в Центральном Казахстане 37

когда он чаще извилистый, реже прямолинейный — там, где он контролируется хорошо выдержаными трещинами в интрузивных породах, но и в последнем случае переход от сиенитов к альбититам постепенный. Мощность переходной зоны небольшая — 10—30 см.

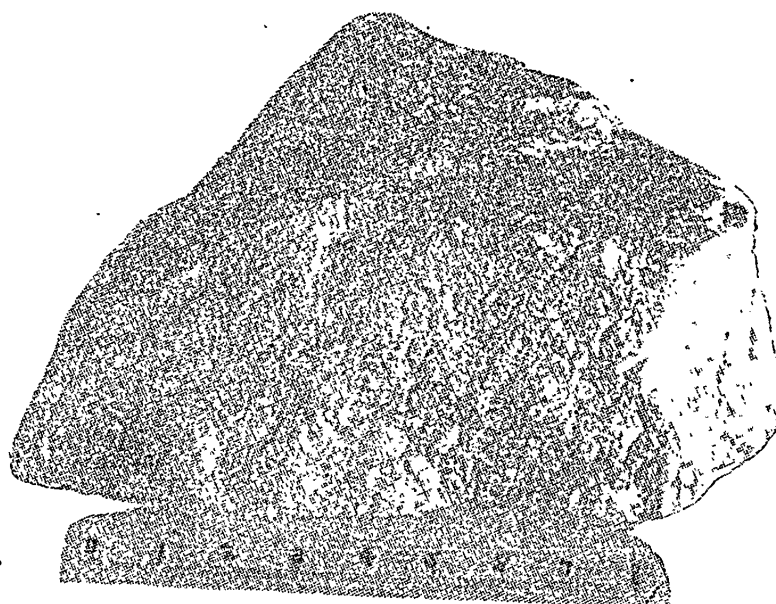


Рис. 6. Альбитит (автоскари).

Полевошпатовые автоскары — породы снежнобелого цвета, массивного сложения. Структура их чаще равномернозернистая, реже порфировидная. Размеры зерен полевых шпатов меньше 1 см в поперечнике и очень редко достигают 10 см (рис. 5). Порода имеет почти мономинеральный полевошпатовый состав (рис. 6); кварц присутствует в незначительных количествах.

Вторым по распространению минералом является сфен, развитый в виде мелких вкраплений в породе. Иногда он развивается в виде цепочек вдоль почти невидимых на глаз извижающихся трещинок. Очень редко встречаются единичные мелкие зерна граната, циркона и антазита.

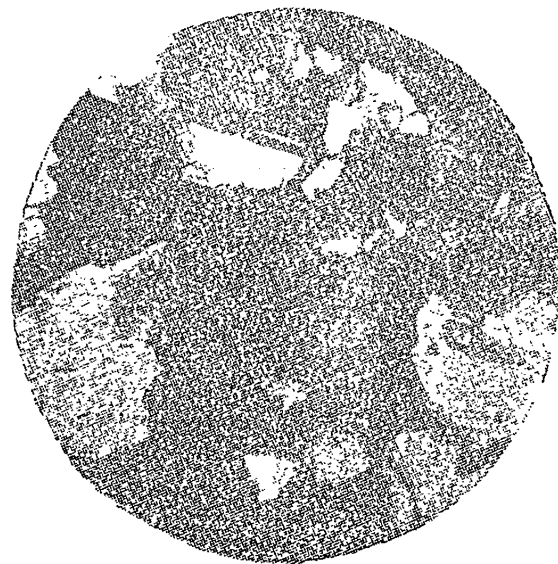


Рис. 7. Альбитит (автоскари). Ник. X. Увел. 34.

В южной части рудного поля некоторые полевошпатовые тела содержат большое количество кварца, который образует прожилки, разъединяющие зерна белого альбита. Такие породы мы называем кварц-полевошпатовыми автоскарнами (рис. 8).

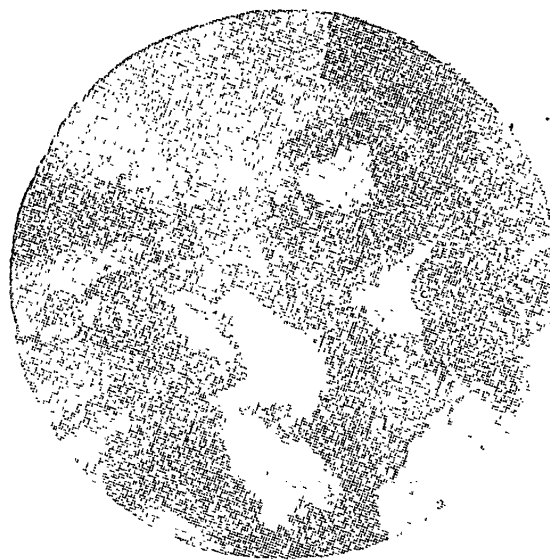


Рис. 8. Кварц-полевошпатовый автоскарн. Кварц метасоматически замещает и сечет прожилками альбит. Ник. Х. Увел. 34

полевошпатового тела гранатовые скарны часто имеют мономинеральный гранатовый состав. Они слагаются темнобурым, грязнохолтым и грязнозеленым гранатом с небольшим количеством эпидота, пироксена, амфиболов и тулита. Кварц в скарнах встречается не повсеместно. Железная слюдка является широко развитым минералом.

Гранатовые скарны под микроскопом имеют порфиробластовую структуру и состоят из граната и псевдоморфоз из серицита, вероятно, по плагиоклазу.

Гранат образует крупные скопления правильных кристаллов, имеющих зональное строение (вероятно, это андрадит). При скрещенных николях он слабо поляризует, имея серую и темносерую интерференционную окраску.

Гранатовые скарны полевошпатового тела № 5 резко отличаются от

По петрографическому составу полевошпатовые автоскарны близки к сиенитам. Они обладают равномернозернистой структурой (рис. 7) и весьма интенсивными процессами замещения основных плагиоклазов и микроперитита кислыми плагиоклазами.

Основной плагиоклаз в них сильно изменен, кислый — свеж и почти не затронут процессами вторичного изменения.

*Гранатовые скарны.* Самой верхней зоной на месторождении являются темноокрашенные гранатовые скарны и роговики. В пределах второго

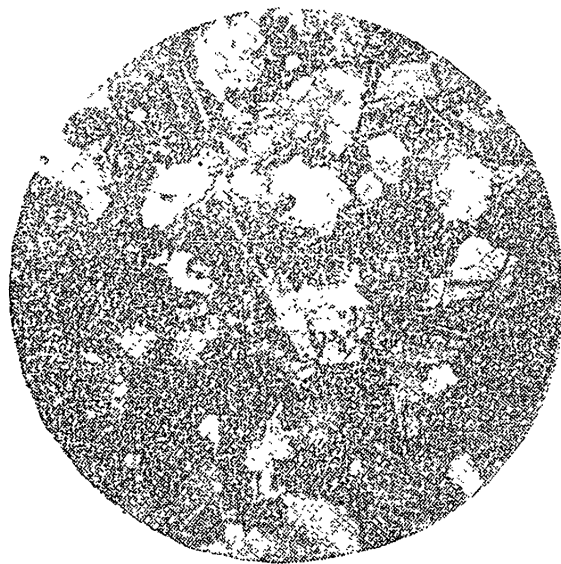


Рис. 9 Аплитовидный гранит сплошь альбитизированный, кварц в породе отсутствует. Ник. Х. Увел. 34.

## Новый тип полевошпатовых месторождений в Центральном Казахстане

39

вышеописанных скаринов. Наряду с крупнозернистыми гранатовыми телами здесь встречаются темносерые метаморфизованные туфогенно-осадочные породы. В этом полевошпатовом теле четко устанавливается, что альбититы образуются в непосредственном эндоконтакте Жаманкарабасского гранитного массива.

При метаморфизме (автоскарировании) жильные аплитовидные граниты претерпевают также существенные изменения. Соотношение минералов в них становится иным. Если в гранит-аплите присутствовал в основном ортоклаз в виде порфировых выделений и кварц в основной массе, то в автоскарированном гранит-аплите главными и преобладающими являются альбит, олигоклаз-альбит и олигоклаз. Они почти целиком замещают ортоклаз, оставляя незначительные и не всегда заметные реликты его. Кварц в скарированной породе отсутствует полностью (рис. 9).

Среди полевошпатовых автоскаринов в теле № 2 встречен крупный останец розового крупнозернистого сиенита, являющегося, по нашему мнению, полным аналогом контактовых пегматитоподобных пород, встречающихся в северном контакте Жаманкарабасского массива.

Кроме полевых шпатов, в этих породах макроскопически не устанавливается других минералов. Вторичными минералами в них являются белые полевые шпаты (альбит, олигоклаз-альбит), развивающиеся по периферии зерен розового пертита. В тех участках, где процесс альбити-

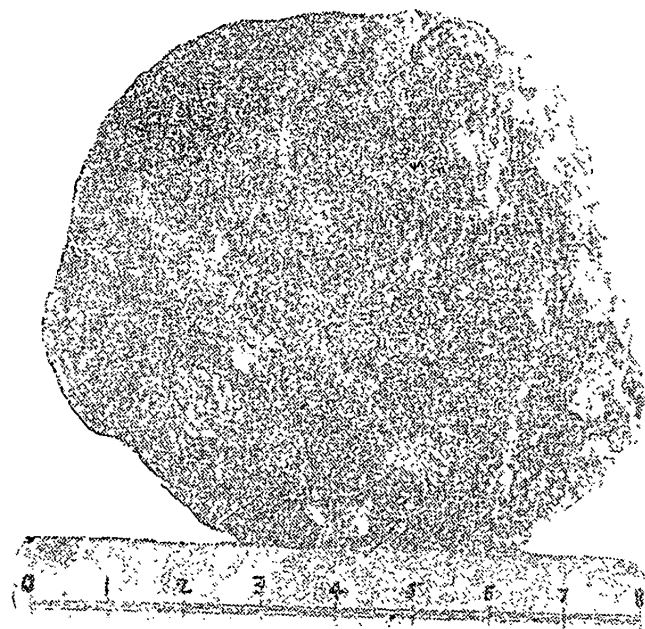


Рис. 10. Сиенит пятнистой текстуры, образованный в результате замещения пертита альбитом.

зации сильно преобразовал сиениты, они приобретают пятнистую текстуру — реликтовые зерна розового пертита располагаются в тонкозернистой белой массе альбита (рис. 10).

Породы по своему петрографическому составу близки к сиенитам. Они имеют монцонитовую структуру с резко выраженным идиоморфизмом плагиоклаза по отношению к калиевому полевому шпату.

Первичными минералами, распространенными в породе, являются калиево-натровые полевые шпаты, плагиоклаз и акцессорные (сфен, циркон и апатит).

Калиево-натровые полевые шпаты представлены несдвойникованным сортоклаз-пертитом в виде крупных неправильной формы зерен, сильно спелитизированных и разбитых мелкими трещинами со вторичным альбитом.

Пертитовые вrostки имеют характер извилистых потоков, одновременно угасающих в пределах смежных зерен. В пертите встречаются корродированные полисинтетически сдвойникованные основные плагиоклазы в виде коротких столбиков (до 1,5 мм) и альбит в виде четырехугольных зерен с ясными и очень резкими ограничениями (от 0,05 до 0,25 мм) — шахматный альбит.

На стыках пертита и альбита развиваются единичные зерна и агрегаты сфена, тонкие призмочки апатита и циркона.

Порода сильно катаклизирована. Полевые шпаты разбиты сетью трещин, иногда заполненных мелкозернистым альбитом. Ширина трещин колеблется в пределах 0,05 — 0,1 мм.

Плагиоклаз присутствует в синекластиках в виде отдельных зерен, имеет кислый и основной состав. На Федоровском столике устанавливается, что кислый плагиоклаз относится к олигоклазу № 20. Кроме того, присутствует несдвойникованный альбит, развивающийся в массе калиевого полевого шпата. Основной плагиоклаз — реликтовый — сильно корродирован и замещен пертитом.

Сфен является широко распространенным из акцессорных минералов. Он приурочен к наиболее трещиноватым участкам калиевого полевого шпата и ассоциирует с цирконом и апатитом.

Циркон присутствует в виде редких округленных с концов призм и квадратных зерен. При скрещенных николях обнаруживает зональное распределение цветов — малинового, фиолетового, желтого, синего. Размер зерен по длиной стороне призм от 0,05 — 0,1 мм.

Апатита в породе очень мало.

Как следует из вышеизложенного, на Аксоранском полевошпатовом месторождении четко устанавливается вертикальная метаморфическая зональность с постепенными переходами от одной зоны к другой.

Наиболее резко граница выражена между полевошпатовыми и гранатовыми скарнами, что вообще характерно для скарновых месторождений. Эти факты позволили отнести мономинеральные полевошпатовые образования к автоскарнам. Соотношение зон скарнирования с жильной интрузивной фацией Жаманкарабасского интрузивного массива указывает на то, что автоскарнирование протекало после становления последних — в зонах автоскарнирования дайки аплитовидных гранитов превращаются также в альбититы (рис. 11).

В южной части рудного поля широко развиты кварц-полевошпатовые тела автоскарнов и штоки молочно-белого кварца с редкими кристаллами полевых шпатов. Кварц в этих телаах является более поздним минералом и метасоматически замещает полевошпатовые породы. Он тесно ассоциирует с небольшим количеством альбита, что не позволяет оторвать его от общего процесса автоскарнирования гранитов.

Первичными минералами, распространенными в породе, являются калиево-натровые полевые шпаты, плагиоклаз и акцессорные (сфен, циркон и апатит).

Калиево-натровые полевые шпаты представлены несдвойникованым ортоклаз-пертитом в виде крупных неправильной формы зерен, сильно спелитизированных и разбитых мелкими трещинами со вторичным альбитом.

Пертитовые вrostки имеют характер извилистых потоков, одновременно угасающих в пределах смежных зерен. В пертите встречаются корродированные полисинтетически сдвойниковые основные плагиоклазы в виде коротких столбиков (до 1,5 мм) и альбит в виде четырехугольных зерен с ясными и очень резкими ограничениями (от 0,05 до 0,25 мм) — шахматный альбит.

На стыках пертита и альбита развиваются единичные зерна и агрегаты сфена, тонкие призмочки апатита и циркона.

Порода сильно катализирована. Полевые шпаты разбиты сетью трещин, иногда заполненных мелкозернистым альбитом. Ширина трещин колебается в пределах 0,05 — 0,1 мм.

Плагиоклаз присутствует в синекластиках в виде отдельных зерен, имеет кислый и основной состав. На Федоровском столике устанавливается, что кислый плагиоклаз относится к олигоклазу № 20. Кроме того, присутствует несдвойникованый альбит, развивающийся в массе калиевого полевого шпата. Основной плагиоклаз — реликтовый — сильно корродирован и замещен пертитом.

Сфен является широко распространенным из акцессорных минералов. Он приурочен к наиболее трещиноватым участкам калиевого полевого шпата и ассоциирует с цирконом и апатитом.

Циркон присутствует в виде редких округленных с концов призм и квадратных зерен. При скрещенных николях обнаруживает зональное распределение цветов — малинового, фиолетового, желтого, синего. Размер зерен по длиной стороне призм от 0,05 — 0,1 мм.

Апатита в породе очень мало.

Как следует из вышеприведенного, на Аксоранском полевошпатовом месторождении четко устанавливается вертикальная метаморфическая зональность с постепенными переходами от одной зоны к другой.

Наиболее резко граница выражена между полевошпатовыми и гранатовыми скарнами, что вообще характерно для скарновых месторождений. Эти факты позволили отнести мономинеральные полевошпатовые образования к автоскарнам. Соотношение зон скарнирования с жильной интрузивной фацией Жаманкарабасского интрузивного массива указывает на то, что автоскарнирование протекало после становления последних — в зонах автоскарнирования дайки аплитовидных гранитов превращаются также в альбититы (рис. 11).

В южной части рудного поля широко развиты кварц-полевошпатовые тела автоскарнов и штоки молочно-белого кварца с редкими кристаллами полевых шпатов. Кварц в этих телах является более поздним минералом и метасоматически замещает полевошпатовые породы. Он тесно ассоциирует с небольшим количеством альбита, что не позволяет оторвать его от общего процесса автоскарнирования гранитов.

## Новый тип полевошпатовых месторождений в Центральном Казахстане

41

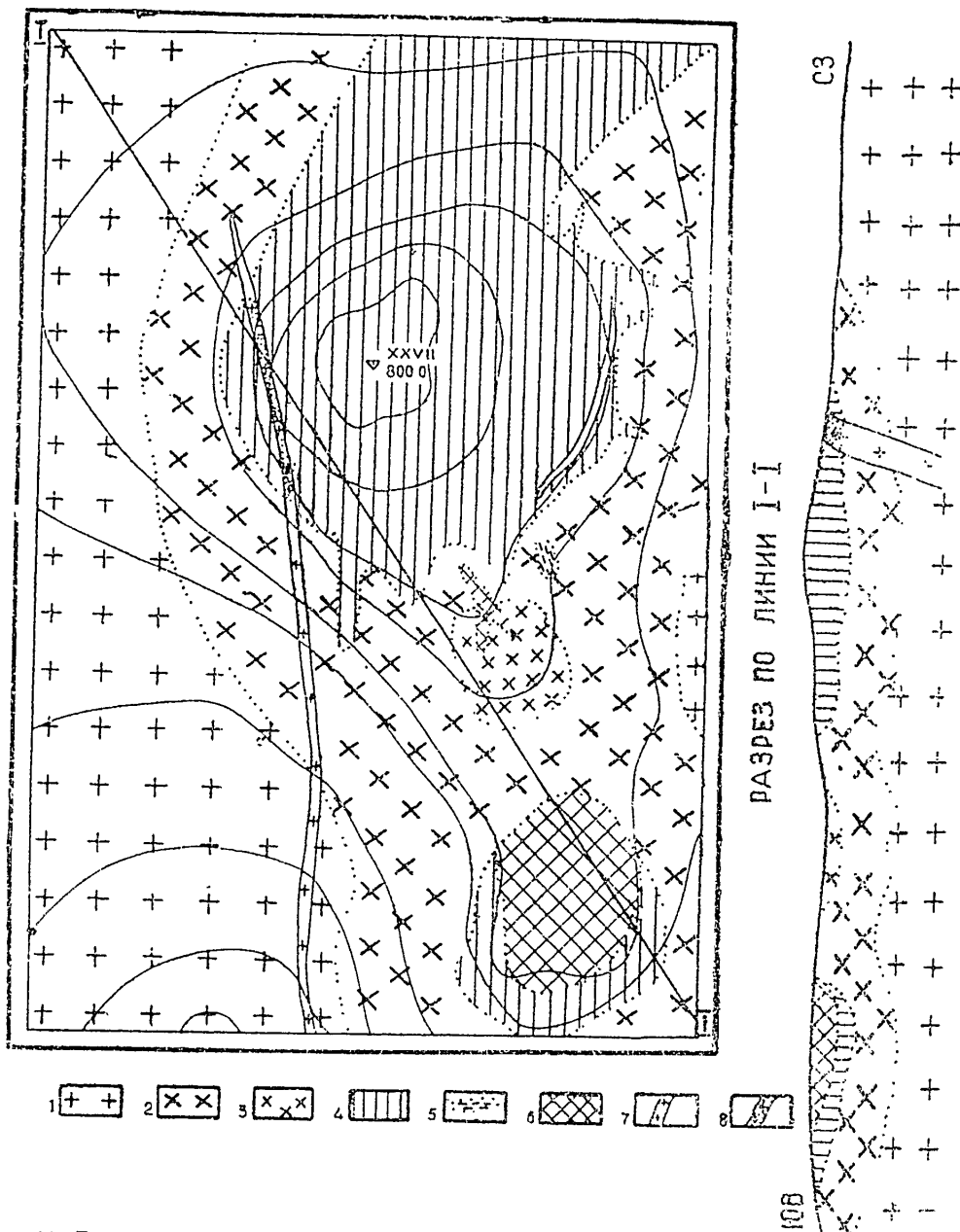


Рис. 11. Геологическая карта южной части полевошпатового тела № 2. Условные обозначения: 1 — крупнозернистые граниты, 2 — крупнозернистые кварцевые сиениты, 3 — розовые крупнозернистые сиениты, 4 — полевошпатовые автоскары (альбититы), 5 — зоны окремнения, 6 — гранатовые скарны, 7 — аплитовые дайки, 8 — альбитизированные аплитовые дайки

#### Перспективы Аксоранского месторождения и возможности применения полевых шпатов в промышленности

Район Аксоранского полевошпатового месторождения является весьма перспективным на предмет нахождения в нем новых мономинеральных полевошпатовых образований и крупных штокообразных тел молочно-белого кварца, являющегося также прекрасным керамическим сырьем.

Впервые об этом районе как перспективном на керамическое сырье указывалось Г. Б. Жилинским в 1953 г.

Аксоранско полевошпатовое месторождение, как уже отмечалось выше, относится к совершенному в Советском Союзе типу полевошпатовых месторождений. До сих пор у нас для получения полевых шпатов эксплуатировались только пегматитовые тела, а автоскарины не имели практического применения.

В настоящее время аксоранские полевошпатовые породы успешно применяются в качестве керамического сырья на Акмолинском фарфоровом заводе. Эксперименты с этим сырьем на Дутевском фарфоровом заводе дают очень хорошие результаты.

Химические анализы автоскаринов показали, что они наиболее близко подходят к альбититам, которые иногда встречаются в жильных интрузивных фациях. В таблице 1 приводятся химические анализы этих своеобразных пород.

Таблица 1

| Оксиды                  | Аксоранский автоскари (альбитит) в % (лаборатория Дутевского завода) | Аксоранский автоскари (альбитит) в % (аналитическая лаборатория ИГН КазССР) | Типичный альбитит жильный (по Дюпарку и Пирсу) в %, Косвийский камень, Средний Урал |
|-------------------------|----------------------------------------------------------------------|-----------------------------------------------------------------------------|-------------------------------------------------------------------------------------|
| $\text{SiO}_2$          | 70,52                                                                | 70,00                                                                       | 66,09                                                                               |
| $\text{TiO}_2$          | 0,49                                                                 | 0,38                                                                        | 0,23                                                                                |
| $\text{Al}_2\text{O}_3$ | 19,31                                                                | 19,01                                                                       | 18,85                                                                               |
| $\text{Fe}_2\text{O}_3$ | 0,12                                                                 | 0,23                                                                        | 0,91                                                                                |
| $\text{FeO}$            |                                                                      |                                                                             |                                                                                     |
| $\text{CaO}$            | 0,80                                                                 | 0,45                                                                        | 1,09                                                                                |
| $\text{MgO}$            | сл.                                                                  | сл.                                                                         | 1,53                                                                                |
| $\text{MnO}$            | —                                                                    | —                                                                           | —                                                                                   |
| $\text{P}_2\text{O}_5$  | —                                                                    | —                                                                           | —                                                                                   |
| $\text{Na}_2\text{O}$   | 8,55                                                                 | 9,70                                                                        | 10,84                                                                               |
| $\text{K}_2\text{O}$    | 0,21                                                                 | 0,37                                                                        | 0,48                                                                                |
| $\text{H}_2\text{O}$    | —                                                                    | —                                                                           | —                                                                                   |
| П. л. п.                | —                                                                    | —                                                                           | —                                                                                   |
| Сумма                   | 100,00                                                               | 100,14                                                                      | 100,02                                                                              |

Аксоранские автоскарины как альбитовые породы по современным требованиям, предъявляемым к керамическому сырью, являются хорошим материалом для изготовления глазури, так как альбит более легкоплавкий полевой шпат, дающий менее вязкий расплав. Кроме того, они вполне пригодны для получения тонкого черепка высокого качества. Содержание железа в них, как видно из анализов, в среднем 0,2%, что по существующим нормам, разработанным Институтом минерального сырья, позволяет отнести их к первому сорту.

#### Условия образования полевошпатовых пород Аксоранского месторождения

В результате микроскопического анализа и изучения взаимоотношений между различными метаморфическими разностями пород на Аксоранском полевошпатовом месторождении отчетливо устанавливается, что альбититы образовались в результате kontaktового метаморфизма (автоскарнирования) гранитов Жаманкарабасского массива.

При современной степени изученности этого объекта намечаются следующие этапы в формировании полевошпатовых тел.

1. Полевошпатовые тела развиваются в непосредственном эндоконтак-

кое сырье  
далось вы-  
полено-  
вых шпатов  
и имели  
успешно  
фарфоро-  
ровом за-  
се близко  
интрузив-  
свободно-  
образ-  
ца 1  
льби-  
и (по  
ирсу)  
исский  
дний  
  
временным  
я хорошим  
легкоплав-  
ющими вполне  
Содержа-  
щего сырья,  
  
отношений  
Бкоранском  
го альбити-  
госкарниро-  
памечаются  
эндоконтак-

те Жаманкарабасского гранитного массива с алюмосиликатными породами его кровли.

В первый этап формирования автоскариев граниты подверглись интенсивному калиевому метасоматозу. Об этом красноречиво свидетельствуют оставшиеся в них слабо альбитизированные, почти на цело состоящие из розового пертита, бескварцевые синениты. Кроме того, в слабо измененных гранитах у авто скариев повсеместно наблюдается метасоматическое замещение средних и основных плагиоклазов, развитых как первичные минералы в гранитах ортоклаз-пертитом.

В процессе калиевого метасоматоза граниты превратились в синепиевые породы, аналогичные kontaktовым кварц-полевошпатовым образованиям в северном контакте Жаманкарабасского гранитного массива.

2. Во второй этап породы подверглись интенсивной альбитизации, которая проявилась на более широких площадях, и степень интенсивности ее превосходила процессы калиевого метасоматоза.

В образцах гранитов, отобранных в значительном удалении от авто скариев, зерна полевых шпатов часто окаймляются свежим альбитом.

В кварцевых синенитах и синенитах четко устанавливается, что процесс альбитизации является более поздним этапом по сравнению со временем образования этих пород.

Авто скарии (альбититы) являются полностью альбитизированными синенитами, так как в них изредка устанавливаются реликты пертита и более часто реликты основных и средних плагиоклазов. Последние встречаются более часто, что объясняется, вероятно, меньшей склонностью их к замещению натрийсодержащими растворами. В эту же стадию происходило перераспределение титана в породах. Сфен второй генерации совместно с анатазом развивается в виде прожилков и неправильной формы скоплений.

Убедительным фактом метаморфического генезиса полевошпатовых тел является то, что дайка аплитовидного гранита, расположенная в западной части полевошпатового тела № 2, в пределах альбититов сплошь альбитизирована, а за пределами его имеет неизмененный состав. Это обстоятельство не позволяет даже предположить, что альбититы могут являться продуктом инъекции остаточного пегматитового расплава, насыщенного натрием. По данным микроскопического исследования устанавливается, что полевошпатовые образования в значительной степени каткализированы, что способствовало миграции метаморфизующих растворов. Об этом же свидетельствует альбитизация гранитов и синенитов по краям хорошо выдержаных трещин.

3. В завершающий этап формирования авто скариев шло отложение кварца в полностью сформировавшихся альбититах. Этот процесс более четко проявился в южной части месторождения. Здесь полевошпатовые тела содержат значительное количество кварца, метасоматически замещающего все ранее образованные полевошпатовые минералы. Вместе с кварцем шло отложение незначительного количества альбита. Вполне вероятно, что кварцевые штоки, встреченные в пределах рудного поля, образовались за счет метасоматического замещения гранитов при процессах авто скарирования молочно-белым кварцем.

Парагенетические взаимоотношения минералов приводятся в таблице 2.

В результате метаморфизма гранитов происходили изменения химизма пород, что отражено в таблице 3 (разность окислов дается без учета объемного веса пород, так как он для всех их почти одинаков).

Как видно из анализов, при калиевом метасоматозе привносились кремнезем и калий, а выносились глиноzem, натрий, кальций и железо.

кое сырье  
сталось вы-  
полено-  
вых шпатов  
не имели  
успехом  
фарфоро-  
ровом за-  
се близко  
интрузив-  
ствособраз-  
щца 1  
льби-  
и (по  
ирсу)  
исский  
дний

временным  
я хорошим  
легкоплав-  
ции вполне  
Содержа-  
по сущес-  
тво сырья,

отношений  
коранском  
го альбити-  
тоскариро-  
намечаются  
нейдоконтак-

тс Жаманкарабасского гранитного массива с алюмосиликатными породами его кровли.

В первый этап формирования автоскаризов граниты подверглись интенсивному калиевому метасоматозу. Об этом красноречиво свидетельствуют оставшиеся в них слабо альбитизированные, почти нацело состоящие из розового пертита, бескварцевые сениты. Кроме того, в слабо измененных гранитах у автоскаризов повсеместно наблюдается метасоматическое замещение средних и основных плагиоклазов, развитых как первичные минералы в гранитах ортоклаз-пертитом.

В процессе калиевого метасоматоза граниты превратились в спонтиновые породы, аналогичные kontaktовым кварц-полевошпатовым образованиям в северном контакте Жаманкарабасского гранитного массива.

2. Во второй этап породы подверглись интенсивной альбитизации, которая проявилась на более широких площадях, и степень интенсивности ее превосходила процессы калиевого метасоматоза.

В образцах гранитов, отобранных в значительном удалении от автоскаризов, зерна полевых шпатов часто окаймляются свежим альбитом.

В кварцевых сенитах и сенитах четко устанавливается, что процесс альбитизации является более поздним этапом по сравнению со временем образования этих пород.

Автоскаризы (альбититы) являются полностью альбитизированными сенитами, так как в них изредка устанавливаются реликты пертита и более часто реликты основных и средних плагиоклазов. Последние встречаются более часто, что объясняется, вероятно, меньшей склонностью их к замещению натрийсодержащими растворами. В эту же стадию происходило перераспределение титана в породах. Сфен второй генерации совместно с анатазом развивается в виде прожилков и неправильной формы скоплений.

Убедительным фактом метаморфического генезиса полевошпатовых тел является то, что дайка амфиболовидного гранита, расположенная в западной части полевошпатового тела № 2, в пределах альбититов сплошь альбитизирована, а за пределами его имеет неизмененный состав. Это обстоятельство не позволяет даже предположить, что альбититы могут являться продуктом инъекции остаточного лейкогранитового расплава, насыщенного натрием. По данным микроскопического исследования устанавливается, что полевошпатовые образования в значительной степени катаклизированы, что способствовало миграции метаморфизующих растворов. Об этом же свидетельствует альбитизация гранитов и сенитов по краям хорошо выдержаных трещин.

3. В завершающий этап формирования автоскаризов шло отложение кварца в полностью сформировавшихся альбититах. Этот процесс более четко проявился в южной части месторождения. Здесь полевошпатовые тела содержат значительное количество кварца, метасоматически замещающего все ранее образованные полевошпатовые минералы. Вместе с кварцем шло отложение незначительного количества альбита. Вполне вероятно, что кварцевые штоки, встреченные в пределах рудного поля, образовались за счет метасоматического замещения гранитов при процессах автоскарирования молочно-белым кварцем.

Парагенетические взаимоотношения минералов приводятся в таблице 2.

В результате метаморфизма гранитов происходили изменения химизма пород, что отражено в таблице 3 (разность окислов дается без учета объемного веса пород, так как он для всех их почти одинаков).

Как видно из анализов, при калиевом метасоматозе привносились кремнезем и калий, а выносились глинозем, натрий, кальций и железо.

Таблица 2  
Парагенетическая таблица минералов Аксоранского полевошпатового месторождения

| МИНЕРАЛЫ                     | МАГМАТИЧЕСКИЕ | ЭТАП-КАЛИЕВЫЙ МЕТАСОМАТОЗ | II ЭТАП-АЛЬБИТИЗАЦИЯ | III ЭТАП-ОКВАРЦЕВАНИЕ |
|------------------------------|---------------|---------------------------|----------------------|-----------------------|
| <i>биотит</i>                | —             |                           |                      |                       |
| <i>Сфен</i>                  | —             | — (?)                     | —                    |                       |
| <i>Циркон</i>                | —             | — (?)                     | —                    |                       |
| <i>Апатит</i>                | —             |                           |                      |                       |
| <i>Плагиоклаз</i>            | —             |                           | —                    |                       |
| <i>Калиевый полевой шпат</i> | —             | —                         |                      |                       |
| <i>Кварц</i>                 | —             | —                         | —                    | —                     |
| <i>Альбит</i>                |               |                           | —                    |                       |
| <i>Хлорит</i>                |               |                           | —                    |                       |
| <i>Гематит</i>               |               | —                         |                      |                       |
| <i>Серицит</i>               |               | —                         | —                    |                       |

Таблица 3

| Окислы                  | Гранит неизмененный в % | Кварц-полевошпат. контактов. порода, образ. за счет гранита, в % | Разность окислов между графами 3 и 2 | Средний состав автоскарна (альбита) в % | Разность окислов между графами 5 и 3 | Разность окислов между графами 5 и 2 |
|-------------------------|-------------------------|------------------------------------------------------------------|--------------------------------------|-----------------------------------------|--------------------------------------|--------------------------------------|
| $\text{SiO}_2$          | 69,08                   | 75,60                                                            | +6,52                                | 70,26                                   | -5,34                                | +1,18                                |
| $\text{TiO}_2$          | 0,15                    | 0,06                                                             | -0,09                                | 0,43                                    | +0,37                                | +0,28                                |
| $\text{Al}_2\text{O}_3$ | 16,51                   | 12,95                                                            | -3,56                                | 19,21                                   | +6,26                                | +2,70                                |
| $\text{Fe}_2\text{O}_3$ | 0,53                    | 0,17                                                             | -0,42                                | 0,17                                    | -0,93                                | -1,76                                |
| $\text{FeO}$            | 1,34                    | 0,93                                                             | -0,41                                |                                         |                                      |                                      |
| $\text{CaO}$            | 1,60                    | 0,42                                                             | -1,25                                | 0,62                                    | +0,20                                | -1,05                                |
| $\text{MgO}$            | 0,44                    | 0,12                                                             | -0,32                                | сл.                                     | -0,12                                | -0,44                                |
| $\text{MnO}$            | 0,04                    | 0,05                                                             | +0,01                                | —                                       | —                                    | —                                    |
| $\text{P}_2\text{O}_5$  | 0,06                    | 0,04                                                             | -0,02                                | —                                       | —                                    | —                                    |
| $\text{Na}_2\text{O}$   | 4,19                    | 2,08                                                             | -2,08                                | 9,12                                    | +7,04                                | +4,93                                |
| $\text{K}_2\text{O}$    | 4,83                    | 7,20                                                             | +2,37                                | 0,26                                    | -6,94                                | 4,57                                 |
| $\text{H}_2\text{O}$    | 0,22                    | 0,08                                                             | -0,14                                | —                                       | —                                    | —                                    |
| П. и. п.                | 0,43                    | 0,15                                                             | -0,28                                | —                                       | —                                    | —                                    |
| Сумма                   | 99,56                   | 99,85                                                            | —                                    | 100,07                                  | —                                    | —                                    |

При альбитизации из полевошпатовых пород выносился кремнезем (но количество его осталось больше, чем в гранитах), происходило обогащение титаном, глиноземом и особенно натрием. Происходил интенсивный вынос калия и железа.

Подобного же типа автоскарны часто развиваются в эндоконтакте Аксоранского массива с известняками фаменского возраста. Эти скарны также приурочены к наиболее трещиноватым участкам контакта и развиваются оторочкиами у трещин в гранитах. Они имеют белый цвет, состоят из средних и основных плагиоклазов, сфена, пироксенов и амфиболов.

## Новый тип полевошпатовых месторождений в Центральном Казахстане

45

Таблица 2  
месторожденияЭТАП-ОК-  
РЦЕВАНИЕ

Отдельные разности состоят почти из мономинерального плагиоклаза. Зональность в этих автоскарнах следующая: граниты — гранодиориты — плагиоклазовые автоскарны.

Химический состав этих зон приведен в таблице 4.

Таблица 4

| Окислы             | Гранит<br>Аксоранского<br>массива<br>в % | Гранодио-<br>рит в % | Разность<br>окислов<br>между гра-<br>фами 3 и 2 | Плагиокла-<br>зовый авто-<br>скарн в % | Разность<br>окислов<br>между гра-<br>фами 5 и 3 | Разность<br>окислов<br>между гра-<br>фами 5 и 2 |
|--------------------|------------------------------------------|----------------------|-------------------------------------------------|----------------------------------------|-------------------------------------------------|-------------------------------------------------|
| <chem>SiO2</chem>  | 70,58                                    | 65,68                | -4,90                                           | 64,20                                  | -1,48                                           | -6,38                                           |
| <chem>TiO2</chem>  | 0,35                                     | 0,68                 | +0,33                                           | 0,67                                   | -                                               | +0,32                                           |
| <chem>Al2O3</chem> | 15,15                                    | 16,09                | +0,94                                           | 20,19                                  | +4,10                                           | +5,04                                           |
| <chem>Fe2O3</chem> | 1,30                                     | 0,58                 | -0,72                                           | —                                      | —                                               | —                                               |
| <chem>FeO</chem>   | 1,00                                     | 0,95                 | -0,05                                           | 3,52                                   | +1,99                                           | +1,22                                           |
| <chem>MnO</chem>   | 0,04                                     | 0,11                 | +0,07                                           | —                                      | —                                               | —                                               |
| <chem>CaO</chem>   | 2,10                                     | 4,88                 | +2,78                                           | 5,46                                   | +0,58                                           | +3,36                                           |
| <chem>MgO</chem>   | 0,60                                     | 1,38                 | +0,78                                           | 1,16                                   | -0,22                                           | +0,56                                           |
| <chem>K2O</chem>   | 4,30                                     | 4,20                 | -0,16                                           | —                                      | —                                               | —                                               |
| <chem>Na2O</chem>  | 2,94                                     | 4,28                 | +1,34                                           | 3,70                                   | -4,78                                           | --3,30                                          |
| <chem>P2O5</chem>  | 0,12                                     | 0,29                 | +0,17                                           | —                                      | —                                               | —                                               |
| П. п. п.           | 0,37                                     | 0,61                 | +0,24                                           | 0,88                                   | +0,27                                           | +0,51                                           |
| <chem>H2O</chem>   | 0,18                                     | 0,11                 | -0,07                                           | 0,38                                   | +0,27                                           | +0,20                                           |
| Сумма              | 99,03                                    | 99,84                | —                                               | 100,16                                 | —                                               | —                                               |

Таблица 3

Разность  
окислов ме-  
жду гра-  
фами 5 и 2

+1,18  
+0,28  
+2,70  
-1,76  
-1,05  
-0,44  
—  
—  
+4,93  
4,57  
—  
—  
—

смигезем (но  
ло обогаще-  
нитенсивный

эндоконтакте  
Эти скарны  
этапа и разви-  
цвет, состоит  
амфиболов.

Как следует из анализов, при контакте интрузивных пород с известняками первые сильно обогащаются кальцием, магнием, железом и глиноzemом. Из автоскарнов выносятся только кремнезем и щелочи.

Как видно, в контакте с известняками состав плагиоклазовых автоскарнов резко отличается от альбититов Аксоранского месторождения. Это дает полное основание утверждать, что полевошпатовые автоскарны (альбититы) развились на контакте интрузии с силикатными породами.

Аналогичные процессы автоскарнирования эндоконтактов интрузии описан В. В. Ляхович (1953 г.) на Северном Кавказе. Здесь, в эндоконтактовой зоне гранитов с роговиками (алюмосиликатные породы), в первых наблюдается сильное обогащение аортоклазом, и порода приобретает светлую окраску. Наиболее интенсивное обогащение наблюдается у самого контакта.

Мощность аляскитовой зоны колеблется от 20 до 30 см. Повышенное содержание аортоклаза прослеживается на 30 и более метров от контакта. В этих породах встречаются графические и псевдографические срастания кварца и аортоклаза. Условия образования этих пород аналогичны условиям формирования кварц-полевошпатовых зон, развитых у северного контакта Жаманкарабасского массива, и исходным породам, по которым развились альбититы на Аксоранском полевошпатовом месторождении.

Химический состав этих пород представлен в таблице 5 (по В. В. Ляховичу).

Химизм этого процесса полностью аналогичен химизму образования кварц-полевошпатовых эндоконтактовых разностей на Аксоранском месторождении (табл. 3). В обоих случаях происходил привнос кремнезема и калия и вынос всех остальных компонентов. Этот процесс соответствует первому этапу, выделенному нами в формировании альбитовых автоскарнов.

Таблица 5

| Оксиды                  | Порфиро-видный гранит из центра массива в % | Лейкократовый гранит из аникальной части массива в % | Разность окислов между гранитами 3 и 2 |
|-------------------------|---------------------------------------------|------------------------------------------------------|----------------------------------------|
| $\text{SiO}_2$          | 71,26                                       | 75,39                                                | +4,13                                  |
| $\text{TiO}_2$          | 0,42                                        | сл.                                                  | -0,42                                  |
| $\text{Al}_2\text{O}_3$ | 14,90                                       | 13,61                                                | -1,26                                  |
| $\text{Fe}_2\text{O}_3$ | 0,68                                        | 0,20                                                 | -0,48                                  |
| $\text{FeO}$            | 1,50                                        | 0,09                                                 | -1,41                                  |
| $\text{MnO}$            | 0,02                                        | 0,02                                                 | -                                      |
| $\text{MgO}$            | 0,75                                        | 0,07                                                 | -0,68                                  |
| $\text{CaO}$            | 1,81                                        | 0,33                                                 | -1,48                                  |
| $\text{Na}_2\text{O}$   | 3,28                                        | 0,26                                                 | -3,02                                  |
| $\text{K}_2\text{O}$    | 4,34                                        | 8,97                                                 | +4,63                                  |
| $\text{H}_2\text{O}$    | 0,78                                        | 0,11                                                 | -0,67                                  |
| П. п. п.                | 0,80                                        | 0,80                                                 | -                                      |
| $\text{P}_2\text{O}_5$  | -                                           | 0,02                                                 | -                                      |
| Сумма                   | 99,86                                       | 99,90                                                | -                                      |

Н. Г. Сумин в статье «О натриевом метасоматозе в скариевых жесторудных месторождениях» приводит описание пород (на месторождениях Шерегеш и Шалым), аналогичных Аксоранскому полевошпатовому месторождению. Он указывает, что первичными интрузивными породами на указанных месторождениях являются сиениты. У зерен микропертита в них развиваются каемки альбита. По мере приближения к железорудным телам количество альбита в породах резко возрастает и на самом месторождении они превращаются почти в мономинеральные альбититы.

Те же самые соотношения наблюдаются и на Аксоранском полевошпатовом месторождении. Вполне вероятно, что сиениты на Шерегешском и Шалымском месторождениях не являются первичными породами, а образованы за счет воздействия процессов калиевого метасоматоза на граниты, как это происходит на Аксоранском полевошпатовом месторождении.

При первом этапе (калиевый метасоматоз), как видно из данных таблиц 3 и 5, происходила, вероятно, также интенсивная миграция железа, приводящая к концентрации его в месторождениях.

Во второй этап (натровый метасоматоз) происходило формирование автоскаринов (альбититов) и завершался процесс рудоотложения.

Альбититы, по данным Н. Г. Сумина, на этих месторождениях высокожелезистые и не могут быть использованы в керамической промышленности, но вполне вероятно, что светлорозовые разности их окажутся пригодными для керамических изделий (табл. 6).

Сравнивая эти данные с анализами таблицы 3 (2, 4, 5), мы видим, что здесь также характерен вынос калия и железа. Противоположно ведут себя в этих двух случаях кремнезем и основания, что объясняется, вероятно, своеобразным составом пород.

Н. Г. Сумин подчеркивает, что во всех породах, претерпевших калиевый и натриевый метасоматоз, отмечается постоянство суммы щелочей. Это объясняется, вероятно, тем, что натрий способен замещать в силикатных породах лишь одновалентные атомы калия.

Из небольшого количества анализов, приведенных Н. Г. Суминым (рис. 12), видно, что при калиевом метасоматозе (процесс сиенинизации гранитов) вынос из них железа более интенсивен, при натриевом — менее

## Новый тип полевошпатовых месторождений в Центральном Казахстане

47

Таблица 6

| Окислы                         | Сиенит<br>среднеизер-<br>нистый с<br>м-ния Ше-<br>регеш в % | Альбитизи-<br>рованный<br>сиенит с<br>м-ния Ше-<br>регеш в % | Разность<br>окислов ме-<br>жду графа-<br>ми 3 и 2 |
|--------------------------------|-------------------------------------------------------------|--------------------------------------------------------------|---------------------------------------------------|
|                                | регеш в %                                                   | регеш в %                                                    |                                                   |
| SiO <sub>2</sub>               | 63,14                                                       | 65,32                                                        | +2,18                                             |
| TiO <sub>2</sub>               | 0,16                                                        | 0,36                                                         | +0,20                                             |
| Al <sub>2</sub> O <sub>3</sub> | 17,53                                                       | 16,64                                                        | -0,89                                             |
| Fe <sub>2</sub> O <sub>3</sub> | 2,54                                                        | 1,79                                                         | -0,37                                             |
| FeO                            | нет                                                         | 0,58                                                         |                                                   |
| MnO                            | 0,04                                                        | 0,07                                                         | +0,03                                             |
| MgO                            | 0,35                                                        | 0,54                                                         | +0,19                                             |
| CaO                            | 3,45                                                        | 2,45                                                         | -1,00                                             |
| Na <sub>2</sub> O              | 4,53                                                        | 10,85                                                        | +6,32                                             |
| K <sub>2</sub> O               | 6,83                                                        | 0,36                                                         | -6,53                                             |
| H <sub>2</sub> O               | 0,64                                                        | 0,58                                                         | -0,06                                             |
| P <sub>2</sub> O <sub>5</sub>  | 0,19                                                        | 0,18                                                         | -0,01                                             |
| CO <sub>2</sub>                | 0,36                                                        | 0,31                                                         | -0,05                                             |
| П. п. п.                       | -                                                           | -                                                            | -                                                 |
| Сумма                          | 100,02                                                      | 100,03                                                       |                                                   |

## ОТНОСИТЕЛЬНЫЕ КОЛЕБАНИЯ В СОДЕРЖАНИИ ОКИСЛОВ

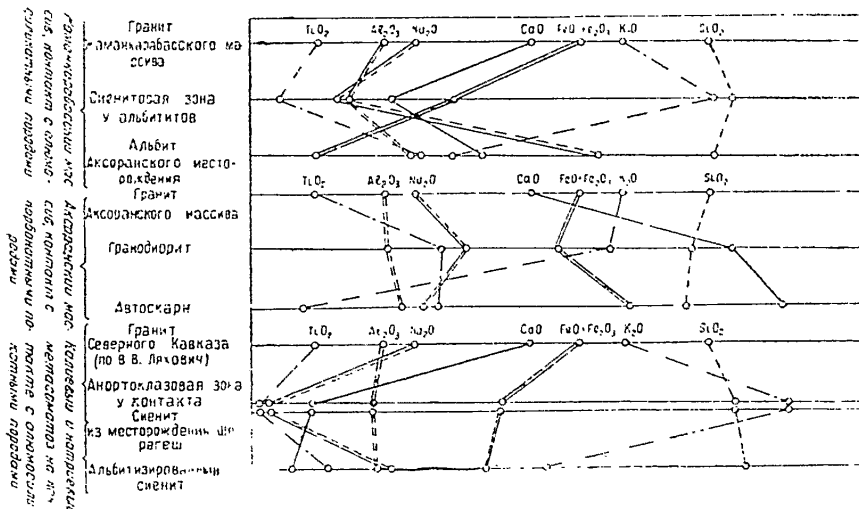


Рис. 12 График изменения процентного содержания окислов в метаморфизованных породах.

значителен. Эти факты позволяют предположить, что в процессе калиевого метасоматоза наиболее интенсивная концентрация железа происходит в щидоконтакте сиенитовых массивов на границе с алюмосиликатными породами. Эти процессы, возможно, и способствовали локализации руд на месторождениях горы Высокой, Кирнуавера и др. Образование же гранодиоритовых и диоритовых разностей пород на контактах интрузий с известняками не дает оснований для предположения о том, что железо в этих месторождениях выносилось из интрузивных пород.

Как видно из всего изложенного, на Аксоранском полевошпатовом месторождении четко фиксируется щелочная метасоматоз в породах, приводящий к формированию полезных новообразований. О большой роли

## Б. К. КОРАБЛЕВ

этих процессов неоднократно указывалось Д. С. Белякиным и П. И. Лебедевым (1937 г.).

Основываясь на приведенных выше химических анализах, уместно поставить вопрос: возможно ли в количественных отношениях образование крупных месторождений железа при процессах калиевого и натриевого метасоматоза за счет интрузивных горных пород?

Как видно из химанализов, средний вынос железа только при калиевом метасоматозе в среднем равен 1,36%. Следовательно, из одного кубического метра гранитов при этом процессе выносилось более 30 кг железа. Для образования месторождения с запасами 500 000 т объем метаморфизованных гранитов должен быть равен около 17 млн. куб. м, т. е. куб с ребром около 260 м, что бесспорно возможно в природе.

Таким образом, калиевый и натровый метасоматоз приводят к образованию полевошпатовых и, вполне вероятно, железорудных месторождений и по своему характеру могут быть отнесены к автоскарнированию интрузивных горных пород.

## ЛИТЕРАТУРА

1. Пяхович В. В. Об одной особенности контакта гранита с роговиками (Северный Кавказ). Вопросы петрографии и минералогии, изд. АН СССР, 1953.
2. Сумин Н. Г. О натриевом метасоматозе в скарновых железорудных месторождениях. Вопросы петрографии и минералогии, изд. АН СССР, 1953.
3. Лебедев П. И. Парагенезис петрографических и железорудных комплексов Труды конференции по генезису руд железа, марганца и алюминия, изд. АН СССР, 1937.

## РЕЗЮМЕ

Макалада автоскариға жататын дала шпаты кең орыны сыйпаттайтын. Даңыл шипаттық автоскари калит және патрилық метасоматоз нәтижесінде пайды болған, сонымен қатар интрузиялық тау жыныстарынан темір компоненті тысқа кеткен.

СПЛ 4

## ИЗВЕСТИЯ

АКАДЕМИИ НАУК КАЗАХСКОЙ ССР

1956

Серия геологическая

Вып. 22

Г. И. БЕДРОВ

**ПОИСКИ РЕДКОМЕТАЛЬНЫХ МЕСТОРОЖДЕНИЙ  
В ЦЕНТРАЛЬНОМ КАЗАХСТАНЕ ПУТЕМ ИЗУЧЕНИЯ  
ВТОРИЧНЫХ ОРЕОЛОВ РАССЕИВАНИЯ.<sup>1</sup>**

## Введение

Большинство месторождений полиметаллов и редких металлов занимает относительно ограниченные участки поверхности и поэтому нередко пропускается в процессе обычных маршрутных исследований. Возможность пропуска месторождений значительно возрастает в районах, открытых современными или более древними рыхлыми образованиями. В силу этого в практике поискового дела уже издавна применяются методы, основанные на изучении ореолов рассеяния полезных ископаемых. Среди них широко известны обломочно-речной, обломочно-ледниковой и шлиховой методы, основанные на изучении относительно крупнообломочного материала, и гораздо менее распространен метод спектрометаллометрический, основанный на изучении физико-химических ореолов рассеяния, образуемых в рыхлых отложениях, вокруг различных рудных месторождений. По ряду причин для полупустынных условий Центрального Казахстана метод изучения физико-химических ореолов рассеивания приобретает особую актуальность.

В настоящей статье рассматриваются некоторые вопросы, касающиеся методики поисков редкометальных месторождений в Центральном Казахстане с помощью изучения вторичных эпигенетических ореолов рассеяния, к которым относятся ореолы механические (шлиховые) и физико-химические. В ней совершенно не затрагиваются данные по поискам, базирующимся на изучении первичных ореолов рассеяния, образующихся в коренных породах в период формирования месторождений, а также вторичных сингенетических ореолов, к числу которых И. И. Гинзбург относит железные шляпы, зоны обеления и иные сходные образования.

Процессы, приводящие к возникновению физико-химических ореолов, изучены пока что недостаточно, поэтому приводящиеся построения, касающиеся деталей их формирования, должны рассматриваться как предположительные схемы.

Следует подчеркнуть также, что шлиховые и физико-химические ореолы связаны между собой взаимопереводами, и поэтому их разделение носят несколько условный характер.

<sup>1</sup> Статья была передана в редакцию до появления в Казахстане приказа министра геологии и охраны недр № 466 «О повышении эффективности геологических поисков на основе массового внедрения металлометрии в практику работы всех геологических организаций Министерства».

**Некоторые особенности геологического строения  
Центрального Казахстана**

Продолжительное существование Центрального Казахстана в континентальных условиях, которое началось в верхнем палеозое и продолжалось в мезозое и кайнозое, обусловило формирование свойственного ему весьма специфичного рельефа. Характерными элементами последнего являются мелкосопочниковые пространства, разобщенные обширными древними долинами. Широким развитием здесь пользуются слабо всхолмленные плющади, на фоне которых возвышаются мелкосопочниковые гряды, имеющие островной характер, и одиночные останцовые сопки. Участки мелкогорья распространены незначительно. Сеть долин имеет, в общем, перисто-ветвящийся характер. Широким развитием на описываемой территории пользуются бессточные депрессии, являющиеся местными базисами эрозии подчас обширных территорий.

Современная гидрографическая сеть развита слабо и характеризуется чертами, свойственными речным системам, переживающим стадию зрелости. Имеющиеся реки в большинстве случаев представляют временные водотоки, деятельность которых оживает лишь весной, тогда как остальное время года поверхностное течение вод в них отсутствует. Эрозионная деятельность их проявляется слабо. Роль современных рек в транспортировке и перераспределении переносимого материала ничтожно мала. Боковые притоки их в большинстве случаев не разработаны.

Центральный Казахстан характеризуется широким развитием разновозрастных рыхлых формирований, которые заполняют здесь древние долины и в значительной степени перекрывают мелкосопочниковые участки. В практике поисковых работ чаще всего приходится сталкиваться с самыми верхними частями этого рыхлого покрова, представленными современными, реже древнечетвертичными отложениями. С ними же связаны здесь все известные россыпи вольфрамита, шеелита и кассiterита.<sup>1</sup>

Наиболее широко среди них распространены современный делювий, очень часто сочетающийся с элювиальными, пролювиальными и реже аллювиальными отложениями. Речные долины, как и их притоки, также заполнены делювием. В связи со слабым развитием современной гидрографической сети современный аллювий мало распространен. Он представлен песчанистыми, галечниковыми или щебенистыми накоплениями, развитыми вдоль неглубоко врезанных русел.

Разрез новейших делювиальных и делювиально-пролювиальных отложений Центрального Казахстана отличается частой перемежаемостью слагающих его литологических разностей, при одновременной быстрой смене характера разреза и в горизонтальном направлении. Указания на это имеются и в периодической литературе (4).

Третичные и более древние рыхлые отложения не пользуются здесь слишком большим площадным распространением, а современный рыхлый покров характеризуется маломощностью. В большинстве случаев он лежит непосредственно на разрушающихся палеозойских породах. Все это создает благоприятные условия для проведения поисковых исследований при помощи спектрометаллометрии. Этому благоприятствует также и то, что полупустынные климатические условия, свойственные значительной части Центрального Казахстана, обилие здесь солнца и постоянные ветры способствуют подъему минерализованных растворов в верхние части рыхлого покрова.

<sup>1</sup> За исключением одного-двух случаев.

Из сказанного очевидно, что методы поисков, проводимых в Центральном Казахстане, должны отличаться от методов, применяемых во многих других районах Союза, характеризующихся мощной, хорошо развитой современной речной сетью и другими особенностями.

### Поведение редкometальных месторождений в поверхностных условиях

Среди редкometальных рудопроявлений, известных в Центральном Казахстане, наибольшим распространением пользуются рудопроявления молибдена, вольфрама (вольфрамит, шеелит) и олова, характеризующиеся отсутствием ярко окрашенных первичных и вторичных минералов. Размеры этих рудопроявлений в большинстве случаев невелики. Весьма распространены процессы выщелачивания минералов молибдена и вольфрама из поверхностных частей рудных тел.

Рудопроявление молибдена в некоторых случаях характеризуется тонкокристаллическим характером молибденита. Чешуйки последнего могут быть настолько малы, что подчас даже не распознаются невооруженным глазом. Оруденение одного из подобных центрально-казахстанских месторождений представлено тонкой рассеянной сыпью молибденита, придающей вмещающему ее кварцу голубоватый оттенок. Не слишком приметна и обычно встречающаяся молибденовая минерализация, представленная разрозненной вкрапленностью мелких отдельных чешуек или розеток молибденита. Участки рудных тел, характеризующиеся более богатой минерализацией, представленной скоплениями молибденита, размешающимися в массе кварцевого выполнения или вдоль зальбандов жил, легко разрушаются и встречаются редко.

Из вторичных минералов молибдена более всего распространены повеллит, являющийся, как известно, исключительно трудно диагностируемым минералом. Тонкочешуйчатый повеллит, развивающийся по молибдениту, в значительном числе случаев распознается только путем облучения штуфов в катодной установке или реакции с ксантофенатово-кислым калием. К числу трудно находимых следует отнести также и месторождения вольфрама, в которых последний представлен мелко- и тонкокристаллическим шеелитом. Именно такой характер минерализации имеют некоторые штокверковые вольфрамовые месторождения Центрального Казахстана.

Установлено большое значение гипергенного выщелачивания молибденита и вольфрамита в рассматриваемых месторождениях. Глубина зоны интенсивного выноса минералов молибдена из рудных жил достигает 10—15 и более метров. Рудопроявления молибдена, в которых молибденит не затронут процессами выщелачивания, встречаются очень редко. Вольфрамит ряда месторождений на глубину нескольких метров разложен и от него по существу остается только железо-марганцевый каркас, тогда как трехокись вольфрама полностью или почти полностью выносится. Дальнейшее разложение этого минерала приводит к уничтожению и железо-марганцевого остова и в итоге остаются лишь характерные щелевидные пустоты, которые можно наблюдать во многих вольфрамовых месторождениях.

Работами последних лет доказано разрушение и выщелачивание шеелита и замещение его тунгститом и другими вторичными минералами в гипергенной зоне ряда редкometальных месторождений Центрально-го Казахстана. Характеристика главных факторов, благоприятствующих выщелачиванию молибдена при гипергенных процессах, приводится

Ф. В. Чухровым (15). Он считает, что одной из основных причин интенсивной выщелоченности молибденита явилось то, что «уже в начале мезозоя отдельные месторождения или значительная их часть могли быть вскрыты до такой степени, что в них начались процессы окисления и выщелачивания».

#### Поиски при помощи шлихового метода

При шлиховом опробовании имеют дело с тяжелой мелкозернистой фракцией тех или иных ценных минералов, которые рассредоточены в рыхлых покровных отложениях, где они образуют ореолы механического (физического) рассеяния

Общеизвестно, что шлиховые ореолы имеют несравненно большие площадные размеры, чем размеры их коренных источников, поэтому находить их гораздо легче, что, в свою очередь, в огромной степени облегчает отыскание и самих рудопроявлений. Шлиховое опробование является надежным и многократно оправдавшим себя методом при поисках. Однако при поисках молибдена положительных результатов оно не дает, что обусловлено пловучестью основных его минералов (молибденит и повеллит), которые смываются в процессе промывки шлиховых проб. Молибденит и повеллит присутствуют в виде знаков лишь в единичных шлиховых пробах в детально прошихованных существенно редкометальных районах, несмотря на то, что общее количество отобранных здесь проб исчисляется тысячами и многие из них отбирались в непосредственной близости от разрушающихся молибеноносных жил. Более широко в шлихах этих районов распространен вульфенит, тяготеющий, как правило, к полиметаллическим месторождениям. Для того чтобы сохранить в шлихах молибденит и повеллит, возможно, следует несколько видоизменить обычно применяемую методику их промывки и дальнейшей обработки. Так, например, можно практиковать просмотр серых шлихов в катодных лучах, что приведет к фиксации в них повеллита, а затем уже проводить их окончательную доводку и т. д. Но все подобного рода мероприятия, очевидно, не дадут должного эффекта.

Шлиховое опробование в том виде, в каком оно в большинстве случаев применялось ранее в Центральном Казахстане, не может считаться удовлетворительным.

Отбор проб только лишь вдоль современной гидрографической сети, зачастую непосредственно из поверхностных частей современных русло-вых отложений, не может дать положительных результатов. Нельзя ждать хороших результатов также и в том случае, если шлихи отбираются только из линий шурпов, задаваемых вкрест простирации древних долин, так как при таком виде опробования шурфовые линии обычно располагаются одна от другой на очень больших расстояниях. Поисковые работы, проведенные в Центральном Казахстане за последние годы, показали, что в сеть пунктов шлихового опробования, кроме основных долин, следует включать также долины второго порядка и впадающие в них многочисленные боковые притоки. В связи с перисто-ветвящимся характером сети долин при таком опробовании достигается сравнительно равномерное перекрытие исследуемых площадей пунктами шлихового опробования. Естественно, что при отборе проб следует все время учитывать особенности геоморфологии и геологического строения участков. Шлиховые карты, составляемые при этом, значительно отличаются от обычных шлиховых карт и несколько напоминают так называемые стационарные карты (рис. 1).

нов  
вне  
Каз  
из

## Поиски редкometальных месторождений в Центральном Казахстане

53

Для обоснования рациональных глубин пробоотбора нами проведена статистическая обработка данных по 1320 шлиховым пробам, отобранным в пределах одного из районов. Пробы отбирались из различных генетических типов новейших рыхлых формирований, представленных, в ос-

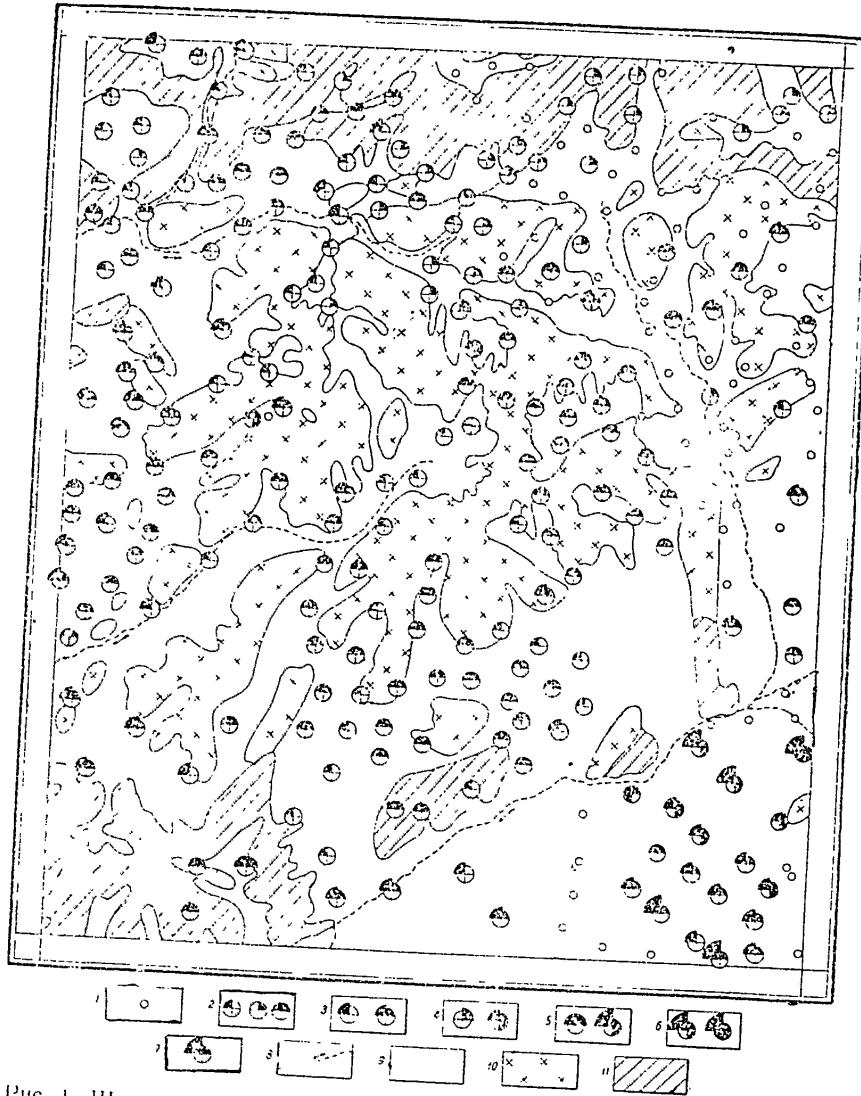


Рис. 1 Шлиховая карта участка. Условные обозначения 1 — шлиховые пробы пустые, 2 — шлиховые пробы, содержащие знаки полезных минералов; 3, 4 — шлиховые пробы с повышенными содержаниями полезных минералов; 5, 6, 7 — шлиховые пробы с высокими содержаниями полезных минералов, 8 — временные русла; 9 — современные рыхлые отложения; 10 — граниты варисские, 11 — осадочные и эфузивные породы палеозоя.

новном, делювием в различных сочетаниях с элювием, пролювием и аллювием. Условия пробоотбора можно считать типичными для Центрального Казахстана. Отбор шлиховых проб производился бороздовым методом из шурfov, с каждого полуметрового интервала. Объем проб 0,01 куб. м.

Анализ этих данных показал, что процент проб, содержащих кассiterит, от общего количества проб, отобранных с каждого отдельного интервала пробоотбора, довольно равномерно повышается с глубиной (рис. 2). Увеличение процента значащих проб с глубиной имеет место и для минералов вольфрама (вольфрамит, шеелит). Резкий скачок в сторону повышения распространенности значащих проб, имеющий место на глубине 3,0—3,5 м, очевидно, случаен и не отражает истинного положения вещей, так как на этом глубинном интервале взято очень небольшое количество проб. Кассiterит является наиболее распространенным полезным шлиховым минералом участка и, очевидно, данные по нему наиболее правильно отражают условия распространения шлиховых ми-

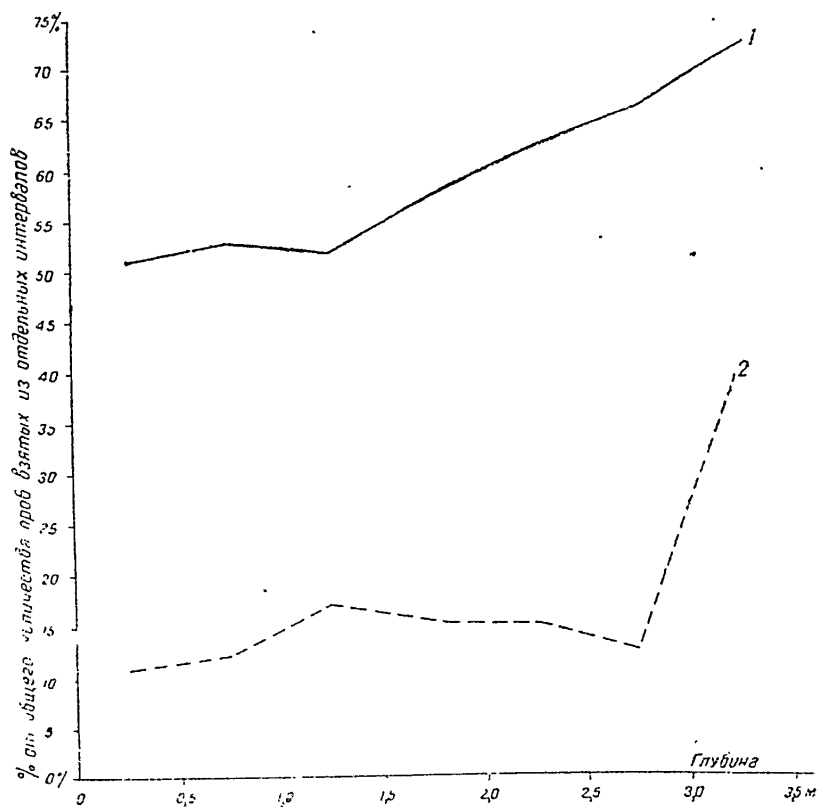


Рис. 2 График распространения вольфрамовых минералов и кассiterита в современных рыхлых отложениях в зависимости от глубины пробоотбора. 1 — кривая изменения количества проб, содержащих кассiterит, 2 — кривая изменения количества проб, содержащих вольфрамит и шеелит.

нералов в современных рыхлых формированиях района вообще. Приуроченность шлиховых проб, наиболее богатых минералами вольфрама и кассiterитом, к самым верхним горизонтам рыхлых отложений участка связана с проявлением процесса своеобразного естественного обогащения, который заключается в том, что из поверхностных делювиальных суглинков, не защищенных растительным покровом, вымыванием временными потоками и выдуванием удаляется пылеватый и наиболее легкий тонкозернистый материал.

Рассмотрение приведенного материала свидетельствует о том, что с увеличением глубины шлихового пробоотбора вероятность встречи цен-

ных шлиховых минералов возрастает не слишком резко. В то же время наиболее богатые шлиховые пробы не имеют тенденции концентрироваться только в самых нижних частях рыхлого покрова. Как и в описываемом случае, они могут сосредоточиваться в самых верхах разреза и могут быть встречены в любой его части, будучи связанны с грубозернистыми песчанистыми горизонтами. Среди более мелковзернистого материала по-степенно располагаются без всякой видимой закономерности.

Наибольший эффект в районе дает шлиховое опробование, в процессе которого пробы отбираются из шурфов. Естественные разрезы здесь редки и использовать их для пробоотбора бывает возможно только в весьма ограниченном числе случаев. Вряд ли целесообразно проходить шурфы большой глубины. Идеальным случаем может считаться достижение шурфами плотика, который представлен либо коренными палеозойскими породами, участками, превращенными в древнюю (мезозойскую) кору выветривания, либо пестроцветными глинами третичного возраста. Вообще при любых обстоятельствах желательно шурфы доводить до отчетливо выраженных песчанистых и гравелитовых горизонтов.

Отбор проб из шурфов можно проводить бороздовым методом по одной из его стенок, с каждого полуметрового интервала. Для облегчения последующих пересчетов удобно, чтобы объем отбираемых шлиховых проб был равен одной сотой кубометра.

Шлиховым опробованием, проведенным по предложенной схеме, будет в достаточной степени освещено распределение шлиховых минералов в современном рыхлом покрове. Для решения вопроса о наличии погребенных россыпей и исследования древнечетвертичных отложений следует в выборочных участках пересекать древние долины профилями мелких буровых скважин.

Кроме минералогического изучения шлиховых проб, следует рекомендовать изучение их в катодной установке и спектрально, что дает немало ценных дополнительных сведений.

Шлиховая изученность Центрального Казахстана далеко еще недостаточна, тем более, что качество проводимых здесь ранее шлиховых работ во многих случаях не может считаться удовлетворительным. Для того чтобы восполнить этот недостаток, предстоит перекрыть этим видом работ огромные площади, что возможно только при условии всемерной механизации этого мероприятия. Последнее мыслится в применении при шлиховом опробовании специализированных автомашин, укомплектованных приспособлениями для проходки мелких шурfov и, возможно, неглубоких буровых скважин. Необходимо также что-либо сделать и в направлении механизации процесса промывки шлиховых проб.

### Поиски при помощи изучения физико-химических ореолов

#### Основные понятия о методике

Сущность поискового метода, основанного на изучении физико-химических ореолов, описана в ряде опубликованных работ (1, 6, 7, 8, 9, 11, 13, 14). Этот метод базируется на исследовании ореолов рассеивания, создающихся в новейших рыхлых формированиях, над разрушающимися месторождениями, а также на некотором удалении от последних. Определение искомых элементов в отбираемых пробах проводится любым из известных методов экспресс-анализа, обладающим достаточной чувствительностью. Опытом доказано, что более всего этим требованиям отвечает спектральный анализ, благодаря чему в практике поисковых работ,

проводимых в СССР, к нему прибегают чаще всего (полуколичественные спектральные определения). Рассматриваемые виды работ относительны и для них еще не разработана единая общепринятая терминология. Нам кажется, что наименование металлометрической или геохимической съемки следует сохранить за съемками, целью которых является изучение первичных ореолов рассеивания в коренных породах, тогда как к съемкам, имеющим дело с вторичными ореолами в рыхлых образованиях, более подходит наименование физико-химических, поскольку при их проведении приходится оперировать не только с солевой фазой, но также и с тонкодисперсной частью механической фазы. В Казахстане за этим видом работ твердо укоренилось наименование спектрометаллометрической съемки, в связи с чем мы и сохраним за ней это название.

Основные понятия о строении ореолов рассеивания, на опробовании и изучении которых основываются спектрометаллометрические съемки, приводятся во временной инструкции по металлометрической съемке Главного геофизического управления Министерства геологии (1). В ней же даются и необходимые сведения по проведению площадных съемок масштаба 1 : 50 000 и более крупных. «Ореолом рассеивания» рекомендуется именовать локальные, располагающиеся вблизи от разрушающихся в современных условиях месторождений зоны, в пределах которых в составе новейших поверхностных отложений отмечаются повышенные содержания ценных элементов месторождения. Здесь же дается определение «потокам рассеяния», под которыми понимаются зоны, отмечающие пути, по которым происходит дальнейшее перемещение обломков пород, содержащих руды из области коренного месторождения в область накопления обломочного материала. Потоки рассеяния также отмечаются повышенными концентрациями ценных элементов, но значительно меньшими, чем в ореолах рассеяния. На еще большем удалении от коренного источника среолы и потоки рассеяния переходят в нормальное поле рассеяния химических элементов горных пород.

В зависимости от фазы состояния вещества, в котором происходит его рассеивание, ореолы подразделяются на механические и солевые. Механические ореолы образуются тогда, когда компонент представлен устойчивыми в зоне выветривания первичными или вторичными минералами. Солевые ореолы рассеяния связаны с месторождениями, содержащими в своем составе растворимые минералы. А. П. Соловьев отмечает, что более всего распространены ореолы сложного типа, в которых одновременно с механическим и солевым рассеянием происходит рассеяние вторичных рудных минералов в форме тонких суспензий и коллоидных растворов (1).

#### Развитие спектрометаллометрических исследований в Центральном Казахстане

Родиной спектрометаллометрических съемок является Советский Союз. Ранее всего они начали применяться в Восточной Сибири при поисках месторождений оловянных и молибденовых руд. Сравнительно давно этот метод применяется и в Центральном Казахстане, а в настоящее время он получил здесь широкое распространение.

Первая удачная попытка применения изучения физико-химических ореолов в Центральном Казахстане для поисков молибдена была сделана Н. И. Тихомировым и С. Д. Миллером в 1943 г. (11).

В 1945 г. С. Д. Миллер проводит экспериментальные работы по применению спектрометаллометрии для поисков марганцевых руд, которые также дали положительные результаты.

Л  
Т  
О  
Н  
  
Ш  
НО  
МЕ  
ПО  
ОП  
РИ  
ТРО  
РА  
ШИ  
  
СПЕ

## Поиски редкometальных месторождений в Центральном Казахстане

57

В 1947 г. Г. И. Бедровым и С. Д. Миллером был проведен опыт по выяснению возможности применения спектрометаллометрического метода для поисков молибденовых и иных руд в мелких масштабах. При этом было установлено, что мелкомасштабное спектрометаллометрическое опробование позволяет оконтуривать ореолы распространения вольфрама, олова и молибдена.

Наиболее значительным событием последующих лет в отношении спектрометаллометрических исследований явилось развертывание Средне-Азиатским геофизическим трестом (С. Д. Миллер и др.) площадных съемок. Этими исследованиями в Центральном Казахстане были перекрыты крупные участки, что привело к открытию значительного числарудопроявлений. Одновременно Г. И. Бедров (Казахское геологическое управление) продолжал работы в направлении применения спектрометрии при геологопоисковых работах.

В 1952 г. проводились опыты по применению так называемого «кольцевого» спектрометаллометрического опробования при исследовании нарудоносность массивов вторичных кварцитов и иных образований, имеющих площадное распространение (С. Д. Миллер, Г. И. Бедров), давшие положительные результаты.

Работами 1948 г. была доказана применимость в Центральном Казахстане съемок, основанных на спектральном анализе золы сжигаемых растений для поисков молибдена, вольфрама и олова (С. Д. Миллер и М. Н. Сеникова), а также возможность применения спектрометрии для поисков силикатных никелевых месторождений (С. Д. Миллер).

В последние годы проведено опытное геохимическое картирование первичных ореолов рассеяния рудных полей некоторых центрально-казахстанских месторождений и проводятся работы по изучению соотношений первичных и вторичных ореолов рассеяния (И. И. Гизбург).

Несмотря на то, что спектрометаллометрические площадные съемки проводятся сейчас в Центральном Казахстане в большом объеме, мелко-масштабные спектрометаллометрические работы здесь в достаточной степени не развернуты. Это является недостатком поисковых и геологических съемочных работ, проводящихся в настоящее время.

## О рациональных глубинах отбора спектрометаллометрических проб

Практикой доказано, что отбор спектрометаллометрических проб в Центральном Казахстане следует проводить из самых верхних горизонтов современных рыхлых отложений. Эти данные были подтверждены и опытными работами, проводимыми нами в одном из редкometальных районов Центрального Казахстана.

Спектрометаллометрические пробы деления отбирались при этом из шурfov с каждого полуметрового интервала последних. Глубина основной массы шурfov не превышала 3,5 м. Пункты отбора спектрометаллометрических проб совпадали с местами взятия шлиховых проб, данные по которым приведены на рис. 2. Материалы спектрометаллометрического опробования обработаны статистически и данные по ним приведены на рис. 3. Приведенный график построен на основании анализа 1500 спектрометаллометрических проб и, очевидно, он более или менее точно отражает характер распределения некоторых ценных элементов в новейших рыхлых формированиях района.

В рассматриваемом случае молибден установлен в большом числе спектрометаллометрических проб, тогда как в шлиховых пробах он практи-

тически отсутствовал. Количество спектрометаллометрических проб с наиболее высокими содержаниями молибдена в рыхлых отложениях с глубиной уменьшается. Процент проб, содержащих любые количества молибдена, в том числе и следы от общего количества проб, отобранных на данном интервале пробоотбора, с глубиной уменьшается (рис. 3). Сле-

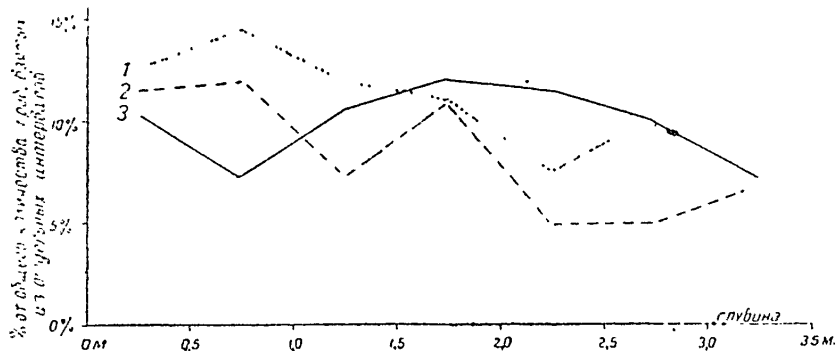


Рис. 3. График распространения W, Mo и Sn в современных рыхлых отложениях в зависимости от глубины отбора спектрометаллометрических проб. 1 — кривая изменения количества проб, содержащих молибден; 2 — кривая изменения количества проб, содержащих вольфрам; 3 — кривая изменения количества проб, содержащих олово.

довательно, степень вероятности встретить молибден в процессе спектрометаллометрического опробования с глубиной уменьшается. Из сказанного видно, что при спектрометаллометрических исследованиях, ориентированных на поиски молибдена и проводимых в сходных с описываемыми условиях, пробы следует отбирать из самых верхних горизонтов рыхлого покрова.

Наиболее богатые спектрометаллометрические пробы с вольфрамом концентрируются в верхних частях рыхлого покрова. Процент значащих проб с вольфрамом от общего числа проб с данного интервала с глубиной уменьшается (рис. 3). Следовательно, так же как и при поисках молибдена, спектрометаллометрические пробы следует отбирать из наиболее верхних горизонтов рыхлого покрова.

Процент проб, содержащих повышенные количества олова, с глубиной меняется, но неравномерно и в общем колеблется около одного уровня. С углублением не наблюдается ни заметного увеличения, ни уменьшения содержания олова в спектрометаллометрических пробах. Процент значащих спектрометаллометрических проб, содержащих любые количества олова, с глубиной меняется незакономерно (рис. 3). Ни увеличения, ни уменьшения количества значащих проб с глубиной не намечается. Полученные данные показывают, что в исследованном районе не наблюдается обогащения оловом верхних горизонтов рыхлого покрова. Одновременно не наблюдается и повышения степени распространенности олова с глубиной. Очевидно, олово, входящее в состав физико-химического ореола (тонкозернистая фракция), относительно равномерно распределено в вертикальном разрезе рыхлых отложений. В силу этого практически безразлично, на какой глубине отбирать спектрометаллометрические пробы при поисках олова в подобных условиях. Экономически выгоднее отбор проб производить из верхних горизонтов.

#### Соотношения шлиховых и физико-химических ореолов

Участки коренной рудной минерализации окружены вторичными ореолами и потоками рассеивания — шлиховыми и физико-химическими.

## Поиски редкометалльных месторождений в Центральном Казахстане

59

Физико-химическим ореолам и потокам в условиях Центрального Казахстана свойственны повышенные концентрации молибдена, вольфрама и некоторых других элементов в поверхностных горизонтах рыхлых формирований. Физико-химические потоки рассеяния вольфрама и олова в плане занимают большие площади, чем поля распространения шеелита, они несколько смещены по отношению к ним. Это горизонтальное смещение физико-химических потоков рассеяния по отношению к шлиховым подчинено определенной закономерности. Первые как бы опережают вторые, располагаясь на больших удалениях от коренных рудопроявления олова и вольфрама, причем смещение физико-химических потоков направлено в сторону общего снижения рельефа того или иного участка.

Для вольфрама наблюдается отчетливое вертикальное смещение его физико-химического ореола по отношению к шлиховому. Оно заключается в том, что физико-химический ореол как бы поднят к приповерхностным горизонтам рыхлых образований, тогда как шлиховой ореол, наоборот, тяготеет к их низам. Формирование этих ореолов происходит по различным законам и в итоге приводит к противоположным результатам. Шлиховые ореолы характеризуются стремлением создавать повышенные концентрации в нижних частях рыхлого покрова, тогда как физико-химические ореолы обладают тенденцией к повышению концентрации компонентов в поверхностных частях последнего.

Для олова также имеет место некоторое смещение ореолов. Характер его в основных чертах тот же, что и для вольфрама, но оно не столь четко выражено.

Сопоставление результатов шлихового и спектрометаллометрического опробования, проведенных из одних и тех же пунктов пробоотбора, показывает, что степень распространенности вольфрамовых минералов (вольфрамит, шеелит) в шлихах несколько выше, чем вольфрама в пробах спектрометаллометрических. Вольфрамит и шеелит встречаются в 14% от общего количества шлиховых проб, а вольфрам в 10% от числа всех проб спектрометаллометрических. Это свидетельствует о том, что в данных и сходных с ними условиях спектрометаллометрический метод, наравне со шлиховым, может быть применен и для поисков вольфрама.

Степень распространенности кассiterита в шлиховых пробах несравненно выше распространения олова в пробах спектрометаллометрических, отобранных в тех же пунктах и с тех же глубинных интервалов. В спектрометаллометрических пробах олово присутствует лишь в 10% проб, тогда как в шлиховых пробах оно известно в 65% общего их количества. Характерно также то, что содержание кассiterита в шлиховых пробах относительно более высокое, чем олова в пробах спектрометаллометрических. Таким образом, в рассматриваемых условиях шлиховой метод представляется наиболее приемлемым для поисков месторождений этого элемента. Следует учитывать, что рудопроявления олова в районе представлены кварцево-касситеритовой формацией. Естественно, что существенно иная картина будет для районов распространения месторождений олова сульфидно-касситеритовой формации. Так, Б. Л. Флеров указывает, что «сульфидные жилы с микровкрапленностью касситерита россыпей, как правило, не дают».

Для поисков месторождений молибденита шлиховое опробование мало приемлемо, так как ведущие минералы этого элемента (молибденит и повеллит) шлиховым опробованием обычно не улавливаются. В то же время спектрометаллометрия дает по молибдену хорошие результаты.

**Условия формирования вторичных ореолов рассеяния молибдена, вольфрама и олова**

**Формирование ореолов рассеяния**

Процессы рассеяния рудных компонентов во вторичных ореолах детально пока не изучены. Причию считать, что вторичные ореолы рассеяния молибденовых месторождений относятся к числу сложных, характеризующихся тем, что в рыхлых образованиях молибдена присутствует в виде обломков первичных (молибденит) и вторичных (повеллит и ферримолибдит) минералов, а также в виде растворимых соединений. По А. П. Соловьеву, наблюдаемое обогащение молибденом верхних горизонтов рыхлых отложений объясняется непрерывно идущим процессом диффузионного рассеивания растворимых соединений, при котором в поверхностном слое, с одной стороны, образуются устойчивые молибдаты, с другой — имеет место обычное устойчивое засоление почв, характерное для местных климатических условий. И. И. Чупилин отмечает, что образовавшиеся разнообразные соли молибдена частично перемещаются к поверхности под влиянием капиллярных сил, чему способствует инсоляция, ветер и повышенная температура, т. е. то, в чем нет недостатка в Центральном Казахстане. Мельчайшие частицы молибденовых минералов перемещаются механическим путем. Совокупность всех этих процессов в итоге приводит к концентрации молибдена в рыхлых отложениях над разрушенными рудными телами и особенно в самом верхнем их слое. Степень выщелачивания молибдена из верхних частей разрушенных рудных тел может быть очень высокой. Так, по данным С. Д. Миллера и Н. И. Тихомирова (11), содержания молибдена в рыхлых формированиях над некоторыми рудными телами значительно пре- восходят содержания его в кварце из выветрелых участков жил.

Очевидно, по сходной схеме происходит формирование физико-химических ореолов в рыхлых отложениях над разрушающимися вольфрамовыми месторождениями. В процессе разрушения рудных тел, содержащих вольфрам, происходит дифференциация его на вольфрам, входящий в состав шлиховых ореолов (составлено механических) и ореолов физико-химических. В первой форме вольфрам обладает способностью совершать длительные горизонтальные перемещения и тенденцией достигнуть все более и более низких горизонтов современных рыхлых формирований.

Ореолы рассеивания олова относятся к числу механических, в которых оно присутствует в виде устойчивого в поверхностных условиях кассiterита. Тонко измельченный кассiterит, видимо, также приобретает некоторую способность к вертикальным — восходящим — перемещениям. Однако возможности эти, по всей вероятности, ограничены, так как описанные выше опытные работы показали, что увеличения концентрации олова в верхних горизонтах рыхлых отложений не наблюдалось. Повышенные концентрации олова отмечаются в золе растений участка, в непосредственной близости от коренного источника (С. Д. Миллер и М. Н. Сенилова).

То, что олово не проявляет тенденции к предпочтительной концентрации в верхних горизонтах рыхлого покрова, подтверждает предположение, что именно наличию солевой фазы молибдена и вольфрама мы, в основном, обязаны повышенному содержанию их в верхних горизонтах.

### Формирование потоков рассеивания

При формировании потоков рассеивания горизонтальные перемещения играют большую роль, чем это имеет место в ореолах рассеяния. Потоки и ореолы рассеяния связаны между собой постепенными переходами; разграничение их затруднено и в значительной мере условно. Зачастую трудно сказать, принесены ли молибден, вольфрам и олово издалека, из уже известных коренных месторождений, или их источник располагается поблизости, но скрыт под рыхлыми отложениями. Как уже отмечалось выше, потоки рассеяния отличаются более низкими содержаниями полезных компонентов, чем те, которые свойственны ореолам рассеяния. Последнее объясняется тем, что здесь нет пополнения рудными компонентами за счет разрушающихся рудных тел месторождений. Создание потоков рассеяния связывается с разрушением соответствующих рудных минералов, входящих в состав шлиховых ореолов, предварительно претерпевших горизонтальное перемещение. Возможно, что количества этих элементов в рыхлых формированиях пополняются за счет рассеянного оруденения в породах, окружающих рудные участки, т. е. за счет ореолов первичного рассеяния.

При поисковых работах чаще всего приходится сталкиваться с потоками рассеяния. Установлено, что в Центральном Казахстане потоки, так же как и ореолы рассеяния, характеризуются повышенными содержаниями вольфрама и молибдена в верхних частях рыхлых отложений.

Горизонтальная транспортировка молибдена при формировании потоков рассеяния осуществляется, очевидно, перемещением его вместе со всей массой рыхлых образований в виде минеральных частиц и солевой фазы и путем перемещения его по поверхности в виде растворимых соединений или мелких частичек вторичных минералов под воздействием агентов смыва и раздувания. Основную роль играет, повидимому, перемещение его вместе с массой деловия. Частицы сульфидного молибдена и его молибдаты могут присутствовать здесь как в виде крупных зерен, входящих в состав шлиховых ореолов, так и в виде фракций, подчиняющихся законам формирования ореолов физико-химических. Крупные зерна в массе рыхлых отложений распределяются относительно равномерно, что связано с их «плотностью», обусловленной тонкочешуйчатой формой и относительно малым удельным весом. По мере удаления от коренного источника все более и более возрастает процент тонкодисперсной и солевой фракции.

По сходной схеме, очевидно, происходит миграция и вольфрама. Воздействие физико-химических факторов (механическое истирание, действие кислот и других природных реагентов) на горизонтально перемещающиеся вместе со всей массой деловия обломки минералов (вольфрамит, шеелит) приводят в конечном счете к тому, что все большее их количество переизмельчается или переходит в растворимое состояние, приобретая тем самым способность к вертикальным восходящим перемещениям. Таким образом, в массе деловия образуются два горизонта, обогащенные вольфрамом. Один из них располагается в наиболее нижних частях разреза, создаваясь за счет концентрации более крупнообломочных зерен вольфрамита и шеелита, входящих в состав шлихового ореола, тогда как второй приурочен к наиболее верхней его части.

Только нижние части рыхлых образований, в которых размещаются потоки рассеяния, обогащены оловом, что обусловлено концентрацией здесь крупнобломочного кассiterита, подчиняющегося законам распределения минеральных зерен в россыпях (влияние гравитационной диф-

ференциации). Во всей оставшейся части рыхлых отложений олово распределется более или менее равномерно.

#### Рекомендации по применению спектрометаллометрических съемок

Спектрометаллометрические съемки, проводимые в Центральном Казахстане геофизическими организациями (М. Д. Морозов, С. Д. Миллер и др.), зарекомендовали себя как вполне надежный и весьма эффективный метод для поисков разнообразных месторождений (W, Mo, Sn, Pb, Zn, Cu, Mn, Ni).

Перекрытие спектрометаллометрическими съемками рудных районов, ранее детально исследованных другими методами, в ряде случаев приводило к открытию неизвестных ранее рудопроявлений. Одновременно фиксировалось все ранее известные здесь, подчас весьма разнообразные проявления рудной минерализации и в том числе даже мелкие. Подтверждением достоверности этих съемок является совпадение (в основных чертах) контуров ореолов рассеяния тех или иных металлов, фиксируемых съемками различных масштабов.

Наряду с перечисленными достоинствами, спектрометаллометрические съемки, проводящиеся сейчас в характеризуемом районе, не лишены некоторых недостатков. Работы эти ведутся недостаточно комплексно, так как они, как правило, не сопровождаются надлежащим количеством шлиховых, штуфных и протолочковых проб. Составляемые геологические карты отличаются схематичностью. Отбор спектрометаллометрических проб проводится по трафаретным сеткам, густота которых не меняется в зависимости от поисковой значимости исследуемых участков. Геофизическими организациями для проведения спектрометаллометрических съемок тонографическим путем разбивается весьма детальная и долгостоящая опорная сеть, которая очень быстро приходит в неодинакость и не может быть использована геологами для съемки. Отсутствует преемственность масштабов. Детальными съемками перекрываются площади, измеряющиеся тысячами квадратных километров, но им не предшествуют спектрометаллометрические съемки более мелких масштабов. Последнее способствовало бы исключению из опробования мало перспективных площадей. В существующей временной инструкции по металлометрической съемке (1) приведены все необходимые сведения по методике проведения съемок различных масштабов.

Площадные спектрометаллометрические съемки мелких масштабов должны вестись в общем комплексе поисковых и геологосъемочных работ, параллельно с ними и даже несколько опережая. Спектрометаллометрия должна проводиться или теми же организациями, которыми выполняется оставшейся комплекс работ, или геофизиками, работающими с ними в очень тесной увязке. Во всяком случае этот вид работ наравне со шлиховым опробованием следует считать обязательным поисковым методом, сопровождающим геологические съемки. Общая спектрометаллометрическая заслуга Центрального Казахстана мала, в связи с чем этот вид работ, так же как и шлиховые съемки, следует здесь усиление форсировать.

Мелкомасштабное спектрометаллометрическое опробование (1 : 100 000 и 1 : 200 000) может проводиться двумя методами. При работе по первому методу спектрометаллометрические пробы отбираются в

## Поиски редкometальных месторождений в Центральном Казахстане

53

процессе выполнения прочих геологических исследований и не требуют для своего проведения таких дополнительных мероприятий, как разбивка сети.

При втором методе разбивается опорная сеть (правда, значительно разреженная в сравнении с масштабом 1 : 50 000), а отбор проб осуществляется специализированными отрядами по схеме, предлагаемой временной инструкцией Головного геофизического управления (1).

Первый из этих методов привлекает своей доступностью и дешевизной, так как при нем не требуется разбивка дорогостоящей сети, а сама работа ведется попутно с выполнением остальных геологических работ, и тем, что в этом случае пробы отбираются с учетом геологической обстановки, то есть более осмысленно. Однако, работая по этому методу, трудно добиться достаточной густоты сети пунктов пробоотбора, а привязка последних не будет такой точной, как при специализированных спектрометаллометрических съемках.

При такого рода работах пробы отбирались во время геологических маркировок и при шлиховом опробовании, чем достигалось довольно равномерное перекрытие спектрометаллометрическим опробованием обследуемых площадей.

Спектрометаллометрические пробы, отбираемые около обнажающихся жил кварца или их развалов, должны располагаться возможно ближе к жильным телам или непосредственно среди их развалов. При опробовании жильных тел следует отбирать не одну пробу, а несколько, расположая их по длине жилы в соответствии с условиями каждого отдельного случая (наличие полостей выщелачивания, охр и т. д.). В случае, если исследуемые рудопроявления имеют вид сравнительно мощных линейно вытянутых зон, спектрометаллометрическое опробование уместно проводить вдоль профилей, расположенных вкрест их простирации.

Повышенные содержания в спектрометаллометрических пробах одновременно нескольких элементов (например W, Mo, Bi) являются весьма надежным указанием на то, что пункты пробоотбора представляют значительный интерес.

Естественно, что при проведении спектрометаллометрического опробования попутно с геологическими маршрутами трудно добиться достаточно густой сети пробоотбора, в связи с чем опасность пропуска рудопроявлений на исследуемой площади увеличивается. Однако ореолы и потоки рассеяния вокруг крупных месторождений, так же как и потоки рассеяния вокруг групп рудопроявлений и рудоносных интрузий, при этом будут фиксироваться; будут открываться также и некоторые рудопроявления. Во всяком случае эти работы, проведенные вместе со шлиховым опробованием и прочим комплексом геологопоисковых работ, позволяют дать району объективную оценку в смысле перспектив его металлоности и дадут материал для решения вопроса о необходимости постановки в его пределах поисков более крупного масштаба.

Очевидно, в зависимости от обстоятельств, при мелкомасштабных исследованиях следует прибегать как к попутной, так и специализированной спектрометаллометрии. Для того чтобы сделать последнюю доступной широкому кругу геологических организаций, ее надлежит в значительной мере упростить. Это особенюю касается разбивки топографического обоснования, которая является сложной и дорогостоящей операцией.

Исходя из опыта, полученного в результате площадных спектрометаллометрических съемок, можно считать, что для специализированных

съемок вполне приемлемой может быть сеть пробоотбора  $1000 \times 100$  м при работах в масштабе 1 : 100 000 и соответственно  $2000 \times 200$  м при двухсоттысячных съемках.

Для проверки достоверности этого предположения Средне-Азиатским трестом (С. Д. Миллер) был проведен опыт составления карт изоконцентраций по материалам спектрометаллометрических съемок, но не по всем отобранным пробам, а по сокращенному их числу, причем сокращение числа проб проводилось пропорционально избираемому масштабу.

Методика пробоотбора при спектрометаллометрических исследованиях мелкого масштаба аналогична методике, применяемой при съемках более крупных масштабов (1). Отбор проб производится из мелких запушек, проходимых в верхних частях рыхлых формирований (не глубже 0,3 м).

Весьма желательным условием при проведении спектрометаллометрических работ любых масштабов является проведение анализов на месте в процессе поисков.

По данным полуколичественного спектрального анализа проб, отобранных при специализированных спектрометаллометрических исследованиях мелкого масштаба, составляются карты изоконцентраций полезных элементов. Первым этапом для графического оформления материалов по спектрометаллометрическому опробованию, проведенному при геологическом маршрутизации и шлиховом опробовании, является составление карт, сходных с картами шлихового опробования. Позднее на этих картах или на прикладываемых к ним восковках следует выделять поля распространения ценных элементов. Данные опробования, проведенного вдоль линейно вытянутых минерализованных зон или вкрест их простирации, оформляются в виде профилей содержаний (1, 11).

### Выводы

1. Некоторые особенности Центрального Казахстана, заключающиеся в широком распространении здесь мелкосопочниковых пространств и обширных слабо всхолмленных площадей при чрезвычайно слабом развитии современной гидрографической сети и перекрытии древних долин и мелкосопочниковых пространств современным делювием, при незначительном развитии современного аллювия, обусловливают то, что методика проводимых здесь поисковых работ должна иметь некоторые отличительные особенности. Так, например, шлиховое опробование следует проводить путем охвата им возможно большего числа второстепенных долин и мелких логов, добиваясь сравнительно равномерного охвата исследуемых площадей сетью шлихового пробоотбора. Хорошая проходимость этого региона делает возможным проведение площадного шлихового опробования с применением автотранспорта и, малой механизации. Отбор шлихов рекомендуется проводить из мелких шурfov.

2. Физико-химический метод поисков или, как его называют, спектрометаллометрический, с успехом применяется в Казахстане при площадных исследованиях, проводимых в масштабе 1 : 50 000 и более крупных. С его помощью за последние годы здесь открыто значительное количество разнообразных рудопроявлений. Однако мелкомасштабные спектрометаллометрические исследования, несмотря на весьма благоприятные условия для их проведения, не получили здесь до настоящего

## Поиски редкometальных месторождений в Центральном Казахстане

65

времени должного распространения. Особенно важно, что спектрометаллометрический метод может быть применен для поисков месторождений молибдена, которые по ряду причин являются весьма трудными поисковыми объектами. Проведению спектрометаллометрических съемок в Центральном Казахстане способствуют процессы перераспределения W, Mo и других элементов в современных рыхлых отложениях, приводящие, в конечном счете, к преимущественной концентрации их в самых верхних горизонтах рыхлого покрова.

3. Можно надеяться, что планомерные шлиховые и спектрометаллометрические съемки, проведение которых, так же как и иных видов поисковых работ, в Центральном Казахстане следует всемерно форсировать, приведут к открытию новых месторождений. Кроме того, эти работы, проведенные на обширных площадях и с большой детальностью, дадут неоценимый материал для металлогенических и прогнозных построений.

## ЛИТЕРАТУРА

- 1 Временная инструкция по металлометрической съемке. Составлена А. П. Солововым на основе материалов Н. И. Сафонова, С. Д. Миллера, Е. А. Сергеева и А. П. Соловова, Госгеолиздат, 1951.
- 2 Ичикеев М. И. Шлиховое опробование при геологической съемке и обзорных поисках. Госгеолиздат, 1953.
- 3 Кассин Н. Г. Материалы по палеогеографии Казахстана. Алма-Ата, 1947.
- 4 Кулаков П. А. Условия образованиявольфрамовых россыпей в Центральном Казахстане. Советская геология № 31, 1948.
- 5 Геохимические методы поисков рудных месторождений. Сборник статей. Изд. ИЛ, Москва, 1954.
- 6 Сергеев Е. А., Соловов А. П. Ионный метод геофизических поисков. Материалы по геофизике, ЦНИГРИ, № 3, 1937.
- 7 Сергеев Е. А. Физико-химический метод поисков рудных залежей. Материалы ВСЕГЕИ, Геофизика, сб 9—10, Госгеолиздат, 1941.
- 8 Софронов Н. И., Родионов П. Ф. К вопросу о современном состоянии электрометрических методов прикладной геофизики и их задачи в области цветных металлов. Проблемы советской геологии, № 4, 1933.
- 9 Софронов Н. И. К вопросу об ореолах рассеяния месторождений полезных ископаемых и их использование при поисках и разведке. Проблемы советской геологии № 4, 1936.
- 10 Смирнов С. С. Зона окисления сульфидных месторождений. Академиздат, 1951.
- 11 Тихомиров Н. И., Миллер С. Д. О физико-химическом методе поисков молибдена в условиях полупустынного климата на территории Северного Прибайкалья. Разведка недр № 2, 1946.
- 12 Флеров Б. Л. Применение оловометрической съемки при поисках коренных месторождений олова. Редкие металлы № 1, 1930.
- 13 Флеров Б. Л. К методике поисков коренных месторождений олова. Советская геология № 10, 1938.
- 14 Ферсман Е. А. Геохимические и минералогические методы поисков. Избранные труды, том II, изд. АН СССР, М., 1953.
- 15 Чухров Ф. В. Значение выщелачивания молибдена в Центральном Казахстане. Советская геология, сб 14—15, 1947.

## РЕЗЮМЕ

Макалада кен іздеу жұмыстарына байланысты Орталық Қазақстан-ның геологиялық құрылыштарының кейібір ерекшеліктерін сыйпаттайды. Көннің екінші шашыранды ореолын пайдалана отырып сирек металл кен орындарын іздеу жолдары көрсетілген.

## ИЗВЕСТИЯ

АКАДЕМИИ НАУК КАЗАХСКОЙ ССР

1956

Серия геологическая

Вып. 22

Г. Б. ЖИЛИНСКИЙ

## ОБЗОРНЫЕ ШЛИХОВЫЕ КАРТЫ

Известно, что шлиховым методом поисков стали успешно пользоваться давно, но шлиховые карты — как наиболее совершенный, максимально простой и предельно наглядный способ графического выражения его результатов — стали входить в обиход геологов-поисковиков сравнительно недавно.

Не останавливаясь на истории данного вопроса, отмечу только, что у нас в Союзе шлиховые карты стали широко применяться примерно с 1930-х годов. Первоначально они предназначались только для графической документации поисковых проб без отражения результатов шлихового опробования. Затем по мере улучшения метода поисков совершенствовались и шлиховые карты. Современные шлиховые карты представляют собой уже весьма полное отражение не только непосредственных результатов шлиховых поисков, но и всех других данных, необходимых для перспективной оценки района и для эффективного направления дальнейших поисков.

Все сказанное выше относится, в основном, к так называемым *первичным*, или детальным, *поисково-шлиховым картам*. *Обзорные*, или сводные, *шлиховые карты* пока еще не получили широкого распространения, хотя для некоторых районов страны такие карты известны, и они сыграли там положительную роль в рациональном планировании и эффективном направлении дальнейших поисков месторождений золота и редких металлов. Следует отметить, что методика составления первичных (детальных) шлиховых карт в настоящее время хорошо разработана. Кроме того, такие карты могут составляться с большими отклонениями от общепринятых стандартов. Их графическое выражение может меняться в зависимости от конкретных геологических особенностей того или иного района, от вида и количества полезных ископаемых, на которые велись поиски, от детальности поисковых работ и методики поискового опробования и т. д. и т. п.

Но все же при составлении детальных шлиховых карт обычно строго придерживаются следующих общепринятых правил:

1. Детальные шлиховые карты составляются в том же масштабе (или крупнее), в котором проводилось геологическое картирование и поиски.

2. Основой для детальной шлиховой карты обычно является кондиционная геологическая карта на топографической основе. Геологическая нагрузка таких карт обычно выполняется в бледных тонах (фоном) и иногда дополняется геоморфологическими данными.

## Обзорные шлиховые карты

67

3. На детальные шлиховые карты наносятся все поисковые пробы. Для каждой пробы указывается ее номер и условия пробоотбора в данном месте, полный состав и количество каждого полезного компонента по результатам анализа шлихов, а также другие первичные данные.

4. Детальные шлиховые карты сопровождаются пояснительным текстом и *полными данными анализов*, сведенными в таблицы результатов шлихового опробования.

Вопросы, касающиеся методики составления детальных (первичных) шлиховых карт, более или менее подробно освещены в опубликованной по этому вопросу литературе (1, 2 и др.). Необходимо только отметить, что в брошюре М. И. Ициксона «Шлиховое опробование при геологической съемке и обзорных поисках», в порядке обсуждения, приводятся методические указания по составлению шлиховых карт масштаба от 1 : 50 000 до 1 : 1 000 000, но не обзорных, а первичных карт, отражающих непосредственные результаты проведенных в этом масштабе поисков. Следовательно, они по типу своему и по назначению полностью относятся к категории детальных карт. Такие карты (рис. 1), несмотря на мелкие масштабы, не отвечают назначению обзорных карт из-за перегруженности второстепенными первичными данными (пустые пробы, элементы геоморфологии, контуры долин и т. д.).

Опыт составления обзорных шлиховых карт в Институте геологических наук АН КазССР показал, что обзорные шлиховые карты, предназначаемые в конечной цели для прогнозов, должны удовлетворять следующим основным требованиям:

1. Основой для обзорных шлиховых карт должна служить схематизированная структурно-геологическая карта, составленная применительно к главной цели, т. е. прогнозам.

2. Геолого-структурная основа обзорной шлиховой карты должна быть дополнена специальной металлогенической нагрузкой, имеющей отношение к прогнозам, на тот или иной вид полезных ископаемых.

3. Данные шлихового опробования, предварительно систематизированные и обобщенные, наносятся на обзорную шлиховую карту в усредненных показателях в виде ореолов устойчивого рассеяния минералов интересующего нас полезного ископаемого.

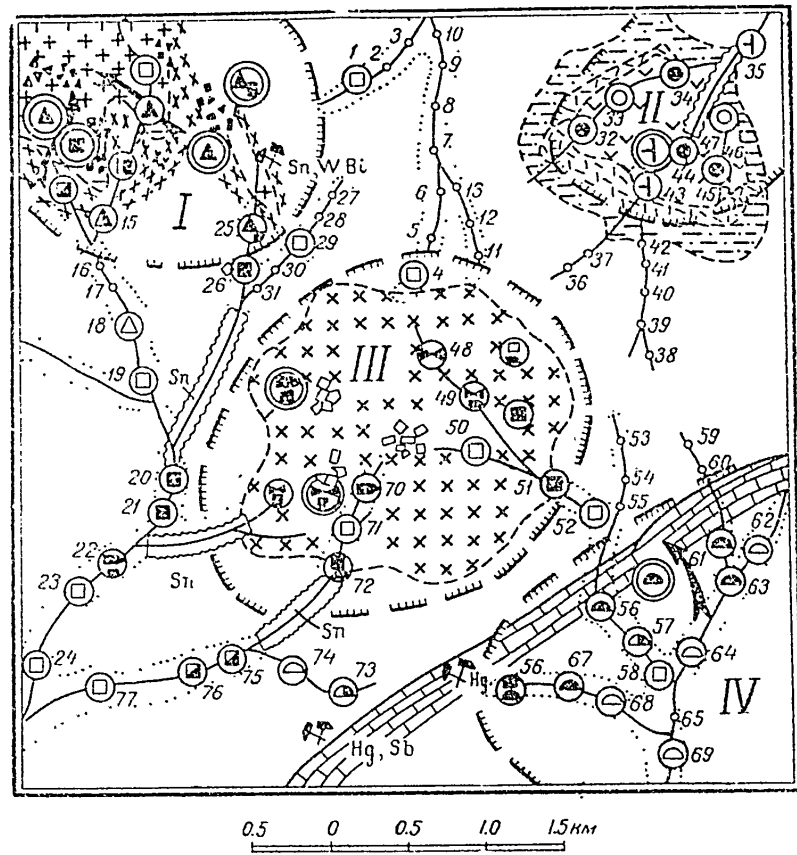
4. На обзорной шлиховой карте, кроме того, отражаются систематизированные данные по результатам поисковых работ другими методами (металлометрия, гравиометрия, аэромагнитометрия, магнитометрия, обломочно-речной и валунно-ледниковый метод и т. д.).

5. На обзорной шлиховой карте оконтуриваются перспективные площади по данному виду полезных ископаемых с указанием на возможный генетический тип предполагаемых месторождений.

Следовательно, принципиальное отличие обзорных шлиховых карт от первичных заключается в следующем.

1. Обзорные карты составляются только на один-два или группу близких по генетическим особенностям минералов, а не на весь комплекс полезных минералов, встречающихся в шлихах. Возможно, конечно, составление и комплексных обзорных шлиховых карт на все встречающиеся в шлихах минералы, но опыт таких работ показал, что карты в этом случае теряют свою целевостремленность и наглядность. Поэтому целесообразнее составлять несколько параллельных карт на разные полезные ископаемые, которые при желании или необходимости можно легко объединить в одну сводную (комплексную) карту.

2. На обзорные карты наносятся не все поисковые пробы и не отдельные пробы, а целые группы (семейства) поисковых проб, образующих ореолы рассеивания ископаемых минералов.



0.5 0 0.5 1.0 1.5 км

+ Алякситовые  
граниты

Мраморы.

Дуниты  
Пироксенофиты  
Габбро

Платино-  
носный  
комплекс

Средние  
граниты.

Контактовые  
роговики.

Тектонические нарушения

#### Минералы шлиховых проб (знаки минералов)

□ Кассiterит

△ Вольфрамит

□ Киноварь

○ Платина

◇ Висмутин

□ Хромит

□ Колумбит

✖ Сподумен

□ Антимонит

#### Количественное содержание минералов в шлихах

■ Весовое содержание □ Десятки зерен □ Единичные зерна  
и т.д. и т.д. и т.д.

#### Характер отложений, из которых взяты пробы

○ Аллювий ○ Элювий - делювий. ⋯ Граница аллювия.

#### Месторождения и признаки рудоносности

⊗ Коренные месторождения; Hg-ртутни; Hg, Sb-сурымяно-ртутные, Sn, W, Bi - висмуто-вольфрамо-оловянные.

⊗ Свалы грейзенов ⋯ Свалы пегматитов ⋯ Свалы кварца

↗ Рассыпи (Sn-олово-  
носные, Pt-платиноносные)

↗ Направление поис-  
ков коренного мес-  
тоторождения

↖ Главнейшие  
ореолы рас-  
сеяния.

Рис. 1. Образец одного из вариантов детальной шлиховой карты масштаба 1:500 000 (по М. И. Ициксону).

## Обзорные шлиховые карты

69

Отдельные поисковые пробы отражаются на обзорной шлиховой карте только тогда, когда они получены не при систематическом поисковом опробовании, а носят случайный характер, т. е. при недостаточной шлиховой изученности данного района.

3. Обзорная шлиховая карта, будучи снабжена дополнительной специальной металлогенической нагрузкой, по сути дела уже может служить поисково-прогнозной картой.

Из сказанного выше следует заключить, что между первичными (детальными) шлиховыми картами и обзорной шлиховой картой существует принципиальное различие. Поэтому и методика составления обзорных шлиховых карт должна иметь свои особенности.

## Содержание обзорных шлиховых карт

Обзорная шлиховая карта для любого полезного ископаемого должна представлять собой не одну, а целую серию карт, из которых все естественные (кроме названной) являются подсобными и каждая из них отражает данные по одному какому-либо существенному вопросу.

Так, например, обзорные шлиховые карты, составленные в Институте геологических наук АН КазССР, оформлены в виде атласа.

В этот атлас вошли: номенклатурные листы; листы-картограммы геологической, шлиховой и геофизической изученности; листы обзорной шлиховой карты; картограмма гидрогеологического районирования.

Весь этот комплекс карт снабжен подробным объяснительным текстом и полным кадастром учтенных рудопроявлений.

Для других районов, кроме перечисленных материалов, может быть рекомендовано составление или использование для этих целей полуторамиллионной государственной геологической карты, карты рыхлых и четвертичных отложений, геоморфологической карты, палеогеографических или фациально-литологических карт и т. д.

Рассмотрим несколько подробнее вопрос о назначении перечисленных выше карт и о принципах составления некоторых из них.

## Принципы составления обзорных шлиховых карт

*Топографическая основа.* Номенклатурные полуторамиллионные листы топографической карты являются необходимым приложением к обзорной шлиховой карте, так как они дают наглядное представление о разветвленности и строении гидрографической сети и, следовательно, о распространении некоторых рыхлых образований (например, барханных или дюнных песков, такирных глин и т. п.), о рельфе, растительном покрове и некоторых других данных, дающих возможность составить представление об условиях шлихового опробования в данном районе. Кроме того, на топографических картах отражены пути сообщения, населенные пункты и другие данные, необходимые при экономической оценке результатов шлихового опробования.

Топографические карты используются для этих целей в готовом виде типографского издания, поэтому на составление таких карт дополнительный труд обычно не затрачивается.

*Картограмма геологической, шлиховой и геофизической изученности* выполняется одним из общепринятых методов на отдельных листах стандартного полуторамиллионного формата. Эта картограмма совершенно

необходима для последующего выделения перспективных площадей, так как она дает возможность учитывать детальность уже проведенных поисковых и геологических работ и соответственно этому корректировать относительную перспективность того ли иного района.

Для указанных целей картограмму изученности удобнее всего выполнять на прозрачной основе (восковке, кальке), что позволяет пользоваться ею путем наложения на соответствующие листы геологической или шлиховой карты.

*Полумиллионные листы государственной геологической карты* являются совершенно обязательным приложением к обзорным шлиховым картам, так как они дают наиболее полное представление о геологическом строении и о комплексе всех полезных ископаемых района. Напомним, что в качестве геологической основы для шлиховой карты используется схематизированная геолого-структурная основа, которая, естественно, не может вполне заменить полноценную геологическую карту, так как ее форма и содержание подчинены узким целям.

*Обзорная шлиховая карта* (м. 1 : 500 000). Мы уже останавливались на том, что должна представлять собою эта карта и каково ее назначение. Поэтому остановимся теперь на наиболее общих принципах составления таких карт.

Такая карта должна состоять, если так можно выразиться, из следующих элементов: 1) геолого-структурной основы; 2) специальной металлогенической нагрузки; 3) данных о месторождениях и рудопроявлениях искомого и сопутствующих ему полезных ископаемых; 4) шлиховых данных; 5) прочих поисковых данных (валуно-ледниковый метод, обломочно-речной метод, геофизические поиски и др.); 6) оценочных данных.

Остановимся несколько подробнее на характеристике этих составных элементов обзорной шлиховой карты.

*Геолого-структурная основа* предназначается специально для металлогенических прогнозов, поэтому в нагрузке ее должна быть заложена идея объективного отображения главных факторов металлогенеза: история развития геологических структур, магматизма и литогенеза. На карте должны быть отражены только такие геологические элементы, которые имеют первостепенное значение для выяснения специфики металлогенеза каждого конкретного района.

В качестве основных геологических элементов для нагрузки геолого-структурной карты могут быть приняты следующие:

1. Складчатые структуры, возникшие в ведущие геотектонические этапы. Наряду с площадями развития этих структур на современном эрозионном срезе на карте показывается также общая ориентация и основные черты морфологии этих структур.

2. Разрывные нарушения регионального значения, с расчленением их на структуры надвигового и сбросового типа, с указанием возраста их возникновения.

3. Площади развития кислых (гранитондных) интрузий, с разбивкой их по составу и возрасту.

4. Площади развития основных и ультраосновных интрузий, с разбивкой их по составу и возрасту.

5. Площади развития эффузивно-осадочных, карбонатных и терригенных комплексов пород, с разбивкой их по составу и возрасту формирования.

Базируясь в своей фактической основе на документальных данных всех имеющихся материалов обычной геологической карты, геолого-структурная карта является обобщением тех геологических элементов,

## Обзорные шлиховые карты

71

которые имеют главное значение для раскрытия основных закономерностей в формировании металлогении изучаемого района, обусловленных специфическими особенностями его тектоники, магматизма, литогенеза и металлогении.

Наиболее удачным и пока единственным примером таких геолого-структурных карт является геолого-структурная карта Центрального Казахстана, составленная в Институте геологических наук АН КазССР Г. Ц. Медсевым. В основу этой карты положен принцип расчленения всей истории геологического развития Центрального Казахстана на шесть четко документируемых, наиболее напряженных эпох орогена, качественно менявших лиц и недра этого участка земной коры: допалеозойскую, раннекаледонскую, позднекаледонскую, рашеварисскую, поздневарисскую и киммероальпийскую.

Следует иметь в виду, что в зависимости от степени геологической изученности того или иного района и количества фактических данных, геолого-структурные карты могут иметь более или менее детальное выражение. Детальность таких карт в основном будет определяться возможностью более дробного выделения геотектонических и металлогенических этапов.

Однако одной только структурно-геологической нагрузки для составления обзорной шлиховой карты, предназначенной, как мы уже отмечали, для прогнозов, еще далеко не достаточно. Поэтому такая карта дополняется специальной металлогенической нагрузкой.

*Специальная металлогеническая нагрузка.* Под специальной металлогенической нагрузкой в данном случае понимаются все прямые или косвенные данные о рудопроявлениях интересующего нас металла. К таким данным, прежде всего, относятся все сведения о рудопроявлениях искомого полезного ископаемого, причем расклассифицированных по их генетическим типам и по величине (масштабы рудопроявлений, степень изученности и освоения). Кроме того, в качестве специальной металлогенической нагрузки находятся рудопроявления и месторождения всех полезных ископаемых, являющихся спутниками искомого, петрографические разновидности всех изверженных горных пород, с которыми генетически связана интересующая нас минерализация, участки проявлений гидротермального изменения горных пород и т. д. и т. п.

Исходя из уже известных и возможных в данном регионе типов проявления искомой минерализации, в качестве специальной металлогенической нагрузки на геолого-структурной карте, в частности, могут быть отражены:

а) Массивы основных, ультраосновных кислых и щелочных интрузий и жильные фации этих массивов.

б) Поля эфузивов различного состава.

в) Мощные дайки пегматитов и поля пегматоидных пород и пегматитовых жил.

г) Альбититы, автоскары и скарны.

д) Грейзены и грейзнизация.

е) Массивы вторичных кварцитов и поля других гидротермально измененных пород.

ж) Кварцевые, карбонатные, баритовые и другие жилы.

з) Слюдистые сланцы, гнейсы и амфиболиты.

и) Карбонатные породы вблизи интрузий.

к) Стратиграфические горизонты, для которых уже известны случаи нахождения ископаемых рудопроявлений осадочного генезиса или которые являются благоприятной средой для локализации гидротермальной минерализации.

л) Древние долины, озерные впадины и другие элементы геоморфологии, имеющие отношение к условиям формирования россыпей.

м) Латериты, огнеупорные глины и бокситоносные площади для связанных с ними полезных ископаемых.

н) Рыхлые мезо-кайнозойские, озерные и прибрежно-морские осадки, косы и песчаные отмели в современных озерах, расположенные вблизи массивов рудоносных интрузий или других рудовмещающих пород.

Перечисленные геологические и геоморфологические данные имеют важное поисковое значение, но все они являются только косвенными признаками возможной металлоносности тех районов, где эти данные имеются.

К числу прямых указаний на металлоносность относятся сведения об известных уже месторождениях и рудопроявлениях того или иного полезного ископаемого. Эти прямые признаки наносятся на обзорную шлиховую карту в условных знаках, резко выделяющихся на общем фоне. Форма, размер и способ закраски знаков должны выражать генетический тип рудопроявлений (см. выше), вещественный состав руды, степень геологической изученности (разведанности) месторождений, промышленное значение, (масштабы, запасы) и состояние освоения (разрабатывающиеся, разведанные и т. п.) месторождений и др.

Соответственно этому при составлении обзорной шлиховой карты могут быть приняты следующие условные обозначения для рудопроявлений:

1. Форма условного знака отражает вещественный состав руды. Например, квадрат — для кассiterита или ильменита, треугольник — для вольфрамита или рутила, перевернутый треугольник — для шеелита и т. п. (рис. 2)

|                              | Аксессорный и эффециентный     | Сегрегационные руды            | Пегматиты и сподолиты          | Гидротермалиты                 | Метаморфогенетический тип      | Россыпи                                       |
|------------------------------|--------------------------------|--------------------------------|--------------------------------|--------------------------------|--------------------------------|-----------------------------------------------|
|                              | Фактурные<br>знаки по<br>рудам | Морские<br>и озерные<br>дайчевые<br>осадочные |
| 1. Рутил, бор-<br>нит, антаз | ▲                              | ▲                              | ▲                              | ▲                              | ▲                              | ▲                                             |
| 2. Ильменит                  | +                              | ■                              | ■                              | □                              | □                              | ■                                             |
| 3. Гиганточогнен-<br>тит     | +                              | ◆                              | ◆                              | ◆                              | ◆                              | ◆                                             |
| 4. Сфен                      | +                              | ◆                              | ◆                              | ◆                              | ◆                              | ◆                                             |

Рис. 2 Один из возможных вариантов условных обозначений для коренных месторождений.

2. Размер условного знака должен соответствовать относительной величине месторождений: крупные — крупным промышленным месторождениям, средние — средним и мелкие — рудопроявлениям и рудным точкам.

3. Внутренняя заливка (закраска) условных знаков должна иметь различный вид соответственно генетическому типу месторождений. Например, для титановых минералов сплошная заливка знака — для морских и озерных россыпей, половинная заливка знака — для сегрегационных руд, крестик внутри условного знака — акцессорный тип, горизонтальная черта посередине условного знака — осадочный тип

## Обзорные шлиховые карты

73

(ильменитовые или рутиловые песчаники), условный знак без дополнительных обозначений — кварцево-жильный тип и т. д.

4. Степень геологической изученности и освоения месторождений (разведываемые, разведанные и разрабатываются) указывается дополнительным значком, который помещается над условным знаком (молоточки, флаги и т. д.).

Для еще большей специализации карты рекомендуется и все рудо-проявления других (сопутствующих) полезных ископаемых обозначать тоже с отражением в условных знаках перечисленных выше данных (размер, генетический тип, степень изученности и т. д.).

В таком выражении геолого-структурная карта со специальной металлогенической нагрузкой и будет служить наиболее подходящей основой для обзорных карт любого района. Главным же содержанием таких карт, как мы уже отмечали, являются обобщенные и систематизированные шлиховые данные, методика обработки и изображения которых имеют свои особенности.

#### Методика обработки и нанесения шлиховых данных на обзорную карту

Рассмотрим этот вопрос на конкретном примере составления обзорной шлиховой карты титановых минералов.

Известно, что насчитывается более 70 минералов, содержащих титан, большая часть из которых может быть встречена в шлихах. Однако известно и другое: то, что многие минералы титана являются очень редкими, а промышленное значение пока практически могут иметь только пять — рутил, ильменит, титаномагнетит, перовскит и сфен.

Эти пять минералов относятся к числу широко распространенных в природе, поэтому они очень часто встречаются в шлихах.

При массовых определениях полезных компонентов в шлихах, например, при поисках на золото, шеелит, кассiterит и т. д., минералы титана обычно не отмечались, и такие пробы, составляющие в рудных районах обычно очень большой процент от общего числа поисковых проб, не могут быть использованы при составлении шлиховых карт по титану. Существовавшее представление о титановых минералах, как о бесполезных, не имеющих практической ценности, привело к тому, что при поэтическом минералогическом изучении шлихов эти минералы отмечались только качественно без указания на их количество. Все это весьма осложняет работу по составлению шлиховых карт титаноносности и иногда требует проведения специальных ревизионных работ, связанных с повторным просмотром архива шлихов или даже с полевыми исследованиями.

Тем не менее в первичных материалах всегда имеются довольно многочисленные сведения о распространении перечисленных пяти главных минералов титана, и это делает возможным составление обзорных шлиховых карт титаноносности.

Учитывая общность условий концентрации многих минералов в коренных месторождениях, на обзорные шлиховые карты необходимо нанести и данные нахождения в шлихах сопутствующих минералов, даже в тех случаях, когда они отмечаются единичными зернами; таким спутником титановых минералов является, например, корунд.

Равным образом, учитывая общность условий накопления россыпных концентраций титановых минералов и циркона, а также совместное присутствие их в некоторых коренных месторождениях (акессории

интрузивов), целесообразно отражать на карте и этот минерал (циркон). Последнее особенно важно в том отношении, что для циркона россыпные накопления являются почти единственными, практически цennыми концентрациями.

Практически всю работу по составлению обзорных шлиховых карт рекомендуется проводить в такой последовательности: 1) ревизия шлиховых карт и отчетов; 2) ревизия шлиховых журналов в архивах минералогических лабораторий; 3) составление картотеки учтенных данных; 4) систематизация, переоценка и обобщение шлиховых данных на крупномасштабной основе; 5) перенесение выделенных ореолов распространения минералов на обзорную шлиховую карту; 6) лабораторный ревизионный просмотр некоторых шлихов из районов с сомнительными данными; 7) полевое ревизионное опробование, если в этом возникает необходимость.

Остановлюсь несколько подробнее на принципах оконтуривания ореолов распространения минералов и на способах нанесения их на обзорную шлиховую карту.

Ранее мы уже отмечали, что на обзорной шлиховой карте невозмож но, да и нецелесообразно наносить отдельные поисковые пробы с содержанием того или иного минерала. Поэтому принцип составления обзорных шлиховых карт основан на изображении предварительно обобщенных и соответствующим образом оцененных семейств проб, объединяемых в один условный знак — контур рассеивания искомых минералов. Такие контуры должны предварительно очерчиваться на крупномасштабных шлиховых картах с учетом рельефа и геоморфологии и других данных. При оконтуривании ореолов рассеивания совершенно необходимо в такие площади включать не только участки долин, но и водораздельные пространства, если искомый минерал содержится в пробах из аллювия рек, омывающих горную гряду с двух или нескольких сторон. Совершенно недопустимо механическое объединение шлиховых проб, взятых по протяженности одной реки, в один чрезмерно удлиненный контур.

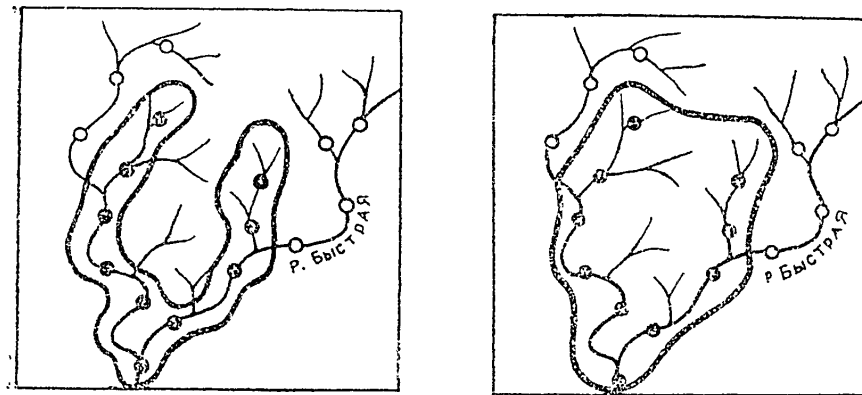


Рис. 3. Учет области сноса при оконтуривании шлиховых ореолов. Левый рисунок — неправильное оконтуривание, правый — правильное, черные кружочки — пробы с весовым содержанием рудного минерала.

При выделении ореолов рассеивания необходимо учитывать геологическое строение районов и, в частности, распространение образований, содержащих искомые минералы, а также пути возможного переноса этих минералов от коренного источника, т. е. элементы геоморфологии (рис. 4, 5).

## Обзорные шлиховые карты

75

После того как такие ореолы будут выделены на первичных (детальных) шлиховых картах, они в соответствующем масштабе переносятся на обзорную шлиховую карту. Для этого приходится пользоваться несколько иными, чем для первичных шлиховых карт, условными обозначениями.

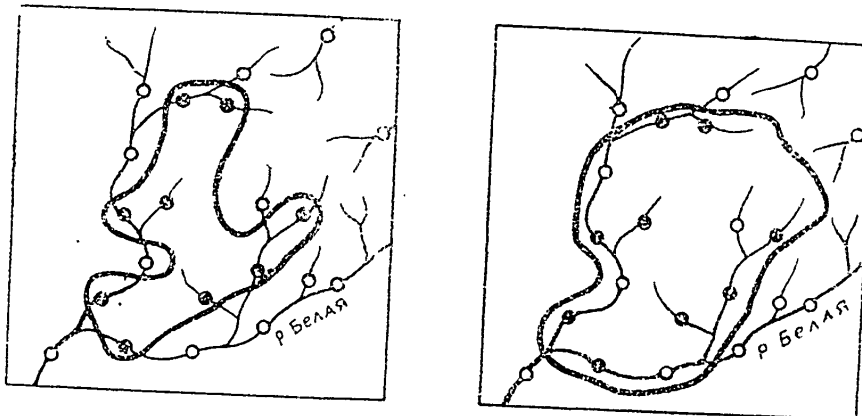


Рис. 4 Влияние учета отдельных пустых проб на форму шлихового ореола. Левый рисунок — неправильное оконтурирование, правый — правильное.

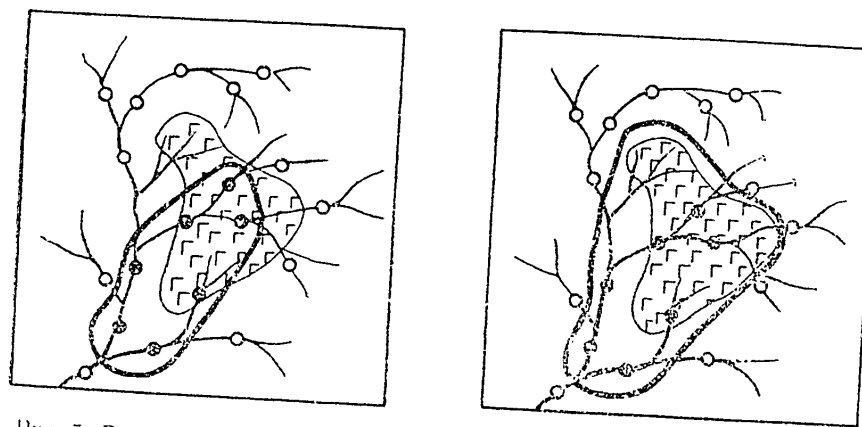


Рис. 5 Влияние геологических факторов при определении контура шлиховых ореолов. Левый рисунок — неправильное оконтурирование, правый — правильный, черные кружочки — пробы с весовым содержанием рудных минералов, заштрихованный контур — массив рудоносной интрузии.

Условные знаки для ореолов рассеивания минералов должны наглядно отражать следующие данные.

1. Вид полезного ископаемого; в данном случае — различные минералы титана и сопутствующие им. Отдельные условные знаки должны быть предусмотрены для каждого минерала; например, нельзя вольфрамит и илменит показывать одним и тем же знаком.

Условные обозначения для шлиховых минералов, по возможности, должны быть такими же, как и для их коренных рудопроявлений, т. е. если оловянное месторождение обозначено квадратом, то и шлихи с касперитом следует обозначать тоже квадратом. Это упрощает легенду и облегчает пользование картой.

2. Количественные показания о содержании искомых минералов в шлихах. Здесь приходится принимать во внимание, что иногда искомые

минералы могут учитываться при минералогическом изучении шлихов в условных измерениях: «единичные знаки», «значительно», «много», «основная масса шлиха». Обычно же пользуются весовыми определениями количества шлиховых минералов в пересчете содержаний в граммах на кубический метр породы.

Поэтому для ореолов рассеивания с различным содержанием искомых минералов целесообразно установить несколько градаций. Например: ореолы распространения проб, в шлихах которых много титановых минералов, или ореолы распространения проб, в шлихах которых титановые минералы преобладают, и т. д.

Понятно, что поисковые пробы с единичными зернами рутила, ильменита и других титановых минералов, являющихся петрогенными минералами, на обзорные шлиховые карты наносить не следует. Для других минералов (золото, кассiterит, вольфрамит и т. д.) имеют большое значение и такие пробы, поэтому для них выбираются другие условные обозначения. Так как в первичных материалах встречаются различные способы выражения количественного содержания полезных компонентов шлиха (весовые, условные, в процентах и т. п.), следует иметь в виду, что условные и весовые обозначения количественного содержания минералов не представляются тождественными. Например, проба, в которой кассiterит или другой минерал составляет основную массу шлиха, может не соответствовать высокому весовому содержанию этого минерала в песках, но все же такой шлих и в первом (условном) и во втором весовом выражении имеет приблизительно одинаковое поисковое значение.

При трехчленной градации содержаний могут быть приняты три размера условных обозначений для ореолов распространения минералов:

1. Крупный значок и толстая линия контура — для высоких содержаний.

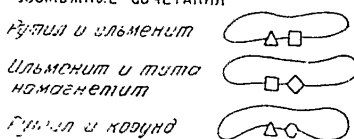
2. Средней величины значок и среднейтолщины линия контура — для средних содержаний.

3. Маленький значок и тонкая линия контура — для низких содержаний.

Контуры рассеивания минералов обычно бывают замкнутыми, а условный знак минерала ставится в одном из, если контур имеет слож-

| МИНЕРАЛЫ                 | Ореолы шлиховых проб              |                             | Отдельные шлиховые пробы          |                             |
|--------------------------|-----------------------------------|-----------------------------|-----------------------------------|-----------------------------|
|                          | с verymo высо-<br>ким содержанием | с повышенным<br>содержанием | с verymo высо-<br>ким содержанием | с повышенным<br>содержанием |
| Рутил, брукит,<br>анатаз | ▲                                 | △                           | ▲                                 | △                           |
| Ильменит                 | ■                                 | □                           | ■                                 | □                           |
| Титаномагне-<br>тист     | ◆                                 | ◇                           | ◆                                 | ◇                           |
| Сфен                     | ◆                                 | ◇                           | ◆                                 | ◇                           |

#### Возможные сочетания



#### Примечание

В случае различного количественного  
состава различных минералов они поза-  
зываются различными знаками на  
толстой линии контура



Рис. 6 Условные обозначения для данных шлихового опробования

ную конфигурацию, то в нескольких местах на линии контура. Сочетание нескольких условных значков различных минералов, помещенных на одной линии контура, может обозначать, что в данном контуре распространены все обозначенные на контурной линии минералы (рис. 6).

В отдельных случаях на обзорную шлиховую карту следует наносить и разрозненные единичные шлиховые пробы с искомыми минералами. Например, для районов, не освещенных шлиховым опробованием, где были взяты лишь единичные случайные пробы. В таких случаях условный знак минерала отличается от рудопроявлений либо отсутствием порядкового номера (все рудопроявления нумеруются и их кадастр прикладывается к карте), либо дополнительной буквой «Ш» (шлих) или «П» (проба).

Составленная таким способом шлиховая карта уже в достаточной мере удобна для прогнозов. Для того чтобы еще более подчинить ее содержание поставленным целям, на нее дополнительно наносятся все поисковые данные металлометрии, магнитометрии, аэромагнитометрии и других работ (валунно-ледниковый, обломочно-речной метод).

### Дополнительная поисковая нагрузка

В дополнительную поисковую нагрузку, как уже отмечалось, входят данные а) по площадной металлометрии, б) по поисковой магнитометрии, в) по аэромагнитометрии, г) по другим результатам поисков (валунно-ледниковый, обломочно-речной и другие методы).

В соответствии со спецификой каждого из перечисленных видов поисковых работ на обзорную шлиховую карту наносятся ореолы рассеяния металла (титан, олово, вольфрам и т. д.); магнитные и аэромагнитные аномалии; места нахождения валунов с вкраплениями рудных минералов и т. д.

Ореолы рассеяния металлов по данным металлометрии и магнитные аномалии наносятся на карту условным знаком замкнутого контура. Толщина линии контура и размер дополнительного знака (в первом случае — химический символ элемента, а во втором, повидимому, буква «М»—для магнитной съемки и буквы «АМ»—для аэромагнитной) должны соответствовать двум градациям: толстые линии контуров и крупные буквы — для повышенных содержаний и для интенсивных аномалий, тонкие линии и небольшие буквы — для малых содержаний и для слабых аномалий. В некоторых случаях, в зависимости от наличия фактических данных, может быть принята тройная или более дробная градация (рис. 7).

Места нахождения валунов с вкрапленностью рудных минералов или обломки титаносодержащих руд могут быть обозначены на карте либо отдельными значками (для единичных случаев), либо замкнутыми контурами (для площадей с большим распространением валунов или рудной гальки).

Пожалуй, не следует больше задерживаться на частных особенностях отображения на карте тех или иных поисковых критериев. Они в достаточной степени разнообразны и в зависимости от конкретных геоло-

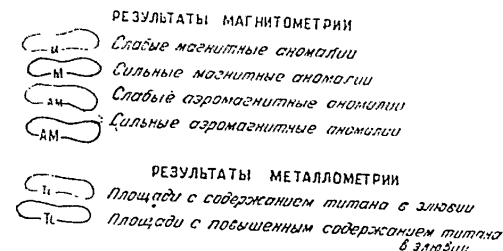
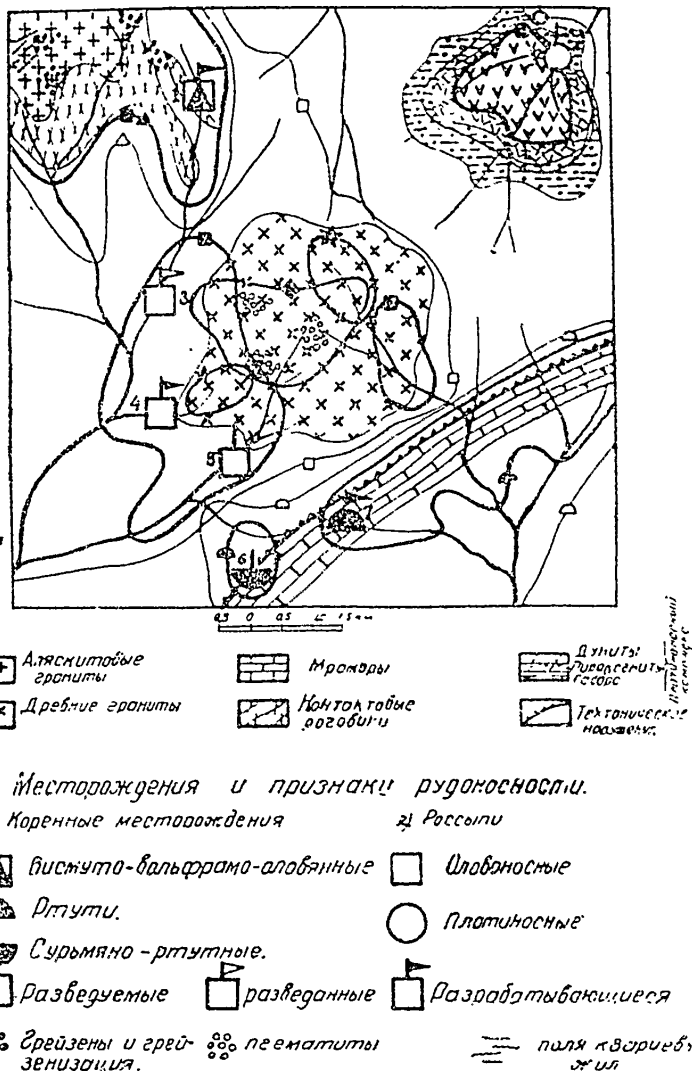


Рис. 7. Условные обозначения геофизических поисковых данных

**Данные шлихового опробования**

| Ореолы шлиховых проб  |                      | Наименование рудных компонентов |
|-----------------------|----------------------|---------------------------------|
| с весовым содержанием | с единичными знаками |                                 |
|                       |                      | касситерит                      |
|                       |                      | бокситомит                      |
|                       |                      | кинодар                         |
|                       |                      | плагит                          |
|                       |                      | холумбит                        |
|                       |                      | сподумен                        |

Рис. 8. Пример подготовки первичных данных, отраженных на детальной шлиховой карте (см. рис. 1) для перенесения их на эрозионную шлиховую карту.

гических особенностей района могут иметь различное значение. Поэтому для одних районов тот или иной поисковый признак является главным (ведущим) и его необходимо рельефно показать на карте, для других районов тот же признак имеет второстепенное поисковое значение и он соответственно должен быть также показан на карте.

Наконец, необходимо учитывать и творческую активность составителей карт, которые, несомненно, могут и должны внести в работу по составлению обзорных шлиховых карт элементы новаторства и творческих исканий (рис. 8).

Обзорная шлиховая карта в том выражении, в котором мы ее себе представляем, должна явиться и поисково-прогнозной картой. Следовательно, на ней должны быть выделены и соответствующими знаками показаны перспективные площади.

### Выделение перспективных площадей

Перспективные площади выделяются на обзорной шлиховой карте на основе анализа конкретных фактических данных, отраженных в виде специальной металлогенической и конкретной поисковой нагрузки. Кроме того, обязательно учитываются и общегеологические данные, благоприятные для тех или иных рудообразований.

В соответствии с приведенными выше данными на карте оконтуриваются перспективные площади. Желательно разграничивать такие площади по степени их благонадежности (перспективные площади первой, второй и третьей очереди).

При отнесении перспективных площадей к той или иной категории благонадежности, кроме прямых поисковых и общегеологических данных, учитывается и степень их геологической, а также поисковой изученности; кроме того, учитываются и экономические факторы.

Выделенные перспективные площади обозначаются различной штриховкой на самой карте (если позволяет ее нагрузка) или на отдельной вспомогательной карте, которая может накладываться на листы обзорной шлиховой карты.

Контуры перспективных площадей нумеруются или им дается название; они подробно описываются в объяснительной записке.

В отдельных случаях целесообразно на перспективных площадях обозначать и тип месторождений, которые здесь могут быть встречены. В объяснительной записке эти данные совершенно необходимы, так как они дадут возможность более эффективно проводить поиски.

Выделение перспективных площадей по сути дела относится уже к завершающей части работ. В нашу задачу освещение методики этих работ не входит, поэтому ограничимся беглыми замечаниями.

### Картограмма гидрогеологического районирования

Мы уже упоминали, что в комплекс обзорных шлиховых карт, составленных в Институте геологических наук АН КазССР, входит и картограмма гидрогеологического районирования. Такая карта, само собой разумеется, не обязательна и для некоторых районов даже не нужна, но для районов, бедных водными ресурсами, она совершенно необходима, так как зачастую вода здесь лимитирует возможность развития промышленности. Учет водообеспеченности того или иного района будет иметь важное значение при отнесении перспективных площадей к первой, второй или третьей очереди.

### Объяснительные записки к обзорным шлиховым картам

Ввиду того, что обзорная шлиховая карта отражает не первичные, а уже обобщенные геологические и поисковые данные, она должна быть сопровождена достаточно подробной объяснительной запиской. Такая записка, по нашему мнению, должна содержать следующие сведения:

1. Организационные вопросы, связанные с работой по составлению карты.
2. Характеристику первичных данных, использованных при составлении карты.
3. Общие географо-экономические сведения о территории, для которой составляется карта.
4. Краткое геологическое описание региона.
5. Описание уже известных месторождений и рудопроявлений.
6. Обоснование выделения генетических типов и классификации месторождений.
7. Описание выделяемых специальных геолого-металлогенических поисковых критериев.
8. Характеристику шлиховой, геологической и поисковой изученности района.
9. Обоснование выделяемых перспективных площадей.
10. Направление дальнейших поисковых и разведочных работ.
11. Оценку полученных результатов и района в целом.
12. Программу работ по дальнейшему изучению района.

Пояснительный текст должен сопровождаться полным кадастром учтенных месторождений и рудопроявлений и списком использованной литературы, архивных материалов, отчетов и т. д.

Для отдельных, хорошо изученных районов, кроме того, может быть рекомендовано составление более детальных карт-врезок (вставок).

### Заключение

Изложенные принципы составления и основное содержание обзорных шлиховых карт, конечно, не претендуют на универсальность. Здесь обобщен только первый опыт работы по составлению таких карт и вполне естественно, что он может и должен быть всесторонне изучен. Широкий обмен мнениями по методике составления обзорных шлиховых карт, несомненно, будет способствовать совершенствованию наших знаний в этой области. При этом необходимо учитывать, что такие карты, как это показал опыт, имеют важное значение для прогнозов и для эффективного направления поисковых работ, поэтому они в ближайшее время должны получить весьма широкое распространение.

### ЛИТЕРАТУРА

1. Билибин Ю. А. Основы геологии россыпей. ГОНТИ, 1938.
2. Жилинский Г. Б. Об условиях концентрации тяжелых минералов в аллювиальных и об эффективности поисковых работ шлиховым методом. Вестник АН КазССР № 3, 1954.
3. Жилинский Г. Б. Особенности кассiterита в шлихах и возможности шлихового метода поисков. Вестник АН КазССР № 8, 1954.
4. Жилинский Г. Б. Поиски россыпных месторождений титана. Изд. АН КазССР, 1954.
5. Зеeman Т. В. и Лурье М. Л. Инструкция по составлению шлиховых карт. 1938.

## Обзорные шлиховые карты

81

6. Ициксон М. И. Шлиховое опробование при геологической съемке и обзорных поисках. Госгеолиздат, 1953.

7. Сатпаев К. И. О прогнозных металлогенических картах Центрального Казахстана. Известия АН СССР, серия геологическая, № 6, 1953.

## РЕЗЮМЕ

Макалада осы күндері кездесетін әртүрлі шлиховой карталарына қыскаша шолу берілген. Автор бірінші рет ұсынып отырган шолу шлиховой картасын қалай жасау әдісін сыйнаптаумен қабат оның кең іздеу жүмысына жетекші болжал болатындығын көрсетеді.

## ИЗВЕСТИЯ

АКАДЕМИИ НАУК КАЗАХСКОЙ ССР

1956

Серия геологическая

Вып. 22

E. D. ШЛЫГИН и M. N. КОРОЛЕВА

ТИПЫ СТРАТИГРАФИЧЕСКИХ РАЗРЕЗОВ  
И ПАЛЕОГЕОГРАФИЯ ОРДОВИКА ПРИСТЕПНЯКОВСКОГО  
РАЙОНА СЕВЕРНОГО КАЗАХСТАНА

За последнее время геологическое изучение Центрального Казахстана переходит в новую фазу. путем геологической съемки получен обширнейший материал, позволяющий довольно детально расчленить стратиграфический разрез Казахстана.

На основе этих данных построена схема тектонического строения, синтезированная в «Структурно-тектонической карте Казахстана» Г. Ц. Медоева. Этот синтез подытоживает определенный этап исследований этой обширной территории.

Теперь наступает новый этап, когда перед геологами стоит задача выяснения детального геологического строения с выявлением фаунистических особенностей в пределах отдельных наметившихся геологических регионов. Такая работа проделана, в частности, Р. А. Борукаевым и его сотрудниками для Башкетильского района.

В этом отношении интересной представляется история так называемой «Кокчетавской глыбы», которая является одной из своеобразных структур с явной тенденцией к поднятию в течение палеозоя. В пределах этой структуры широко представлены докембрийские образования, легко выделяемые по интенсивному метаморфизму пород. Это «древнее темя» Центрального Казахстана окаймляется полосой слабо метаморфизованных пород, мало отличающихся по степени метаморфизма от фаунистически охарактеризованных отложений ордовика.

Их стратиграфическое положение остается неясным и колеблется в пределах значительного стратиграфического интервала — протерозой — нижний силур. Попытки нахождения в нем фауны оказались пока безрезультатными, за исключением одного пункта (северная часть плато  $N = 42 - 105$ ), где в подобных породах найдена крупная гастронода, сходная с *Murchisonia* sp.

Достоверно фаунистически охарактеризованными являются лишь ландейльские отложения  $O_2^l$ , среди которых были обнаружены остатки граптолитов и трилобитов. За последнее время число этих находок значительно возросло, однако эти фации и горизонты изучены совершенно недостаточно. Поэтому для этого комплекса пород еще невозможно выявить особенности распределения фаций.

Восточнее в 2 км озера Аицколь наблюдаются следующие разрезы ландейльских отложений (снизу вверх)

## Типы стратиграфических разрезов

83

Выш. 22

## Разрез № 1

|                                                                                                                                               |           |
|-----------------------------------------------------------------------------------------------------------------------------------------------|-----------|
| 1. Пересланчание алевролитов, туфопесчаников, местами мелко- и среднегалечных конгломератов с маломощными прослоями буровато-серых порфиритов | 250 м     |
| 2. Пизолитовый туф серовато-бурый                                                                                                             | 40 м      |
| 3. Туфопесчаник зеленовато-серый, мелкозернистый.                                                                                             | 20 м      |
| 4. Прослой плотного серовато-зеленого порфирита.                                                                                              | 20 м      |
| 5. Темные, местами рассланцованные известняки с фауной лландейло.                                                                             | 10 — 40 м |
| 6. Плотные мелкозернистые туфопесчаники                                                                                                       | 20 м      |
| Несогласие (?)                                                                                                                                |           |
| 7. Основные порфириты $O_3^{sn}$ .                                                                                                            | 250 м     |

## Разрез № 2

Севернее в 3 — 4 км наблюдается примерно такой же разрез отложений (снизу вверх):

|                                                                  |           |
|------------------------------------------------------------------|-----------|
| 1. Зелёновато-серые, мелкозернистые, полимиктовые туфопесчаники. | 20 м      |
| 2. Мелкогалечниковый конгломерат.                                | 25 м      |
| 3. Рассланцованый серый известняк                                | 12 м      |
| 4. Мелко- и среднезернистый песчаник с фауной                    | 70 — 80 м |
| 5. Темный, плотный, местами песчанистый известняк с фауной       | 50 м      |
| 6. Мелко- и среднезернистый туфопесчаник                         | 75 м      |
| Несогласие (?)                                                   |           |
| 7. Основные порфириты                                            | 250 м     |

Все эти осадки указывают на близость береговой линии, а большая мощность пород говорит об усиленном привносе материала и устойчивом прогибании дна моря.

В верхах лландейло появляются более тонкозернистые осадки: алевролиты и тонкозернистые песчаники, иногда с грантолитами, линзы известняков с фауной.

В известиях разреза № 1 содержится следующая фауна триLOBитов. *Lonchodus cf. rostratus* (Sars), *L. latus* sp. nov., *L. karakanensis* Weib., *Asaphus knyrkoi* Schim., *As. plautini* Schim. и др. Первый указанный вид характерен для ландейльских отложений Европы, третий — известен из караканского горизонта (ландейло) Южного Казахстана, а четвертый — для ландейло Прибалтики.

В юго-западной части листа N — 42 — Г, по рекам Арчалы и Конур, в подобных породах найдены грантолиты (сборы А. А. Богданова и И. Ф. Трусовой), которые по определению В. Н. Павлинова содержат следующие формы: *Dicranograptus nicholsoni* Норк., *Clytiograptus teretiusculus* Pavl., *Orthograptus whitfieldi* (Hall), *Or. var. apiculatus* E. et W., *Climacograptus antiquus* Larw. и др.

По его заключению, общий характер перечисленной фауны, а в особенности присутствие таких форм, как *Dicranograptus nicholsoni* Норк., указывает на принадлежность глини алевролитов, песчаников и сланцев к верхам ландейльского яруса. Разрез отложений указывает на широкое развитие морских условий. Повсюду ландейльские отложения представлены терригенными образованиями: конгломератами, конгломерат-песчаниками, песчаниками, сланцами и флишеподобными образованиями.

Такой состав осадков этого яруса объясняется начальными стадиями обширной трансгрессии.

Развитие среди отложений ландейло кремнисто-глинистых фаций можно объяснить следующим образом: основным источником кремнезема являются процессы химического выветривания. Второй источник происхождения кремнекислоты — вулканические процессы, которые хотя и в небольшом количестве, но наблюдаются среди терригенных пород ландейло на юго-востоке, но почти отсутствуют на юго-западе.

Таким образом, особенности фаун лландейло подчеркивают равнинность участков суши, так как только в этих условиях могли идти интенсивные процессы химического выветривания.

Несколько более изученными являются отложения карадокского яруса, содержащие в своем составе широко распространенные иеритовые фауны с многочисленной и разнообразной фауной.

Другим благоприятным обстоятельством является то, что в зоне развития этих отложений в Степняковском районе обнаженность пород является более удовлетворительной, чем в западных, прилегающих к г. Кокчеставу участках.

Карадокские отложения подразделяются нами на три горизонта: 1) жулубайский —  $O_1^{e^n}$ , 2) нижнемайлисорский —  $O_2^{e^n}$ , 3) верхнемайлисорский —  $O_3^{e^n}$ .

Нижний — жулубайский горизонт (?) —  $O_1^{e^n}$  представлен в основном терригеническими породами и поэтому трудно отличим от таких же пород лландейльского яруса, особенно в тех местах, где фауна не обнаружена, а стратиграфическое взаимоотношение с подстилающими и покрывающими породами не ясно. Возможно, что это верхи лландейло.

Песчаники, алевролиты, кремнистые сланцы с маломощными прослойками основных порфиритов и их туфов занимают довольно обширные площади севернее озера Тасшалкар, юго-западнее озера Майлисор, в районе пикета Жулубай и в ряде других пунктов, где они залегают на нижнепалеозойских иерасчененных породах или на докембрии.

Ввиду плохой обнаженности этих пород трудно составить полный разрез горизонта, но отдельные частичные разрезы со сборами фауны наблюдаются у пикета Жулубай, где снизу вверх (?) залегают:

### Разрез № 3

|   |                                                                                                  |       |
|---|--------------------------------------------------------------------------------------------------|-------|
| 1 | Среднезернистые светлосерые туфопесчаники с прослойками более тонкозернистых разностей . . . . . | 50 м  |
| 2 | Среднезернистые зеленовато-серые плотные туфопесчаники, внизу более крупнозернистые . . . . .    | 40 м  |
| 3 | Мелкозернистые светлосерые очень плотные песчаники с граптолитами . . . . .                      | 25 м  |
| 4 | Крупнозернистые плотные туфопесчаники . . . . .                                                  | 20 м  |
| 5 | Основные порфиры с прослойками туфоагломератов более . . . . .                                   | 300 м |

Граптолиты, по определению Б. М. Келлера, содержат *Pseudoclimatecograptus scharenbergi* (Lapw.), которые распространены в верхах лландейло и в низах карадока (зона *Climacograptus wilsoni* Англии). Подобные граптолиты, по данным Б. М. Келлера, встречены среди отложений андеркенского горизонта в зеленоватых тонкозернистых алевролитах и плитчатых аргиллитах Южного Казахстана. Вместе с граптолитами встречены трилобиты и брахиоподы, характеризующие нижнюю часть карадокского яруса.

Породы этого горизонта обнажаются севернее озера Тасшалкар, где они представлены песчаниками, алевролитами, кремнистыми сланцами с маломощными прослойками основных порфиритов и их туфов, но фауна в этих породах пока не обнаружена.

Не исключена возможность, что данные породы могут иметь и более древний возраст.

Нижнемайлисорский горизонт —  $O_2^{e^n}$  представлен в основном пироксен-плагиоклавовыми и роговообманковыми порфиритами, туфоагломератами и частично туфопесчаниками. Эти породы чаще всего занимают доминирующее положение в смысле наибольшего площадного рас-

## Типы стратиграфических разрезов

85

пространения. Они слагают многие возвышенные участки района. В основном эфузивная деятельность проявлялась к востоку и юго-востоку от Кокчетавского поднятия.

Эфузивы под микроскопом имеют порфировую или варнолитовую структуру с фенокристами плагиоклаза и авгита, часто зонального или образующего двойники в форме песочных часов. Иногда авгит замещен уралитовой роговой обманкой, а плагиоклаз сильно соссюритизирован. Основная масса обычно гиалопилитовая со стеклом, замещенным хлоритом. Миндалины чаще заполнены хлорито-серпентином, реже халицедоном и эпидотом.

Кислые породы представлены фельзитовыми и кварцевыми порфирами с фенокристами в последних кислого плагиоклаза, калишпата, корродированного кварца и биотита или роговой обманки. Фенокристы цветного минерала почти всегда замещены гомоосевой псевдоморфозой хлорита с редкими реликтами первичных минералов. Основная масса афаницовая или фельзитовая.

Порфировые туфы представлены преимущественно кристаллическими разностями. Они состоят из обломков отдельных минералов, сцепментированных мелким хлорито-пелитовым материалом, среди которых можно различить мельчайшие зерна кварца и полевого шпата. Цветной минерал всегда замещен хлоритом.

Агломеративные туфы встречаются редко и состоят из обломков фельзит-порфиров, трахитовых порфиров, кварцевых порфиров, кварцитов, сцепментированных тонкозернистой кварцево-полевошпато-хлоритовой массой.

Юго-западнее озера Майлисор, западнее оз. Коксор, восточнее горы Маятас и во многих других пунктах среди вышеуказанных порфиритов встречаются прослои мелко- и среднезернистых туфопесчаников с редкой фауной брахиопод *Orthis* sp. и более тонкозернистые разности с грантолитами *Orthograptus cf. pageanus* (Lapw.), *Orthograptus* sp. По определению Б. М. Келлера, типичный *Orthograptus pageanus* в Англии характеризует карадокский ярус (зону *Dicranograptus clingani*). Выше залегают большой мощности пироксен-плагиоклазовые порфириты с прослоями туфоагломератов, с линзами известняков, с фауной: *Trinodus glabratus* var. *kirgizica* We b., *Iliaenus longus* sp. nov., *Iliaenus cf. linnarssoni* Holm., *Iliaenus* sp., *Onchonotus korejscho* sp. nov., *Metopolichas anderkensis* We b., *Sphaerexochus conusoides* sp. nov. и др.

Комплекс фауны, в основном, состоит из новых видов, тяготеющих к лландейло, но наряду с ними встречены *Metopolichas anderkensis* We b., *Iliaenus cf. linnarssoni* Holm., *Sphaerexochus conusoides* sp. nov., которые встречены ранее в карадокском ярусе Южного и Центрального Казахстана.

Стратиграфическое положение этого горизонта определяется: выше-лежащим верхнемайлисорским известняково-песчаниковым горизонтом, включающим богатую и разнообразную фауну, типичную для карадокского яруса (андеркенский горизонт карадока Казахстана, выделенный ранее В. Н. Вебером) и нижележащим горизонтом алевролитов с граптолитами, определенных Б. М. Келлером как *Pseudoclimacograptus scharenbergi* (Lapw.) (зона *Climacograptus wilsoni*; жулубайский горизонт).

Приведем несколько послойных разрезов. Юго-западнее озера Майлисор обнажаются породы, представленные:

50 м

40 м

25 м

20 м

300 м

eudocti-

верхах

Иглии).

и отло-

евроли-

олитами

часть

кар, где

танцами

о фауна

и более

сновном

туфоаг-

го заци-

ого рас-

|                                                                                                                                                   |           |
|---------------------------------------------------------------------------------------------------------------------------------------------------|-----------|
| 1. Чередованием среднезернистых и мелкозернистых туфопесчаников и частично алевролитов, содержащих редкую фауну брахиопод и граптолитов . . . . . | 100 м     |
| 2. Бrekчированным туфоконгломератом . . . . .                                                                                                     | 30 м      |
| 3. Пироксен-плагиоклазовым порфирилом, очень плотным темносерым, слегка зеленоватым . . . . .                                                     | 300–400 м |

Среди туфопесчаников найдена фауна брахиопод *Orthis* sp. и граптолитов *Orthograptus cf. pageanus* (Lapw.) — зона *Dicranograptus cliniganii* Англии — карадокский ярус.

#### Разрез № 4

Севернее озера Сасыкколь обнажаются:

|                                                                                           |         |
|-------------------------------------------------------------------------------------------|---------|
| 1. Темнозеленые, иногда миндалекаменные порфиры . . . . .                                 |         |
| 2. Плотные зеленовато-серые, среднезернистые туфопесчаники с линзами известняка . . . . . | 50–60 м |

Выше залегают породы верхнемайлисорского горизонта.

|                                                                                        |         |
|----------------------------------------------------------------------------------------|---------|
| 3. Плотные, зеленовато-серые полимиктовые средне- и мелкозернистые песчаники . . . . . | 30–40 м |
| 4. Среднезернистые и крупнозернистые кварцевые песчаники . . . . .                     | 4 м     |
| 5. Темносерый, плотный известняк . . . . .                                             | 20 м    |

Выше залегают трансгрессивно и несогласно эфузивы силура (?) и красноцветные песчаники девона.

Западнее этого разреза к северу от степняковской синклиналии развиты в основном терригенные породы с небольшими прослоями основных эфузивов, которые к северу увеличиваются в мощности. Присутствуют также небольшой мощности известняки с фауной.

#### Разрез № 5 (снизу вверх)

|                                                                                                                                                                                                                        |           |
|------------------------------------------------------------------------------------------------------------------------------------------------------------------------------------------------------------------------|-----------|
| 1. Переслаивание песчаников и сланцев с порфиритами . . . . .                                                                                                                                                          | 500–700 м |
| 2. Темносерые, неслонестые, плотные известняки без фауны . . . . .                                                                                                                                                     | 50 м      |
| 3. Темновато-серые, плотные известняки с мелкой фауной . . . . .                                                                                                                                                       | 25 м      |
| 4. Плотные, серые известняки, местами с зеленоватым или желтовато-бурым оттенком. Наблюдаются небольшие линзы криноидного известняка, комковатого, с крупной фауной гастropод, брахиопод и редких трилобитов . . . . . | 20 м      |

К северо-востоку и юго-востоку от Степняка увеличиваются в мощности туфоагломераты, иногда переходящие в туфобрекции. Например, по реке Карават и южнее наблюдается следующая стратиграфическая последовательность отложений нижнемайлисорского горизонта.

#### Разрез № 6

Несогласно на докембрийских породах залегают:

|                                                                                               |           |
|-----------------------------------------------------------------------------------------------|-----------|
| 1. Мощная толща туфоагломератов, которая включает местами линзы известняков до 40 м . . . . . | 500 м     |
| 2. Туфопесчаники мелко- и среднезернистые . . . . .                                           | 150–200 м |

На этих породах несогласно и трансгрессивно залегают эфузивы девона (?).

Юго-восточнее разреза № 6 также наблюдаются довольно мощные отложения пород нижнемайлисорского горизонта.

## Типы стратиграфических разрезов

87

Северо-западнее колхоза им. Кагановича вблизи сопки Косат наблюдается следующая последовательность:

## Разрез № 7

|                                          |       |
|------------------------------------------|-------|
| 1. Темные, плотные роговники             | 50 м  |
| 2. Основные порфириты                    | 200 м |
| 3. Туфобрекчия                           | 100 м |
| 4. Катаклазированный измененный порфирит | 70 м  |
| 5. Ороговикованная порода<br>Несогласие. | 30 м  |
| 6. Кислые эфузивы девона (?)             |       |

К югу от этого плашета, восточнее озера Коксентирсэр, ордовикские отложения представлены также в основном терригеническими породами и мощными покровами порфиритов и туфобрекчиями (нижнемайлисорский горизонт).

## Разрез № 8 (снизу вверх)

|                                                            |             |
|------------------------------------------------------------|-------------|
| 1. Темные плотные роговники                                | 50 м        |
| 2. Пересланье песчаников с алевролитами                    | 200 — 300 м |
| 3. Темная, зеленоватая туфобрекчия<br>Несогласие, перерыв. | 400 — 500 м |
| 4. Светлосерые, окремненные известняки карбона.            |             |

Подобные породы наблюдаются и к юго-востоку от озера Коксентирсэр.

## Разрез № 9

|                                                               |             |
|---------------------------------------------------------------|-------------|
| 1. Светлосерые, желтоватые алевролиты и яймовидные породы     | 300 м       |
| 2. Туфоконгломераты и зеленовато-серые, плотные туфонесчаники | 500 — 600 м |
| 3. Известняки карбона.                                        |             |

Нижнемайлисорский горизонт в работах предшественников Р. Э. Квятковского (1941), А. И. Шувальского (1948) и многих других объединял в себе нижне- и верхнемайлисорские горизонты и фигурировал как «порфиритовая» свита с линзами известняков.

Р. Э. Квятковский относил эту «свиту» к верхнему карадоку, называя ее «лептеношовыми слоями», а А. И. Шувальский и все последующие геологи, работавшие с ним и после него, помещали это свиту между ордовиком и силуром, считая ее переходной.

Изучение фауны трилобитов, брахиопод, табулят, гастрапод, ортоцефалитов показало, что эти породы относятся к карадокскому ярусу и никакого смешения фауны не содержит.

Кроме того, резкое трансгрессивное и несогласное налегание силура на карадокские породы исключает возможность наличия переходных слоев, которые могут быть выделены только при наличии постепенного перехода от ордоваика к силуру.

Верхнемайлисорский горизонт —  $O^{\text{ч}}$  — залегает, повидимому, согласно на нижележащих породах и представлен темными известняками, которые стратиграфически выше постепенно переходят в темные сланцы, а затем в песчаники разной крупности зерна, иногда включающие линзы известняка с фауной.

Наиболее полно эти породы обнажаются на плашетах № 42—107 и № 42—120.

100 м  
30 м

300—400 м

и гранто-  
*aptus clin-*

50—60 м

30—40 м  
4 м  
20 млура (?) и  
ниали раз-  
ями основ-  
и. Присут-  
ствует500—700 м  
50 м  
25 м

20 м

ются в моц-  
и. Например,  
графическая  
га.500 м  
150—200 мэфузивы  
но мощные

У юго-восточного берега озера Майлисор на пироксен-плагиоклазовых порфириях залегают:

### Разрез № 10

1. Темные, плотные известняки, примерная мощность которых . . . . . 150 м
2. Выше они постепенно сменяются буровато-серыми известняками с редкой фауной *Endoceras* cf. *megastoma* Eichw., *Geisonoceras* sp., *Nomotelus calvus* sp. nov. мощностью . . . . . 8—10 м
3. Еще выше известняки становятся более светлыми, розоватыми, мощностью 20 м, включающие богатую и разнообразную фауну: *Harpes costatus* Ang., *Nomotelus calvus* sp. nov., *Remopleurides pisiformis* Web., *Remopleurides giganteus* sp. nov., *Illaenus linnaresoni* Holm., *Illaenus oviformis* Wargb., *Bronteus romanovskii* Web., *Amphilichas koksorensis* sp. nov., *Amphilichas smatikovi* Web., *Sphaerexochus hisingeri* Wargb., *Pliomera minimus* sp.

Эти известняки в структурном отношении являются западным пологим крылом асимметричной синклинальной складки, осложненной тектоническими нарушениями. Азимут падения — восток-северо-восток 80—90° под углом 20—24°.

Подобные известняки протягиваются к северо-востоку от оз. Майлисор к аулу Белагаш, обнажаются на северном берегу озера Атансор и восточнее его у горы Маятас, а также юго-восточнее озера Алабасколь, и тянутся с некоторыми перерывами в юго-восточном направлении в сторону Стальнского рудника, где и уходят за границу исследованного района.

Стратиграфически выше известняки постепенно сменяются терригенными породами: сланцами, песчаниками, иногда включающими линзы ракушняковых известняков.

Частичный разрез верхнемайлисорского горизонта вскрыт в районе озера Майлисор (снизу вверх; мощности округленные).

1. Почти черные, тонкокристаллические, очень плотные известняки, переходящие выше в темносерые более крупнокристаллические разности . . . . . 100 м
2. Переслаивание темносерых кристаллических плотных известняков с черными тонкослонистыми аргиллитоподобными сланцами . . . . . 8—10 м
3. Темносерые, рассланцованные углисто-глинистые (?) сланцы, иногда с граптолитами . . . . . 25—30 м
4. Темные, неслонистые аргиллитоподобные породы . . . . . 8—10 м
5. Темные, плотные известняки . . . . . 5—8 м
6. Переслаивание светлосерых, известковистых, иногда рассланцованных среднесернистых песчаников с более тонкозернистыми глинистыми разностями, а иногда и с более грубозернистыми . . . . . 40 м

Эти породы разбиты мелкими тектоническими подвижками.

В некоторых местах смена постепенная, но чаще резкая. Темносерый глинистый материал сменяется средне- и грубозернистым песчаником, иногда переходящим в туфоконгломерат небольшой мощности.

Среди песчаников шестого слоя (?) иногда наблюдается в виде линзовидных тел (протяжением до 150—200 м) кремнистая порода (ракушняк?), состоящая из массы очень тонко устроенных скелетов мшанок, обломков и целых неразрушенных брахиопод и трилобитов. Данная фауна еще не изучена. Можно сказать, что трилобиты включают, главным образом, рода *Harpes* sp., *Illaenus* sp., *Cybele weberi* Kol. (?), *Pliomera* cf. *iliensis* Kog.

Последние две формы характерны для отарского горизонта Чу-Илийских гор (М. Н. Чугаева, 1955), который залегает выше андеркенского горизонта и покрывается дуланкаринским горизонтом, относящимся уже к ашгиллию.

## Типы стратиграфических разрезов

59

Таким образом, эти отложения по фауне можно целиком параллелизовать с андеркенским горизонтом Чу-Илийских гор, а также с ангрен-сорской толщей, выделенной для северных частей Центрального Казахстана Р. А. Борукаевым и его сотрудниками. Во всех трех случаях фауна трилобитов идентична. Верхи горизонта, повидимому, следует сопоставлять с отарским горизонтом, так как в обоих случаях встречены трилобиты *Cybele weberi* K o l., *Pliomera iliensis* K o g. nom. nns. Кроме того, брахиоподы из этого слоя, предварительно просмотренные палеонтологом Казахского геологического управления Т. Б. Рукавинниковой, также указывают на возраст более молодой, чем андеркенский, но древнее ашгылия.

Породы верхнемайлисорского горизонта обнажаются также у северо-западного склона горы Маятас, где они представлены снизу вверх:

## Разрез № 11

|                                                                                                  |            |      |
|--------------------------------------------------------------------------------------------------|------------|------|
| 1. Светлосерые, реже серые кварциты (по известнякам?).                                           |            |      |
| 2 Сильно измененные, осветленные порфиры                                                         | 80 — 100 м |      |
| 3. Серые, плотные известняки с фауной брахиопод и трилобитов                                     | 150 м      |      |
| 4. Желтовато-серый, мелкозернистый, очень плотный песчаник с грантолитами                        |            | 10 м |
| 5. Серые известняки с редкими гастropодами, пронизанные жилками кальцита и кварца<br>Несогласие. |            | 50 м |
| 6 Плагиоклазовые порфиры силура (?)                                                              |            |      |

Фауна в известняках содержит в своем составе *Illaenus linnarsoni* Holm., *Bronteus romanovskii* We b., *Sphaerexochus hisingeri* Warb., *Amphilichas* cf. *sniatkovii* We b., *Trinodus* cf. *glabratulus* Ang., *Pliomera iliensis* sp. nov., *Remopleurides pisiformis* We b., *Christania* ex. gr. *tenuecincta* (M' Coy).

Фауна в мелкозернистом песчанике представлена граптолитами: *Orthograptus (Reclograptus) almatiensis* Kell.

Комплекс фауны вполне сходен с приведенным ранее для известняков, обнажающихся у озера Майлисор, а фауна граптолитов соответствует фауне, найденной в темных сланцах и песчаниках, залегающих выше этих известняков, входящих в состав верхнемайлисорского горизонта.

## Разрез № 12 (по северному берегу озера Атансор)

На пироксен-плагиоклазовых порфирах и плотных зеленоватых туфоагломератах, мощностью 700 м, относимых к нижнемайлисорскому горизонту, залегают:

|                                                                                                    |  |             |
|----------------------------------------------------------------------------------------------------|--|-------------|
| 1. Светлосерые, местами бурые кварциты                                                             |  | 150 м       |
| 2. Светлосерые плотные известняки                                                                  |  | 100 м       |
| 3. Буровато-желтые, плотные, мелкозернистые песчаники                                              |  | 7 — 8 м     |
| 4. Массивные, светлосерые известняки, пронизанные жилками кальцита и кварца с фауной<br>Несогласие |  | 400 — 500 м |
| 5. Кислые эфузивы силура (?).                                                                      |  |             |

В известняках слоя № 4 найдена довольно многочисленная фауна трилобитов и брахиопод, идентичная вышеприведенной фауне, собранной у озера Майлисор и горы Маятас.

Юго-восточнее этого разреза в 3 км восточнее озера Алабасколь наблюдается следующий разрез № 13.

На темнозеленых, плотных порфирах, относимых к нижнемайлисорскому горизонту, залегают.

- |                                                                                                                                                                     |             |
|---------------------------------------------------------------------------------------------------------------------------------------------------------------------|-------------|
| 1. Темносерые, плотные известняки без фауны.                                                                                                                        | 150 — 175 м |
| 2. Плотные, буровато-серые известняки.                                                                                                                              | 20 м        |
| 3. Измененная, ожелезненная, окварцованныя порода с плохо сохранившейся фауной брахиопод и трилобитов, по возрасту относящихся к карадокскому ярусу.<br>Несогласие. |             |
| 4. Красноцветные эфузивы, возможно, силурийские (?).                                                                                                                |             |

Анализ стратиграфических разрезов указывает, что начало карадокского времени в Северном Казахстане характеризуется бурным развитием вулканической деятельности, результатом которой явились мощные излияния пироксен-плагиоклазовых и роговообманиковых порфиров, сопровождавшие выбросами туфоагломератов и туфобрекций.

Излияния проходили в значительной мере в подводных условиях, на что указывают линзы известняков, иногда большой протяженности и мощности, чаще немых, но изредка содержащих фауну брахиопод, трилобитов и остракод. Эфузивная деятельность охватывала громадные площади и распологалась, в основном, к востоку и юго-востоку от Кокчетавского докембрийского массива.

Вулканические породы сменяются выше отложениями известняков, песчаников, сланцев, реже конгломератов верхнемайлисорского горизонта, характеризующих попрежнему морские условия. Вблизи Кокчетавского поднятия известняки развиты слабо, здесь в основном представлены терригенные осадки.

К юго-востоку от этого поднятия располагаются известняки, обнажающиеся большими массивами у озер Майлисор, Атансор, Атабасколь и в других участках.

Еще далее в юго-восточном направлении известияки постепенно уменьшаются в мощности, заменяясь снова терригенным материалом.

Эти условия удерживались сравнительно продолжительное время, после чего начинают проявляться более интенсивно колебательные движения (первые предвестники таконской фазы каледонской складчатости), которые выразились в частой смене известняков, тонкозернистых песчаников и мергелистых пород.

Далее наблюдается резкое фаунистическое изменение осадков и крупных тектонических движений. Таким образом, общая палеогеографическая обстановка в карадокское время представляется в таком виде.

На северо-западе намечается существование поднятия с развитием на его поверхности умеренных эрозионных процессов, с ограниченным выносом обломочного материала. Этим поднятием, очевидно, была Кокчетавская глыба. Существование здесь суши было достаточно длительным и, возможно, захватывало весь нижний палеозой. К юго-востоку от Стальнского рудника также намечается поднятие, поскольку в этом направлении наблюдается смена карбонатных образований обломочными. Таким образом, накопление осадков шло в условиях островного режима с достаточно резкими подвижками дна, с возникновением разрывов и проявлением интенсивной вулканической деятельности в иззах карадока.

Характерной особенностью литологии карадокского яруса ордовика Пристепняковского района являются вулканогенные породы и известняки. Накоплению последних при всех физико-географических условиях способствует небольшое количество обломочного материала. Поэтому они, как это имеет место и в нашем случае, образуются в периоды существования небольших участков суши с равнинным рельефом. Наиболее часто эти эпохи совпадают с периодами трансгрессий. В наших условиях начало трансгрессии совпадает с лландейльским временем, этим и объясняется отсутствие находок более древних ярусов ордовика в описываемом и расположенному к востоку районе.

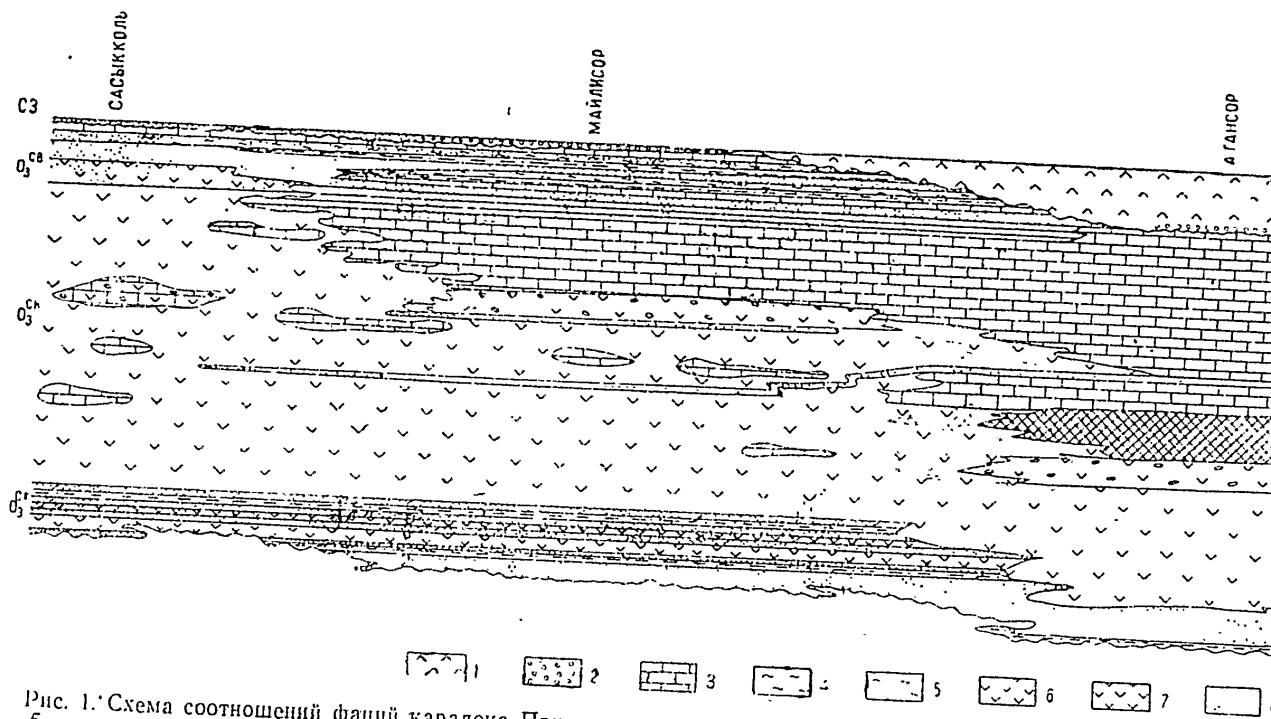
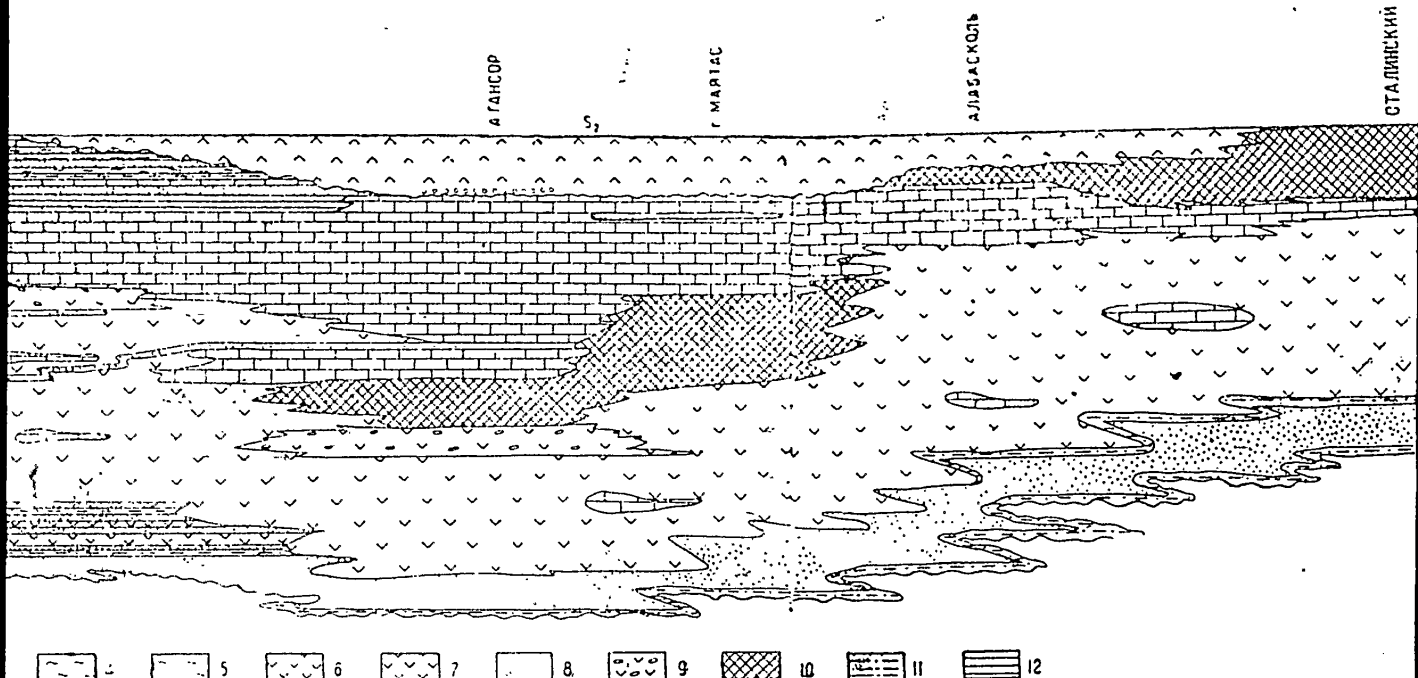
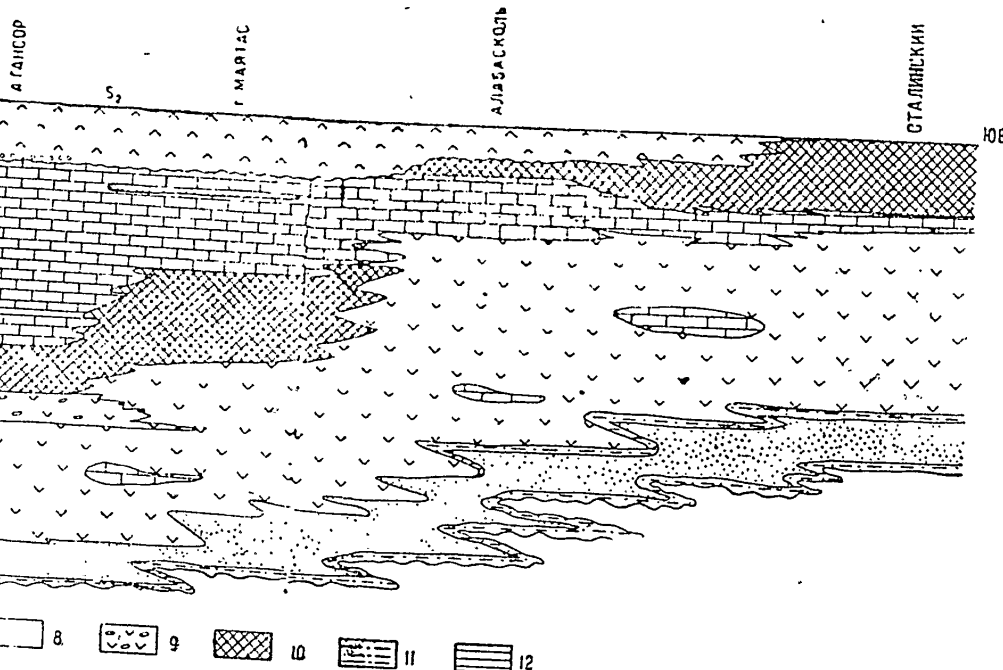


Рис. 1. Схема соотношений фаций карадока Пристепняковского района. Условные обозначения: 1 — кислые эфузивы, 2 — песчано-мергелистые породы, 3 — туфопесчаники, 4 — основные порфириты, 5 — песчаники, 6 — туфоагломераты.



Условные обозначения: 1 — кислые эфузивы, 2 — конгломераты, 3 — известняки, 4 — мергелистые породы, 5 — основные порфиры, 6 — песчаники, 7 — туфоагломераты, 8 — окварцованные породы, 9 — алевролиты, 10 — сланцы.



Символы: 1 — кислые эфузивы, 2 — конгломераты, 3 — известняки, 4 — мергелистые породы,  
5 — туфоагломераты, 6 — окварцованные породы, 7 — алевролиты, 8 — сланцы.

Legend:  
 1 — acidic effusives, 2 — conglomerates, 3 — limestones, 4 — shale-like rocks,  
 5 — tuff-conglomerates, 6 — quartz-silicified rocks, 7 — aleurolites, 8 — slates.

Вторым моментом, характеризующим палеогеографию карадока, являются его климатические особенности. Как известно, образование известняков способствует теплый климат, и наличие мощных толщ известняков является надежным указанием на существование теплого климата.

Третьим моментом, определяющим особенности палеогеографии верхов карадока, является специфичность развития преимущественно органических и частично терригенных пород.

Значительные скопления разнообразной, многочисленной фауны, довольно хорошей сохранности, свойственные перитической зоне теплого моря с нормальной соленостью и небольшим глубинам (крупные формы трилобитов и гастропод с толстым панцирем).

Эти условия сменились менее устойчивым режимом, на что указывает далее пересланывание терригенных пород и линзы известняков, содержащих массу мицелий, крионидей, трилобитов и др.

Такое чередование явно указывает на происходившие частые колебательные движения, после чего, повидимому, наступает таконская фаза катодонской складчатости и внедрение гранитных интрузий, так как все вышеуказанные осадки, собраны в интенсивные складки и прорваны интрузиями, а на них явно несогласно залегают кислые эффузивы с прослоями песчаников, иногда включающих фауну собственно силура, или же красноцветные песчаники девона с базальным конгломератом в основании.

Таковы, по имеющимся пока данным, основные палеогеографические условия карадока Пристепняковского района.

## РЕЗЮМЕ

Макалада Солтүстік Қазақстаниң орта және жоғарғы ордовик дәуірінің палеогеографиясы мен стратиграфиясынан мәліметтер келтірілген.

Макала екі картамен жабдықталған, оның біреуіне Солтүстік Қазақстаниң ордовик дәуірінің карадок қабаттарының фациялық ара қатыстарының схемасы көрсетілген, ал екіншісінде — стратиграфиялық тіліктердің типтері суреттелген.

## ИЗВЕСТИЯ

АКАДЕМИИ НАУК КАЗАХСКОЙ ССР

1956

Серия геологическая

Вып. 22

H. M. МИТРИЕВА

**О ЯВЛЕНИЯХ ИЗБИРАТЕЛЬНОГО МЕТАСОМАТИЗМА  
В ОДНОЙ ИЗ ГРУПП СВИНЦОВЫХ МЕСТОРОЖДЕНИЙ  
ХРЕБТА КАРАТАУ**

В течение последних нескольких лет автором изучалась одна из групп свинцовых месторождений хребта Карагату, расположенная вблизи крупного разлома, являющегося, по видимому, северным продолжением главной структурной линии Тянь-Шаня (В. А. Николаев). Вдоль этой линии контактируют метаморфические сланцы протерозоя и отложения среднего палеозоя.

Все месторождения приурочены к крыльям антиклинальной складки, в ядре которой обнажается песчано-сланцевый комплекс пород нижнесилурского возраста. В нем встречаются редкие линзы доломитизированных известняков и доломитов. Несогласно на породах нижнего силура залегают обломочные отложения среднего, низов верхнего девона ( $D_2-D_3$ ): конгломераты, песчаники, алевролиты. Верхняя часть разреза девона и низы карбона представлены карбонатными породами, которые являются вмещающими для большинства свинцовых и свинцово-цинковых рудопроявлений района.

Близость к главному карагатускому надвигу в значительной мере определяет сложность строения района месторождений. Крылья основной антиклинали осложнены мелкими складками более высоких порядков, вплоть до плойчатости, а также рядом разрывных нарушений типа надвигов и взбросо-сдвигов, имеющих северо-западное простирание. Широко распространены также послойные подвижки внутри карбонатных толщ.

Минеральный состав руд месторождений отличается исключительной простотой. Основным рудным минералом является галенит, в подчиненных количествах присутствуют сфалерит, марказит и пирит, в виде примесей встречаются халькопирит и арсенопирит.

Для всех месторождений характерна приуроченность оруденения к тектонически ослабленным зонам — разломам типа взбросо-сдвигов и сопутствующим им зонам разлинования и брекчирования пород, а также к участкам повышенной трещиноватости.

Таким образом, твердо устанавливается отчетливая приуроченность рудоотложения к зонам повышенной проницаемости пород для проходящих через них минерализующих растворов.

Свинцовые месторождения описанной группы могут служить прекрасным примером проявления избирательного замещения рудным материалом карбонатных пород. Явления эти наблюдаются как в масштабе целого района и месторождений, так и в пределах отдельных рудных тел, участков их, вплоть до микропроявлений, и потому должны рассматриваться в качестве одной из важных закономерностей рудоотложения.

## О явлениях избирательного метасоматизма

93

Вып. 22.

Явления избирательного оруденения пород проявляются прежде всего в том, что рудоотложение почти исключительно приурочивается к карбонатным породам и отсюда всегда занимает строго определенное положение в стратиграфическом разрезе (рис. 1). Это определяет общий план размещения месторождений. Так, оруденение известно в доломитах нижнего силура и почти во всех членах разреза карбонатной толщи верхов девона и низов карбона. Но основные рудопроявления сосредоточены в отложениях фаменского и нижнетурнейского возраста.

| ВОЗРАСТ        | КРАТКАЯ ХАРАКТЕРИСТИКА ПОРОД                                                                                                                                          | КРАТКАЯ ХАРАКТЕРИСТИКА СВИНЦОВОГО ОРУДЕНЕНИЯ                                                            |
|----------------|-----------------------------------------------------------------------------------------------------------------------------------------------------------------------|---------------------------------------------------------------------------------------------------------|
| на носы        |                                                                                                                                                                       |                                                                                                         |
| C <sub>1</sub> | Карбонатная толща, известняки, часто массивные, доломиты, конгломераты, сланцы.                                                                                       | Секущие, реже пластообразные рудные тела и непромышленная вкрапленность сульфидов.                      |
| Д <sub>3</sub> | Пестрая карбонатная толща, карбонатные конгломераты, известняки, доломиты, песчаники и сланцы.                                                                        | Секущие и пластообразные рудные тела и непромышленная вкрапленность сульфидов                           |
| несогласие     |                                                                                                                                                                       |                                                                                                         |
| S <sub>1</sub> | Переслаивание песчаников, полимиктовых, и сланцев, глинистых, филлитовидных, иногда вулканогенным материалом. Вверху линзы доломитизированного известняка и доломита. | Оруденение - редкая вкрапленность сульфидов-толчко в линзах доломитов и доломитизированных известняков. |
| P <sub>2</sub> | Граница текtonическая<br>Метаморфические сланцы                                                                                                                       | Оруденение неизвестно                                                                                   |

Рис. 1. Схема распределения свинцового оруденения в стратиграфической колонке.

Однако не все карбонатные породы подвергаются оруденению в одинаковой степени. Комплекс верхнедевонских и нижнекарбоновых карбонатных пород в районе месторождений отличается большой пестротой (различные известняки, доломиты, конгломераты, известковистые сланцы, песчаники и пр.), и соответственно этому интенсивность свинцового оруденения в литологической колонке карбонатной толщи подвержена большим изменениям.

Среди различных карбонатных пород в районе отчетливо выделяются породы, более или менее благоприятные для развития оруденения. К наиболее благоприятным породам относятся:

а) конгломераты, состоящие из галек различных карбонатных пород, сцементированных известняком или доломитизированным известняком с некоторым количеством обломочного кварца;

б) песчанистые известняки, грубо слоистые и массивные; количество обломочного материала в них достигает 30%, представлен он кварцем, полевыми шпатами, различными серicitизированными и карбонатизированными породами;

в) массивные серые известняки с незначительным количеством обломочного кварца.

Менее благоприятными для оруденения являются конгломераты с доломитовым цементом и доломиты, а также слоистые доломитизированные известняки.

Оруденение почти никогда не встречается в мергелистых сланцах и в тех частях разреза карбонатных отложений, которые представлены тонким чередованием известняка и мергелистого сланца, а также в прослоях песчаников среди известняков и сланцев.

В исключительно редких случаях вырапленность галенита отмечена в красноцветных песчаниках основания девонского разреза на участках, прилегающих кrudолокализующим разломам.

Совершенно не встречено оруденение в связи с песчаниками и сланцами нижнесилурского и протерозойского возраста.

Наиболее благоприятными для локализации оруденения являются случаи сочетания соответствующих структур с указанными выше литологически благоприятными породами. Иллюстрацией этого положения может служить одно из изученных месторождений. По рудоконтролирующему разлому здесь контактируют красноцветные песчаники среднего — низов верхнего девона и фаменские карбонатные породы. Наиболее интенсивное оруденение цесут участки, на которых к рудоконтролирующему разлому подходят массивные известняки или песчанистые известняки и известковые конгломераты. В таких участках рудное тело образует раздувы. Менее благоприятны участки контакта тонкослонистых известняков, содержащих прослои углисто-глинистого состава, и красноцветных песчаников  $D_2$  —  $D_3^1$ . Здесь мощность рудного тела и содержание полезных компонентов заметно уменьшаются. К участкам контакта тонкослонистых мергелей и красноцветных песчаников приурочены или безрудные интервалы шва разлома, или убогое оруденение.

Аналогичное явление имеет место и на другом месторождении, где максимальное оруденение отмечено в тех местах, где рудоконтролирующий разлом и сопутствующие ему нарушения пересекают известняковые конгломераты и массивные известняки. Там же, где к разлому подходят мергелистые сланцы, оруденение отсутствует.

На месторождениях описываемой группы развиты как секущие, так и пластиобразные рудные залежи, относящиеся к двум главным структурно-морфологическим типам рудных тел.

Секущие рудные тела развиваются непосредственно в зоне основных разломов и по сопровождающим зонам брекций в участках разлинования город. Обычно это линзы или жилообразные тела, или система таких тел, вытянутых, в общем, вдоль основного нарушения или же расположенных под острым углом к нему. Рудные минералы замещают цемент брекций, обладающий по сравнению с обломками повышенной пористостью. В первую очередь замещению подвергается тонко раздробленный материал, а затем — более крупный, причем в крупных обломках известняков рудные минералы развиваются лишь по тонким трещинкам. Обычно совершено не подвергаются замещению обломки окварцованных и глинистого известняка и реже — доломита. В связи с этим для секущих рудных тел чрез-

## О явлении избирательного метасоматизма

95

вычайно характерны брекчевые руды и, как крайняя степень замещения рудными минералами раздробленного материала, развиваются массивные руды. Часто сульфиды окаймляют обломки пород.

Пластиообразные рудные тела приурочены к отдельным прослойям пород, благоприятных для оруденения. Обычно такими породами являются трещиноватые известняки, песчанистые известняки и известняковые конгломераты, залегающие среди мергелистых и известистых сланцев. Пластиообразные рудные тела отходят от разломов вдоль таких прослоев, обладающих вблизи нарушений повышенной трещиноватостью, и слагаются вкрапленно- прожилковыми рудами. Выделения сульфидов и жильных карбонатов приурочены к многочисленным трещинкам и к известковой составляющей пород.

Таким образом, секущие рудные тела представляют собой результат замещения рудными минералами различных тектонитов в зонах разломов и брекчирования пород, в то время как пластиообразные тела образуются при метасоматическом замещении рудными компонентами благоприятных для оруденения прослоев карбонатных пород в участках повышенной трещиноватости.

Касаясь самого механизма метасоматического замещения рудными минералами карбонатных пород, также следует отметить избирательный характер этого процесса.

Особенно ярко явления избирательного метасоматизма проявляются в случае развития оруденения в известняковых конгломератах и в песчанистых известняках.

В конгломератах рудные минералы (главным образом галенит) вместе с карбонатами образуют вкрапленность и прожилки в цементе. Наряду с этим встречаются участки конгломерата, где галенит в срастании с кальцитом полностью замещает отдельные гальки, в то время как в цементе оруденение развивается в незначительной степени, главным образом, по трещинкам. Часто скопления рудных минералов приурочены к границам галек и цемента.

Замещению в первую очередь подвергаются менее глинистые и менее кремнистые разности пород. Таким образом, там, где цемент представлен известняком или песчанистым известняком, оруденение развивается преимущественно в цементе. В тех же случаях, когда цемент содержит в своем составе заметное количество глинистого или кремнистого материала, оруденение в нем развивается лишь в виде проводничков по трещинкам, а гальки, имеющие известковый состав, подвергаются метасоматическому замещению рудными минералами с тем или иным количеством карбоната (рис. 2 и 3).

При развитии оруденения в песчанистых известняках (и в цементе конгломератов, представленном песчанистым известняком) замещению рудными минералами в первую очередь подвергается известковый материал, в то время как обломочная часть породы замещается в несравненно меньшей степени или совершенно не затрагивается замещением. Так возникают вначале сложные по форме вкраплениники сульфидов в карбонатных породах, затем пятнистые скопления рудных минералов и, наконец, почти сплошные руды, в которых незамещенными остаются только зерна кварца (рис. 4).

Таким образом, в распределении оруденения в описываемом районе имеют место следующие закономерности:

1. Рудопроявления приурочены к зонам тектонических нарушений, обладавших в период рудоотложения повышенной проницаемостью для рудоносных растворов.

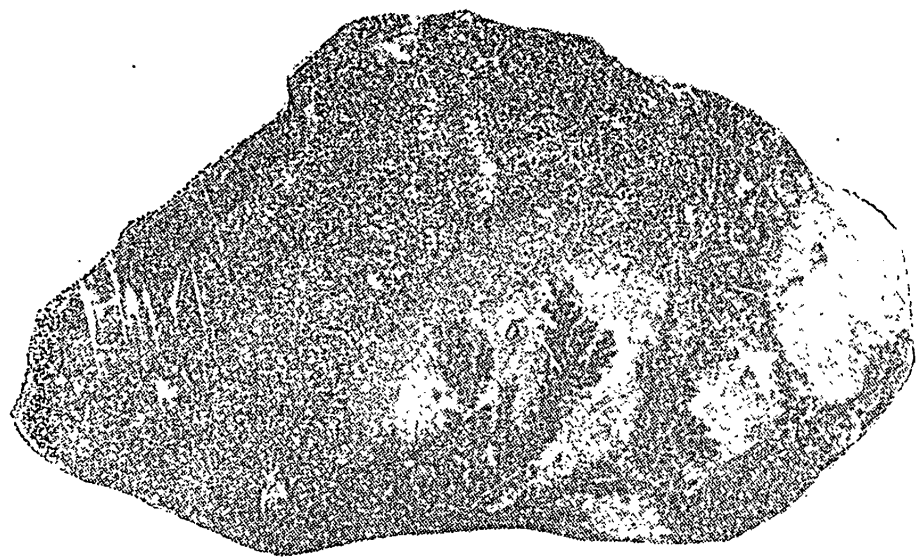


Рис. 2. Оруденение в конгломерате. Галенит и кальцит замещают цемент конгломерата. В гальке кремнистого известняка (с дендритами окислов марганца по трещинке) сульфиды отсутствуют. Натуральная величина: а — галенит и кальцит, б — галька известняка.

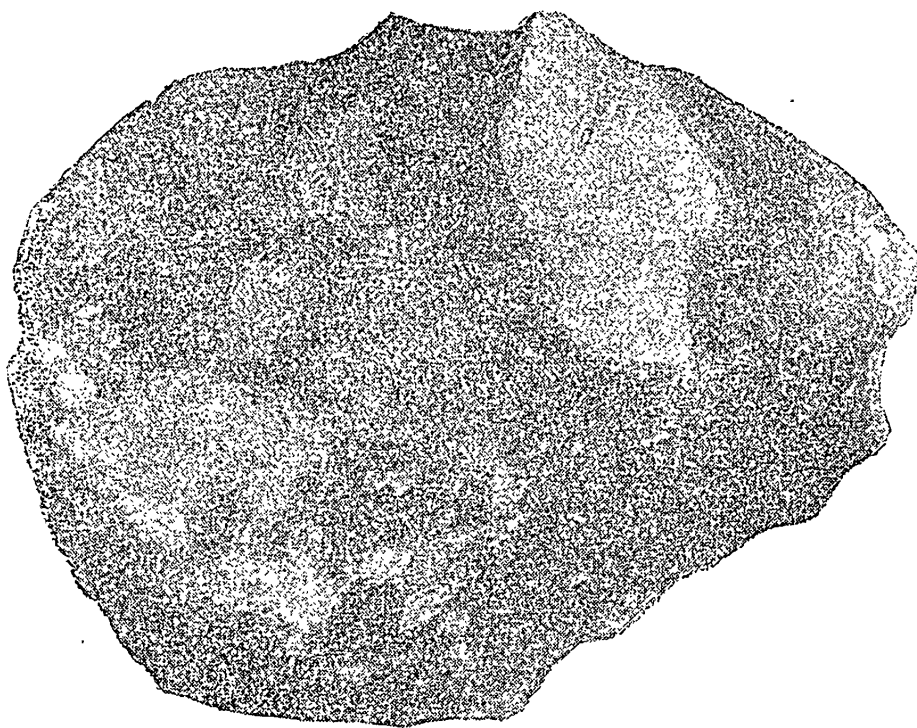


Рис. 3. Оруденение в конгломерате. Цемент — кремнистый известняк, в нем рудные минералы образуют прожилки вдоль трещинок; отдельные гальки известняка почти полностью замещены рудными минералами (в основном галенитом) и кальцитом. Натуральная величина: а — галенит и кальцит, б — незамещенный рудным материалом цемент конгломерата.

Г  
А  
Д  
К  
Т  
  
р  
п  
н  
с  
ч  
о  
к  
и  
и  
7—

Образование главных рудоконтролирующих разломов, брекчий и минераллитов, разлинование и дробление пород в условиях Карагату происходило вблизи поверхности и привело к значительному увеличению первоначальной пористости пород, что создало благоприятные условия для циркуляции растворов.

2. Избирательная приуроченность оруденения к карбонатным частям разреза определяется литолого-химическими свойствами карбонатных пород, в первую очередь, повышенной растворимостью по сравнению с песчано-глинистыми отложениями, что привело к избирательному замещению их рудным материалом.

3. Распределение оруденения внутри карбонатных толщ контролируется, в основном, физическими свойствами различных видов карбонатных пород. В близповерхностных условиях, в зонах наиболее интенсивных тектонических движений и вблизи них известковистые и мергелистые сланцы испытывают деформацию течения, а конгломераты, песчанистые и массивные известняки подвергаются дроблению. При этом, в случае конгломератов и песчанистых известняков, усиливается их первичная неоднородность.

Обращает на себя внимание тот факт, что из карбонатных пород с равной растворимостью более благоприятными для оруденения являются те из них, в нерастворимом остатке которых преобладают частицы кварца, и менее те, нерастворимый остаток в которых представлен глинистой фракцией. Вероятно, кроме создания первичной неоднородности в породе, частички кварца (кремниекислота) играют определенную роль в химизации рудоотложения.

В последние годы опубликован ряд работ, посвященных вопросам генезиса свинцовых и свинцово-цинковых месторождений в карбонатных породах. Некоторые исследователи (М. М. Константинов, С. А. Юшко и др.) принимают для подобных месторождений осадочный или осадочно-метаморфический генезис. Одним из основных признаков осадочного происхождения таких месторождений они выдвигают приуроченность оруденения к карбонатным толщам, а внутри этих толщ — к определенным горизонтам карбонатных пород, и широкое развитие в них пластообразных рудных тел.

Анализ имеющихся материалов позволяет сделать вывод, что месторождения рассматриваемой группы, заключенные в карбонатных породах, представляют собой продукт единого процесса рудообразования. Изучение распределения рудной минерализации в породах района наряду с другими особенностями месторождений показывает, что приуроченность оруденения к определенным разностям пород нельзя считать достатительством осадочно-метаморфогенного происхождения месторождений, а следует объяснить явлениями избирательного метасоматизма.

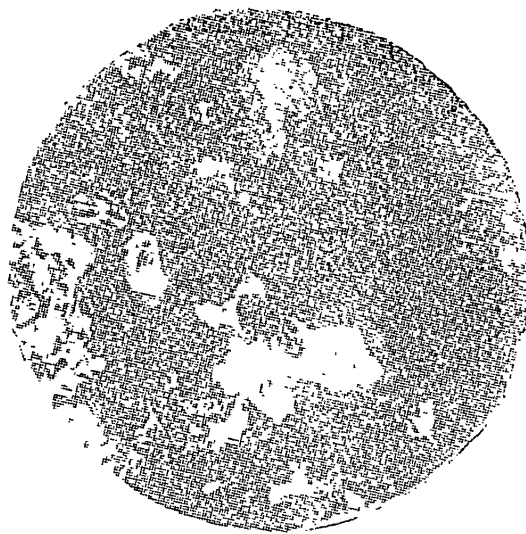


Рис. 4 Вкрапленики галенита (белое) в известняке (черное). Увел. 80.

## РЕЗЮМЕ

Мақалада Қаратай қырқасындағы кең казбаларын мысал ретінде келтіріп, әртүрлі типті карбонаттарда болатын метасоматоздық құбылыстарды қарастырады. Сонымен қабат кенқазбаларын корғалауына негізгі контроль тектоникалық процесстердің әсерінен ыдыраған (жігі босаған) взброссдвиг типті зоналар болады деген пікірді айтады.

ИЗВЕСТИЯ  
АКАДЕМИИ НАУК КАЗАХСКОЙ ССР

1956

*Серия геологическая*

Вып. 22

И. Ф. НИКИТИН

**БРАХИОПОДЫ ЯШМОВОЙ И ТОРТКУДУКСКОЙ ТОЛЩ  
СЕВЕРО-ВОСТОКА ЦЕНТРАЛЬНОГО КАЗАХСТАНА  
(КЕМБРИЙ И НИЖНИЙ ОРДОВИК)**

В последнее десятилетие Институтом геологических наук АН КазССР были предприняты систематические исследования стратиграфии, вулканизма, тектоники и металлогенеза северо-востока Центрального Казахстана, проводившиеся по инициативе и под руководством действительного члена АН КазССР Р. А. Борукаева.

В результате этих исследований, обобщенных и систематизированных в работе Р. А. Борукаева «Долаплеозой и нижний палеозой северо-востока Центрального Казахстана», на основании многочисленных находок фауны трилобитов и брахиопод среднего, верхнего кембрия и нижнего ордовика было доказано широкое распространение кембрейских и нижнеордовикских отложений. Отложения эти представились возможным расчленить на ряд толщ. Сопоставление трилобитовых фаун северо-востока Центрального Казахстана с трилобитовыми зонами Западной Европы и Северной Америки позволило Н. К. Ивишину выделить следующие фаунистические горизонты.

В среднем кембрии:

1. Агырекский с *Erbia*, *Olenoides*, *Koolenia*, относящийся к самым нижним среднем кембрия.
2. Майданский с *Dinesus*, *Kootenia* и *Olenoides*, сопоставляющийся с нижней половиной зоны *Paradoxides tessini* и с некоторой частью зоны *Paradoxides oelandicus*.

3. Бощекульский с *Anomocare*, *Phoidagnostus bituberculatus*, сопоставляющийся с зоной *Paradoxides forchhammeri*.

4. Алкамергенский с *Acrocephalus*, *Anomocare*, сопоставляющийся с зоной *Lejopyge laevigata*.

В верхнем кембрии:

1. Куяндинский с *Kujandaspis* и *Billingsella*, по возрасту соответствующий нижней части франконского яруса Северной Америки.

2. Селетинский с *Irvingella*, соответствующий верхам зоны с *Leptoplustus*.

3. Лермонтовский с *Lolagnostius*, *Peltura*, *Porabolinella*, сопоставляющийся с зоной *Peltura* — *Sphaerophthalmus* — *Ctenopyge* и с нижней частью зоны *Acerocare* — *Cyclognathus*.

4. Шидертинский с *Euloma*, сопоставляющийся с самыми верхами верхнего кембрия Скандинавии, с верхней частью зоны *Acerocare* — *Cyclognathus*.

В нижнем ордовике:

Олентинский с *Niobe*, *Harpides*, *Clarkella*, сопоставляющийся с трендским ярусом Англии и с цератоплигиями слоями Швеции.

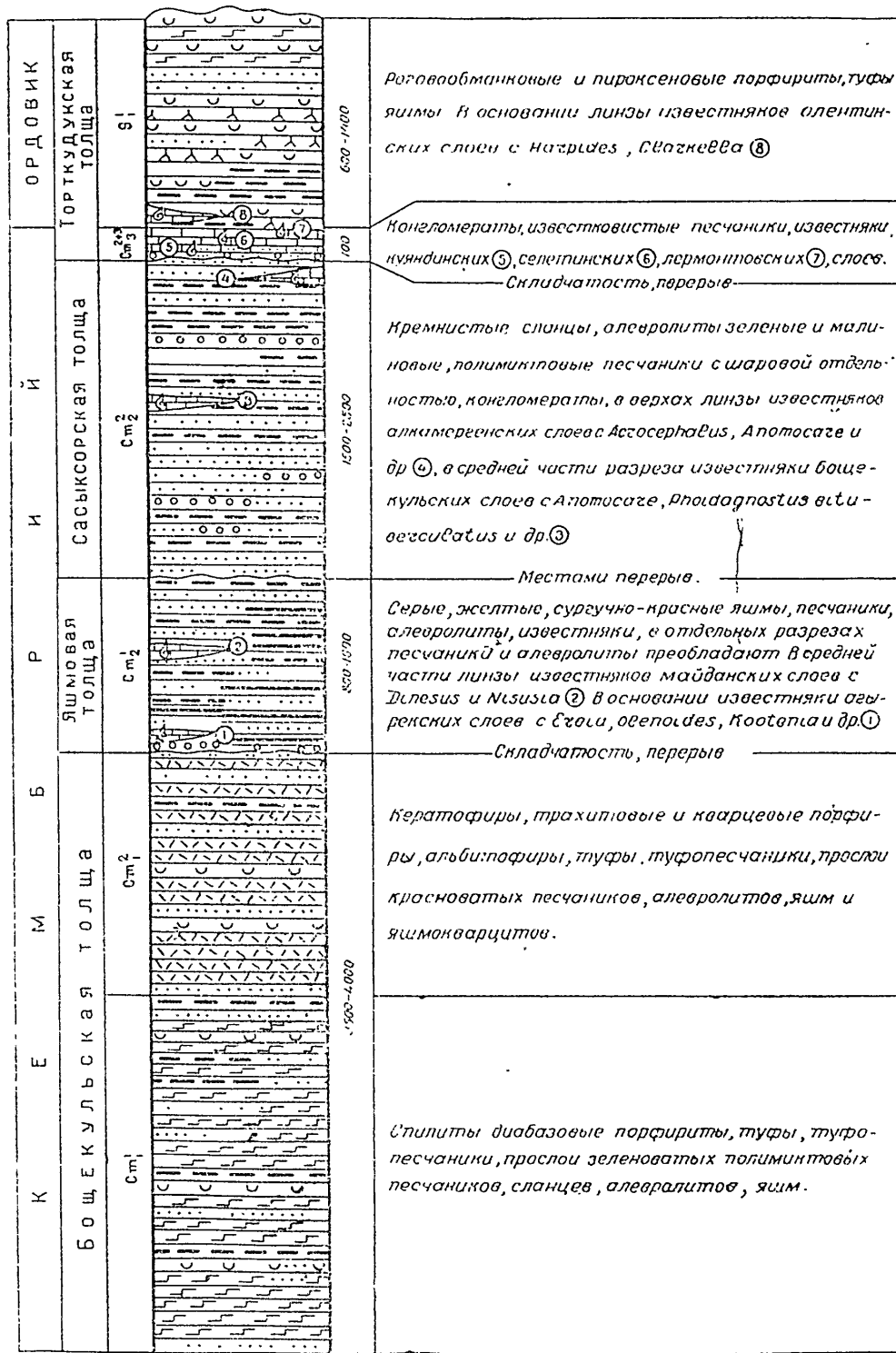


Рис 1 Стратиграфическая колонка кембрия и нижнего ордовика северо-востока Центрального Казахстана (по Р. А. Борукаеву).

## Брахиоподы яшмовой и торткудукской толщ

101

Изучение конкретных разрезов кембрийских и нижнеордовиковых отложений северо-востока Центрального Казахстана позволило подтвердить намеченну таким образом последовательность фаунистических комплексов в сводном разрезе и привязать их к отдельным членам стратиграфических подразделений или слоев, носящих названия соответствующих фаунистических горизонтов.

Основными стратиграфическими подразделениями кембрая и нижнеордовика северо-востока Центрального Казахстана являются следующие толщи, выделенные Р. А. Борукаевым (рис. 1):

- Бощекульская осадочно-вулканогенная толща**, разделенная на две свиты: нижнюю — спилитовую ( $Cm_1^1$ ) и верхнюю — кератофировую ( $Cm_1^2$ ).

- Яшмовая толща** ( $Cm_2^1$ ), которая относится к нижней половине среднего кембрая на основании обильной фауны из агырекских и майданских слоев.

- Сасыксурская песчано-сланцевая толща** ( $Cm_2^2$ ), относимая к верхней половине среднего кембрая на основании фауны, происходящей из бощекульских и алкамергенских слоев.

- Торткудукская толща** ( $Cm_3^2 - S_1^1$ ), представленная осадочно-эфузивным комплексом.

В нижней, преимущественно осадочной, части торткудукской толщи и в низах верхней, существенно вулканогенной, встречена разнообразная фауна трилобитов и брахиопод, происходящая из куяндинских ( $Cm_3^k$ ), селетинских ( $Cm_3^s$ ), лермонтовских ( $Cm_3^l$ ) и олентинских слоев ( $S_1^{ol}$ ). Fauna эта позволяет считать, что накопление торткудукской толщи охватило две верхних трети верхнего кембрая и нижний ордовик.

Положение агырекских, майданских, бощекульских и алкамергенских слоев в сводном стратиграфическом разрезе среднего кембрая северо-востока Центрального Казахстана определяется следующими данными.

- Каждый из перечисленных горизонтов распространен в обособленных разрезах, в различных тектонических структурах, на значительных расстояниях друг от друга и по настоящее время не представилось возможным наблюдать более одного фаунистического горизонта в одном непрерывном разрезе в нормальной стратиграфической последовательности.

- Агырекские слои залегают в горах Агырек непосредственно на базальных конгломератах в самых низах яшмовой толщи.

- Майданские слои залегают в обособленном тектоническом блоке в нижнем течении р. Акжар (правый приток р. Селеты) также в яшмовой толще. Низы толщи и ее верхние горизонты в этом разрезе срезаны тектоническими разрывами, по которым она контактирует с осадками верхнего кембрая и голландия. Известняки майданских слоев залегают в средней части этого разреза. Обстоятельство это позволило утверждать, что майданские слои в сводном разрезе яшмовой толщи залегают выше агырекских слоев.

- Бощекульские слои обнажаются в массиве сасыксурской толщи в районе пос. Бощекуль. Низы этой толщи в указанном разрезе срезаны тектоническим разрывом, по которому сасыксурская толща контактирует с осадками бощекульской толщи нижнего кембрая, а верхи перекрыты третичными отложениями. Известковистые песчаники бощекульских слоев залегают приблизительно в 1000 м вверх по разрезу от наи-

ты, туфы  
лентин-вестники.  
Д, слоеси мали-  
отдело  
стриюное  
аге и  
бошце-  
висти-осчаники,  
режах  
редней  
зов с  
тики озы-  
сти. №①порфи-  
, прослои  
шум итуфо-  
тавбий

о-востока

более низких горизонтов этой толщи в данном разрезе и на 700 м ниже наиболее высоких горизонтов.

Положение башкадульских слоев в этом разрезе дает основание полагать, что они приурочены к верхам нижней половины сасыксорской толщи и залегают выше верхнего фаунистического горизонта яшмовой толщи, поскольку последняя перекрывается сасыксорской толщей.

*5. Алкамергенские слои* залегают в обособленном тектоническом блоке в районе оз. Алкамерген, в котором обнажается незначительная по мощности часть сасыксорской толщи. Единственным основанием для помещения этого горизонта в верхи сводного разреза среднекембрийских отложений северо-востока Центрального Казахстана и отнесения его к верхам сасыксорской толщи является состав трилобитовой фауны, на основании которой горизонт этот сопоставляется с самыми верхами среднего кембрия с зоной *Lejopige laevigata* в то время, как башкадульский горизонт сопоставляется с более низкими горизонтами этого отдела — с зоной *Paradoxides forchhamperi*.

Изучение трех наиболее полно охарактеризованных фауной разрезов торткудукской толщи в нижнем течении р. Селеты, в урочище Сатпак и в районе оз. Сасыксор позволяет наметить последовательность фаунистически охарактеризованных слоев в сводном разрезе этой толщи и выявить характерные особенности их вещественного состава (рис. 2).

*Куюндинские слои* залегают во всех этих разрезах в основании торткудукской толщи, непосредственно на базальных конгломератах или на пачке эфузивов небольшой мощности. В нижнем течении р. Селеты слои эти представлены разнообразными, передко оолитовыми, известняками и лишь в верхах появляются известковистые, плохо сортированные песчаники. В междуречье Оленты — Шидерты куюндинские слои состоят преимущественно из зеленовато-бурых известковистых песчаников и алевролитов. Известняки в этих разрезах играют подчиненную роль и либо залегают в виде линзообразных тел на различных уровнях разреза, либо сбрасывают тонкие прослои среди алевролитов в пизах этих слоев. Характерной особенностью куюндинских слоев является наличие линзообразных т.е. известковистых песчаников, переполненных разобщенными створками бivalvines. Мощность куюндинских слоев колеблется от 30 до 60 м.

*Селетинские слои* известны только в нижнем течении р. Селеты, где они залегают на куюндинских слоях. Представлены они массивными светлосерыми известняками и имеют мощность около 38 м.

*Лермонтовские слои* венчают разрез кембрийских отложений северо-востока Центрального Казахстана и залегают на селетинских слоях в нижнем течении р. Селеты и на куюндинских слоях в большинстве разрезов междуречья Оленты — Шидерты. Во всех этих разрезах они представлены массивными светлосерыми или розовыми известняками, светлосерыми плитчатыми известняками и тонким чередованием темносерых пелитоморфных известняков с зелеными песчаниками и алевролитами. Мощность лермонтовских слоев колеблется от 20 до 35 м. Верхняя часть этих слоев на основании появления представителей рода *Euloma* и других форм, не встречающихся в нижней части и характеризующих самые верхи кембрийских отложений, выделяется в шидертинский горизонт.

*Олентинские слои* известны только в междуречье Оленты — Шидерты, где они залегают в пизах пачки эфузивов и их туфов выше лермонтовских слоев или выше куюндинских в тех разрезах, в которых лермонтовские слои отсутствуют. Представлены они линзообразными телами розовых известняков и известковистых песчаников, в которых в той или иной степени наблюдается примесь туфового материала. Линзы эти имеют мощность от 1 до 4 м и располагаются на различных уровнях разреза в преде-

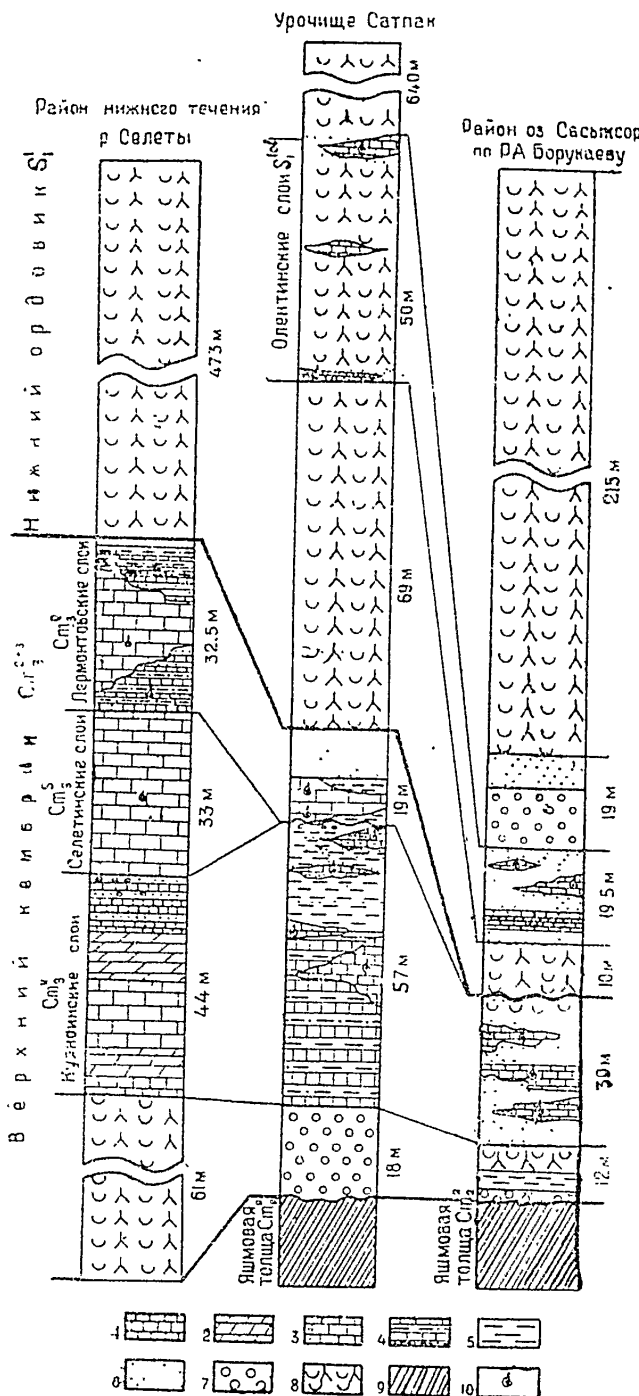


Рис. 2. Сопоставление стратиграфических колонок кембрия и нижнего ордовика района нижнего течения р. Селеты, урочища Сатпак и района оз. Сасыксор. Условные обозначения: 1—массивные известняки с прослойями ракушняков, 2—солитовые известняки, 3—известковистые песчаники и песчанистые известняки 4—пересланывание известняков, песчаников, алевролитов, 5—алевролиты с прослойями песчаников. 6—песчаники, 7—конгломераты, 8—туфы, туфопесчаники, прослон порфиритов.

лах пачки туфов, достигающей мощности 50 м. От нижележащих, фаунистически охарактеризованных слоев верхнего кембрия слои эти во всех разрезах отделяются пачкой туфов и немых песчаников, имеющей мощность 10—70 м.

Приуроченность в разрезе торткудукской толщи урочища Сатнак комплексов фауны лермонтовского и шидертинского фаунистических горизонтов, выделяющихся Р. А. Борукаевым и Н. К. Ившинным в качестве самостоятельных подразделений, равнозначных куяндинским, селетинским и олентинским слоям, к единой пачке пород мощностью 9—10 м, при значительном количестве общих форм, побуждает объединить эти горизонты в единые лермонтовские слои. При этом за верхней частью этих слоев, отличающейся присутствием *Euloma*, может быть сохранено название шидертинского горизонта, а за нижней с *Lotagnostus* и *Cyclognathia* — лермонтовского.

Все перечисленные слои (куяндинские, селетинские, лермонтовские и олентинские) содержат определенные комплексы фауны, сохраняющие свои особенности в различной литологической обстановке, что подтверждает правильность их выделения в качестве самостоятельных стратиграфических подразделений.

Брахиоподы пользуются в отложениях кембрия и нижнего ордовика северо-востока Центрального Казахстана широким распространением. В разрезах отдельных слоев (куяндинские слои) они нередко оказываются единственными органическими остатками, а в некоторых слоях они наиболее часто встречаются и легко коллекционируются (олентинские слои).

К настоящему времени монографически описаны следующие виды и формы брахиопод, происходящие из четырех разновозрастных горизонтов.

Из майданских слоев (*Cm<sup>m</sup>*<sub>2</sub>):

1. *Nisusia nasuta* sp. nov.
2. *Nisusia nasuta* var. *ramosa* var. et sp. nov.
3. *Nisusia* sp.
4. *Cambrotrophia mailanensis* sp. nov.

Из куяндинских слоев (*Cm<sup>k</sup>*<sub>..</sub>)

1. *Billingsella borukaevi* sp. nov.
2. *Billingsella coarta* sp. nov.
3. *Billingsella gigantea* (Gortani).
4. *Billingsella fluctuosa* sp. nov.
5. *Billingsella fluctuosa* var. *insignis* var. et sp. nov.
6. *Billingsella lingulaeformis* sp. nov.
7. *Billingsella lingulaeformis* var. *seletensis* var. et sp. nov.
8. *Billingsella pepina* (Hall).
9. *Billingsella shidertensis* sp. nov.
10. *Billingsella solidata* sp. nov.
11. *Billingsella salpakensis* sp. nov.
12. *Billingsella* sp.

Из лермонтовских слоев (*Cm<sup>l</sup>*<sub>3</sub>):

1. *Obolus* sp.
2. *Lingulella* cf. *mosia* (Hall)
3. *Billingsella aliena* sp. nov.

4. *Apheoorthis neglecta* sp. nov.
5. *Huenella bimaculata* sp. nov.

Из олентинских слоев ( $S_1^{1st}$ ) излов нижнего ордовика:

1. *Siphonotreta textilis* sp. nov.
2. *Apheoorthis ocha* (Walcott).
3. *Nanorthis hamburgensis* (Walcott).
4. *Palaeostrophia orthia* (Walcott).
5. *Glyptotrophia*? sp.
6. *Tetralobula latens* sp. nov.
7. *Clarkella nona* (Walcott).
8. *Clarkella supina* sp. nov.
9. *Clarkella supina* var. *turgida* var. et sp. nov.

Таким образом, изучаемые брахиоподы среднего, верхнего кембрия и нижнего ордовика представлены 21 видом (из числа которых 13 описываются впервые), четырьмя разновидностями и четырьмя формами, определенными только до рода. Распределяются они между восьмью семействами и десятью родами.

В целом фауна брахиопод отличается эндемичностью видового состава, особенно резко выраженной в отношении кембрийских брахиопод, которые представлены в подавляющем большинстве новыми видами. Комплекс нижнеордовикских брахиопод содержит, наряду с новыми видами, значительное количество видов, ранее известных.

Подотряд *Orthidea* среди брахиопод кембрия и нижнего ордовика северо-востока Центрального Казахстана представлен одним надсемейством *Orthacea*, в пределах которого род распределяется между семействами *Nisusidae*, *Billingsellidae* и *Orthidae*.

К семейству *Nisusidae* в изученной коллекции относится один род *Nisusia*. Наибольшим распространением представители этого рода пользуются в областях распространения тихоокеанских фаун в пределах Северной Америки. Первые представители этого рода появляются в верхах нижнего кембрия (формация Монт Уайт), а последние достоверные представители исчезают в конце среднего отдела этой системы, не подымаясь выше зоны *Olenoides—Orria—Marjunita*, верх которой сопоставляется Хоузеллом (1944) с зоной *Paradoxides davidi*, обобщенной шкалы кембрийских отложений Атлантической зоогеографической провинции. За пределами Северной Америки достоверные представители этого рода известны из излов среднего кембрия Минусинского края; и вполне вероятно, что к нему относятся некоторые формы, относившиеся ранее к роду *Jamesella sensu lato*, из нижнего кембрия Чехословакии и из среднего кембрия Испании.

Семейство *Billingsellidae* в описываемой коллекции представлено подсемейством *Billingsellinae*, включающим род *Billingsella*, и подсемейством *Eoorthinae* с родом *Apheoorthis*.

Род *Billingsella* представлен двумя ранее известными видами, семью новыми видами, двумя разновидностями некоторых из этих видов и одной формой, определенной только до рода. В отдельных разрезах куйяндинских слоев представители рода *Billingsella* являются единственными органическими остатками, образующими ракушняки. В вышележащем гермонитовском горизонте представители этого рода встречаются лишь в одном случае совместно с трилобитами в количестве четырех разрозненных створок, принадлежащих одному новому виду *Billingsella aliena*, не встреченному в куйяндинских слоях. Таким образом, из 12 описанных форм это-

го рода 11 встречаются в куяндинских слоях и лишь один вид встречен в лермонтовских.

За пределами Центрального Казахстана род *Billingsella* распространен исключительно в областях обитания фаун тихоокеанского типа. Вертикальное распространение этого рода ограничивается верхним кембрием, а все его достоверные представители, для которых в достаточной степени ясно положение в разрезе, не выходят за пределы средней части этого отряда. В Северной Америке все достоверные виды этого рода приурочены к ярусу франкония, а в Китае, Индокитае и Персии они встречаются в отложениях, которые сопоставляются также с этим ярусом (слои с *Plychaspis* и с *Chuangia*).

Второе подсемейство семейства *Billingsellidae* *Eoorthinae* в коллекции представлено двумя видами, относящимися к роду *Apheoorthis*. Географическое распространение этого рода ограничено областями обитания тихоокеанских фаун, при этом за пределами Северной Америки род *Apheoorthis* встречен впервые в Центральном Казахстане.

В отличие от рода *Billingsella*, род *Apheoorthis* пользуется широким вертикальным распространением, охватывая в североамериканских разрезах весь верхний кембрий и низы нижнего ордовика.

*Apheoorthis ochii* (Walcott) за пределами Центрального Казахстана распространен в нижнеордовиковых отложениях Северной Америки (свита Монс Британской Колумбии).

Семейство *Orthisidae* в описываемой коллекции представлено родом *Nanorthis* и одним видом этого рода *N. hamburgensis* (Walcott). Распространение рода *Nanorthis* ограничивается нижнеордовиковыми отложениями Северной Америки, Аргентины и Центрального Казахстана.

*N. hamburgensis* (Walcott) за пределами Центрального Казахстана распространен в формациях Маниту и Гудвин штатов Колорадо и Невада (США), т. е. в низах нижнеордовиковых отложений.

Подотряд *Syntrophioidea* в изученной коллекции представлен семействами *Eostrophiidae*, *Huenellidae*, *Tetralobulidae* и *Clarkellidae*.

Семейство *Eostrophiidae* представлено единственным, ранее известным родом *Cambrotrophia*. Единственный, ранее известный вид этого рода *C. cambria* (Walcott) распространен в низах среднего кембра Северной Америки (свита Ют штата Юта).

Семейство *Huenellidae* представлено родами *Huenella*, *Palaeostrophia* и, возможно, *Glyptotrophia*. Представители рода *Huenella* встречены в лермонтовских слоях, где они представлены одним видом *Huenella biplicata* sp. nov.

Род этот за пределами северо-востока Центрального Казахстана распространен в Северной Америке в областях нахождения фаун тихоокеанского типа и пользуется там широким вертикальным распространением, охватывая весь верхний кембрий. Возможно, отдельные представители этого рода в Северной Америке появляются еще в верхах среднего кембра (формация Стейт Олбанс штата Вермонт).

Род *Palaeostrophia* встречен на северо-востоке Центрального Казахстана в олентинских слоях, где он представлен одним видом *Palaeostrophia orthia* (Walcott). Вид этот за пределами Центрального Казахстана встречен в верхнекембрейских отложениях Китая.

Вертикальное распространение рода *Palaeostrophia* в Северной Америке, откуда известно наибольшее количество видов этого рода, охватывает весь верхний кембрий и низы нижнего ордовика (гасконейдские отложения). При этом необходимо отметить, что подавляющее большинство видов этого рода не выходит за пределы верхнего кембра, и лишь

два вида распространены в низах нижнего ордовика. В число этих двух видов входит и *Palaeostrophia orthia* (Walcott), которая раньше была известна только из верхнекембрийских отложений. Географическое распространение рода *Palaeostrophia* ограничивается областями распространения фауны тихоокеанского типа.

Род *Glyptotrophia* в коллекции представлен одной формой, условно отнесенной к этому роду. За пределами Центрального Казахстана род этот распространен в Северной Америке в пределах низов нижнего ордовика (гасконейдские отложения).

Семейство *Tetralobulidae* в коллекции представлено одним родом *Tetralobula* и одним видом этого рода *T. latens* sp. nov. За пределами Центрального Казахстана род *Tetralobula* распространен в Северной Америке, где он встречается в низах нижнего ордовика (гасконейдские отложения).

Семейство *Clarkellidae* представлено в коллекции одним родом *Clarkella*. Все представители этого рода—*C. nona* (Walcott), *C. supina* sp. nov., *C. supina* var. *turgida* var. et sp. nov.—распространены исключительно в нижнеордовикских-олентинских слоях. Формы эти составляют основную массу фауны этих слоев, переполняя известняки.

За пределами Центрального Казахстана род *Clarkella* распространен в Северной Америке, где вертикальное распространение этого рода ограничивается низами нижнего ордовика (гасконейдские отложения) и встречен в нижнеордовикских отложениях Южной Кореи.

Наличие в среднем кембрии Центрального Казахстана представителей семейств *Nisusidae* и *Eostrophiidae*, многообразие рода *Billingsella* в верхнем кембрии, при наличии верхнекембрийских представителей *Syntrophoidea* (*Huenella*), а также таких родов, как *Aphcoorthis*, многообразие *Syntrophoidea* в нижнем ордовике, при наличии представителей родов *Aphcoorthis* и *Nanorthis*, наконец, полное отсутствие атлантических элементов, свидетельствуют о резко выраженному тихоокеанскому типе описываемой фауны.

Выводы о возрасте слоев, содержащих брахиоподовую фауну, на северо-востоке Центрального Казахстана сводятся к следующему:

1. Возраст майданских слоев по фауне брахиопод определяется наличием в этих отложениях таких родов, как *Nisusia* и *Cambrotrophia*. Первый род распространен от верхов нижнего кембрия включительно до зоны *Olenoides*—*Orria*—*Marjumia* среднего кембрия Северной Америки. Верхи этой зоны сопоставляются с зоной *Paradoxides davidis* обобщенной шкалы кембрийских отложений Атлантической зоогеографической провинции. Единственный из известных ранее видов рода *Cambrotrophia* и близкий к новому виду, встреченному в майданских слоях, известен из свиты ЙОт штата Юта (США). Свита эта сопоставляется с зоной *Glossopleura*—*Kootenia* обобщенной шкалы кембрийских отложений Северной Америки. Зона эта является четвертой (снизу) зоной в обобщенной шкале среднекембрийских отложений Северной Америки и входит в число нижних пяти зон, которые не находят себе аналогов в обобщенной шкале среднекембрийских отложений Атлантической зоогеографической провинции, соответствующая перерыву между зонами *Paradoxides oelandicus* (низы *Cm*<sub>2</sub>) и зоной *Protolenus* (верхи *Cm*<sub>1</sub>).

Вышеприведенные данные дают основание полагать, что майданские слои относятся к низам среднего кембрия, не моложе зоны *Olenoides*—*Orria*—*Marjumia* и соответственно не моложе зоны *Paradoxides davidis*. Данные эти находятся в полном соответствии с результатами анализа грилобитовых фаун (по данным Н. К. Ившина), на основании которого

майданские слои сопоставляются с низами зоны *Paradoxides tessini* или с некоторой частью зоны *P. oelandicus* обобщенной шкалы среднекембрийских отложений Атлантической зоогеографической провинции.

2. *Куяндинские слои*. Комплекс брахиопод этих слоев не отличается разнообразием и представлен одним родом *Billingsella*. Однако род этот в куяндинских слоях достигает исключительного разнообразия и обилия. В наиболее хорошо изученных разрезах верхнекембрийских отложений, в которых распространены представители рода *Billingsella*, в Северной Америке (штаты Монтана и Техас), в Вьетнаме (Тонкин) и в Персии вертикальное распространение этого рода ограничивается, главным образом, средней частью этого отдела, соответствующей франконскому ярусу Северной Америки. При этом, именно в этих отложениях, род *Billingsella* достигает наибольшего разнообразия и обилия (билингселловые слои). В смежных с франконским ярусом нижне- и вышележащих отложениях, если и встречаются отдельные представители этого рода, то они обычно представлены единичными видами и экземплярами, а во многих случаях либо их принадлежность к роду *Billingsella* остается неясной, либо стратиграфическое положение не вполне обосновано (хребет Каракорум, Южный Урал).

Таким образом, исключительное разнообразие и обилие представителей рода *Billingsella* в куяндинских слоях свидетельствует о принадлежности этих отложений к средней части верхнекембрийского отдела, сопоставимой с франконским ярусом Северной Америки. Наконец, принадлежность куяндинских слоев к средней части верхнего кембрая вполне согласуется с их стратиграфическим положением, поскольку они согласно перекрываются селетинскими слоями с *Irvingella*, которые, по данным Н. К. Ившина, сопоставляются с верхами зоны *Leptoplastus* Атлантической зоогеографической провинции и с верхами франконского яруса Северной Америки.

3. Брахиоподы, встреченные в лермонтовских слоях, указывают на верхнекембрийский возраст и не дают каких-либо оснований для уточнения возраста этих отложений внутри данного отдела. *Obolus*, *Lingulella* и рода *Apheoornthis*, *Huenella*, представленные новыми видами, пользуются широким вертикальным распространением в пределах всего верхнего кембрая. Наличие рода *Billingsella* в этих отложениях, представленного видом, отличным от встречающихся в нижележащих слоях, может служить указанием на близость возраста лермонтовских и куяндинских слоев и не является основанием для выводов о возрасте этого горизонта, поскольку вид этот встречается исключительно редко в отложениях лермонтовских слоев и представлен единственными экземплярами.

4. *Олентинские слои*, как уже было отмечено, содержат резко отличную от нижележащих слоев фауну брахиопод, представленную типичным гасконейдским (верхнеозаркским, по Ульриху и Куперу) комплексом низов нижнего ордовика. Из числа встреченных в этих отложениях родов рода *Clarkella*, *Nanorthis*, *Glyptotrophia* не известны из отложений более древних, чем низы нижнего ордовика (гасконейдские отложения), Лишь один вид рода *Tetralobula* встречен в верхах верхнего кембрая. Род *Nanorthis* представлен в олентинских слоях ранее известным видом *Nanorthis. hamburgensis* (Walcott), распространенным только в гасконейдских отложениях (свиты Маниту и Гудвин штатов Колорадо и Невада). Род *Clarkella*, помимо Северной Америки, известен из нижнеордовикских отложений Южной Кореи, где так называемые кларкелловые слои так же относятся к нижнему ордовику. При этом необходимо отметить, что из двух видов рода *Clarkella*, встречающихся в олентинских слоях,

один вид *C. popa* (Walcott) является ранее известным из свиты Монс провинции Альберта (Канада).

Наконец, помимо перечисленных родов, в олентинских слоях встречаются два рода — *Palaeostrophia* и *Apheoorthis*, известные как из гасконейских отложений Северной Америки, так и из верхнекембрийских отложений тихоокеанской зоогеографической провинции.

Из числа этих родов род *Apheoorthis* представлен в олентинских слоях единственным видом *A. ocha* (Walcott), распространенным в провинции Британская Колумбия (Канада) в свите Монс и неизвестным как в более молодых, так и в более древних отложениях.

*Palaeostrophia orthia* (Walcott) за пределами северо-востока Центрального Казахстана известна только из отложений верхнего кембрая Кигая (западный Шаньдунь). Вертикальное распространение рода *Palaeostrophia* в других разрезах не ограничивается верхним кембriем, и отдельные представители этого рода встречены в низах нижнего ордовика Северной Америки в свите Монс провинции Альберта (Канада) и в свите Гудвин штата Невада (США); следовательно, наличие представителя этого рода в олентинских слоях не противоречит их нижнеордовицкому возрасту.

Кроме упомянутых родов, в олентинских слоях встречен род *Siphonopelta*, распространенный, главным образом, в нижнеордовикских отложениях Европы.

Таким образом, наличие в олентинских слоях шести родов из 13, распространенных в гасконейских отложениях Северной Америки, и трех общих видов дает полное основание относить олентинские слои к нижнему ордовику, сопоставляя их с гасконейскими отложениями.

Выводы о нижнеордовиковом возрасте олентинских слоев хорошо согласуются с результатами, полученными Н. К. Ившиным на основании анализа трилобитовой фауны этих слоев. При этом необходимо отметить, что, в отличие от комплекса брахиопод, трилобитовая фауна олентинских слоев представлена в основном родами и видами, свойственными цератопигиевым слоям Швеции и tremadокскому ярусу Англии, что и дает основание для сопоставления олентинских слоев с европейскими разрезами.

Таким образом, сочетание в единых олентинских слоях резко выраженного гасконейского (верхнеозарского, по Ульриху и Куперу) комплекса брахиоподовой фауны с tremadокским и цератопигиевым комплексом трилобитов дает полное основание для сопоставления этих слоев, с одной стороны, с гасконейским ярусом Северной Америки, с другой — с tremadокским ярусом и цератопигиевыми слоями Западной Европы.

Обстоятельство это приобретает особое значение в связи с тем, что вопрос о сопоставлении нижнеордовикских отложений Северной Америки с европейскими в течение длительного времени являлся дискуссионным, а резко выраженная эндемичность нижнеордовикских и частично верхнекембрийских, так называемых озарских, фаун Северной Америки служила основанием для выделения самостоятельной озарской системы.

Изученные брахиоподы кембрая северо-востока Центрального Казахстана не дают каких-либо оснований для сопоставлений с другими фаунистически охарактеризованными разрезами в пределах Казахстана, поскольку брахиоподы в этих разрезах по настоящее время остаются совершенно не изученными. В нижнеордовикских отложениях комплекс брахиопод, близкий по составу олентинским слоям, встречен в tremadокских отложениях хребта Кандыктас. По данным Т. Б. Рукавишниковой, в этих отложениях встречены такие характерные для олентинских слоев рода,

как *Clarkella*, *Teitralobulus*, *Nanorthis*. Однако роды эти в тремадокских отложениях хребта Каңдыктас представлены иными видами, чем на северо-востоке Центрального Казахстана.

Все слои, содержащие брахиоподовую фауну кембрия и нижнего ордовика, на северо-востоке Центрального Казахстана обладают определенным комплексом общих черт, указывающих на мелководность этих осадков. Тем не менее, для каждого из этих слоев и для отдельных литологических и фаунистических комплексов представляется возможным заметить свои специфические черты, обусловленные особенностями фациальной обстановки, предопределившей распределение фауны в разрезе этих отложений. Майданские слои в разрезе яшмовой толщи представлены рифовыми известняками. Куюндинские слои отлагались в условиях трансгрессирующего морского бассейна, что обусловило сложную картину и многообразие различных фаций, связанное с недостаточно выровненным рельефом морского дна.

Наиболее характерными осадками среди этих отложений являются биллингселловые косослоистые известковистые песчаники, бурые трилобитовые известковистые песчаники, оолитовые известняки с *Billingsella*.

Линзы известковистых песчаников с биллингселями представляли собой в момент их образования банки, населенные одним, реже несколькими видами биллингселя. Бурые трилобитовые известковистые песчаники отлагались в мелководной обстановке на участке со спокойным водным режимом. Образование оолитовых известняков с биллингселями связано с достаточною подвижной водной средой в мелководных условиях. Биллингселя в рассматриваемых слоях, как правило, оказываются приуроченными к осадкам, образование которых связано с подвижной водной средой в зонах волноприбойной деятельности или на тех участках морского дна, где существовали донные течения.

Среди отложений первомитовских слоев выделяются трилобитовые, темные пелитоморфные известняки, переслаивающиеся с песчаниками и алевролитами, которые также несут признаки, указывающие на подвижность водной среды, и, наконец, слоистые песчанистые известняки, образовавшиеся в мелководных участках морского дна со спокойным водным режимом.

Основная масса известняков олентинских слоев наиболее вероятно образовалась на отдельных участках мелководного морского бассейна с достаточною спокойным водным режимом, защищенных от привноса значительных количеств терригениного и пирокластического материала.

Изучение брахиопод кембрийских и нижнеордовикских отложений северо-востока Центрального Казахстана показывает, что группа эта, хотя и уступает основной руководящей группе кембрия — трилобитам, по точности датировки геологического времени может быть с успехом использована не только для параллелизации разрезов внутри отдельных регионов, но и для сопоставлений с достаточно удаленными опорными разрезами кембрия и нижнего ордовика.

#### ЛИТЕРАТУРА

- Борукаев Р. А. 1948 К стратиграфии нижнего палеозоя северо-востока Казахстана. Известия АН КазССР, серия геологическая, вып. 9.
- Борукаев Р. А., Ишин Н. К. 1952. Средний кембрий Казахстана. Известия АН КазССР, серия геологическая, вып. 15.
- Борукаев Р. А. 1953. Формации допалеозоя и нижнего палеозоя северо-востока Центрального Казахстана. Известия АН КазССР, серия геологическая, вып. 17.
- Ишин Н. К. 1950 Майданский фаунистический горизонт среднего кембрия Казахстана. Известия АН КазССР, серия геологическая, вып. 14.

5. Ившин Н. К. 1952. Среднекембрийские трилобиты Башкекуля (Северо-Восточный Казахстан). Изд. АН КазССР.
6. Ившин Н. К. 1953. Куяндинский фаунистический горизонт верхнего кембрия: междуречья Оленты—Шидерты. Известия АН КазССР, серия геологическая, вып. 16.
7. Bell C. 1941. Cambrian Brachiopoda from Montana. Journ. Paleont. Vol 15, № 3.
8. Howell B. F. (Chairman). 1944. Correlation of the Cambrian Formations of North America. Bull. Geol. Soc. America. Vol. 55, № 8.
9. Howell B. F. 1947. Cambrian Correlation between China and North America. Bull. Geol. Soc. China, vol. 27.
10. Kobayashi T. 1934. The Cambro-Ordovician Formations and Faunas of South Chosen. Pt. 2—Lower. Ordovician Faunas. Journ. Fac. Sci. Imp. Un. Tokyo. Sect. 2, vol. 3, pt. 9.
11. Kobayashi T. 1935. The Cambro-Ordovician Formations and Faunas of South Chosen. Pt. 3—Cambrian Faunas of South Chosen. Journ. Fac. Sci. Imp. Un. Tokyo. Sect. 2, vol. 4, pt. 2.
12. Kobayashi T. 1936. Three Contributions to the Cambro-Ordovician Faunas. Japanese Journ. of Geol. Geogr., vol. 13, № 1—2.
13. Mansuy H. 1916. Faunes Cambriennes de l'Extrême-Orient Meridional. Mem. du Serv. Geol. de l'Indochine. Vol. 5, fasc. 1.
14. Twenhofel W. H. 1954. Correlation of the Ordovician Formations of North America. Bull. Geol. Soc. America. Vol. 65, № 3.
15. Ulrich E. O., Cooper G. A. 1938. Ozarkian and Canadian Brachiopoda. Geol. Soc. America. Special Papers, № 13.
16. Walcott Ch. 1912. Cambrian Brachiopoda. U. S. Geol. Survey. Mon. 51, pt. 1—2.
17. Walcott Ch. 1924. Cambrian and Ozarkian Brachiopoda. Smith. Miss. Col. Vol. 67, № 9.

## РЕЗЮМЕ

Макалада Орталық Қазақстан, солтүстік-күншығыс жак даласындағы брахиопод фауналарын зерттеуіне негіздел, орта, жоғарғы кембрій және төмсігі ордовик шөгінділерін сынапттайтын фауналық 9 комплекс жіктелген. Автор осымен қабат кембрій және ордовик шөгінділерін жіктеуде брахиоподты көрнекті мөлімет ретінде пайдалануға мұмкіншілік бар екендігін айтады.

## ИЗВЕСТИЯ

АКАДЕМИИ НАУК КАЗАХСКОЙ ССР

1956

Серия геологическая

Вып. 22

Ж. СЫДЫКОВ и В. А. СТРЕЛЬНИКОВА

**ФОРМИРОВАНИЕ ПОДЗЕМНЫХ ВОД РАЙОНА КАРАТАУ  
(МАНГЫШЛАК)**

Одним из важных факторов, облегчающих проведение разведочно-эксплуатационных работ, способствующих широкому использованию подземных вод, является выяснение условий их формирования. В настоящей статье на основании полученных за последние годы данных приводятся некоторые соображения об условиях формирования подземных вод одной из засушливых пустынь Казахстана — района Карагандинских гор — и значение их в решении вопросов сельскохозяйственного водоснабжения.

Район Карагандинских гор представляет собой наиболее приподнятую часть Арабо-Каспийской низменности. Поверхность его сильно расчленена эрозионной деятельностью временных водотоков и процессами пустынной денудации. Крупными геоморфологическими единицами района являются хребты Карагату, Северный и Южный Актау, вытянутые параллельно и разделенные продольными долинами (фиг. 1).

Горные массивы, особенно Актауские горы, почти повсеместно разбиты многочисленными, сравнительно короткими саями, местами принимающими вид каньонообразных долин. В нескольких местах Актауские горы прорезаются узкими сквозными долинами — воротами (местное название их — «капы»). По этим многочисленным долинам весной во время интенсивного таяния снега и летом при выпадении обильных дождей образуются временные водотоки с пресной водой.

Район сложен отложениями разного возраста. Наиболее древними отложениями является так называемый карагатуский комплекс метаморфических пород пермо-триаса, слагающий центральную часть района — хребет Карагату. По своему литологическому составу комплекс представлен сланцами, алевролитами, аргиллитами, песчаниками, реже — известняками и конгломератами. Карагатуский комплекс пород перекрывается юрскими пестроцветными отложениями (глиниами, песчаниками, сланцами и аргиллитами), имеющими неповсеместное распространение. Весь этот комплекс собран в сложные складки и осложнен сбросо-сдвигами и надвигами. Последние особенно широко развиты на южном склоне хребта Карагату и местами имеют значительное протяжение (более 100 км) с амплитудой смещения до 2000 м. Повсюду вдоль сбросо-сдвигов и надвигов образуются зоны дробления шириной от 3—5 до 10—15 м.

Межгорные долины сложены мощной толщей (более 700 м) песчано-глинистых отложений нижнего мела и сеномана. Гряды Северного и Южного Актау, представляющие крылья крупной Актауско-Карагатуской антиклинали и обрамляющие Северную и Южную межгорные долины, сложены известняками, мергелями и песчаниками верхнего мела, палеогеном и неогеном, общей мощностью до 500 м. Тектонические дислокации

п. 22  
чно-  
под-  
щей  
ятся  
дной  
наче-  
ятую  
тенс-  
тыни-  
яв-  
рал-  
аз-  
инни-  
ские  
наз-  
ремя  
й об-

проявлены здесь несколько слабее, чем в нижележащих отложениях. Они представлены в виде более или менее пологих структур без нарушения сплошности среды.

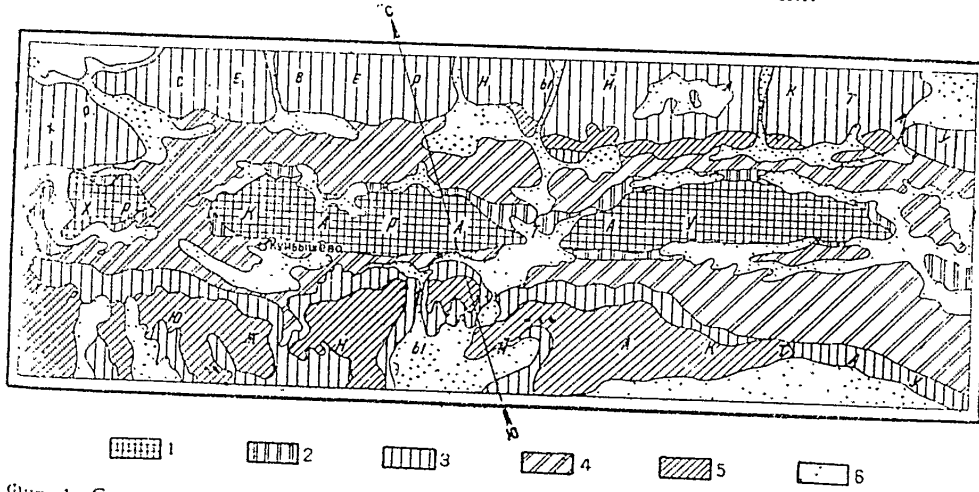
Среди четвертичных отложений значительным распространением пользуются делювиально-пролювиальные отложения конусов выноса Карагатуских массивов (мощностью до 30 м) и пролювиальные отложения коротких оврагов и ущелий. Пролювиальные образования заполняют также наиболее пониженные участки распространения альб-сеноманских отложений межгорных долин. Мощность их достигает 10 м. Отдельные участки Южной межгорной долины покрыты эоловыми песками.

### Подземные воды

Разнообразие физико-географических и геолого-структурных условий района обуславливает и разнообразие в залегании и движении подземных вод. В метаморфизованных толщах пермо-триаса, независимо от характера слагающих их отложений, водоносность определяется их трещиноватостью. В песчано-глинистых отложениях юры, нижнего мела и сеномана подземные воды циркулируют в пористых и трещиноватых песчаниках. Водоносные горизонты здесь или изолированы друг от друга водоупорными пластами или образуют систему взаимосвязанных горизонтов (подземные воды альб-сеноманских отложений). В карбонатных же породах верхнего мела и третичной системы подземные воды залегают в пластиах трещиноватых, пористых и кавернозных разностях известняков, мергелей и отчасти песчаников.

По условиям залегания и циркуляции в пределах описываемой территории можно выделить следующие типы подземных вод (фиг. 1):

- 1) трещинные воды, циркулирующие по трещинам метаморфических пород пермо-триаса;
- 2) пластово-трещинные воды, залегающие в юрских, сенондатских и палеогеновых отложениях;
- 3) пластово-поровые воды, залегающие в альб-сеноманских и неогеновых отложениях;
- 4) поровые (грунтовые) воды четвертичных отложений.



Фиг. 1 Схематическая карта типов подземных вод района Карагату. Условные обозначения 1 — трещинные воды пермо-триасовых отложений, 2 — пластово-трещинные воды юрских отложений, 3 — пластово-трещинные воды сенондатских и палеогеновых отложений, 4 — пластово-поровые воды альб-сеноманских отложений, 5 — пластово-поровые воды неогеновых отложений, 6 — поровые (грунтовые) воды четвертичных отложений.  
8 - 344

Мощные толщи пермо-триаса в значительной степени метаморфизованы и уплотнены, вследствие чего сами по себе не водоносны. Однако в силу широкого развития в них трещин как регионального, так и локального характера (надвиги, сбросо-сдвиги), образующих местами обширные зоны дробления пород, обусловливают распространение в них подземных вод трещинного типа. При этом трещины регионального характера, пользующиеся широким площадным распространением, играют большую роль в поглощении атмосферных осадков и определении направления динамики подземных вод в недрах пермо-триасового комплекса. Но в силу ограниченности общего объема пустот, обусловленных трещиноватостью пород, в них не могут аккумулироваться значительные запасы подземных вод. Они служат, главным образом, путями поглощения атмосферных осадков и передачи воды в систему более крупных коллекторов и к местам разгрузки. Сосредоточение и накопление значительного запаса подземных вод, перераспределение их по подземным водосборным бассейнам и вывод их на поверхность осуществляется локальными трещинами и зонами дробления. Размеры и характер раскрытия последних неодинаковы в пределах даже небольшого участка. В результате этого дебиты источников, выходящих из трещин, имеют широкий диапазон колебания (от десятых долей до 10 литров в секунду).

Активная циркуляция и водообмен в каратауских породах происходит, в основном, в верхней наиболее выветрелой зоне. Глубина распространения этой зоны, по данным бурения, изменяется в пределах 150—200 м. По мере увеличения глубины трещины сильно сужаются и породы становятся практически безводными. Поэтому можно полагать, что между отдельными массивами Каратау ввиду погружения пород пермо-триаса в пределах поперечных долин до глубины 500—700 м не происходит непосредственного водообмена. На такой глубине вряд ли могут существовать открытыe трещины даже типа тектонических разломов, способствующие циркуляции подземных вод из зоны одного массива в другой. Однако утверждение об ограниченности водообмена между отдельными массивами Каратау не является отрицанием существования подземного стока вообще. Трещинные воды пермо-триаса, пополняя свои запасы за счет выпадающих атмосферных осадков на площади выхода пород пермо-триаса, движутся по системе различного рода трещин в сторону краевых юрских и меловых отложений.

Пластово-трещинные воды обычно приурочены к юрским трещиноватым сланцам, песчаникам и алевролитам. Однако ограниченность площади распространения этих отложений и слабая водопроницаемость значительной части их разреза обусловливают общую слабую водоносность этих отложений (дебиты источников варьируют в пределах от сотых долей до 1—2 л/сек.). К тому же водоносные горизонты юрских отложений не выдержаны по простираннию вследствие резкой фациальной изменчивости пород. Пополнение запасов подземных вод, кроме основного источника питания — атмосферных осадков, происходит и за счет подпитывания трещинными водами пермо-триаса по тектоническим нарушениям и kontaktам.

Пластово-трещинный тип вод встречается также в сенонских, датских и палеогеновых (преимущественно в палеоценовых и эоценовых) трещиноватых известняках, мергелях и реже — в писчем мелу. Циркуляция подземных вод в этих отложениях осуществляется по трещинам и порам. Дренируются они в бортах сквозных долин и коротких оврагов или же вскрываются колодцами. Дебиты источников и колодцев колеблются в пределах от 0,1 до 1—2 л/сек.

## Формирование подземных вод района Карагату

115

Трещиноватость пород, обуславливающая водоносность этого комплекса отложений (особенно сенона и эоцена), связана в основном с процессами выветривания. Поэтому ею охвачены лишь поверхностные слои комплекса и в зависимости от литологического состава пород она в одних слоях развита более интенсивно, в других — менее. Этим и объясняется значительная вариация и низкая водообильность пород в целом.

Среди пластово-поровых вод наибольший практический интерес как в количественном, так и в качественном отношении представляют воды песчаников и песков альб-сеномана (точнее — верхнего альба и сеномана) и известняков неогена. Остальные разновидности этого типа вод, приуроченные, в частности, к песчаным слоям и линзам нижнего неокома, нижнего альба, отчасти олигоцена и нижнего неогена, имеют узко-локальное распространение, как правило, с небольшой производительностью. Следует отметить, что выделение в верхнеальбских и сеноманских толщах самостоятельных водоносных горизонтов в условиях описываемого района в некотором отношении является условным, так как водоносные горизонты в этих отложениях гидравлически тесно связаны между собой. Кроме того, песчаные отложения верхнего альба без особых фациальных изменений переходят в сеноманские, образуя единый альб-сеноманский водоносный горизонт. В настоящее время наихудшими колебаниями с производительностью до 2—3 л/сек. вскрыта лишь верхняя часть этого горизонта.

Большая площадь распространения альб-сеноманских отложений в условиях сильной расчлененности рельефа и значительной мощности их водоносной части при наличии ряда мульдообразных структур способствуют образованию в них мощного горизонта артезианских вод со сравнительно высокой производительностью.

Подземные воды в неогеновых отложениях заключены в сильно пористых ракушечных, оолитовых, кавернозных известняках, мергелях и песчаниках. Непостоянство фациального состава этих отложений по профилю и по вертикали обуславливает невыдержанность водоносного пласта и различие его водообильности на различных участках. Неблагоприятными факторами образования мощных водоносных горизонтов являются также локальное залегание этих отложений, большая дренированность их краевыми обрывами и глубокими ущельями. Поэтому дебиты водонисточников обычно колеблются в пределах десятых долей литров в секунду, реже — до 1 л/сек. и непостоянны по сезонам года. Воды неогеновых отложений в большинстве случаев являются солоноватыми.

*Поровые (грунтовые) воды* приурочены, главным образом, к щебинисто-гравелистым и песчано-суглинистым отложениям предгорного шлейфа Карагатуского массива. Пополняя свои запасы за счет выпадающих атмосферных осадков и дренирующихся трещинных вод пермо-триаса, эти воды имеют свободный уровень. Только в местах, где водоносный слой перекрывается линзами суглинков и глин, возникает местный напор. Источники, выходящие из-под таких водоупоров, иногда носят восходящий характер. Воды предгорных шлейфов характеризуются значительной пестротой как в количественном, так и в качественном отношении. Дебиты водонисточников колеблются в пределах от сотых долей до 3—5 л/сек., а качество воды изменяется от самых пресных до слабо соленых.

Водоносными являются также песчано-галечниковые отложения временных потоков коротких саев и ущелий Актауских гор. Мощность этих отложений, особенно в пределах Южного Актау, достигает 10—15 м. Производительность потока по профилю составляет несколько литров в секунду. Пролювиальные отложения, покрывающие древние породы в

межгорных долинах, не содержат сколько-нибудь значительных водоносных горизонтов. Ввиду отсутствия подстилающих водоупорных слоев они скорее всего служат фильтрующей средой для атмосферных вод и способствуют обогащению их легкорастворимыми солями.

#### Условия формирования подземных вод

Важное место в выяснении условий формирования занимают вопросы об источниках и областях питания подземных вод, изменение их минерализации и химического состава.

Решающее значение в питании подземных вод района, как показали исследования, имеют атмосферные осадки и отчасти поверхностные воды временных потоков. Основной областью питания подземных вод являются массивы Карагатау.

Сильная трещиноватость пермо-триасовых отложений Карагатау и высокая степень расчлененности рельефа способствуют просачиванию значительной части атмосферных осадков, выпадающих зимой и ранней весной, и их циркуляции в верхней, сильно трещиноватой зоне. Циркуляция подземных вод происходит на небольшой глубине, о чем свидетельствует, в частности, режим температуры воды источников. В летнее время температура их варьирует в пределах от 11 до 27° при колебании температуры воздуха от 15 до 45°. Крупные дизъюнктивные нарушения, являющиеся прекрасными проводниками атмосферных вод, в режим температуры источников никаких изменений не вносят. Подземные воды, циркулирующие по ним, также носят явные признаки неглубокой циркуляции.

Влияние климата сказывается и на режиме расхода источников. Весной, в период снеготаяния, расходы их сильно возрастают, а летом и к началу осени значительно сокращаются. Так, например, один из источников у поселка Куйбышево в мае 1940 г. имел расход 20 л/сек., а к сентябрю того же года расход сократился до 6,5 л/сек., т. е. в три раза. Аналогичная картина наблюдалась и в источнике, расположенному у пос. Түщебек (колебание расхода соответственно — от 26 до 8 л/сек.).

Подземные воды, циркулирующие в отложениях пермо-триаса, разгружаются у подножья горных массивов в виде исходящих и восходящих источников. Разгрузка охватывает лишь небольшую часть запаса трещинных вод. Об этом можно судить хотя бы по тому, что среднегодовая производительность всех источников, выходящих в пределах Карагатау, не превышает 120 л/сек., что составляет менее 15% от общей суммы динамических запасов трещинных вод пермо-триаса. Запасы трещинных вод не могли расходоваться также на сток в глубокие зоны пермо-триаса вследствие затухания с глубиной трещиноватости пород. Поэтому можно полагать, что основная их масса идет на питание и пополнение запасов подземных вод межгорных долин (юрских и альб-сеноманских, отчасти неокомских водоносных горизонтов). Об этом свидетельствует наличие щелочных вод, характерных для трещинных вод пермо-триаса, в некоторых частях водоносных горизонтов межгорных долин.

Фильтрационные свойства пород, обуславливающие движение трещинных вод в сторону межгорных долин, различные. Благодаря наличию ряда водоупорных участков, слоев и линз движение подземных вод происходит не сплошным потоком, а по отдельным секторам, разделяясь на отдельные водопроницаемые горизонты и обтекая водоупорные зоны или переливаясь через них. Этим, очевидно, и объясняется отсутствие признаков участия трещинных вод пермо-триаса в формировании под-

У  
зе  
3-  
кы  
8-  
по  
12  
13  
14  
  
ни  
чес

## Формирование подземных вод района Карагату

117

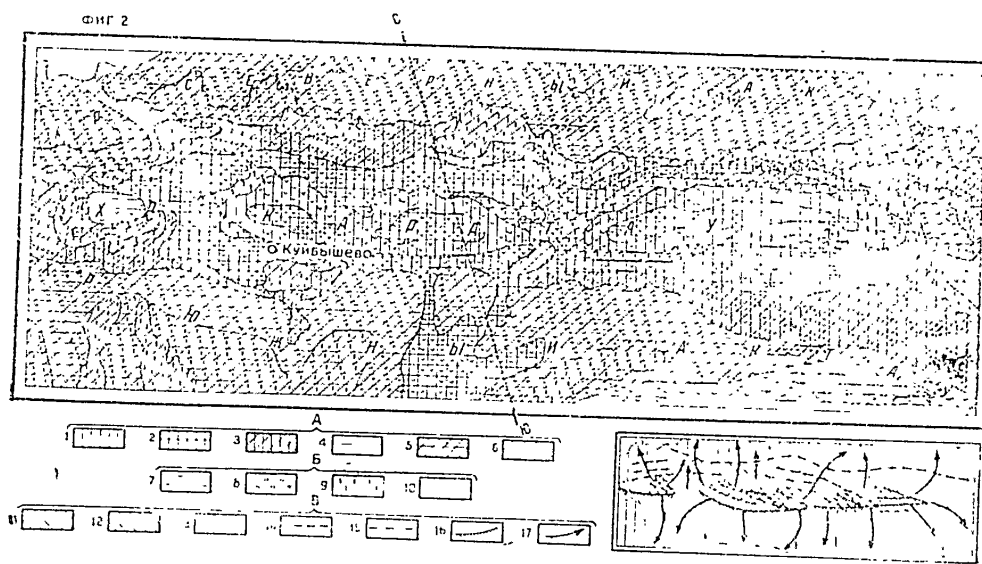
одонос-  
оев они  
и спо-  
  
вопро-  
их ми-  
  
оказали  
ые воды  
являют-  
  
атау и  
наванию  
ранней  
Цирку-  
свиде-  
В летнее  
лебани  
ушения,  
режим  
ые воды,  
й цирку-  
  
очников.  
еем и к  
источни-  
ка к сен-  
за. Ана-  
ти у пос.  
  
аса, раз-  
восходя-  
запаса  
едногодо-  
Карагату,  
уммы ди-  
ещинных  
ло-триаса  
у можно  
запасов  
отчасти  
наличие  
в неко-  
  
ение тре-  
аря нали-  
мых вод  
азделяясь  
ные зоны  
отсутствие  
ния под-

земных вод юры, неокома и нижнего альба, изолированных от первых мощными водоупорными отложениями.

Таким образом, всю площадь распространения пермо-триасовых отложений можно рассматривать как главную область питания не только собственно трещинных вод Карагату, но и вместе с тем водоносных пород, слагающих межгорные долины (преимущественно альб-сеноманские воды).

Территория межгорных долин является, главным образом, дополнительной областью питания для альб-сеноманских вод. Собственные области питания имеют также гипсометрически выше расположенные верхнемеловые (без сеномана), третичные отложения и разветвляемые несущие массивы.

Распределение областей питания и основные направления движения подземных вод в районе Карагатуских гор изображены на схеме формирования подземных вод (фиг. 2а). Соответствующими знаками на схеме показаны главные зоны разломов и дробления, а также тектонические структуры, обуславливающие движение и места накопления подземных вод в толще различных отложений.



Фиг. 2 Схематическая карта минерализации и химического состава подземных вод района Карагату.

Фиг. 2а Схема формирования подземных вод района Карагату.  
Условные обозначения. А и Б — к фиг. 2, В — к фиг. 2а. А — химический состав подземных вод: 1 — гидрокарбонатные воды, 2 — сульфатно-гидрокарбонатные воды, 3 — хлоридно-гидрокарбонатные воды, 4 — сульфатные воды, 5 — хлоридно-сульфатные воды, 6 — хлоридные воды; Б — минерализация подземных вод (в г/л), 7 — до 3; 8 — от 3 до 5, 9 — от 5 до 10, 10 — более 10, В — условия формирования и движения подземных вод. 11 — область питания подземных вод пермо-триасовых отложений, 12 — область питания подземных вод верхнего мела и третичных отложений, 13 — область питания подземных вод верхнего мела и третичных отложений, 14 — оси антиклиналей, 15 — оси синклиналей, 16 — главнейшие тектонические разломы, 17 — направление движения подземных вод.

В выяснении условий формирования подземных вод большое значение имеют их минерализация и химический состав.

Из схематической карты (фиг. 2) видно, что минерализация и химический состав подземных вод закономерно изменяются в направлении от

18

## Ж. СЫДЫКОВ и В. А. СТРЕЛЬНИКОВА

наиболее приподнятой и раскрытой площади (областей питания) к наиболее погруженной части (областей циркуляции и стока).

Как было отмечено выше, основной областью питания подземных вод района являются массивы Карагату. Воды здесь отличаются в целом сравнительно низкой минерализацией. Источники, выходящие непосредственно из трещин пермо-триасовых пород, обычно имеют минерализацию от 300—400 до 900 мг/л сухого остатка и общую жесткость от 2—3 до 7—8 мг-экв./л (т. е. от 5,6—8,4 до 19,6—22,4 нем. градусов). При прохождении этих вод через делювиальный покров коротких оврагов минерализация их несколько повышается, достигая 2—3 г/л. По солевому составу в пределах Карагатуских гор широким распространением пользуются воды с гидрокарбонатным типом минерализации, образовавшиеся в результате просачивания атмосферных осадков.

Большое разнообразие литологического состава и степени трещиноватости пород, а также характер расчленения рельефа в сложном сочетании между собой в различных частях Карагату обусловливают на общем гидрокарбонатном фоне подземных вод наличие и других типов минерализации. Химический состав вод усложняется также вследствие наложения на комплекс коренных пермо-триасовых пород рыхлообломочных четвертичных отложений. Наряду с гидрокарбонатным типом вод (что составляет 43% от общего количества химических анализов) встречаются сульфатно-гидрокарбонатный, хлоридно-гидрокарбонатный и другие смешанные типы вод. Если учесть еще и катионный состав, то общая картина химизма подземных вод района станет еще более разнообразной.

Смена одних типов вод другими сопровождается одновременно изменением их общей минерализации. Так, с увеличением минерализации вод смена типов их по катионному составу, как видно из данных таблицы 1, происходит в следующей последовательности: гидрокарбонатный → сульфатно-гидрокарбонатный → хлоридно-гидрокарбонатный → хлоридно-сульфатно-гидрокарбонатный → хлоридно-сульфатный → сульфатный → хлоридный. Аналогичная смена наблюдается, хотя и не совсем ясно, и в катионном составе от кальция через соответствующие переходы к натрию.

Таблица 1

| Анионы \ Катионы | HCO <sub>3</sub>    | HCO <sub>3</sub> SO <sub>4</sub> | HCO <sub>3</sub> Cl | HCO <sub>3</sub><br>SO <sub>4</sub> Cl | SO <sub>4</sub> Cl  | SO <sub>4</sub>      | Cl |
|------------------|---------------------|----------------------------------|---------------------|----------------------------------------|---------------------|----------------------|----|
| Ca               | 1 $\frac{22}{0,5}$  | 8 $\frac{4}{0,51}$               | 15 $\frac{6}{0,69}$ | 22 $\frac{12}{0,76}$                   | 29 $\frac{2}{1,25}$ | 36                   | 43 |
| CaMg             | 2                   | 3                                | 16                  | 23                                     | 30                  | 37                   | 44 |
| CaNa             | 3                   | 10                               | 17                  | 24                                     | 31                  | 38                   | 45 |
| CaMgNa           | 4                   | 11                               | 18                  | 25                                     | 32                  | 39                   | 46 |
| MgNa             | 5                   | 12                               | 19                  | 26                                     | 33                  | 40                   | 47 |
| Mg               | 6                   | 13                               | 20                  | 27                                     | 34                  | 41                   | 48 |
| Na               | 7 $\frac{29}{0,83}$ | 14 $\frac{13}{0,94}$             | 21                  | 28 $\frac{11}{0,92}$                   | 35 $\frac{2}{1,32}$ | 42 $\frac{11}{1,66}$ | 49 |

П р и м е ч а н и е: Цифры в клетках обозначают номера классов по С. А. Щукареву.  
Верхний индекс—число анализов, а нижний—средняя минерализация  
воды в г/л.

## Формирование подземных вод района Карагату

119

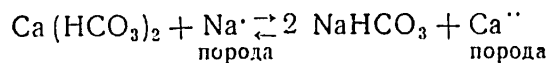
В краевых частях и сильно дренированных участках верхней части горных массивов, как показывают фактические данные, в результате интенсивной циркуляции и водообмена трещинные воды обладают низкой минерализацией (до 1 г/л) и гидрокарбонатным типом кальциевого ряда. На этих участках Карагату в результате существования интенсивного подземного стока водовмещающие породы значительно промыты. Содержание легко растворимых солей хлоридов натрия и магния в воде, циркулирующей в этих участках, не превышает, по нашим данным, 25—30 мг-экв.%. В связи с освобождением пород в начальной стадии выщелачивания от легко растворимых солей в настоящий момент в условиях существования интенсивной циркуляции здесь подземных вод в раствор переходят более трудно растворимые соли карбонатов и гидрокарбонатов щелочных земель. Содержание последних в составе подземных вод местами превышает 50 мг-экв.%.

Совершенно иные условия формирования подземных вод наблюдаются в центральной равнинной части горных массивов Карагату. Здесь равнинный рельеф в сочетании с литологическими особенностями пород (затекание на поверхности глинистых отложений) и слабое развитие тектонических нарушений ограничивает условия скопления и просачивания атмосферных осадков. Эти условия обусловливают замедление движения подземных вод и обогащение их солевого состава легко растворимыми хлоридами и сульфатами щелочей и магния. Содержание их доходит до 70—80 мг-экв.%, т. е. почти в три раза больше, чем в краевых сильно дренированных участках. Минерализация воды здесь достигает местами до 1—1,5 г/л с преобладанием гидрокарбонатного, сульфатно-гидрокарбонатного, хлоридно-гидрокарбонатного типов натриевого ряда (нижний ряд табл. 1).

Как указывалось выше, минерализация трещинных вод пермо-триаса при выклинивании их через элювиально-делювиальные наносы резко возрастает (местами достигая 2 г/л). Для этих вод характерен сульфатный тип минерализации с разновидностями сульфатно-кальциевого, сульфатно-магниево-натриевого и сульфатно-натриевого типов.

В случае, когда трещинные воды дренируются в зоне контакта пермо-триаса с нижнеюрскими глинистыми соленоносными отложениями, минерализация их достигает 3 г/л. Преобладающими типами минерализации являются сульфатно-хлоридные и хлоридные.

Особого внимания среди трещинных вод пермо-триаса заслуживают пресные содовые воды, пользующиеся широким распространением. Они характеризуются содовым коэффициентом  $\frac{Na}{Cl + SO_4} > 1$ . До 70% источников Восточного Карагату, воды которого анализировались нами, показали щелочный состав с содовым коэффициентом от 1,1 до 2,0. Появление соды в солевом составе пресных трещинных вод нельзя объяснить простым выщелачиванием метаморфизованных толщ пермо-триаса водами, в составе которых нет соды. Если даже и была бы в них сода, то в силу ее исключительно высокой растворимости (по данным В. А. Сулина, растворимость десятиводной соды в 100 г воды составляет при 0°—7 г, при 21°—21,7 г и т. д.) мы имели бы не пресную воду, а высоко концентрированный рассол. В настоящее время имеется ряд теорий, объясняющих природу формирования содовых вод. Видимо, в условиях Карагатуских гор образование пресных содовых вод может быть объяснено коллоидно-химическим замещением иона кальция (отчасти магния) из солевого состава трещинных вод гидрокарбонатно-кальциевого типа на ион натрий поглощенного комплекса глинистых пород пермо-триаса по известной схеме:



Содообразование в солевом составе трещинных вод усиливается еще и тем, что пермо-триасовые породы почти повсеместно обогащены окислами Fe, которые энергично поглощают ионы кальция и способствуют образованию содовых вод.

Содовый характер трещинных вод пермо-триаса, отличный от других типов подземных вод района, служит как бы маркирующим признаком, дающим возможность установить участие их в формировании вод в других стратиграфических горизонтах.

В несколько иных условиях формируются подземные воды отложений межгорных долин. Выше было отмечено, что здесь наибольший практический интерес представляют пластово-поровые воды песчаников альб-сенона. Поэтому природу формирования подземных вод межгорных долин рассмотрим на основании анализа последних. Формирование же других водоносных горизонтов затрагиваем только лишь для полноты суждения.

В непосредственной близости к массивам Карагатай, где водоносные отложения альб-сенона приходят в контакт с комплексом пермо-триасовых отложений, воды первых отличаются слабой минерализацией (плотный остаток не превышает 0,6—0,7 г/л). Эти воды характеризуются гидрокарбонатным, сульфатно-гидрокарбонатным, хлоридно-гидрокарбонатным типами минерализации (с повышенным содержанием натрия и кальция). Пресные воды (с плотным остатком до 1 г/л) содержатся и в водоносных горизонтах альб-сенона, изолированных от пермо-триаса мощной толщей водонепроницаемых пород. Эти воды обычно носят смешанный характер с более или менее одинаковым содержанием основных анионов ( $\text{HCO}_3^-$ ,  $\text{Cl}^-$ ,  $\text{SO}_4^{2-}$ ) с преобладанием катионов  $\text{Ca}^{++}$  и  $\text{Na}^+$ . Подобный состав вод, образовавшихся непосредственно в области питания альб-сенона горизонта в процессе просачивания атмосферных вод, обусловлен выщелачиванием солей из гипсонасных и соленосных четвертичных наносов, почти повсеместно покрывающих эти отложения. В наиболее пониженных местах межгорных долин, в зоне распространения альб-сенона, мощность делювиально-пролювиальных отложений достигает 5—10 м (фиг. 1). При просачивании атмосферных осадков через эту толщу воды, поступающие в альб-сенонасные горизонты, обогащаются сульфатами в результате, по всей вероятности, выщелачивания гипса, с одной стороны, и обменно-адсорбционного процесса между уже образовавшейся гипсовой водой и адсорбционным комплексом пород, содержащих большое количество натрия,— с другой.

В результате этих процессов в солевом составе вод верхней части водоносного горизонта альб-сенона проявляются не только гипс ( $\text{Ca}^{++} > \text{HCO}_3^-$ ), но и обычно глауберовые соли ( $\text{Na}^+ > \text{Cl}^-$ ). Так, например, один из водонисточников, расположенный в 15 км севернее пос. Шетпе и выходящий из-под шестиметрового четвертичного покрова, залегающего на альб-сенонасных отложениях, показал сульфатно-натриевый состав воды. По формуле Курлова, его солевой состав изображается следующим образом:  $M_{2.61}^{SO_4^{2-} Cl^-} Na_{3.5}^{3+} Ca_{11}^{++}$ .

Но и здесь, в условиях наличия значительной мощности покровных отложений, воды верхней части водоносного горизонта альб-сенона являются сравнительно пресными (плотный остаток до 3 г/л).

Таким образом, поверхностные локальные факторы засоления не оказывают заметного влияния на общий, в целом слабо минерализованный, характер альб-сенонасных вод.

## Формирование подземных вод района Карагату

121

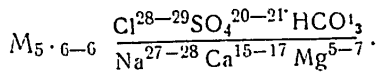
Из приведенных выше фактов следует, что формирование первоначального состава пластово-поровых вод альб-сенона в области их питания происходит, по крайней мере, в двух различных условиях: а) в зоне влияния трещинных вод пермо-триаса; подпитывание альб-сенона ского водоносного горизонта карагатускими содовыми водами, наряду с пресечением атмосферных осадков, обусловливает образование в альб-сенона ском горизонте гидрокарбонатных и сульфатно-гидрокарбонатных типов (с повышенным содержанием натрия и кальция) вод с плотным остатком, не превышающим 1 г/л; б) непосредственно в пределах обнаружения альб-сенона скских отложений; здесь в результате выщелачивания поверхности соленосного и гипсона ского четвертичного покрова и альб-сенона скских пород со значительным содержанием сульфидов железа атмосферными водами образуется смешанный (гидрокарбонатно-хлоридно-сульфатный) тип воды. При этом общая минерализация вод в отдельных случаях доходит до 3 г/л.

Дальнейший ход изменения химического состава альб-сенона скских вод с увеличением глубины и в сторону областей стока и накопления в настоящее время нам трудно осветить ввиду отсутствия в описываемой территории данных буровых скважин. Однако артезианские скважины, вскрывшие в соседних районах напорные альб-сенона скские воды, показывают, что минерализация последних даже на участках с отрицательными отметками — 450—500 м, значительно удаленных от областей питания, остается сравнительно низкой (плотный остаток не более 3—4 г/л). Большое следство геолого-структурных, геоморфологических и других природных условий описываемой территории с этими районами дает основание полагать, что и здесь глубокие горизонты альб-сенона ск за почивают слабо минерализованную воду, пригодную для водоснабжения.

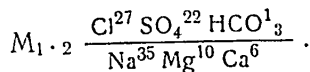
Другие водоносные горизонты в межгорных долинах, как-то: юрские, неокомские и нижнеальбские, ввиду ограниченности площадей питания обладают несколько неблагоприятными гидрогеологическими условиями. По данным наших исследований, минерализация их быстро возрастает с глубиной при образовании хлоридно-натриевого типа вод, независимо от их начального состава.

Водоносный комплекс сенон-датского яруса, слагающий Актауские горы, гипсометрически расположен намного выше альб-сенона скского водоносного горизонта. Хотя этот комплекс является единым по своему зачеганию, но вследствие различия степени трещиноватости и промытости различных горизонтов этого комплекса водоносность их отличается друг от друга. Поэтому минерализация и химический состав подземных вод, циркулирующих в них, характеризуются значительной пестротой. Наиболее минерализованные воды с плотным остатком от 5 до 10 г/л содержатся в мелоподобных мергелях сенона. Трещиноватость в них развита слабо, что ведет к ограничению циркуляции воды. Вследствие этого водоносные породы плохо промыты, и воды имеют хлоридно-натриевый состав. Более благоприятные условия для циркуляции подземных вод существуют в отложениях датского яруса. Наличие довольно частых и крупных трещин, особенно вблизи глубоких оврагов, способствует усиленной циркуляции подземных вод. Поэтому в пределах распространения этих отложений встречаются воды сравнительно низкой минерализации с плотным остатком до 3 г/л, преимущественно сульфатно-натриевого состава. Промежуточное положение по степени и типу минерализации занимают воды палеогеновых отложений. Они обычно имеют сульфатно-хлоридно-натриевый состав с плотным остатком от 3 до 6 г/л. При этом интересно отметить, что концентрация и соотношение ионов многих водоисточников в

пределах распространения палеогеновых отложений (так же, как и датских) почти всегда остаются постоянными. Так, вода колодца Басшорым, расположенного севернее пос. Шаир и пройденного в мергелях эоцена, трижды (июль 1947 г., август 1950 г. и сентябрь 1950 г.) подвергалась химическому опробованию. Все анализы вод показали почти один и тот же состав и минерализацию. Незначительные колебания их выражаются следующим образом:



Постоянством состава вод и минерализации характеризуются и многие другие водоисточники. Этот фактор свидетельствует, что солевой состав этих вод формируется за счет выщелачивания горных пород, состав которых остается примерно постоянным в течение сравнительно небольшого промежутка времени. Действительно, результаты анализа водных вытяжек водоносных пород (в мг-экв.% форме) колодца Басшорым вполне соответствуют составу заключенной в них воды (по формуле Курлова):



Водоносные горизонты неогена, приуроченные к известнякам, мергелям и песчаникам, на отдельных участках Актауских гор как по условиям формирования, так и по характеру минерализации и химического состава подземных вод во многом сходны с водоносным комплексом верхнего мела и палеогена. Минерализация этих вод колеблется преимущественно в пределах от 1 до 5 г/л, а солевой состав их — смешанный, с некоторым преобладанием сульфатов и натрия.

Минерализация поровых (грунтовых) вод и концентрация отдельных компонентов их колеблются в широких пределах в зависимости от условий залегания, степени промытости пород и характера питания водоносных горизонтов. Поэтому их удобнее рассматривать по отдельным генетическим типам отложений. При этом в рассматриваемом районе могут быть выделены: 1) грунтовые воды делювиально-пролювиальных отложений конусов выноса массивов Карагату; 2) грунтовые воды пролювиальных отложений саев и ущелий Актауских гор; 3) грунтовые воды эоловых песков юго-восточной части Актау.

*Грунтовые воды делювиально-пролювиальных отложений* предгорного шлейфа формируются за счет просачивания атмосферных осадков и поступления разгружающихся трещинных вод Карагату. Следует отметить, что роль атмосферных осадков в питании грунтовых вод указанных отложений усиливается здесь еще тем, что весной в период снеготаяния, а также и летом во время выпадения обильных ливней, воды, стекающие по многочисленным коротким оврагам и ущельям Карагату, в значительной степени просачиваются в толщу грубообломочных отложений предгорного шлейфа.

Отложения шлейфа, в которых заключены грунтовые воды, залегают на наклонном менее водопроницаемом фундаменте, представленном преимущественно глинистыми отложениями юры и нижнего мела, что способствует более интенсивной циркуляции. Поэтому эти отложения хорошо промыты, что обусловливает сравнительно слабую минерализацию грунтовых вод предгорного шлейфа (плотный остаток варьирует в пределах от 0,5 до 2 г/л).

По типу минерализации среди этих вод встречаются гидрокарбонатно-

натриево-кальциевые со средней минерализацией 0,6 г/л, сульфатно-гидрокарбонатно-натриевые со средней минерализацией 0,8—0,9 г/л и сульфатно-натриево-кальциевые с минерализацией 1,5—2 г/л.

*Грунтовые воды пролювиальных отложений* оврагов и ущелий Актауских гор питаются, главным образом, весенними талыми и летними ливневыми водами дождей, образующими временные потоки. Однако условия формирования грунтовых вод здесь не везде одинаковы и вследствие этого их гидрохимический режим и колебания расходов в различных типах долин, как отметил Ф. А. Макаренко, различный.

Наиболее благоприятными условиями образования слабо минерализованных грунтовых вод со значительным запасом их характеризуются сквозные долины с широкими водосборными бассейнами в пределах Карагатуских гор. Эти долины показаны на фиг. 1. Самой крупной из них является сквозная долина, протягивающаяся на юг от пос. Шетпс. Весной по ней проходит мощный поток поверхностных вод. Благодаря сравнительно короткому пути пробега грунтового потока и наличию хорошо промытых русловых наносов, грунтовые воды, циркулирующие в них, довольно пресные. Обычно для них характерны сульфатно-гидрокарбонатный и хлоридно-гидрокарбонатный типы вод при общей минерализации, не превышающей 2—3 г/л.

Несколько неблагоприятными условиями характеризуются узкие и короткие долины с большим уклоном поверхности, развитые в северных и южных склонах Актауских гор. Запасы вод в них незначительные и к тому же быстро истощаются вслед за пополнением.

*Грунтовые воды эоловых отложений* в пределах описываемой территории пользуются ограниченным распространением. Они распространены в песчаных массивах крайней юго-восточной части района.

Источниками питания грунтовых вод эоловых песков, так же как и других типов вод, служат атмосферные осадки. Просачиваясь в эоловые пески, атмосферные осадки образуют слои и линзы пресных грунтовых вод, плавающих на поверхности ранее накопившихся соленых вод, между которыми в естественных условиях образуется определенное равновесие. Толщина слоя пресных вод в описываемом районе не превышает 0,5—1,0 м.

Наиболее устойчивым типом минерализации, характерным для грунтовых вод эоловых песков описываемого района, является сульфатный со средней минерализацией от 1 до 1,5 г/л. Гидрокарбонатный и хлоридный типы являются неустойчивыми. Первый из них образуется преимущественно весной во время интенсивного просачивания атмосферных вод и исчезает летом в результате усиления испарительного процесса. Второй же возникает в результате нарушения естественного равновесия пресных и соленых вод (во время интенсивной эксплуатации водоносного слоя, подтока соленых вод или усиления испарения) и исчезает по мере восстановления этого равновесия.

Описанные нами факторы формирования подземных вод территории обуславливают значительную пестроту их минерализации и химического состава. Установленные при этом закономерности с учетом геоморфологических, геологических и других условий дали нам возможность составить схематическую карту распределения минерализации и химического состава подземных вод описываемого района (фиг. 2).

### Заключение

Приведенные выше сведения показывают, что, несмотря на пустынность и засушливость климата, район Карагатуских гор имеет благоприят-

ные условия для формирования, циркуляции и накопления подземных вод в пределах ряда водоносных комплексов. К ним относится прежде всего комплекс пород пермо-триаса Карагату, который вследствие сильной трещиноватости и хорошей обнаженности на большой площади является одним из важных коллекторов пресных подземных вод преимущественно гидрокарбонатного состава.

Благоприятными гидрогеологическими условиями накопления пресных подземных вод обладает также комплекс альб-сеноманских отложений. Значительная площадь развития указанных отложений хорошо обнажена и служит непосредственно областью питания этого водоносного горизонта. Кроме того, альб-сеноманский горизонт подпитывается трещинными водами пермо-триаса, поступающими по тектоническим зонам и контактам. Поэтому, несмотря на наличие локальных факторов засоления (притока воды из соленосных делювиально-пролювиальных, юрских, нижнеальбских и других отложений), воды альб-сеномана в целом имеют сравнительно слабую минерализацию и сульфатно-гидрокарбонатный состав.

Подземные воды удовлетворительного качества формируются также и в некоторых участках других водоносных комплексов, в частности в развеваемых песках и пролювиальных отложениях широких долин Южного Актау.

Выявленные закономерности формирования подземных вод Карагатуских гор позволяют наметить наиболее перспективные участки и правильно ориентировать разведочные на воду работы, что облегчает решение вопросов, связанных с водоснабжением колхозов и МТС, обводнением пастбищ и оазисным орошением.

Изложенные выше сведения дают основание утверждать, что путем заложения артезианских скважин глубиной от 150 до 250—300 м на различных участках района Карагату можно получить доброкачественные напорные, а местами и самоизливающиеся подземные воды с производительностью до 10 и более литров в секунду.

Наиболее перспективными участками для получения высокопроизводительных подземных вод хорошего качества является центральная часть описываемой территории, прежде всего площади распространения трещинных вод пермо-триаса Карагату и ближайшие к ним площади альб-сеноманского водоносного горизонта. Отложения этих водоносных комплексов образуют ряд мульдообразных структур, благоприятствующих накоплению значительного запаса напорных артезианских вод. Организация эксплуатационно-разведочного бурения на этих первоочередных участках наряду с огромным практическим значением имеет большую теоретическую ценность в деле постановки и расширения буровых работ на других участках.

Участки, прилегающие к артезианским скважинам, могут быть превращены в оазисы с прекрасными естественными травостоями и посевами сенокосных угодий и бахчевых культур. К тому же каждая артезианская скважина с соответствующей водопроводной сетью в радиусе до 10—20 км может заменить несколько десятков малопроизводительных шахтных колодцев, даст возможность обеспечить водой десятки тысяч голов скота и облегчит механизацию водоснабжения.

Большое значение имеют также грутовые воды делювиально-пролювиальных отложений предгорного шлейфа Карагату и пролювиальных отложений коротких долин, особенно широкой сквозной долины, идущей на юг от пос. Шетпе. Путем заложения на отдельных участках галерей перпендикулярно направлению движения грутовых вод, протяженностью 100—200 м, также можно получить значительные запасы подземных вод.

## Формирование подземных вод района Карагату

125

Широкое и умелое использование запасов подземных вод опиcывающей территории позволит добиться укрепления кормовой базы для развивающегося общественного животноводства и обводнения естественных пастбищных угодий.

## ЛИТЕРАТУРА

1. Ахмедсафин У. М. Подземные воды Казахстана. Очерки по физической географии Казахстана. Алма-Ата, 1952.
2. Ахмедсафин У. М. Пути рационального использования грунтовых вод северного Прикаспия для животноводства. Вестник АГН КазССР № 9, 1953.
3. Макаренко Ф. А. О грунтовых водах коротких долин на примере Центрального Казахстана и Северного Прибалхашья. Труды лаборатории гидрогеологических проблем, т. X, 1951.
4. Сулиев В. А. Гидрогеология нефтяных месторождений. М., 1948.
5. Федин Н. Ф. Кзыл-Ординский массив орошения левобережья низовьев реки Сыр-Дары. Алма-Ата, 1952.

## РЕЗЮМЕ

Мақалада Қаратау ауданындағы тау жыныстарының жарыктарында, қабаттарында, құystарында кездесетін жерасты сулары баяндалады. Минерализациясы мен химиялық составын талдай отырып жерасты суларының пайда болу жағдайлары көрсетіледі. Бұл ауданда пайда болу жағынан да, жалпы қоры жағынан да маңызды орынды пермо-триас және альб-сепоман қабаттарының сулары алады. Бүрғылау арқылы алып, осы суларды толық пайдалануға ғана көрсетілген ауданиның мал шаруашылығын көңінен өрістетуге болады.

## ИЗВЕСТИЯ

АКАДЕМИИ НАУК КАЗАХСКОЙ ССР

1956

Серия геологическая

Вып. 22:

## БИБЛИОГРАФИЯ

М. И. Ломонович. Лёсс в Казахстане и его значение в народном хозяйстве. С предисловием акад. В. А. Обручева. Научно-популярный очерк. Изд. Академии наук Казахской ССР, Алма-Ата, 1955, 80 стр.

Автор этого очерка, выполнивший детальное изучение отложений лёсса на северном склоне хребта Занзийского Алатау, знакомит во введении читателей с проблемой лёсса, которая в связи с большим распространением лёссовых и лёссовидных почв четвертичного возраста в целом ряде областей СССР, а также в связи с их большим хозяйственным и строительным значением, из теоретической проблемы, какой она была в конце прошлого века, превратилась в практическую, которая интересует не только геологов, занимающихся изучением четвертичных отложений, но и почвоведов, которые должны понимать генезис, распространение и качества этой плодородной почвы, чтобы правильно наносить ее на почвенные картах и объяснять земледельцам ее хозяйственное значение. Руководители строительных и гидротехнических организаций также должны понимать образование и распространение этой породы, представляющей прекрасный строительный материал, имеющий и некоторые особенности, которые нужно знать при выполнении гидротехнических сооружений для его правильного использования.

Особенно важное значение изучение лёссов и лёссовидных пород получает в связи с дальнейшим развитием сельского хозяйства и с распространением земледельческих культур на целинные и залежные земли, занимающие еще большие площади на юго-востоке Европейской России, в Средней Азии и Сибири. Казахская республика, обладающая большими площадями таких земель, заинтересована в их своевременном изучении в отношении понимания проблемы лёсса для правильного приложения к этим пустующим землям.

В первой главе объясняется, что такое лёсс, каковы его состав и строение, обу-

словливающие плодородие, а также указаны распространение и условия его залегания.

Затем излагается гранулометрический состав лёсса, т. е. объясняется, какова величина отдельных частиц песка и глины, а также так называемых коллондов, т. е. частицы, которые имеют бесформенное строение, которое еще Ломоносов называет kleeviным, а не кристаллическое, как у большинства минералов. В нескольких таблицах поясняется состав лёсса разных местностей — микроагрегатный, химический и минералогический. Последний может быть разнообразным, так как лёсс образуется из пыли, которую ветры приносят из местностей с различным составом коренных пород, слагающих данный участок земной коры.

В следующей главе рассказывается о свойствах лёсса, его пылеватости, пористости, пластичности, размокаемости. Пылеватость и пористость обусловливают то, что тончайшие корешки легко пробиваются через лёсс и доставляют растениям необходимое для них питание калием, фосфором и известью, содержащимся в лёссе в мелкораздробленном состоянии, что облегчает их усвоение. Несмотря на свою пылеватость, лёсс обладает большой устойчивостью и хорошо держится в виде обрывов в десятки метров высоты, а также в колодцах без крепления на большую глубину. Это обуславливается связностью и наличием в его составе очень мелких частиц.

В пятой главе излагается происхождение лёсса: кратко перечислены гипотезы, предложенные разными учеными, начиная с 1834 года, как на время происхождения, так и на причины его, автор приходит к выводу, что в настоящее время главное значение имеют эоловая и почвенная гипотезы, но последняя только дополняет первую в отношении преобразования скоплений ветровой пыли в почву, а самостоятельного значения не имеет. Рассмотрение вопроса о происхождении лёсса Занзийского Алатау показывает, что другие гипотезы не выдерживают критики. В конце главы рассмотрено происхождение лёсса Юж-

## Библиография

127

ного Казахстана и Средней Азии согласно гипотезам Скорцова и Кассина.

В последней главе говорится об отрицательном и положительном значении лёсса в народном хозяйстве. Отрицательное значение обусловлено тем, что лёссы пористы и поэтому при пропитывании его водой дает просадку, которая вредна для устойчивости сооружений. Указанны предупредительные и конструктивные мероприятия для избежания этого явления, что необходимо знать и соблюдать при проведении каналов, плотин, дамб, при устройстве орошения и применении лёссов в качестве строительных материалов.

Недостатком этой книжки приходится считать то, что в ней очень мало сказано о лёссовидных породах, их составе и генезисе (стр. 10—11). Для правильного понимания и приложения проблемы лёсса необходимо знать генезис и этих лёссовидных пород, которые всегда залегают рядом с типичным лёсском, имеют большое распространение и мало отличаются от него по своему составу и качествам. На стр. 11 приведены мои слова о необходимости знания этих пород, понимания их образования и отличия от типичного лёсса, чтобы правильно объяснить их генезис и качества. Если бы все исследователи лёссов и лёссовидных пород соблюдали это условие, был бы положен конец бесподобным спорам по этой проблеме, которые продолжаются сто лет. Автор, излагая в пятой главе происхождение лёссов Казахстана и Средней Азии, говорит в заключение, что сама природа этой области побуждает исследователя искать упорно и терпеливо правильное решение вопроса о происхождении лёсса.

Я уже указывал давно, что в Средней Азии, где мы видим соседство песчаных пустынь, высоких гор, увенчанных снегами, и широких долин, орошенных реками, природа создала самые сложные условия для отложения пыли, приносимой ветрами с песков, рядом с ледниками и руслами рек и речек. Этот сложный рельеф и создает образование в близком соседстве типичного песчаного лёсса и водно-пылевых лёссовидных пород разных видов — элювиальных, пролювиальных и аллювиальных — из того же материала ветровой пыли без помощи воды или с меньшим или бо-

льшим ее участием, что исследователь — географ, геолог и почвовед — должен внимательно изучать и понимать для правильно го истолкования. Проблема лёсса требует к себе только такого отношения вместо придумывания всяких усложнений, вроде космической гипотезы Кейльгака или гипотезы облёсования Л. С. Берга, глубокого по Б. В. Пясковскому.

Эта маленькая книжка в сущности является первым популярным изложением вопроса о генезисе лёсса, который в научной литературе рассматривается уже около ста лет и все еще возбуждает споры со стороны географов и в особенности почвоведов. Последние особенно упорно замалчивают или отрицают золовую гипотезу лёссо-генезиса, которая давно уже заслужила право наименования теорией, так как доказана систематическими наблюдениями в Европе, Азии, Америке и Африке. Но достаточно взять одно из современных учебных руководств по почвоведению от Докучаева до Вильямса и Качинского, чтобы убедиться, что в любом из них золовая теория замалчивается или отложение лёссов объясняется неверно в качестве ледниковых или элювиальных, пролювиальных, аллювиальных. Между тем, внимательное изучение каждого обнажения какой-нибудь желтой песчано-глинистой породы, представляющей почву, покажет, имеет ли наблюдатель дело с типичным золовым лёсском или разновидностью лёссовидной породы или же просто с элювием какой-либо песчано-глинистой коренной породы, похожей на лёссы при первом взгляде на нее.

В отношении лёссовидных пород рассматриваемая книжка (стр. 10—11) требует при новом издании дополнения, как указано выше, так как именно эта категория пород должна быть описана особенно подробно, чтобы пользующийся ею понял и сумел различать разновидности лёссовидных пород и правильно определять их генезис.

Но просто не понятно, как могло Издательство Академии наук КазССР выпустить эту книжку, заслуживающую широкого распространения для ознакомления с лёссы, столь развитым в Казахстане, в количестве только 600 экземпляров.

Академик В. А. ОБРУЧЕВ.

## СОДЕРЖАНИЕ

|                                                                                                                                       |     |
|---------------------------------------------------------------------------------------------------------------------------------------|-----|
| Н. Б. Бок. Лиственииты, их особенности, разновидности и условия образования                                                           | 3   |
| Н. Я. Михайлов. Петрохимические особенности ультраосновных и основных пород Бетиак-Далы и Юго-Западного Прибалхашья.                  | 23  |
| Б. К. Кораблев. Новый тип полевошпатовых месторождений в Центральном Казахстане (в порядке обсуждения).                               | 33  |
| Г. И. Бедров. Поиски редкометальных месторождений в Центральном Казахстане путем изучения вторичных ореолов рассеивания.              | 49  |
| Г. Б. Жилинский. Обзорные шлиховые карты.                                                                                             | 66  |
| Е. Д. Шлыгин и М. Н. Королева. Типы стратиграфических разрезов и нафтогеография ордовика Пристениковского района Северного Казахстана | 82  |
| Н. М. Митряева. О явлениях избирательного метасоматизма в одной из групп глинистых месторождений хребта Карагата.                     | 92  |
| Н. Ч. Никитин. Брахиоподы яшмовой и торткудукской толщ северо-востока Центрального Казахстана (кембрий и нижний ордовик).             | 99  |
| Ж. Сыдыков и В. А. Стрельникова. Формирование подземных вод района Карагату (Мангышлак).                                              | 112 |

## Библиография

|                                                                                              |     |
|----------------------------------------------------------------------------------------------|-----|
| Андр. В. А. Обручев. М. Н. Ломонович «Лёсс в Казахстане и его значение в народном хозяйстве» | 126 |
|----------------------------------------------------------------------------------------------|-----|

Редактор А. И. Фум  
Худ. редактор И. Д. Сущих  
Тех. редактор И. Ф. Алферова  
Корректор Л. Н. Москвичева

\* \* \*

Сдано в набор 29/XII 1955 г. Подписано к печати 12/III 1956 г. Формат 70 x 108<sup>1/16</sup>  
5,48 бум. л. 10,96 п. л. + 1 вклейка. Уч.-изд. л. 19,85 Тираж 500. УГ01834.  
Цена 8 руб. 60 коп.

\* \* \*

Типография Издательства АН КазССР, Алма-Ата, ул. Шевченко, 17. Зак. 344.